

ΠΑΝΕΠΙΣΤΗΜΙΟ ΚΡΗΤΗΣ

ΤΜΗΜΑ ΕΠΙΣΤΗΜΗΣ ΥΠΟΛΟΓΙΣΤΩΝ

ΗΥ 215: Εφαρμοσμένα Μαθηματικά για Μηχανικούς

Σημειώσεις

Πάνος Τραχανιάς
Αναπληρωτής Καθηγητής

Ηράκλειο, 2001

Σαν Πρόλογος ...

Οι ομειώσεις αυτές αποτελούν μια εισαγωγή σε μαθηματικές έννοιες που είναι απαραίτητες σε μια πληθώρα εφαρμογών της ευρύτερης περιοχής της Επιστήμης των Υπολογιστών και των Επιστημών Μηχανικού. Επίσης, αποτελούν ένα βοήθημα για το μάθημα HY-215 “Εφαρμογένα Μαθηματικά για Μηχανικούς” που διδάσκεται στο Τμήμα Επιστήμης Υπολογιστών του Πανεπιστημίου Κρήτης. Το μάθημα αυτό εισήχθη για πρώτη φορά ως μάθημα επιλογής το φθινοπωρινό εξάμηνο του 1993, και έκτοτε διδάσκεται κάθε χρονιά στο φθινοπωρινό εξάμηνο. Η ουσνότητα διδασκαλίας του προβλέπεται να παραμείνει η ίδια, τουλάχιστον στο εγγύς μέλλον.

Οριώμενος από τις ανάγκες του ίδιου των μαθήματος, ετοίμασα (παράλληλα με τη διδασκαλία των μαθήματος) μια πρώτη έκδοση των ομειώσεων αυτών το φθινόπωρο του 1993. Οπως ήταν αναμενόμενο, το κείμενο αυτό ήταν ημιτελές, περιείχε λάθη (τόσο εκφραστικά όσο και μαθηματικά) και άφηνε αδιευκρίνιστες ορισμένες έννοιες. Από τότε καταβλήθηκε μεγάλη προσπάθεια ώστε να βελτιωθεί το επίπεδο των κειμένου και να διορθωθούν τα (περισσότερα) λάθη. Στη προσπάθεια αυτή έπαιξε σημαντικό ρόλο η συμβολή πολλών φοιτητών/τριών. Οι εύστοχες υποδείξεις τους οδήγησαν ουσιαστικά στη σταδιακή βελτίωση του παρόντος, μέχρι την τερινή του μορφή. Επειδή είναι πρακτικά αδύνατο να κατονομάσω όλους εκείνους που με το τρόπο τους βοήθησαν, εκφράζω ένα γενικότερο ευχαριστώ στους φοιτητές/τριες του Τμήματός μας. Πιστεύω το περιεχόμενο αυτών των ομειώσεων να αποτελέσει ένα ενδιαφέρον αντικείμενο μελέτης αλλά και πολύ περισσότερο ένα κίνητρο για την εξενρεύνηση καινούργιων περιοχών της επιστήμης.

Πάνος Τραχανιάς
Ηράκλειο, Σεπτέμβριος 2001

Ευχαριστώ θεριά τους μεταπτυχιακούς φοιτητές του τμήματος Επιστήμης Υπολογιστών που διετέλεσαν βοηθοί στο μάθημα HY-215 από το 1993 μέχρι το 1995 για τη βοήθεια τους στην εκτύπωση αυτών των ομειώσεων.

Περιεχόμενα

1 Αναπαράσταση Σημάτων	1
1.1 Εισαγωγή	1
1.2 Κατηγορίες (Είδη) Σημάτων	1
1.3 Ενέργεια Σήματος	2
1.4 Μετασχηματισμοί Ανεξάρτητης Μεταβλητής	2
1.4.1 Μετατόπιση στο Χρόνο	2
1.4.2 Αντανάκλαση	3
1.4.3 Πολλαπλασιασμός στο Χρόνο	3
1.5 Στοιχειώδη Σήματα	4
1.5.1 Στοιχειώδη Σήματα Συνεχούς Χρόνου	4
1.5.2 Στοιχειώδη Σήματα Διακριτού Χρόνου	7
1.5.3 Εκθετικό Σήμα	9
1.6 Ορθογώνια Αναπαράσταση Σημάτων	14
2 Συγκερασμός	17
2.1 Συνεχής Χρόνος	17
2.2 Διακριτός Χρόνος	23
2.3 Περιοδικός Συγκερασμός	25
3 Σειρές Fourier Συνεχούς Χρόνου	29
3.1 Αναπαράσταση με σειρά Fourier	29
3.2 Συνθήκες Σύγκλισης	35
4 Μετασχηματισμός Fourier Συνεχούς Χρόνου	39
4.1 Αναπαράσταση Μη-Περιοδικών Σημάτων	39
4.2 Συνθήκες Σύγκλισης	40
4.3 Παραδείγματα	41
4.4 Μετασχηματισμός Fourier Περιοδικών Σημάτων	43
4.5 Ιδιότητες Μετασχηματισμού Fourier Συνεχούς Χρόνου	47
4.6 Πίνακες Ιδιοτήτων – Βασικών Μετασχηματισμών	55
5 Σειρές Fourier Διακριτού Χρόνου	65
5.1 Εισαγωγή	65
5.2 Αναπαράσταση με σειρά Fourier	67

5.3 Παραδείγματα	68
6 Μετασχηματισμός Fourier Διακριτού Χρόνου	73
6.1 Αναπαράσταση μη-Περιοδικών Σημάτων	73
6.1.1 Διαφορές μεταξύ Συνεχούς και Διακριτού Χρόνου	74
6.2 Μετασχηματισμός Fourier Περιοδικών Σημάτων	77
6.3 Ιδιότητες Μετασχηματισμού Fourier Διακριτού Χρόνου	78
6.4 Πίνακες Ιδιοτήτων – Βασικών Μετασχηματισμών	82
6.5 Μετασχηματισμός Fourier Μετά από Δειγματοληψία	85
6.6 Δυϊορίδος	86
7 Διακριτός Μετασχηματισμός Fourier	95
7.1 Γρήγορος Μετασχηματισμός Fourier (FFT)	97
7.2 FFT σε δύο Διαστάσεις	100
8 Μετασχηματισμός Laplace	103
8.1 Δίπλευρος Μετασχηματισμός Laplace	103
8.2 ROC Μετασχηματισμού Laplace	106
8.3 Μονόπλευρος Μετασχηματισμός Laplace	111
8.3.1 Δίπλευρος Μετασχηματισμός Laplace με Χρήση του Μονόπλευρου Μετασχηματισμού Laplace	112
8.4 Ιδιότητες Μετασχηματισμού Laplace	115
8.4.1 Θεωρήματα Αρχικής και Τελικής Τιμής	120
8.5 Γεωμετρικός Υπολογισμός του Μετασχηματισμού Fourier	124
8.6 Αντίστροφος Μετασχηματισμός Laplace	125
9 Μετασχηματισμός Z	127
9.1 Δίπλευρος Μετασχηματισμός Z	127
9.2 ROC Μετασχηματισμού Z	130
9.3 Μονόπλευρος Μετασχηματισμός Z	134
9.4 Ιδιότητες Μετασχηματισμού Z	135
9.4.1 Θεωρήματα Αρχικής και Τελικής Τιμής	139
9.5 Γεωμετρικός Υπολογισμός του Μετασχηματισμού Fourier	141
9.6 Αντίστροφος Μετασχηματισμός Z	145
9.7 Σχέση Μεταξύ Μετασχηματισμών Z και Laplace	148
9.8 Σχέση Μεταξύ Μετασχηματισμών Z και DFT	149

Κεφάλαιο 1

Αναπαράσταση Σημάτων

1.1 Εισαγωγή

Σήματα είναι οι ανιχνεύσιμες φυσικές ποσότητες ή μεταβλητές, μέσω των οποίων μεταφέρεται πληροφορία (μηνύματα). Μια μεγάλη κατηγορία σημάτων παίζει σημαντικό ρόλο στη περιγραφή φυσικών φαινομένων. Παραδείγματα τέτοιων σημάτων είναι η ανθρώπινη φωνή, η εικόνα της τηλεόρασης, βιοϊατρικά σήματα και εικόνες, ατμοσφαιρική θερμοκρασία, κ.α. Στις περιοστέρες περιπτώσεις τα σήματα μετατρέπονται σε ηλεκτρικά σήματα, εφ' όσον τα τελευταία είναι πολύ πιό εύκολο να μετρηθούν και στη συνέχεια να επεξεργασθούν.

Τα σήματα περιστέρουνται ως συναρτήσεις μιας η περισσότερων ανεξάρτητων μεταβλητών. Για παράδειγμα, η φωνή είναι μια συνάρτηση μιας ανεξάρτητης μεταβλητής (χρόνος), ενώ η εικόνα είναι μια συνάρτηση δύο ανεξάρτητων μεταβλητών (x και y συντεταγμένες). Στο παρόν κείμενο θα εστιάσουμε τη προσοχή μας σε σήματα μιας ανεξάρτητης μεταβλητής, η οποία θα θεωρείται ο χρόνος, αν και μπορεί να είναι οτιδήποτε σε διαφορετικές εφαρμογές.

1.2 Κατηγορίες (Ειδη) Σημάτων

Υπάρχουν πολλοί τρόποι ταξινόμησης των σημάτων ανάλογα με το είδος (πεδίο οριομού) και/ή τη διάσταση της ανεξάρτητης μεταβλητής, το πεδίο τιμών και/ή τη διάσταση του σήματος, τη περιοδικότητα του σήματος, κ.α. Οι πιό συνηθισμένοι τρόποι ταξινόμησης των σημάτων φαίνονται στη συνέχεια:

$$\begin{array}{ll} \text{Συνεχούς Χρόνου} & \text{Διακριτού Χρόνου} \\ x(t) \text{ για } t \text{ συνεχές} \in \mathbb{R} & t = kT_s, k \in \mathbf{Z}, x(kT_s) \end{array}$$

$$\begin{array}{ll} \text{Αναλογικά} & \text{Ψηφιακά} \\ \text{Η συνάρτηση } x(t) \text{ παίρνει} & \text{Η συνάρτηση είναι κβαντιομένη} \\ \text{kάθε τιμή στο } \mathbb{R} & \end{array}$$

$$\begin{array}{lll} \text{Μονοδιάστατα (1-D)} & \text{Διδιάστατα (2-D)} & \text{Πολυδιάστατα (m-D)} \\ \text{Φωνή, ECG} & \text{Εικόνα, X-Ray} & \text{CT} \end{array}$$

Μονοκαναλικά

Εικόνα

Πολυκαναλικά

Εγχρωμη εικόνα

Δορυφορική εικόνα

Περιοδικά

$$\underline{x(t) = x(t + nT)}$$

όπου $n = 1, 2, \dots$ Απεριοδικά (Μη-Περιοδικά)

Παράδειγμα περιοδικού σήματος είναι η $x(t) = A \sin(\omega_0 t + \varphi)$. Ορίζουμε σαν θεμελιώδη περίοδο την $T_0 = \frac{2\pi}{\omega_0}$ και παρατηρούμε ότι ένα περιοδικό σήμα είναι επίοντς περιοδικό για mT_0 , όπου $m = 1, 2, \dots$

1.3 Ενέργεια Σήματος

Για διάστημα χρόνου $2L$ η ενέργεια του σήματος $x(t)$ θα είναι:

$$E_{2L} = \int_{-L}^L |x(t)|^2 dt \quad (1.1)$$

Αν $t \in (-\infty, +\infty)$ τότε παίρνουμε την ολική ενέργεια του σήματος, δηλαδή:

$$E = \lim_{L \rightarrow \infty} \int_{-L}^L |x(t)|^2 dt \quad (1.2)$$

Η μέση ισχύς ορίζεται ως:

$$P = \lim_{L \rightarrow \infty} \left[\frac{1}{2L} \int_{-L}^L |x(t)|^2 dt \right] \quad (1.3)$$

Για περιοδικό σήμα ορίζουμε τη μέση ισχύ ως μία περίοδο:

$$P = \frac{1}{T} \int_0^T |x(t)|^2 dt \quad (1.4)$$

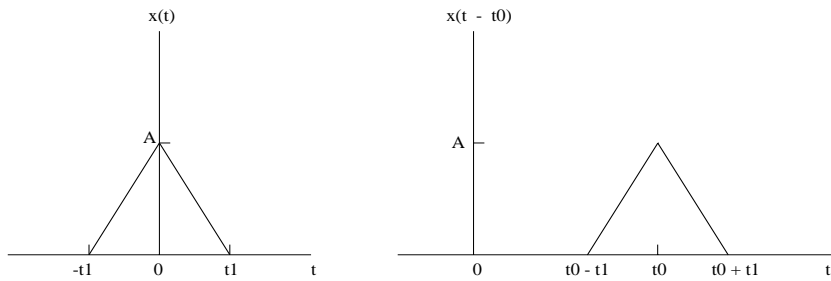
1.4 Μετασχηματισμοί Ανεξάρτητης Μεταβλητής

1.4.1 Μετατόπιση στο Χρόνο

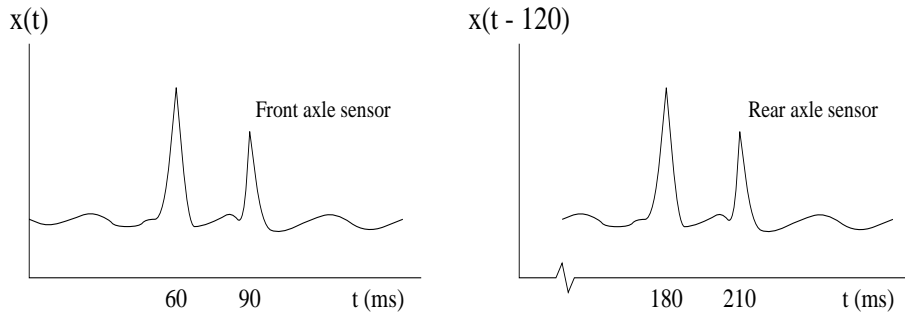
Εστω σήμα $x(t)$. Μια μετατόπιση στον χρόνο (time shift) $x(t) \rightarrow x(t - t_0)$ είναι καθυστέρηση εφόσον $t_0 > 0$ και προηγηση εφόσον $t_0 < 0$ (βλέπε Σx 1.1).

Παράδειγμα 1.1. Δύο αιοθητήρες (sensors) έχουν τοποθετηθεί στον μπροστινό και πίσω άξονα ενός αυτοκινήτου. Τα σήματα που δίνουν οι δύο αιοθητήρες είναι αυτά που φαίνονται στο Σx 1.2. Αν η απόσταση των αξόνων είναι $d = 2m$ να βρεθεί η ταχύτητα των αυτοκινήτου.

Απάντηση: Ξέρουμε ότι $d = ut$ ή $u = \frac{d}{t} = \frac{2m}{0.12sec} = 16.7$ m/sec.



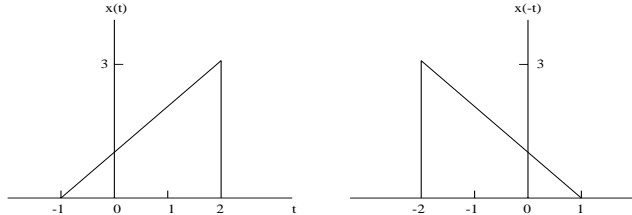
Σχήμα 1.1: Μετατόπιση στο χρόνο.



Σχήμα 1.2: Σήματα των δύο αιοθητήρων.

1.4.2 Αντανάκλαση

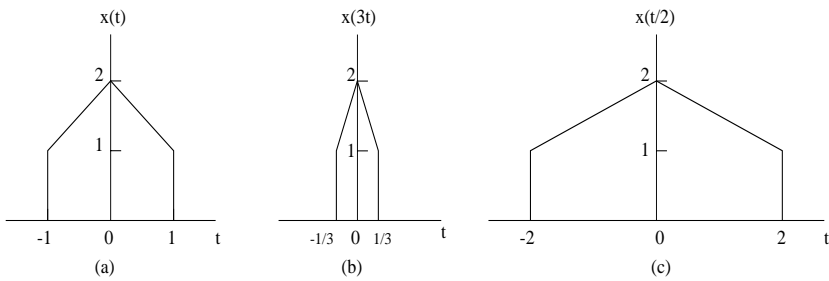
Το οίμα $x(-t)$ παίρνεται από το οίμα $x(t)$ μέσω μιας αντανάκλασης (reflection) γύρω από το $t = 0$ [δηλαδή με την αντιστροφή του $x(t)$]. (βλέπε Σχ 1.3).



Σχήμα 1.3: Αντανάκλαση.

1.4.3 Πολλαπλασιασμός στο Χρόνο

Ο πολλαπλασιασμός στο χρόνο (time-scaling) ορίζεται ως η κλιμάκωση της ανεξάρτητης μεταβλητής κατά ένα παράγοντα α , $x(t) \rightarrow x(\alpha t)$ (βλέπε Σχ 1.4). Αυτό έχει ως αποτέλεσμα τη συρρίκνωση ή την επέκταση του οίματος ανάλογα με το αν $\alpha > 1$ ή $\alpha < 1$.



Σχήμα 1.4: Πολλαπλασιασμός στο χρόνο.

1.5 Στοιχειώδη Σήματα

Υπάρχουν πολλά στοιχειώδη σήματα (elementary signals) τα οποία όχι μόνο ουναντώνται συχνά στις εφαρμογές, αλλά χρησιμεύουν και για την αναπαράσταση άλλων σημάτων. Στην παράγραφο που ακολουθεί θα μελετήσουμε στοιχειώδη σήματα που ορίζονται στο συνεχή χρόνο, ενώ στην επόμενη παράγραφο θα αναφερθούμε σε στοιχειώδη σήματα που ορίζονται στο διακριτό χρόνο. Σημειώνεται, και λόγω της μεγάλης οπουδαύτητάς του, μελετούμε το εκθετικό σήμα σε μια ανεξάρτητη παράγραφο. Κατά σύμβαση, στη περίπτωση του συνεχούς χρόνου θα ουμβολίζουμε την ανεξάρτητη μεταβλητή με t και θα χρησιμοποιούμε παρενθέσεις (π.χ. $x(t)$), ενώ στη περίπτωση του διακριτού χρόνου θα ουμβολίζουμε την ανεξάρτητη μεταβλητή με n και θα χρησιμοποιούμε γωνιακές παρενθέσεις (π.χ. $x[n]$).

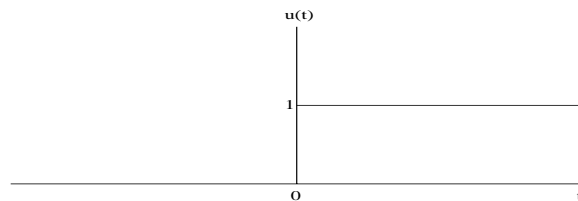
1.5.1 Στοιχειώδη Σήματα Συνεχούς Χρόνου

Συνάρτηση Μοναδιαίου Βήματος

Η συνάρτηση μοναδιαίου βήματος (unit step function) ορίζεται ως:

$$u(t) = \begin{cases} 0 & t < 0 \\ 1 & t \geq 0 \end{cases} \quad (1.5)$$

Παρατηρούμε ότι το σήμα είναι ασυνεχές στο $t = 0$. Η συνάρτηση μοναδιαίου βήματος απεικονίζεται στο Σχ 1.5.



Σχήμα 1.5: Συνάρτηση μοναδιαίου βήματος.

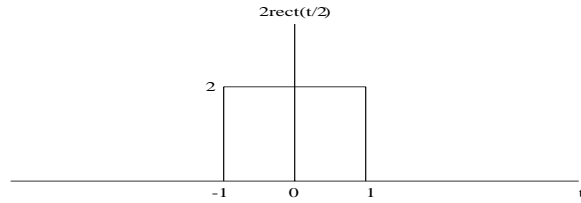
Τετραγωνικός Παλμός

Ο τετραγωνικός παλμός (rectangular pulse) (βλέπε Σx 1.6) ορίζεται ως:

$$\text{rect}\left(\frac{t}{2}\right) = u(t+1) - u(t-1) \quad (1.6)$$

Ο τετραγωνικός παλμός συστίζεται με τη συνάρτηση μοναδιαίου βήματος ούμφωνα με τη σχέση

$$A \cdot \text{rect}\left(\frac{t}{2a}\right) = A \cdot [u(t+a) - u(t-a)] \quad (1.7)$$



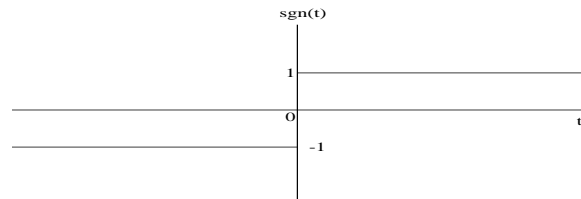
Σχήμα 1.6: Τετραγωνικός παλμός.

Συνάρτηση Προσήμου

Η συνάρτηση προσήμου (sign function) είναι μια δίτιμη συνάρτηση που ορίζεται ως συέση με τη συνάρτηση μοναδιαίου βήματος

$$\text{sgn}(t) = \begin{cases} -1 + 2u(t) & t \neq 0 \\ 0 & t = 0 \end{cases} \quad (1.8)$$

Παρατηρούμε ότι το σήμα είναι ασυνεχές στο $t = 0$. Η συνάρτηση προσήμου απεικονίζεται στο Σx 1.7.

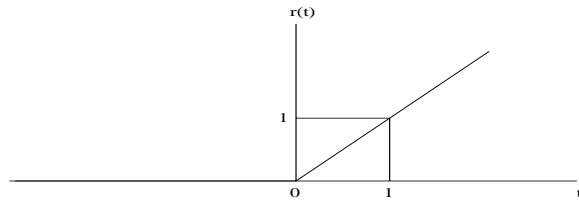


Σχήμα 1.7: Συνάρτηση προσήμου.

Γραμμική Συνάρτηση

Η γραμμική συνάρτηση (ramp function), φαίνεται στο Σx 1.8 και ορίζεται ούμφωνα με τη σχέση:

$$r(t) = \begin{cases} 0 & t < 0 \\ t & t \geq 0 \end{cases} \quad (1.9)$$



Σχήμα 1.8: Γραφική ουνάρτηση.

Συνάρτηση Δειγματοληψίας

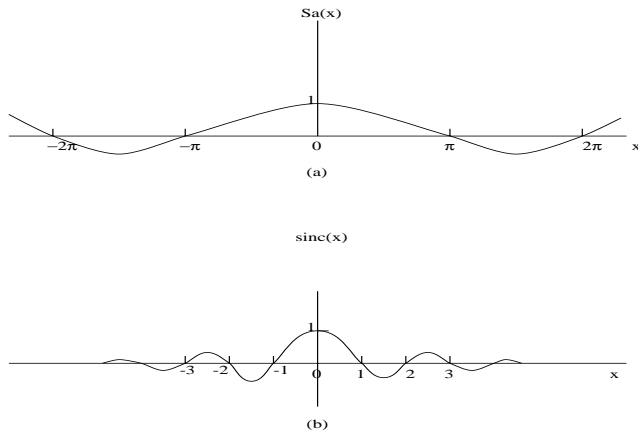
Μια ουνάρτηση που εμφανίζεται συχνά σε προβλήματα φασματικής ανάλυσης είναι η ουνάρτηση δειγματοληψίας (sampling function) $Sa(x)$ που ορίζεται ως:

$$Sa(x) = \frac{\sin x}{x} \quad (1.10)$$

ή χρησιμοποιώντας τη ουνάρτηση sinc

$$Sa(\pi x) = \frac{\sin \pi x}{\pi x} = \text{sinc } x \quad (1.11)$$

Η γραφική απεικόνιση των ουναρτήσεων δειγματοληψίας και sinc φαίνεται στο Σχ 1.9.

Σχήμα 1.9: (a) Συνάρτηση δειγματοληψίας, (b) ουνάρτηση sinc .

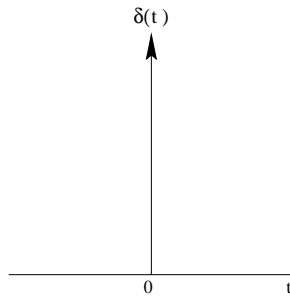
Συνάρτηση δ

Η ουνάρτηση δ (dirac delta) ορίζεται να ικανοποιεί τη σχέση:

$$\int_{t_1}^{t_2} x(t)\delta(t)dt = x(0) , \quad t_1 < 0 < t_2 \quad (1.12)$$

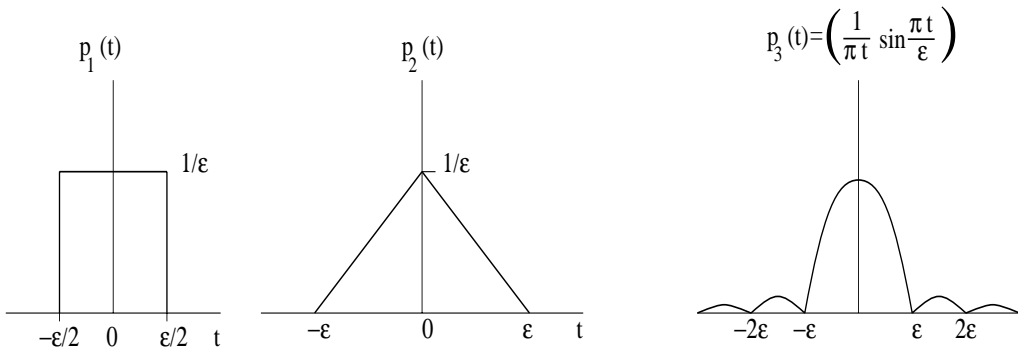
Γραφικά παριστάνεται όπως φαίνεται στο Σχ 1.10.

Επιπλέον, οι παρακάτω ιδιότητες ικανοποιούνται από τη ουνάρτηση δ :

Σχήμα 1.10: Συνάρτηση δ .

1. $\delta(0) \rightarrow \infty$
2. $\delta(t) = 0$ όταν $t \neq 0$
3. $\int_{-\infty}^{+\infty} \delta(t) dt = 1$
4. $\delta(t)$: άρτια συνάρτηση ($\delta(t) = \delta(-t)$)

Στη πράξη, η συνάρτηση $\delta(t)$ προοεγγίζεται με μαθηματικά μοντέλα που επιδέχονται εύκολη υλοποίηση (Σχ 1.11).

Σχήμα 1.11: Μαθηματικά μοντέλα της συνάρτησης $\delta(t)$.

1.5.2 Στοιχειώδη Σήματα Διακριτού Χρόνου

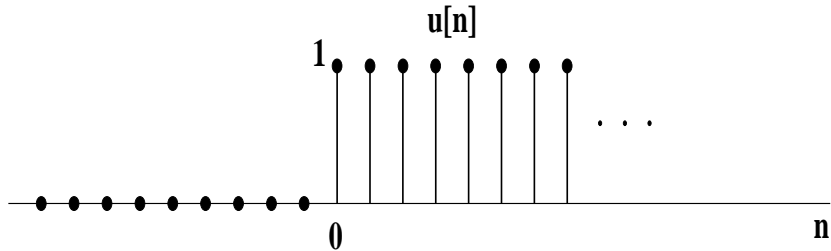
Οι τιμές που παίρνει το n σε αυτή την περίπτωση είναι διακριτές, δηλαδή μέσα από το σύνολο των ακεραίων αριθμών \mathbf{Z} .

Συνάρτηση Μοναδιαίου Βήματος

Η συνάρτηση μοναδιαίου βήματος ορίζεται κατά τρόπο ανάλογο όπως και στη περίπτωση των συνεχούς χρόνου:

$$u[n] = \begin{cases} 0, & n < 0 \\ 1, & n \geq 0 \end{cases} \quad (1.13)$$

Η γραφική της απεικόνιση φαίνεται στο Σχ 1.12.



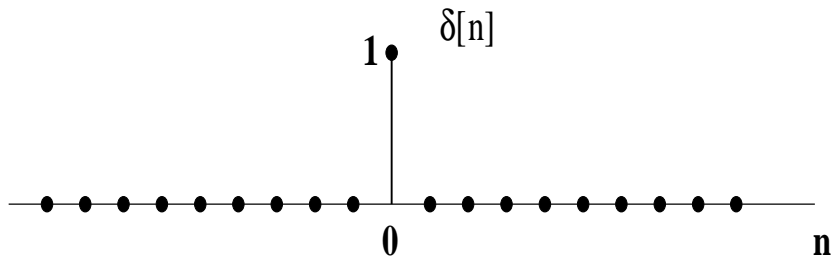
Σχήμα 1.12: Συνάρτηση μοναδιαίου βίβρατος.

Συνάρτηση δ

Η συνάρτηση δ στη περίπτωση των διακριτού χρόνου ορίζεται ως ένας παλιός μοναδιαίου πλάτους στο μηδέν:

$$\delta[n] = \begin{cases} 0, & n \neq 0 \\ 1, & n = 0 \end{cases} \quad (1.14)$$

Η γραφική της απεικόνιση φαίνεται στο Σχ 1.13.



Σχήμα 1.13: Συνάρτηση δ .

Οι παρακάτω ιδιότητες υπαγούνται από τη συνάρτηση δ και τη συνάρτηση μοναδιαίου βίβρατος:

1. $x[n]\delta[n] = x[0]\delta[n]$
2. $\delta[n] = u[n] - u[n - 1]$
3. $u[n] = \sum_{m=-\infty}^n \delta[m]$
4. $u[n] = \sum_{k=0}^{+\infty} \delta[n - k]$

1.5.3 Εκθετικό Σήμα

Συνεχής χρόνος

Το εκθετικό σήμα ορίζεται ως:

$$x(t) = C e^{\alpha t} \quad (1.15)$$

Στη γενική περίπτωση $C, \alpha \in \mathbf{C}$ και $\alpha = r + j\omega_0$, οπότε το $x(t)$ μπορεί να γραφεί ως:

$$\begin{aligned} x(t) &= C e^{rt+j\omega_0 t} \\ &= C e^{rt} e^{j\omega_0 t} \\ &= C e^{rt} (\cos \omega_0 t + j \sin \omega_0 t) \end{aligned} \quad (1.16)$$

όπου, η τελευταία ισότητα προκύπτει από τη σχέση του Euler. Αν $C, \alpha \in \mathbb{R}$ τότε έχουμε ένα πραγματικό εκθετικό σήμα το οποίο απεικονίζεται στο Σχ 1.14. Στη γενική περίπτωση που το $C \in \mathbf{C}$, $C = |C| e^{j\theta}$, και $\alpha = r + j\omega_0$ θα έχουμε:

$$\begin{aligned} C e^{\alpha t} &= |C| e^{j\theta} e^{(r+j\omega_0)t} \\ &= |C| e^{rt} e^{j(\omega_0 t + \theta)} \\ &= |C| e^{rt} \cos(\omega_0 t + \theta) + j |C| e^{rt} \sin(\omega_0 t + \theta) \end{aligned} \quad (1.17)$$

Για $r = 0$, το πραγματικό και φανταστικό μέρος του εκθετικού σήματος είναι ημιτονοειδή. Για $r < 0$, παίρνουμε πραγματικό και φανταστικό μέρος ως φθίνον εκθετικό \times ημιτονοειδές, ενώ για $r > 0$, παίρνουμε αύξον εκθετικό \times ημιτονοειδές (βλέπε Σχ 1.14).

Περιοδικότητα: Το καθαρά φανταστικό εκθετικό σήμα $x(t) = e^{j\omega_0 t} = \cos \omega_0 t + j \sin \omega_0 t$ είναι περιοδικό. Αυτό είναι αρκετά εύκολο να διαπιστωθεί: για να ισχύει πρέπει και αρκεί $e^{j\omega_0(t+T)} = e^{j\omega_0 t}$, το οποίο είναι ισοδύναμο με τη σχέση $e^{j\omega_0 t} e^{j\omega_0 T} = e^{j\omega_0 t} \neq e^{j\omega_0 T} = 1$.

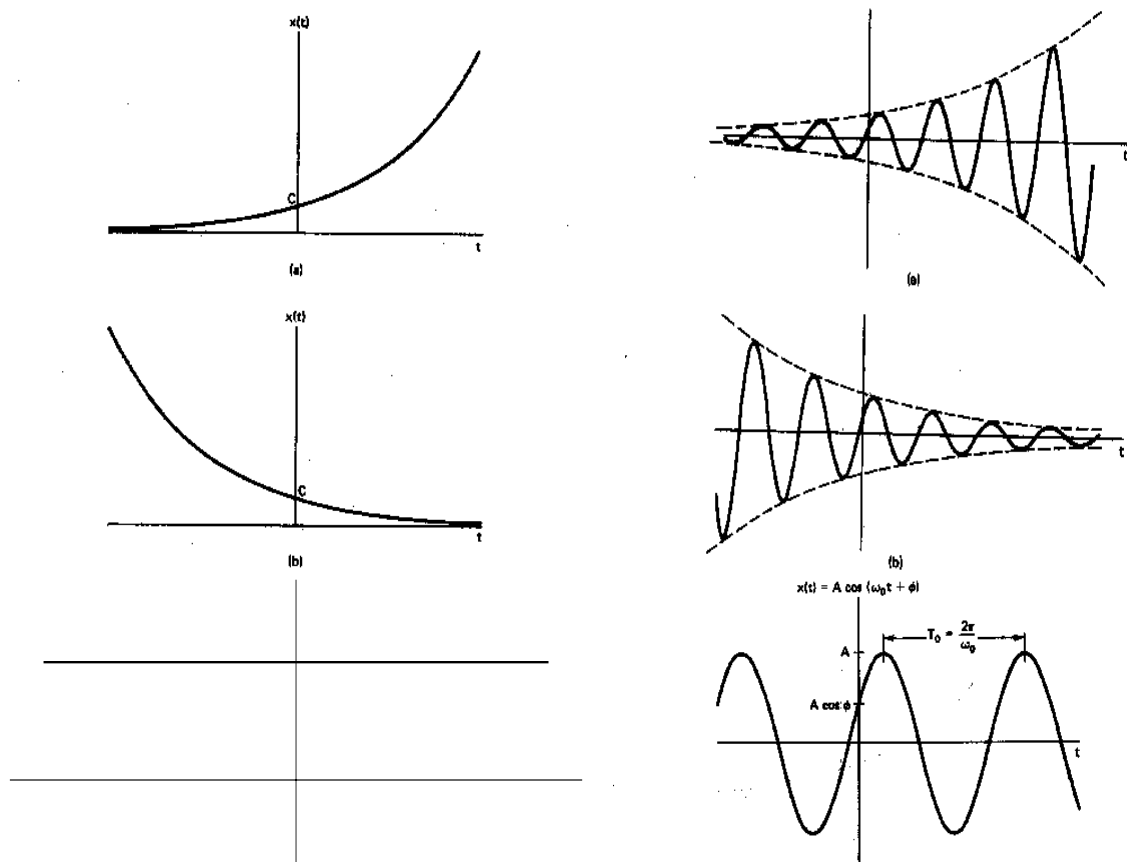
Η τελευταία αντί σχέση ισχύει εφ' όσον: (α) αν $\omega_0 = 0$ τότε $x(t) = 1$ και άρα το σήμα είναι περιοδικό $\forall T$, (β) αν $\omega_0 \neq 0$ τότε διαλέγουμε ως $T_0 = \frac{2\pi}{|\omega_0|}$ και $e^{j\omega_0 T_0} = e^{j2\pi} = 1$.

Διακριτός Χρόνος

Εστω $\alpha \in \mathbf{C}$, το οποίο γράφεται σε πολικές συντεταγμένες ως $\alpha = r e^{j\Omega}$. Το εκθετικό σήμα στο διακριτό χρόνο ορίζεται ως (βλέπε Σχ 1.15):

$$\begin{aligned} x[n] &= \alpha^n = r^n e^{j\Omega n}, \quad -\infty < n < +\infty \\ &= r^n \cos \Omega n + j r^n \sin \Omega n \end{aligned} \quad (1.18)$$

Περιοδικότητα: Το καθαρά φανταστικό σήμα $e^{j\Omega_0 n} = \cos \Omega_0 n + j \sin \Omega_0 n$ προέρχεται από δειγματοληψία των συνεχούς $e^{j\Omega t}$ με $T_s = 1$ (περίοδος δειγματοληψίας). Για να είναι αντό το σήμα περιοδικό με περίοδο $N > 0$, αρκεί $e^{j\Omega_0(n+N)} = e^{j\Omega_0 n}$, δηλαδή $e^{j\Omega_0 N} = 1$. Η τελευταία αντί σχέση ισχύει όταν $\Omega_0 N = 2\pi m$, $m \in \mathbf{Z}$, άρα αρκεί $\frac{\Omega_0}{2\pi} = \frac{m}{N}$.



Σχήμα 1.14: Εκθετικό σήμα (συνεχής χρόνος).

Συμπέρασμα: Το $e^{j\Omega_0 n}$ δεν είναι περιοδικό $\forall \Omega_0$. Είναι περιοδικό αν το $\frac{\Omega_0}{2\pi}$ είναι ρητός αριθμός.

π.χ. $\cos(\frac{2\pi}{12}n)$ περιοδικό

$\cos(\frac{8\pi}{31}n)$ περιοδικό

$\cos(\frac{n}{6})$ μη περιοδικό

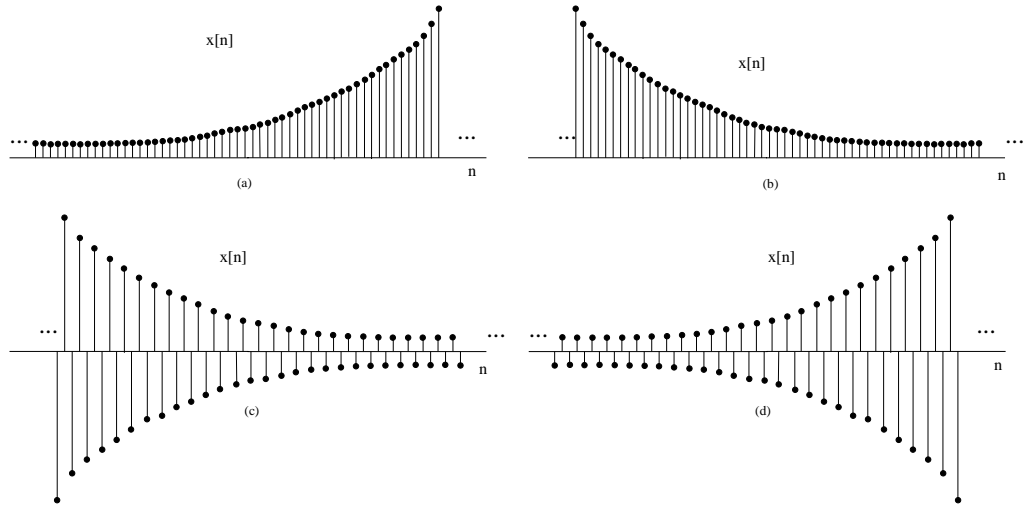
Ορίζουμε τη βασική συχνότητα του $e^{j\Omega_0 n}$ να είναι η $\frac{2\pi}{N} = \frac{\Omega_0}{m}$ και βασική περίοδο $N = m(\frac{2\pi}{\Omega_0})$.

Βασική Ιδιότητα του $e^{j\Omega_0 n}$: Το εκθετικό στη συχνότητα $(\Omega_0 + 2\pi)$ είναι ακριβώς το ίδιο με το $e^{j\Omega_0 n}$, δηλαδή

$$e^{j(\Omega_0 + 2\pi)n} = e^{j\Omega_0 n} e^{j2\pi n} = e^{j\Omega_0 n}$$

Συνεπώς, χρειάζεται μόνο να θεωρούμε το διάστημα $[0, 2\pi]$ όταν θεωρούμε διακριτά εκθετικά σήματα. Από το $0 \rightarrow \pi$ η συχνότητα αυξάνει και από το $\pi \rightarrow 2\pi$ ξαναμειώνεται. Στο 2π είναι ίδια με το 0 (βλέπε και Σχ. 1.16).

Οι διαφορές μεταξύ των εκθετικών σημάτων συνεχούς ($e^{j\omega_0 t}$) και διακριτού χρόνου ($e^{j\Omega_0 n}$) συνοψίζονται στο Πίνακα 1.1.



Σχήμα 1.15: Εκθετικό σήμα (διακριτός χρόνος). (a) $a > 1$, (b) $0 < a < 1$, (c) $-1 < a < 0$, (d) $a < -1$.

2-D Εκθετικό Σήμα

Συνεχής Χρόνος: Εστω $x(t_1, t_2)$ διδιάστατο σήμα για το οποίο ιοχύει $x(t_1, t_2) = e^{s_1 t_1 + s_2 t_2}$ όπου $s_1 = r_1 + j\omega_1$ και $s_2 = r_2 + j\omega_2$. Ιοχύει

$$\begin{aligned} x(t_1, t_2) &= e^{r_1 t_1 + r_2 t_2 + j(\omega_1 t_1 + \omega_2 t_2)} \\ &= e^{r_1 t_1 + r_2 t_2} (\cos(\omega_1 t_1 + \omega_2 t_2) + j \sin(\omega_1 t_1 + \omega_2 t_2)) \end{aligned} \quad (1.19)$$

Το φανταστικό 2-D εκθετικό $e^{j(\omega_1 t_1 + \omega_2 t_2)}$ είναι περιοδικό με περιόδους $\frac{2\pi}{\omega_1}$ και $\frac{2\pi}{\omega_2}$.

Διακριτός Χρόνος: Το εκθετικό σήμα στο διακριτό χρόνο είναι της μορφής

$$x[n_1, n_2] = a_1^{n_1} a_2^{n_2} \quad (1.20)$$

Το φανταστικό εκθετικό σήμα είναι

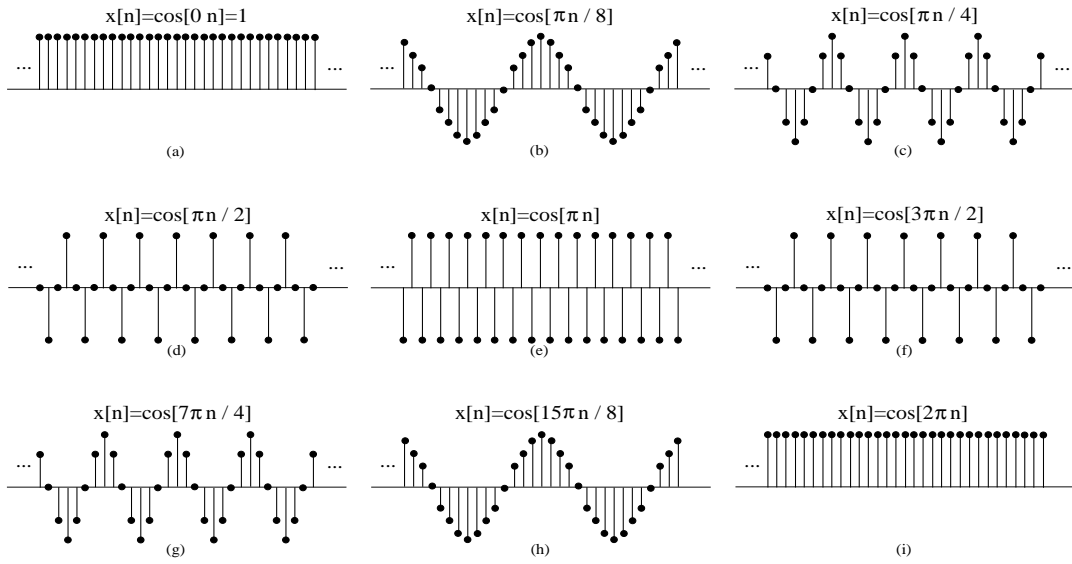
$$x[n_1, n_2] = e^{j\Omega_1 n_1} e^{j\Omega_2 n_2} = e^{j(\Omega_1 n_1 + \Omega_2 n_2)} \quad (1.21)$$

Το τελευταίο είναι περιοδικό αν $\Omega_1 = \frac{2\pi k_1}{N_1}$ και $\Omega_2 = \frac{2\pi k_2}{N_2}$.

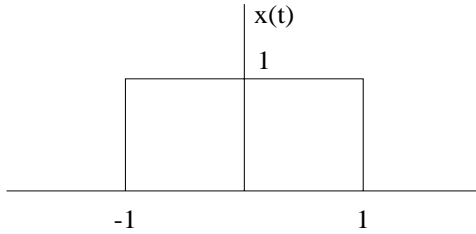
Παράδειγμα 1.2. Εστω $x(t)$ το σήμα που φαίνεται στο Σχ 1.17. Το σήμα μεταφέρεται και υφίσταται παραμόρφωση. Το λαμβανόμενο σήμα είναι το $y(t) = x(t) + 0.5x(t - \frac{T}{2}) + 0.25x(t - T)$, $T \gg 2$.

Το $y(t)$ επεξεργάζεται όπως φαίνεται στο Σχ 1.18. Ζητείται να σχεδιαστούν τα $y(t)$ και $z(t)$.

Απάντηση: Το $y(t)$ φαίνεται στο Σχ 1.19(a) και το $z(t)$ στο Σχ 1.19(b).



Σχήμα 1.16: Ημιτονοειδή σήματα διακριτού χρόνου για διάφορες συχνότητες.



Σχήμα 1.17: Σήμα $x(t)$.

Παράδειγμα 1.3. Εστω Z_0 μιγαδικός αριθμός με καρτεσιανές συντεταγμένες (x_0, y_0) και πολικές συντεταγμένες (r_0, θ_0) . Θεωρούμε τους μιγαδικούς αριθμούς:

$$Z_1 = r_0 e^{-j\theta_0}$$

$$Z_2 = r_0$$

$$Z_3 = r_0 e^{j(\theta_0 + \pi)}$$

$$Z_4 = r_0 e^{j(-\theta_0 + \pi)}$$

$$Z_5 = r_0 e^{j(\theta_0 + 2\pi)}$$

Βρείτε τις καρτεσιανές συντεταγμένες των Z_1, \dots, Z_5 . Επίοντς, σχεδιάστε τα Z_1, \dots, Z_5 για $r_0 = 2$, $\theta = \frac{\pi}{2}$ και $r_0 = 2$, $\theta = \frac{\pi}{4}$.

Απάντηση:

$$Z_1 = x_0 - jy_0$$

$$Z_2 = \sqrt{x_0^2 + y_0^2}$$

$$Z_3 = -x_0 - jy_0 = -Z_0$$

$$Z_4 = -x_0 + jy_0$$

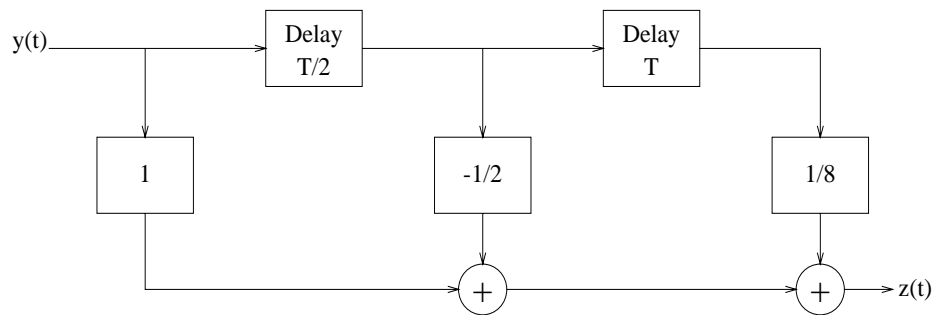
Πίνακας 1.1: Διαφορές μεταξύ των οημάτων $e^{j\omega_0 t}$ και $e^{j\Omega_0 n}$

$e^{j\omega_0 t}$	$e^{j\Omega_0 n}$
Distinct signals for distinct values of ω_0	Identical signals for exponentials at frequencies separated by 2π
Periodic for any choice of ω_0	Periodic only if $\Omega_0 = \frac{2\pi m}{N}$ for some integers $N > 0$ and m
Fundamental frequency ω_0	Fundamental frequency † $\frac{\Omega_0}{m}$
Fundamental period $\omega_0 = 0$: undefined $\omega_0 \neq 0$: $\frac{2\pi}{\omega_0}$	Fundamental period † $\Omega_0 = 0$: undefined $\Omega_0 \neq 0$: $m \left(\frac{2\pi}{\Omega_0} \right)$

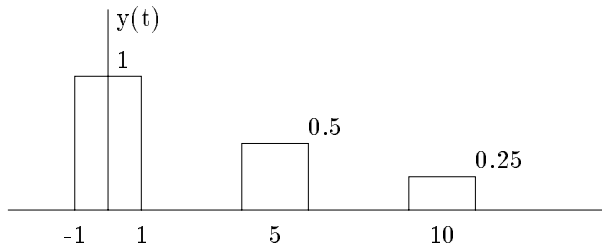
† These statements assume that m and N do not have any factors in common.

$$Z_5 = x_0 + jy_0 = Z_0$$

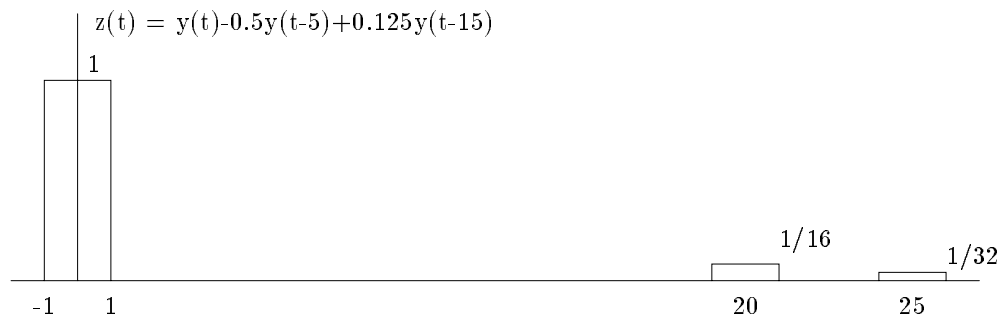
Η γραφική παράσταση των Z_1, \dots, Z_5 φαίνεται στο Σχ 1.20.



Σχήμα 1.18: Επεξεργασία των οημάτων $y(t)$.



(a)



(β)

Σχήμα 1.19: (a) Σήμα $y(t)$, (β) σήμα $z(t)$.

1.6 Ορθογώνια Αναπαράσταση Σημάτων

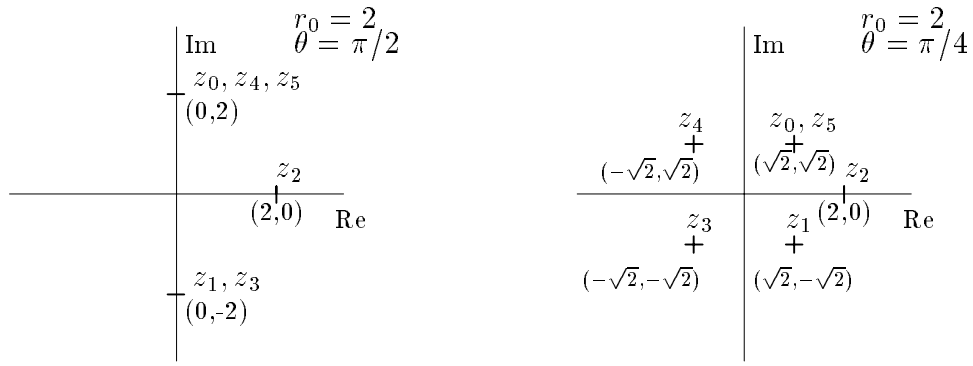
Εστω σήμα $x(t)$ το οποίο παρίσταται σαν σειρά από ορθογώνιες κυματομορφές $\Phi_k(t)$, $a < t < b$. Οι Φ_i , $i \in \mathbf{Z}$ λέγονται ορθογώνιες κυματομορφές στο (a, b) αν:

$$\int_a^b \Phi_k(t) \Phi_l^*(t) dt = \begin{cases} E_l & , k = l \\ 0 & , k \neq l \end{cases} = E_l \delta(l - k) \quad (1.22)$$

Αν $E_l = 1$, $\forall l$ τότε οι Φ_i λέγονται ορθοκανονικές.

Παράδειγμα 1.4. Εστω οι ουναρτήσεις $\Phi_m(t) = \sin mt$, $m = 1, 2, 3, \dots$, $-\pi < t < \pi$. Ισχύει

$$\begin{aligned} \int_{-\pi}^{\pi} \Phi_m(t) \Phi_n^*(t) dt &= \int_{-\pi}^{\pi} \sin mt \sin nt dt \\ &= \frac{1}{2} \int_{-\pi}^{\pi} \cos(m-n)t dt - \frac{1}{2} \int_{-\pi}^{\pi} \cos(m+n)t dt \\ &= \begin{cases} \pi & , m = n \\ 0 & , m \neq n \end{cases} \end{aligned}$$

Σχήμα 1.20: Γραφική παράσταση των μιγαδικών $Z_1 \dots Z_5$.

Συνεπώς οι $\sin t$, $\sin 2t$, $\sin 3t$, ... αποτελούν ορθογώνιο σύνολο στο $(-\pi, \pi)$ και οι $\frac{\sin t}{\sqrt{\pi}}$, $\frac{\sin 2t}{\sqrt{\pi}}$, $\frac{\sin 3t}{\sqrt{\pi}}$, ... αποτελούν ορθοκανονικό σύνολο στο ίδιο διάστημα.

Παράδειγμα 1.5. Ζητείται να εξεταστεί αν είναι ορθοκανονικό το σύνολο

$$\left\{ \Phi_k(t) = e^{\frac{j2\pi kt}{T}}, k \in \mathbf{Z}, 0 < t < T \right\}$$

Απάντηση:

$$\begin{aligned} \int_0^T \Phi_l(t) \Phi_k^*(t) dt &= \int_0^T e^{j\frac{2\pi lt}{T}} e^{-j\frac{2\pi kt}{T}} dt \\ &= \begin{cases} T & , l = k \\ 0 & , l \neq k \end{cases} \end{aligned}$$

Συνεπώς οι συναρτήσεις $\frac{1}{\sqrt{T}} e^{\frac{j2\pi kt}{T}}$ αποτελούν ορθοκανονικό σύνολο στο $(0, T)$. ■

Γενικός Κανόνας: Αν $\Phi_i(t)$ είναι ένα ορθοκανονικό σύνολο στο διάστημα $a < t < b$ τότε κάθε σήμα $x(t)$ γράφεται ως

$$x(t) = \sum_{i=-\infty}^{+\infty} c_i \Phi_i(t) \quad (1.23)$$

όπου

$$c_k = \int_a^b x(t) \Phi_k^*(t) dt, \quad k \in \mathbf{Z} \quad (1.24)$$

Αν το σύνολο $\Phi_i(t)$ είναι ορθογώνιο αλλά όχι ορθοκανονικό τότε

$$c_k = \frac{1}{E_k} \int_a^b x(t) \Phi_k^*(t) dt \quad (1.25)$$

Κεφάλαιο 2

Συγκερασμός

2.1 Συνεχής Χρόνος

Εστω τα σήματα $x(t)$, $h(t)$. Ορίζουμε σαν συγκερασμό (convolution) αυτών των σημάτων, το σήμα $y(t)$ που δίνεται από τη σχέση:

$$y(t) = \int_{-\infty}^{+\infty} x(\tau)h(t - \tau)d\tau \quad (2.1)$$

Το ολοκλήρωμα στη σχέση (2.1) ονομάζεται ολοκλήρωμα συγκερασμού (convolution integral) των $x(t)$, $h(t)$. Ο συγκερασμός των σημάτων $x(t)$, $h(t)$ ουμβολίζεται ως $y(t) = x(t) * y(t)$.

Ορισμός: Μία συνάρτηση $x(t)$ λέγεται **απολύτως ολοκληρώσιμη** στο $[a, b]$ αν

$$\int_a^b |x(t)| dt < \infty \quad (2.2)$$

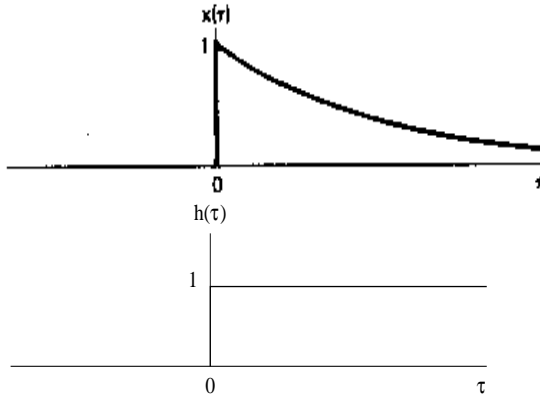
Για να υπάρχει ο συγκερασμός δύο σημάτων $x(t)$, $h(t)$ αρκεί να ικανοποιούνται οι παρακάτω συνθήκες (πιθανώς και να υπάρχει χωρίς να ικανοποιούνται):

1. Τα $x(t)$, $h(t)$ πρέπει να είναι απολύτως ολοκληρώσιμες συναρτήσεις στο $(-\infty, 0]$.
2. Τα $x(t)$, $h(t)$ πρέπει να είναι απολύτως ολοκληρώσιμες συναρτήσεις στο $[0, \infty)$.
3. Κάποια από τις $x(t)$, $h(t)$ ή και οι δύο πρέπει να είναι απολύτως ολοκληρώσιμες στο $(-\infty, +\infty)$

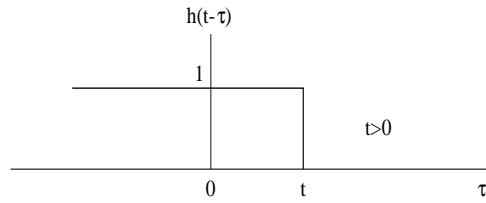
Παράδειγμα 2.1. Τα $\cos \omega t * \cos \omega t$ και $e^t * e^{-t}$ δεν υπάρχουν.

Παράδειγμα 2.2. Να βρεθεί ο συγκερασμός των $x(t) = e^{-\alpha t}u(t)$, $\alpha > 0$ και $h(t) = u(t)$. Τα δύο σήματα φαίνονται στο Σχ 2.1.

Απάντηση: Για $t < 0$, $x(\tau)h(t - \tau) = 0$. Για $t > 0$, το $h(t - \tau)$ φαίνεται στο Σχ 2.2.



Σχήμα 2.1: Δύο σήματα $x(t) = e^{-\alpha t}u(t)$, $\alpha > 0$ και $h(t) = u(t)$.



Σχήμα 2.2: Αντιτροφή του σήματος $h(\tau)$ του προηγούμενου σχήματος.

$$x(\tau)h(t-\tau) = \begin{cases} e^{-\alpha\tau}, & 0 < \tau < t \\ 0, & \text{διαφορετικά} \end{cases}$$

Αρα

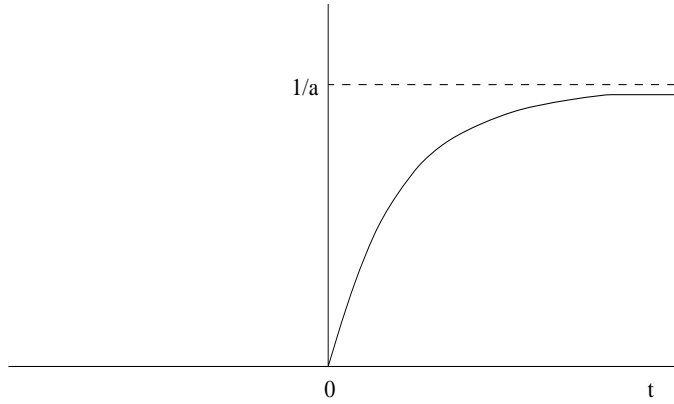
$$y(t) = \int_0^t e^{-\alpha\tau} d\tau = -\frac{1}{\alpha}e^{-\alpha\tau} \Big|_0^t = \frac{1}{\alpha}(1 - e^{-\alpha t})$$

και συνεπώς $y(t) = \frac{1}{\alpha}(1 - e^{-\alpha t})u(t)$, $\forall t$. Το αποτέλεσμα των συγκερασμού, $y(t)$, φαίνεται γραφικά στο Σχ 2.3.

Ιδιότητες συγκερασμού

- Αντιμεταθετική (Commutative) : $x(t) \star h(t) = h(t) \star x(t)$
- Προσεταιριστική (Associative) : $x(t) \star h_1(t) \star h_2(t) = [x(t) \star h_1(t)] \star h_2(t) = x(t) \star [h_1(t) \star h_2(t)]$
- Επιμεριστική (Distributeve) : $x(t) \star [h_1(t) + h_2(t)] = x(t) \star h_1(t) + x(t) \star h_2(t)$

$$y(t) = \frac{1}{a} (1 - e^{-at}) u(t)$$



Σχήμα 2.3: Αποτέλεσμα των συγκερασμού του παραδείγματος 2.2.

Οι ιδιότητες αυτές έχουν οπουδαιίες εφαρμογές στα συστήματα όπως φαίνεται στο Σχ 2.4.

Παράδειγμα 2.3. Εστω το σύστημα με κρονοστική απόκριση $\delta(t)$. Το σύστημα αυτό είναι το ταυτοτικό σύστημα (η έξοδός του είναι ίδια με την είσοδο):

$$x(t) * \delta(t) = \int_{-\infty}^{+\infty} x(\tau) \delta(t - \tau) d\tau = x(t) \quad (2.3)$$

Εστω το σύστημα με κρονοστική απόκριση $u(t)$. Το σύστημα αυτό είναι ο ιδανικός ολοκληρωτής (η έξοδός του είναι το ολοκλήρωμα της εισόδου του):

$$x(t) * u(t) = \int_{-\infty}^{+\infty} x(\tau) u(t - \tau) d\tau = \int_{-\infty}^t x(\tau) d\tau \quad (2.4)$$

Παράδειγμα 2.4. Εστω ότι η σχέση μεταξύ εισόδου $x(t)$ και εξόδου $y(t)$ ενός συστήματος είναι $y(t) = \int_{t-T}^t x(\tau) s(T - t + \tau) d\tau$, $0 \leq t \leq T$, όπου $s(t)$ γνωστό σήμα διάρκειας T .

Από τον οριομό των συγκερασμού έχουμε

$$h(t - \tau) = \begin{cases} s(T - t + \tau) & , 0 < t - \tau < T \\ 0 & , \text{διαφορετικά} \end{cases}$$

$$h(t) = \begin{cases} s(T - t) & , 0 < t < T \\ 0 & , \text{διαφορετικά} \end{cases}$$

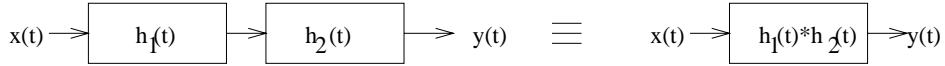
Το σύστημα δηλαδή αποκρίνεται με $s(t)$ ανακλώμενο και μεταποιημένο κατά T [το σύστημα “ταιριάζει” με το σήμα $s(t)$]. Το σύστημα αυτό ονομάζεται “ταιριαστό φίλτρο” (matched filter).

Γραφική παράσταση του συγκερασμού

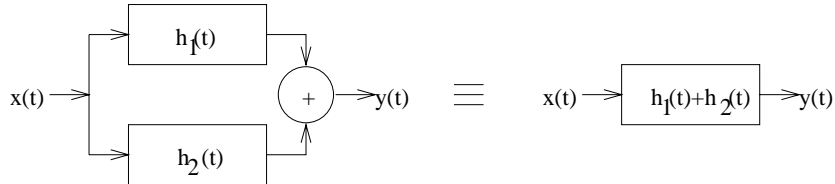
Υπάρχει ένας (οχετικά) εύκολος, γραφικός τρόπος να υπολογίσουμε (με κάποια προσέγγιση) το συγκερασμό δύο σημάτων. Κατ' αυτόν, για δύο συναρτήσεις $x(t)$ και $h(t)$, εργαζόμαστε ως



(a)



(b)



(c)

Σχήμα 2.4: Ιδιότητες των συγκερασμού συνεχούς χρόνου.

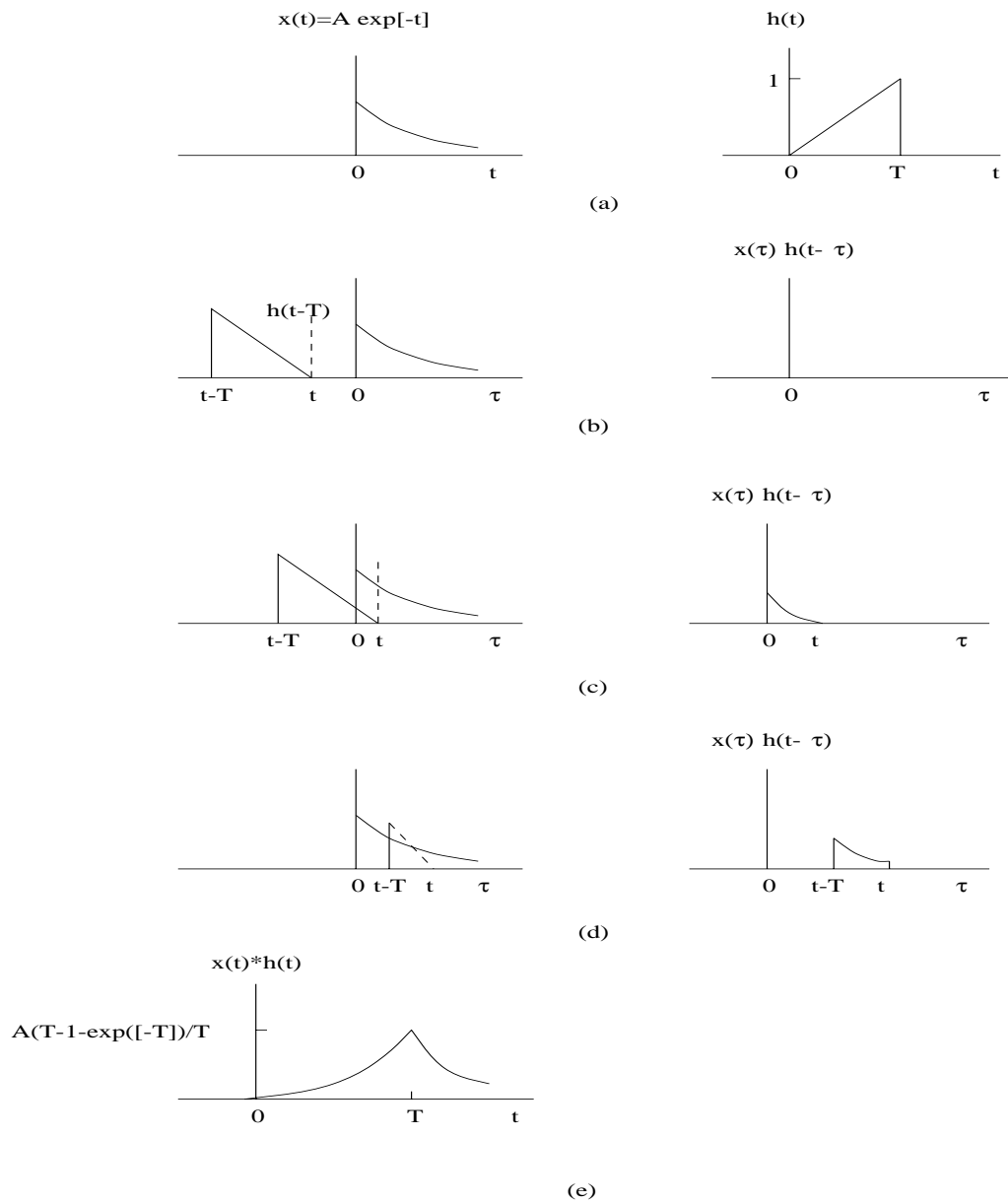
εξής: αντιστρέφουμε τη συνάρτηση $h(t)$ και την ολιοθένουμε στο χρόνο. Σε κάθε σημείο t , η τιμή των συγκερασμού (ολοκληρώματος) καθορίζεται από την επιφάνεια των δύο συναρτήσεων που έχουμε αλληλοκαλύψει.

Παράδειγμα 2.5. Το παράδειγμα αυτό αναφέρεται στα δύο σήματα που απεικονίζονται στο Σχ 2.5, όπου φαίνεται και ο γραφικός υπολογισμός των συγκερασμού των.

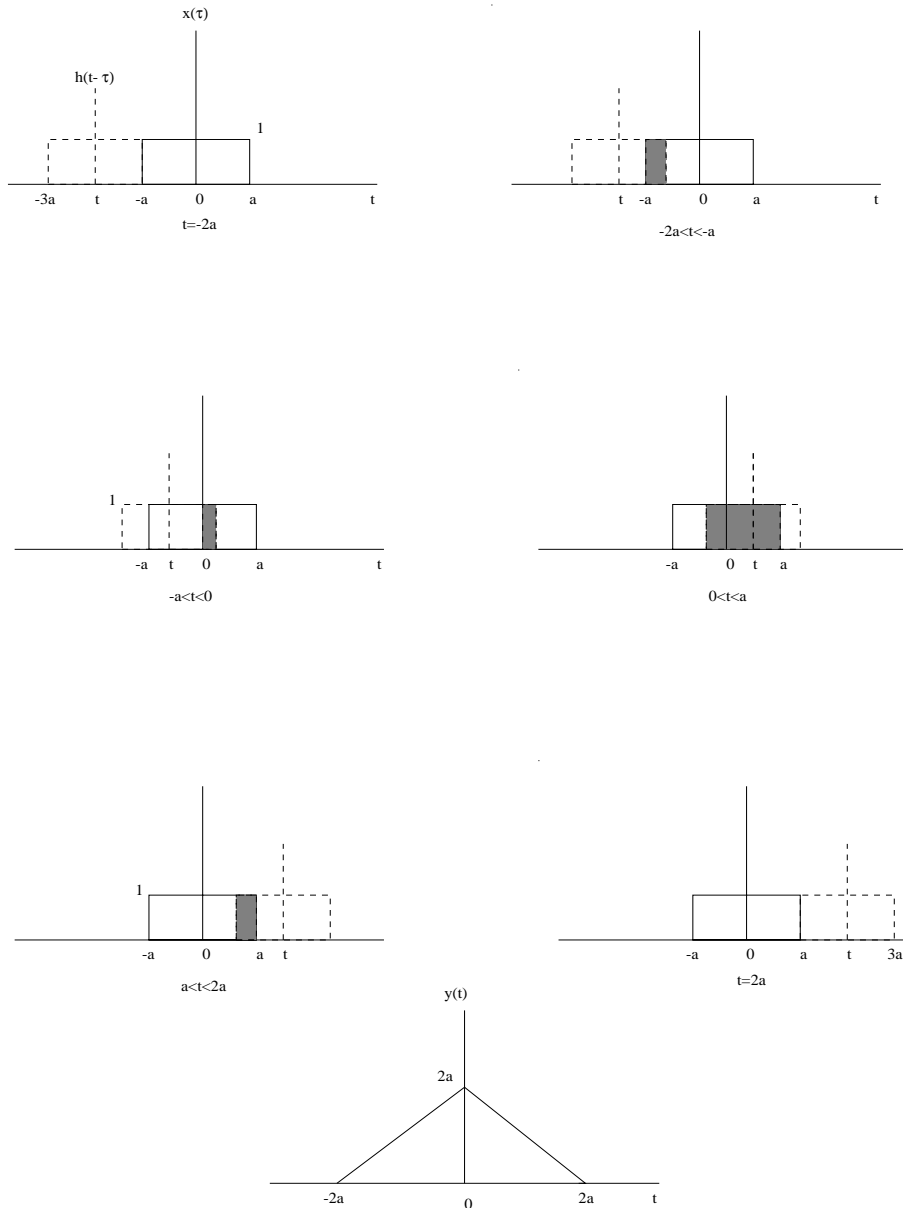
Παράδειγμα 2.6. Το παράδειγμα αυτό αναφέρεται στα δύο σήματα που απεικονίζονται στο Σχ 2.6, όπου φαίνεται και ο γραφικός υπολογισμός των συγκερασμού των.

Παράδειγμα 2.7. Το παράδειγμα αυτό αναφέρεται στα δύο σήματα που απεικονίζονται στο Σχ 2.7, όπου φαίνεται και ο γραφικός υπολογισμός των συγκερασμού των.

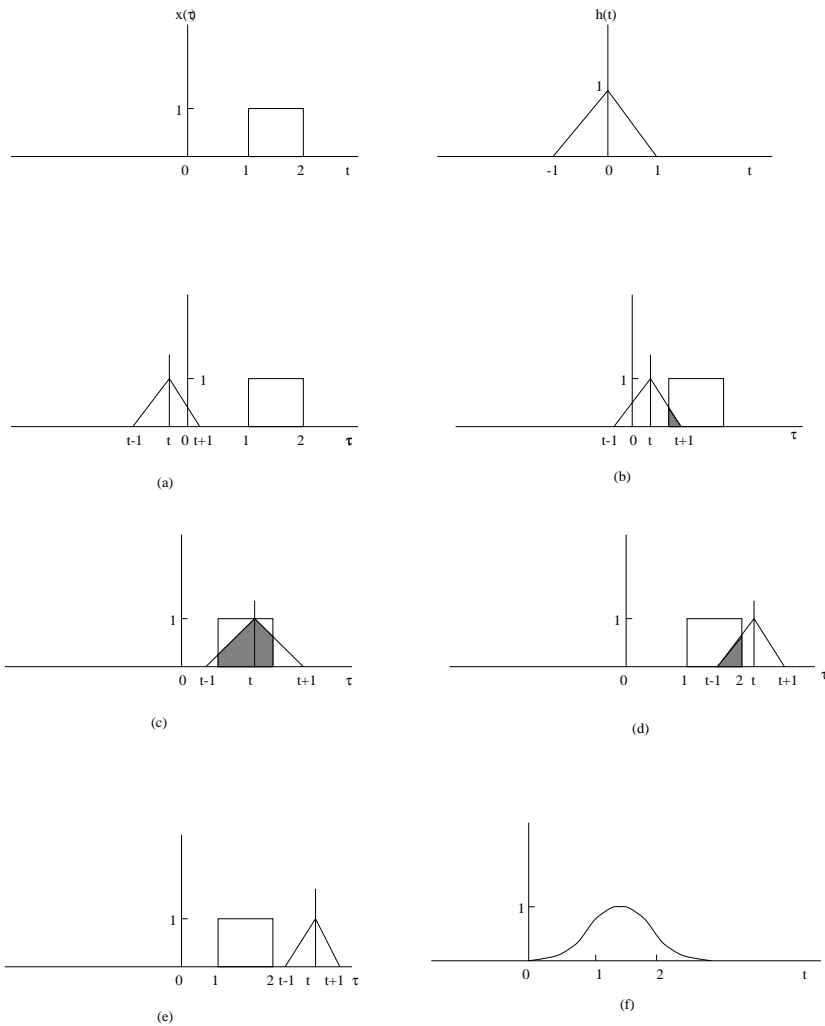
$$y(t) = \begin{cases} 0 & , t < 0 \\ \frac{t^2}{2} & , 0 < t < 1 \\ 3t - \frac{t^2}{2} - \frac{3}{2} & , 1 < t < 2 \\ \frac{3-t^2}{2} & , 2 < t < 3 \\ 0 & , t > 3 \end{cases}$$



Σχήμα 2.5: Γραφικός υπολογισμός των συγκεραομένων (συνεξής χρόνος).



Σχήμα 2.6: (Οπως στο προηγ.)



Σχήμα 2.7: (Οπως στο προηγ.)

2.2 Διακριτός Χρόνος

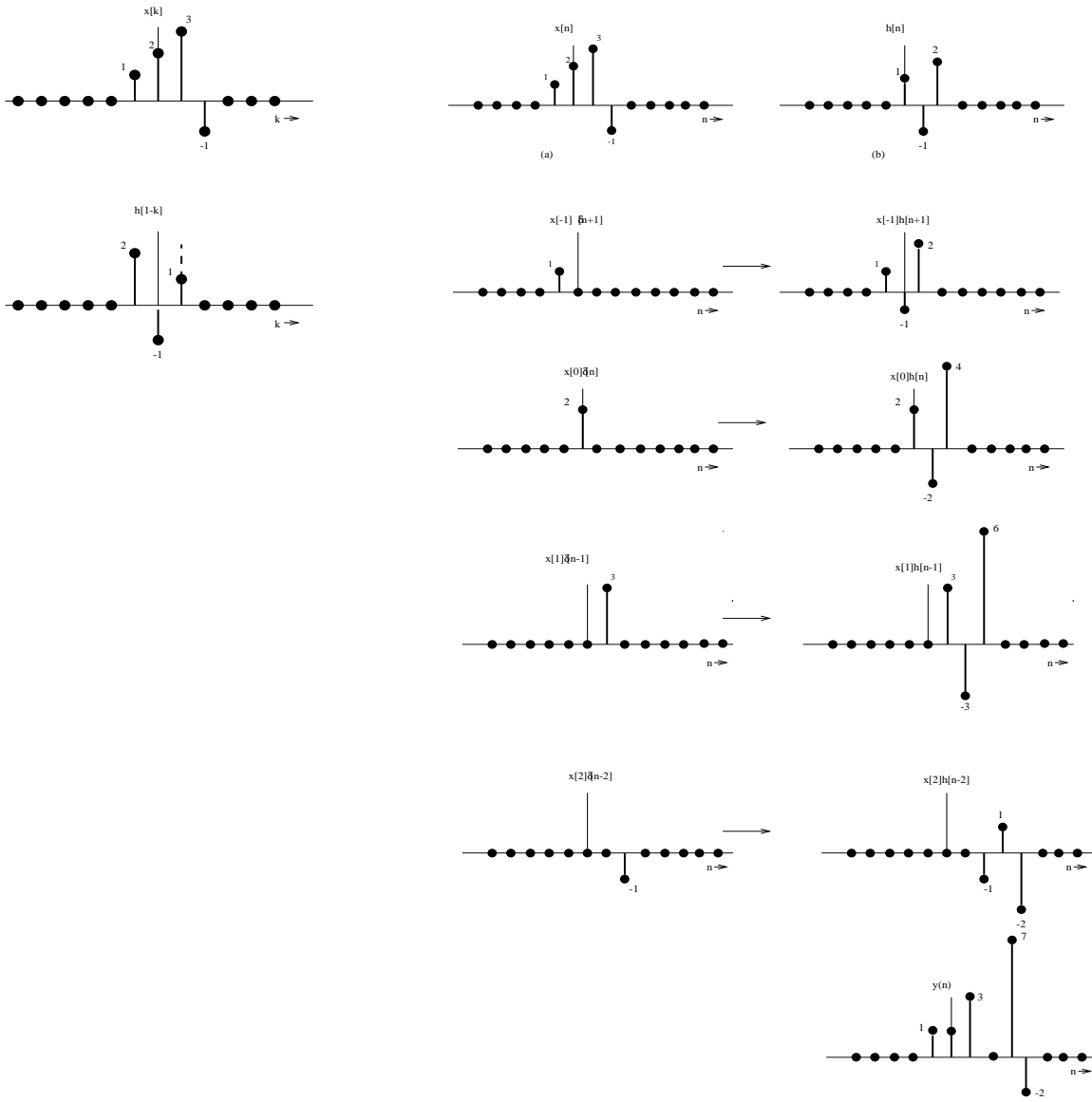
Στη περίπτωση των διακριτού χρόνου το ολοκλήρωμα αντικαθίσταται από άθροισμα (άθροισμα συγκερασμού – convolution sum). Εποι, ο συγκερασμός δύο οιμάτων $x[n], h[n]$ υπολογίζεται ως:

$$y[n] = \sum_{k=-\infty}^{+\infty} x[k]h[n-k] \quad (2.5)$$

και συμβολίζεται ως

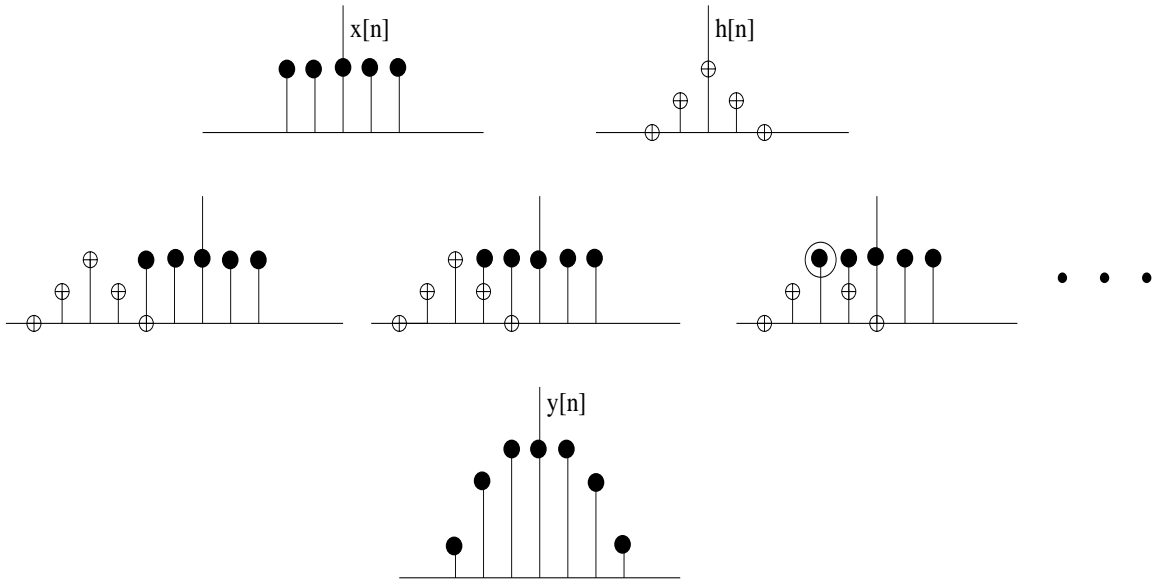
$$y[n] = x[n] \star h[n] \quad (2.6)$$

Ο υπολογισμός με γραφικό τρόπο είναι τελείως ανάλογος με την περίπτωση των συνεχούς χρόνου, όπως απεικονίζεται και στο Σχ 2.8.



Σχήμα 2.8: Γραφικός υπολογισμός των συγκερασμού (διακριτός χρόνος).

Παράδειγμα 2.8. Το παράδειγμα αυτό αναφέρεται στα δύο οίματα $x[n], h[n]$ που απεικονίζονται στο Σχ 2.9, όπου φαίνεται και ο γραφικός υπολογισμός του συγκερασμού των.



Σχήμα 2.9: (Οπως στο προηγ.)

2.3 Περιοδικός Συγκερασμός

Αν $x(t)$ και $h(t)$ είναι περιοδικά οίματα, τότε $x(t) * h(t)$ δεν συγκλίνει. Στην περίπτωση αυτή ορίζονται την πράξη του περιοδικού συγκερασμού (periodic convolution)

$$y(t) = \int_0^{T_0} x(\tau)h(t - \tau)d\tau = x(t) \circledast h(t) \quad (2.7)$$

Ολοκληρωση σε μια περίοδο: Ισχύει $y_\alpha(t) = y(t)$ όπου $y_\alpha(t) = \int_\alpha^{\alpha+T_0} x(\tau)h(t - \tau)d\tau$ και η $y(t)$ είναι περιοδική με περίοδο T_0 .

Παρόμοια ισχύουν και για την περίπτωση διακριτού χρόνου. Για $x[n]$ και $h[n]$ περιοδικά με περίοδο N ισχύει:

$$y[n] = \sum_{k=0}^{N-1} x[k]h[n - k] \quad (2.8)$$

Παράδειγμα 2.9. Εστω $x[n] = \{1, 2, 0, -1\}$ $h[n] = \{1, 3, -1, -2\}$. Ο υπολογισμός του περιοδικού συγκερασμού των $x[n]$ και $h[n]$ φαίνεται στο παρακάτω πίνακα:

n	0	1	2	3
x[n]	1	2	0	-1
x[n-1]	-1	1	2	0
x[n-2]	0	-1	1	2
x[n-3]	2	0	-1	1
h[0]x[n]	1	2	0	-1
h[1]x[n-1]	-3	3	6	0
h[2]x[n-2]	0	1	-1	-2
h[3]x[n-3]	-4	0	2	-2
y[n]	-6	6	7	-5

Παράδειγμα 2.10. Ζητείται να υπολογιστεί ο συγκερασμός $x(t) \star h(t)$ όπου $x(t) = 2e^{-2t}u(t)$ και $h(t) = e^{-t}u(t)$.

Απάντηση:

$$y(t) = x(t) \star h(t) = \int_{-\infty}^{+\infty} 2e^{-2\tau}u(\tau)e^{-(t-\tau)}u(t-\tau)d\tau$$

$$\text{Για } t < 0, \quad u(t-\tau)u(\tau) = 0$$

$$\text{Για } t > 0, \quad 2e^{-2\tau}u(\tau)e^{-(t-\tau)}u(t-\tau) = \begin{cases} 2e^{-2\tau}e^{-(t-\tau)}, & 0 < \tau < t \\ 0, & \text{διαφορετικά} \end{cases}$$

$$\begin{aligned} y(t) &= \int_0^t 2e^{-2\tau}e^{-t}e^\tau d\tau \\ &= 2e^{-t} \int_0^t e^{-\tau} d\tau \\ &= -2e^{-t} \left[e^{-\tau} \right] \Big|_0^t \\ &= -2e^{-t}(e^{-t} - 1) = 2e^{-t}(1 - e^{-t}), \quad t > 0 \\ \Rightarrow y(t) &= 2e^{-t}(1 - e^{-t})u(t) \quad \forall t \end{aligned}$$

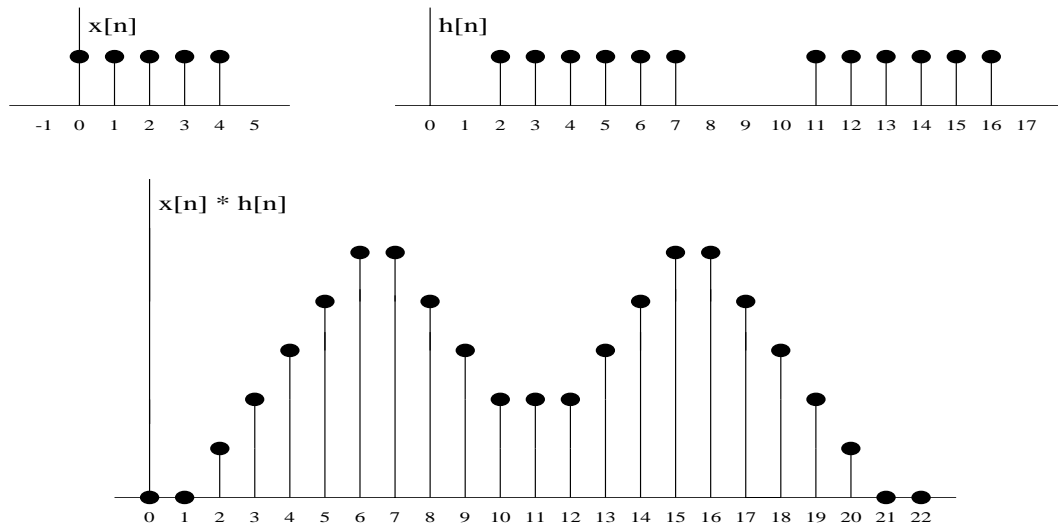
Παράδειγμα 2.11. Ζητείται να υπολογιστεί ο συγκερασμός $x(t) \star h(t)$ όπου $x(t) = te^{-2t}u(t)$ και $h(t) = e^{-t}u(t)$.

Απάντηση: Κάνοντας τον ίδιο συλλογισμό με την προηγούμενη άσκηση και με δεδομένο ότι $\int te^{-t}dt = -(1+t)e^{-t}$ βλέπουμε ότι

$$y(t) = \int_{-\infty}^{+\infty} \tau e^{-2\tau}u(\tau)e^{t-\tau}u(t-\tau)d\tau$$

$$\begin{aligned}
 &= e^{-t} \int_0^t \tau e^{-\tau} d\tau = e^{-t} \left[-(1+\tau)e^{-\tau} \Big|_0^t \right] \\
 &= e^{-t} \left[-(1+t)e^{-t} + (1+0)1 \right] \\
 &= e^{-t} \left[1 - (1+t)e^{-t} \right], \quad t > 0 \\
 \implies y(t) &= e^{-t} \left[1 - (1+t)e^{-t} \right] u(t), \quad \forall t
 \end{aligned}$$

Παράδειγμα 2.12. Το παράδειγμα αυτό αναφέρεται στα δύο σήματα $x[n]$, $h[n]$ που απεικονίζονται στο Σχ 2.10, όπου φαίνεται και ο γραφικός υπολογισμός των συγκερασμού των.



Σχήμα 2.10: Γραφικός υπολογισμός των συγκερασμού (διακριτός χρόνος).

Κεφάλαιο 3

Σειρές Fourier Συνεχούς Χρόνου

3.1 Αναπαράσταση με σειρά Fourier

Ξέρουμε ότι κάθε σήμα μπορεί να παρασταθεί σε ένα διάστημα (a, b) σαν σειρά ορθογώνιων ουναρτήσεων $\phi_k(t)$. Μια πολύ βολική εκλογή για τις $\phi_k(t)$ είναι οι μιγαδικές εκθετικές ουναρτήσεις που οχετίζονται με την $e^{j\omega_0 t}$ η οποία είναι περιοδική με περίοδο $T_0 = \frac{2\pi}{\omega_0}$. Με την παραπάνω ουνάρτηση οχετίζουμε την οικογένεια

$$\phi_k(t) = e^{jk\omega_0 t}, \quad k = 0, \pm 1, \pm 2, \dots \quad (3.1)$$

Κάθε $\phi_k(t)$ είναι περιοδική με περίοδο T_0 . Στο σημείο αυτό μπορεί βέβαια κανείς να αναρωτηθεί γιατί διαλέξαμε την οικογένεια των ουναρτήσεων $\phi_k(t) = e^{jk\omega_0 t}$ για την αναπαράσταση των οημάτων. Η απάντηση ο' αυτό το ερώτημα βρίσκεται στο γεγονός ότι τα γραμμικά, ανεξάρτητα χρόνου (linear time-invariant – LTI) ουντήματα αποκρίνονται σε τέτοιες ουναρτήσεις χωρίς να τις μεταβάλλουν!

$$e^{st} \xrightarrow{LTI} H(s)e^{st}$$

Σύμφωνα με όσα έχουμε δει περί ορθογώνιας αναπαράστασης, η $x(t) = \sum_{-\infty}^{+\infty} \alpha_k e^{jk\omega_0 t}$, αν ουγκλίνει, είναι περιοδική με περίοδο T_0 . Ετοι, ανάλογα με τις τιμές του k παίρνουμε τους εξής όρους (ουντελεστές α_k) των αθροισμάτων:

Ο όρος για $k = 0$: d_c σταθερός όρος

Οι όροι για $k = \pm 1$: βασική περίοδος T_0 , πρώτοι αρμονικοί

Οι όροι για $k = \pm 2$: βασική περίοδος $\frac{T_0}{2}$, δεύτεροι αρμονικοί

⋮

Οι όροι για $k = \pm N$: βασική περίοδος $\frac{T_0}{N}$, N -οστοί αρμονικοί

Παράδειγμα 3.1. Θεωρούμε το σήμα $x(t) = \sum_{k=-3}^3 \alpha_k e^{jk2\pi t}$, όπου

$$\alpha_0 = 1$$

$$\alpha_1 = \alpha_{-1} = \frac{1}{4}$$

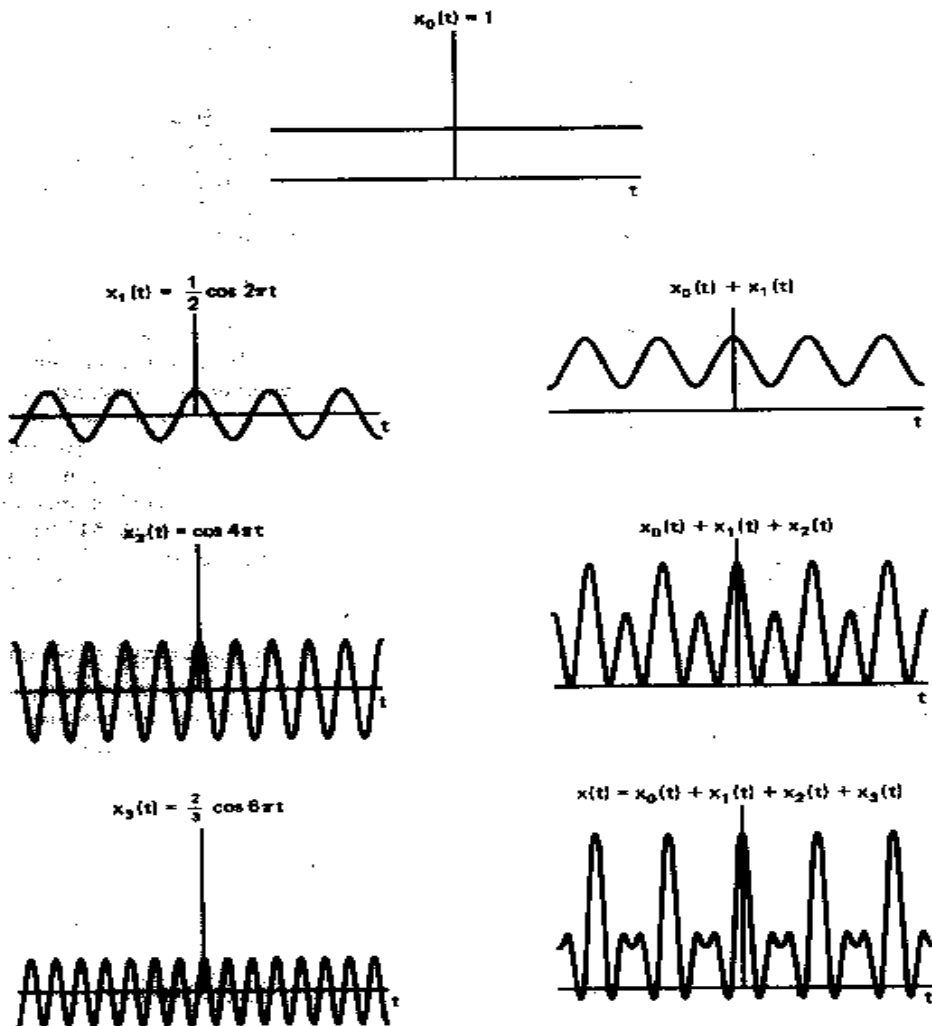
$$\alpha_2 = \alpha_{-2} = \frac{1}{2}$$

$$\alpha_3 = \alpha_{-3} = \frac{1}{3}$$

To $x(t)$ μπορεί λοιπόν να παρασταθεί ως σειρά όπως φαίνεται στη συνέχεια

$$\begin{aligned}x(t) &= 1 + \frac{1}{4}(e^{j2\pi t} + e^{-j2\pi t}) + \frac{1}{2}((e^{j4\pi t} + e^{-j4\pi t}) + \frac{1}{3}(e^{j6\pi t} + e^{-j6\pi t}) \\x(t) &= 1 + \frac{1}{2}\cos 2\pi t + \cos 4\pi t + \frac{2}{3}\cos 6\pi t\end{aligned}$$

Γραφική παράσταση: Το σήμα $x(t)$ μπορεί να θεωρηθεί ως η υπέρθεση των “αρμονικών” του, όπως αυτές υπολογίστηκαν παραπάνω. Αυτό φαίνεται σχηματικά στο Σχ 3.1.



Σχήμα 3.1: Κατασκευή του $x(t)$ σαν γραμμικός συνδυασμός των αρμονικών του.

Σειρά Συνημιτόνων. Η προηγούμενη έκφραση του $x(t)$ ως άθροιομα ουνημπόνων είναι μία άλλη, τοσδύναμη αναπαράσταση πραγματικών σημάτων. Εστω $x(t)$ πραγματικό σήμα. Τότε

$$x^*(t) = x(t) \Rightarrow x(t) = \sum_{k=-\infty}^{+\infty} \alpha_k^* e^{-jk\omega_0 t} \quad (3.2)$$

Αντικαθιστούμε k με $-k$ και έχουμε:

$$x(t) = \sum_{k=-\infty}^{+\infty} \alpha_{-k}^* e^{jk\omega_0 t} \quad (3.3)$$

Εξ' οριούμε

$$x(t) = \sum_{k=-\infty}^{+\infty} \alpha_k e^{jk\omega_0 t} \Rightarrow \alpha_k^* = \alpha_{-k} \quad (3.4)$$

Αναδιατάσσουμε το άθροιομα:

$$\begin{aligned} x(t) &= \alpha_0 + \sum_{k=1}^{+\infty} [\alpha_k e^{jk\omega_0 t} + \alpha_{-k} e^{jk\omega_0 t}] \\ &= \alpha_0 + \sum_{k=1}^{+\infty} [\alpha_k e^{jk\omega_0 t} + \alpha_k^* e^{-jk\omega_0 t}] \\ &= \alpha_0 + \sum_{k=1}^{+\infty} 2\Re e\{\alpha_k e^{jk\omega_0 t}\} \quad (\alpha_k = A_k e^{j\theta_k} \quad (A)) \\ &= \alpha_0 + \sum_{k=1}^{+\infty} 2\Re e\{A_k e^{j(k\omega_0 t + \theta_k)}\} \\ &= \alpha_0 + 2 \sum_{k=1}^{+\infty} A_k \cos(k\omega_0 t + \theta_k) \end{aligned}$$

Αν αντί για την (A) χρησιμοποιούμε την: $\alpha_k = B_k + jC_k$ τότε

$$x(t) = \alpha_0 + 2 \sum_{k=1}^{+\infty} [B_k \cos(k\omega_0 t) - C_k \sin(k\omega_0 t)] \quad (3.5)$$

Υπολογισμός των συντελεστών α_k . Θεωρώντας ότι το $x(t)$ γράφεται ως οειδή Fourier

$$\begin{aligned} x(t) &= \sum_{k=-\infty}^{+\infty} \alpha_k e^{jk\omega_0 t} \\ x(t)e^{-jn\omega_0 t} &= \sum_{k=-\infty}^{+\infty} \alpha_k e^{jk\omega_0 t} e^{-jn\omega_0 t} \end{aligned}$$

$$\begin{aligned}
\int_0^{T_0} x(t) e^{-jn\omega_0 t} dt &= \sum_{k=-\infty}^{+\infty} \alpha_k e^{jk\omega_0 t} e^{-jn\omega_0 t} dt \\
&= \sum_{k=-\infty}^{+\infty} \alpha_k \left[\int_0^{T_0} e^{j(k-n)\omega_0 t} dt \right] \\
\text{ιοχέται όμως} \quad &\int_0^{T_0} e^{j(k-n)\omega_0 t} dt = \begin{cases} T_0 & k = n \\ 0 & k \neq n \end{cases} \Rightarrow \\
\int_0^{T_0} x(t) e^{-jn\omega_0 t} dt &= T_0 \alpha_n \Rightarrow \\
\alpha_n &= \frac{1}{T_0} \int_0^{T_0} x(t) e^{-jn\omega_0 t} dt
\end{aligned} \tag{3.6}$$

Το ολοκλήρωμα $\int_0^{T_0} x(t) e^{-jn\omega_0 t} dt$ μπορεί να είναι σε οποιοδήποτε διάστημα μήκους T_0 . Αυτό δηλώνεται με τον ουβολισμό \int_{T_0} .

Ολοκληρώνοντας, αν το $x(t)$ γράφεται σαν σειρά Fourier, τότε οι συντελεστές της σειράς δίνονται από την εξίσωση (3.6). Η εξίσωση αναπαράστασης του $x(t)$ καθώς και η εξίσωση που δίνει τους συντελεστές ορίζουν τη σειρά Fourier ενός περιοδικού σήματος:

$x(t) = \sum_{k=-\infty}^{+\infty} \alpha_k e^{jk\omega_0 t}$	εξίσωση σύνθεσης
$\alpha_k = \frac{1}{T_0} \int_0^{T_0} x(t) e^{-jk\omega_0 t} dt$	εξίσωση ανάλυσης

(3.7)

Οι α_k λέγονται συντελεστές της σειράς Fourier ή φασματικοί συντελεστές του $x(t)$ (spectral coefficients). Ειδικότερα, ο α_0 ισούται με $\alpha_0 = \frac{1}{T_0} \int_{T_0} x(t) dt$, είναι δηλαδή η μέση τιμή του $x(t)$ σε μία περίοδο.

Παράδειγμα 3.2. Εστω το σήμα $x(t) = \sin \omega_0 t$. Ζητείται να γραφεί σαν σειρά Fourier.

Απάντηση: Το ημίτονο μπορεί να αναλυθεί σαν άθροισμα εκθετικών συναρτήσεων

$$\sin \omega_0 t = \frac{1}{2j} e^{j\omega_0 t} - \frac{1}{2j} e^{-j\omega_0 t} \Rightarrow$$

οπότε οι συντελεστές της σειράς δίνονται ως

$$\alpha_1 = \frac{1}{2j}, \quad \alpha_{-1} = -\frac{1}{2j}, \quad \alpha_k = 0 \text{ για } k \neq 1, -1$$

Παράδειγμα 3.3. Εστω το σήμα

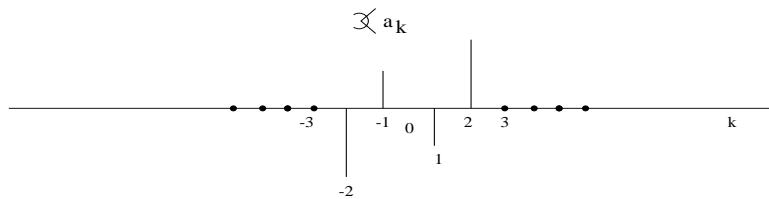
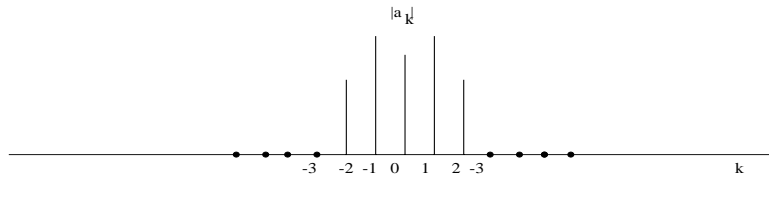
$$x(t) = 1 + \sin \omega_0 t + 2 \cos \omega_0 t + \cos \left(2\omega_0 t + \frac{\pi}{4} \right)$$

Ζητείται να γραφεί οαν σειρά Fourier.

Απάντηση:

$$\begin{aligned}
 x(t) &= 1 + \frac{1}{2j} [e^{j\omega_0 t} - e^{-j\omega_0 t}] + [e^{j\omega_0 t} + e^{-j\omega_0 t}] + \frac{1}{2} [e^{j(2\omega_0 t + \frac{\pi}{4})} + e^{-j(2\omega_0 t + \frac{\pi}{4})}] \\
 \implies x(t) &= 1 + \left(1 + \frac{1}{2j}\right) e^{j\omega_0 t} + \left(1 - \frac{1}{2j}\right) e^{-j\omega_0 t} + \left(\frac{1}{2} e^{j\frac{\pi}{4}}\right) e^{j2\omega_0 t} + \left(\frac{1}{2} e^{-j\frac{\pi}{4}}\right) e^{-j2\omega_0 t} \\
 \implies &\left\{ \begin{array}{lcl} \alpha_0 &=& 1 \\ \alpha_1 &=& 1 + \frac{1}{2j} = 1 - \frac{1}{2}j \\ \alpha_{-1} &=& 1 - \frac{1}{2j} = 1 + \frac{1}{2}j \\ \alpha_2 &=& \frac{1}{2} e^{j\frac{\pi}{4}} = \frac{\sqrt{2}}{4}(1+j) \\ \alpha_{-2} &=& \frac{1}{2} e^{-j\frac{\pi}{4}} = \frac{\sqrt{2}}{4}(1-j) \\ \alpha_k &=& 0 \quad , \quad |k| > 2 \end{array} \right.
 \end{aligned}$$

Βλέπε Σχ 3.2.

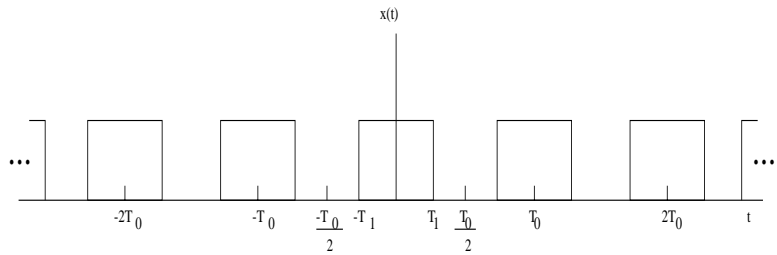


Σχήμα 3.2: Πλάτος και φάση των ουντελεστών Fourier του παραδείγματος 3.3.

Παράδειγμα 3.4. Εστω το σήμα

$$x(t) = \begin{cases} 1, & |t| < T_1 \\ 0, & T_1 < |t| < \frac{T_0}{2} \end{cases} \quad \text{οριοθέτης για μια περίοδο } T_0$$

το οποίο φαίνεται και στο Σχ 3.3. Ζητείται να γραφεί οαν σειρά Fourier.

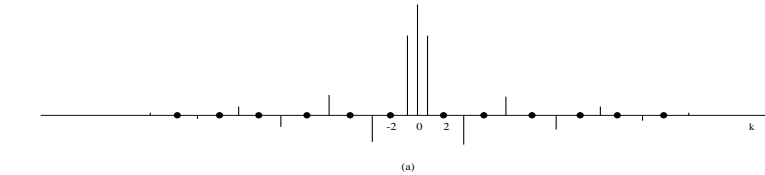


Σχήμα 3.3: Σήμα (ακολουθία από παλμούς) του παραδειγματος 3.4.

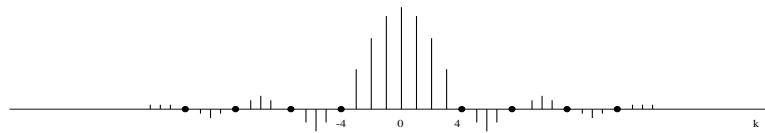
Απάντηση: Παρατηρούμε ότι είναι βολικό να ολοκληρώσουμε στο $\left(-\frac{T_0}{2}, \frac{T_0}{2}\right)$.

$$\begin{aligned} \alpha_0 &= \frac{1}{T_0} \int_{-T_1}^{T_1} dt = \frac{2T_1}{T_0} \quad (\text{μέση τιμή στο διάστημα } T_0) \\ \alpha_k &= \frac{1}{T_0} \int_{-T_1}^{T_1} e^{-jk\omega_0 t} dt = -\frac{1}{jk\omega_0 T_0} e^{-jk\omega_0 t} \Big|_{-T_1}^{T_1} = \frac{2}{k\omega_0 T_0} \left[\frac{e^{jk\omega_0 T_1} - e^{-jk\omega_0 T_1}}{2j} \right] \\ \Rightarrow \alpha_k &= \frac{2 \sin k\omega_0 T_1}{k\omega_0 T_0} = \frac{\sin k\omega_0 T_1}{k\pi}, \quad k \neq 0 \end{aligned}$$

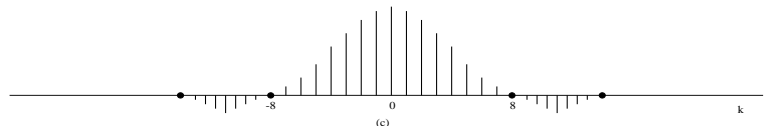
Η γραφική παράσταση των α_k για διάφορες τιμές του T_0 φαίνεται στο Σχ 3.4.



(a)



(b)



(c)

Σχήμα 3.4: Οι ουντελεστές της οειδάς Fourier του παραδειγματος 3.4.

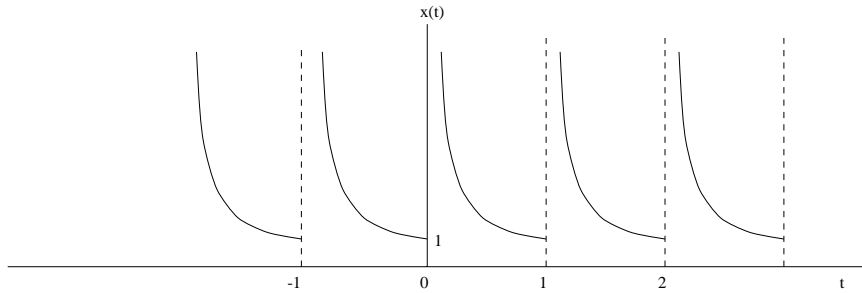
3.2 Συνθήκες Σύγκλιοντας

Συνθήκες Dirichlet: Το $x(t)$ (που προκύπτει από την σειρά) είναι ίσο με το πραγματικό $x(t)$ εκτός από μεμονωμένες τιμές του t , όπου η άπειρη σειρά συγκλίνει στη “μέση τιμή” της ασυνέχειας, δηλαδή στον μέσο όρο των τιμών από τις δύο πλευρές της ασυνέχειας. Η ίδια η σύγκλιοντας σειράς εξασφαλίζεται από τις παρακάτω συνθήκες, οι οποίες διατυπώθηκαν από τον P.L. Dirichlet και φέρουν το όνομά του. Ενα εντυχές γεγονός είναι ότι οι συνθήκες αυτές ικανοποιούνται από όλα σχεδόν τα σήματα που συναντώνται στη πράξη.

Συνθήκη 1: Το $x(t)$ πρέπει να είναι απολύτως ολοκληρώσιμο σε μία περίοδο, δηλαδή πρέπει να ισχύει

$$\int_{T_0} |x(t)| dt < \infty \quad (3.8)$$

Παράδειγμα περιοδικού σήματος που δεν εκπληρεί τη συνθήκη 1 είναι το $x(t) = \frac{1}{t}$, $0 < t \leq 1$ (Σx 3.5).



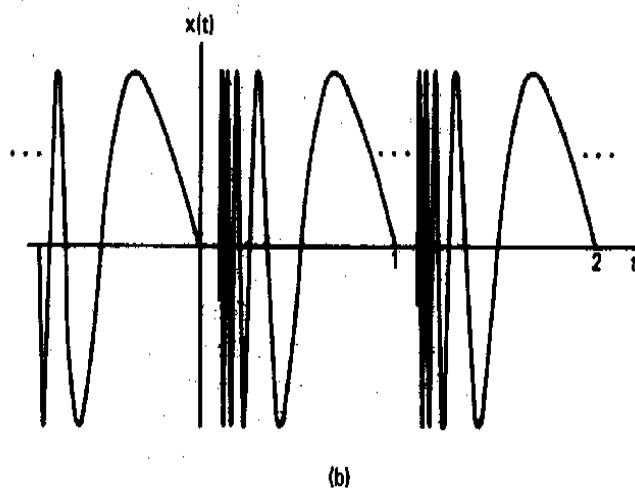
Σχήμα 3.5: Ένα σήμα που δεν εκπληρεί τη συνθήκη 1.

Συνθήκη 2: Σε κάθε πεπερασμένο χρονικό διάστημα, η $x(t)$ πρέπει να έχει πεπερασμένο αριθμό μέγιστων και ελάχιστων. Παράδειγμα σήματος που πληρεί τη συνθήκη 1 αλλά όχι τη συνθήκη 2 είναι το $x(t) = \sin(\frac{2\pi}{t})$, $0 < t \leq 1$ (Σx 3.6).

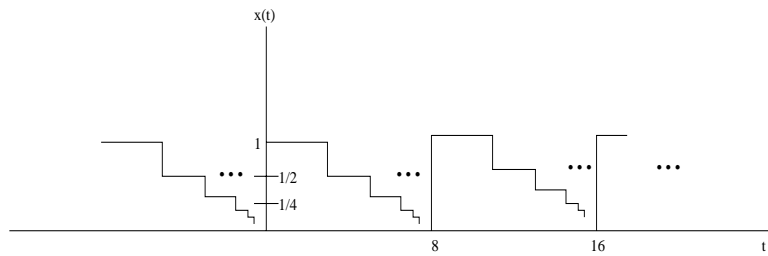
Συνθήκη 3: Σε κάθε πεπερασμένο χρονικό διάστημα πρέπει να υπάρχει πεπερασμένος αριθμός ασυνεχειών. Επιπλέον, κάθε μία από αυτές τις ασυνέχειες πρέπει να είναι πεπερασμένη. Για παράδειγμα, η $x(t)$ του Σx 3.7 δεν πληρεί την 3.

Σημείωση: Οπως φαίνεται και από τα Σx 3.5, 3.6, 3.7, οι συναρτήσεις που δεν πληρούν τις συνθήκες 1,2,3 είναι γενικά “παθολογικές” οπότε δεν θα αοχοληθούμε περισσότερο με το θέμα της σύγκλιοντας. Οι συναρτήσεις που μας ενδιαφέρουν στη πράξη πληρούν τις συνθήκες.

Παράδειγμα 3.5. Φαινόμενο Gibbs. Η αποκομμένη (truncated) αναπαράσταση με σειρά Fourier ενός ασυνεχούς σήματος $x(t)$ θα παρουσιάζει συνήθως ταλαντώσεις υψηλής συχνότητας κοντά

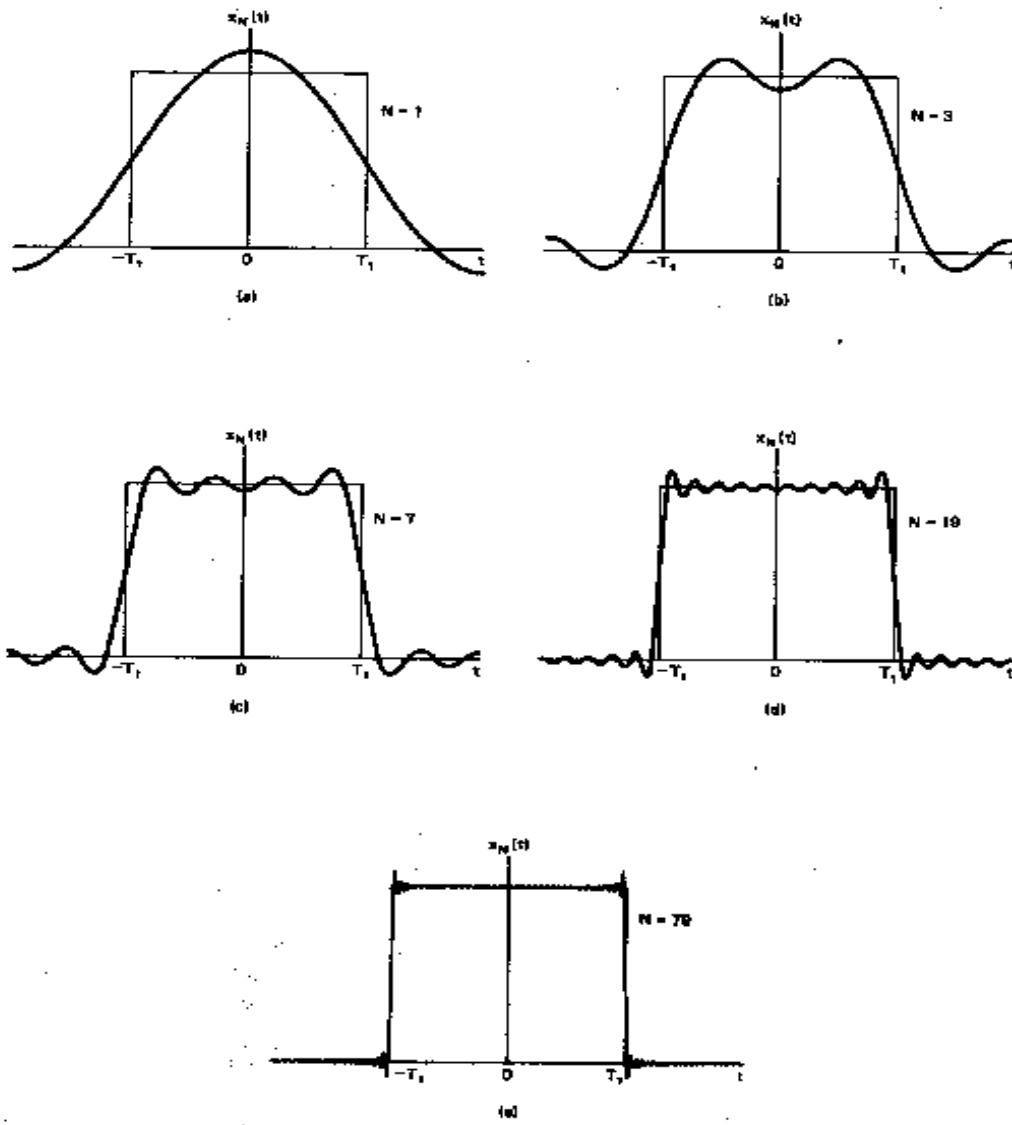


Σχήμα 3.6: Ενα σήμα που πληρεί τη συνθήκη 1 αλλά όχι τη συνθήκη 2.



Σχήμα 3.7: Ενα σήμα που δεν πληρεί τη συνθήκη 3.

στις αουνέχειες. Γι' αυτό, το N πρέπει να είναι πολύ μεγάλο ώστε η ενέργεια των αουνεχειών να είναι αρελητέα. Αυτό απεικονίζεται στο Σχ 3.8 για τον τετραγωνικό παλιό.



Σχήμα 3.8: Σύγκλιση της σειράς Fourier για το τετραγωνικό παλμό: παρονοίαση των φαινόμενου Gibbs. Στο σχήμα απεικονίζεται η προσέγγιση του σήματος με τη πεπεραμένη σειρά $x_N(t) = \sum_{k=-N}^N \alpha_k e^{jk\omega_0 t}$ για διάφορες τιμές του N .

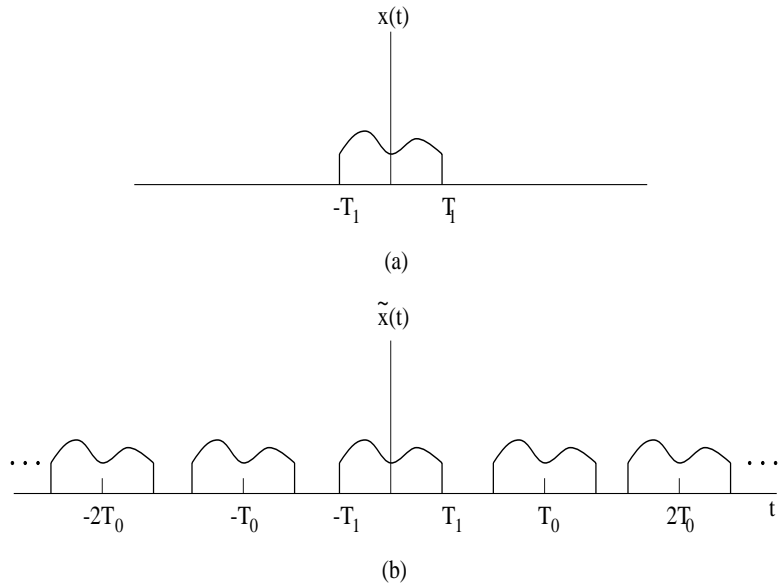
Κεφάλαιο 4

Μετασχηματισμός Fourier Συνεχούς Χρόνου

4.1 Αναπαράσταση Μη-Περιοδικών Σημάτων

Για να μπορέσουμε να μελετήσουμε την αναπαράσταση μη-περιοδικών σημάτων, καταφεύγουμε στο εξής τέχνασμα: Θεωρούμε ένα μη-περιοδικό σήμα σαν το όριο ενός περιοδικού όταν η περίοδος $\rightarrow \infty$.

Εστω μη-περιοδικό σήμα $x(t)$ πεπερασμένης διάρκειας, $x(t) = 0$ αν $|t| > T_1$. Από το $x(t)$ μπορούμε να φτιάξουμε ένα περιοδικό σήμα $\tilde{x}(t)$ όπως φαίνεται στο Σχ 4.1.



Σχήμα 4.1: (a) Μη-περιοδικό σήμα $x(t)$, (b) περιοδικό σήμα $\tilde{x}(t)$.

Οταν το T_0 μεγαλώνει το $\tilde{x}(t)$ ταυτίζεται με το $x(t)$ για όλο και μεγαλύτερο διάστημα. Στο όριο $T_0 \rightarrow \infty$, και $\tilde{x}(t) = x(t)$ για κάθε πεπερασμένη τιμή του t . Από την αναπαράσταση σε οειδά

του $\tilde{x}(t)$ έχουμε

$$\tilde{x}(t) = \sum_{k=-\infty}^{+\infty} a_k e^{jk\omega_0 t} \quad (4.1)$$

$$a_k = \frac{1}{T_0} \int_{-T_0/2}^{T_0/2} \tilde{x}(t) e^{-jk\omega_0 t} dt \quad (4.2)$$

Οπως $\tilde{x}(t) = x(t)$ ότο $|t| < T_0/2$ και $x(t) = 0$ ότο $|t| > T_0/2$ και συνεπώς

$$a_k = \frac{1}{T_0} \int_{-T_0/2}^{T_0/2} x(t) e^{-jk\omega_0 t} dt = \frac{1}{T_0} \int_{-\infty}^{+\infty} x(t) e^{-jk\omega_0 t} dt \quad (4.3)$$

οπίζοντας $X(\omega) = \int_{-\infty}^{+\infty} x(t) e^{-j\omega t} dt$ παίρνουμε

$$a_k = \frac{1}{T_0} X(k\omega_0) \quad (4.4)$$

$$\tilde{x}(t) = \sum_{k=-\infty}^{+\infty} \frac{1}{T_0} X(k\omega_0) e^{jk\omega_0 t} dt \quad \left(\frac{2\pi}{T_0} = \omega_0 \right) \quad (4.5)$$

$$\Rightarrow \tilde{x}(t) = \frac{1}{2\pi} \sum_{k=-\infty}^{+\infty} X(k\omega_0) e^{jk\omega_0 t} \omega_0 \quad (4.6)$$

Για $T_0 \rightarrow \infty$, $\tilde{x}(t) \rightarrow x(t)$, $\omega_0 \rightarrow 0$ και καταλήγουμε στις εξισώσεις:

$x(t) = \frac{1}{2\pi} \int_{-\infty}^{+\infty} X(\omega) e^{j\omega t} d\omega$	αντίστροφος μετασχηματισμό Fourier
$X(\omega) = \int_{-\infty}^{+\infty} x(t) e^{-j\omega t} dt$	μετασχηματισμό Fourier

(4.7)

Οι δύο παραπάνω εξισώσεις αποτελούν το **μετασχηματισμό Fourier**. Το $X(\omega)$ λέγεται φάσμα (spectrum) του $x(t)$.

4.2 Συνθήκες Σύγκλισης

Οπως και στη περίπτωση των σειρών Fourier, έτοι και στο μετασχηματισμό Fourier η σύγκλιση εξασφαλίζεται αν ικανοποιούνται κάποιες ουνθήκες, οι οποίες και πάλι αναφέρονται ως ουνθήκες Dirichlet:

1. $x(t)$ απολύτως ολοκληρώσιμη

$$\int_{-\infty}^{+\infty} |x(t)| < \infty$$

2. Σε κάθε πεπερασμένο διάστημα, η $x(t)$ πρέπει να έχει πεπερασμένο αριθμό ελάχιστων και μέγιστων

3. Σε κάθε πεπερασμένο διάστημα, η $x(t)$ πρέπει να έχει πεπερασμένο αριθμό ασυνεχειών. Κάθε ασυνέχεια πρέπει να είναι πεπερασμένη.

Ισχύει βέβαια και πάλι ότι οι συνθήκες αυτές ικανοποιούνται στη πράξη από όλες τις συναρτήσεις που μας ενδιαφέρουν (μόνο “παθολογικές” συναρτήσεις δεν τις ικανοποιούν).

4.3 Παραδείγματα

Παράδειγμα 4.1. Εστω οίμα $x(t) = e^{-at}u(t)$, $a > 0$. Ζητείται να βρεθεί ο μεταοχηματισμός Fourier του $x(t)$.

Απάντηση:

$$\begin{aligned} X(\omega) &= \int_0^{+\infty} e^{-at} e^{-j\omega t} dt = -\frac{1}{a+j\omega} e^{-(a+j\omega)t} \Big|_0^{+\infty} \\ \Rightarrow X(\omega) &= \frac{1}{a+j\omega}, \quad a > 0 \end{aligned}$$

$$|X(\omega)| = \frac{1}{\sqrt{a^2 + \omega^2}}, \quad \angle X(\omega) = -\tan^{-1}\left(\frac{\omega}{a}\right)$$

όπου με $|X(\omega)|$ ουμβολίζουμε το μέτρο (magnitude) του $X(\omega)$ και με $\angle X(\omega)$ τη φάση του. (βλέπε Σχ 4.2).

Παράδειγμα 4.2. Εστω $x(t) = \delta(t)$ Τότε,

$$X(\omega) = \int_{-\infty}^{+\infty} \delta(t) e^{-j\omega t} dt = 1$$

δηλαδή η $\delta(t)$ έχει φάση που αποτελείται από συνιστώσες σε όλες τις συχνότητες.

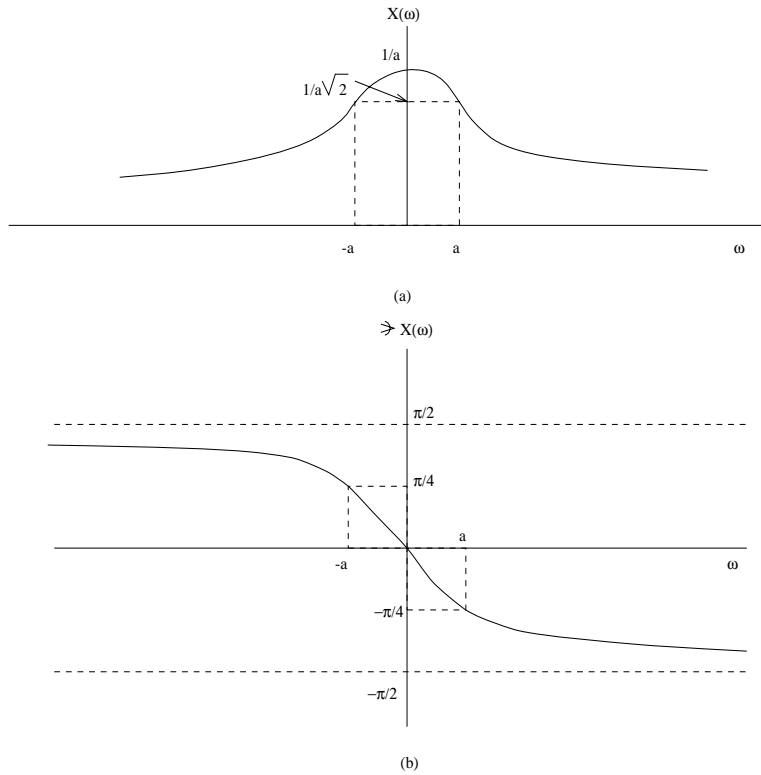
Παράδειγμα 4.3. Ζητείται να βρεθεί ο μεταοχηματισμός Fourier του οίματος (τετραγωνικός παλμός)

$$x(t) = \begin{cases} 1 & \text{if } |t| < T_1 \\ 0 & \text{if } |t| > T_1 \end{cases}$$

Απάντηση:

$$X(\omega) = \int_{-T_1}^{T_1} e^{-j\omega t} dt = 2 \frac{\sin(\omega T_1)}{\omega}$$

(βλέπε Σχ 4.3).



Σχήμα 4.2: Μετασχηματισμός Fourier του σήματος $x(t) = e^{-at}u(t)$, $a > 0$ (παράδειγμα 4.1).

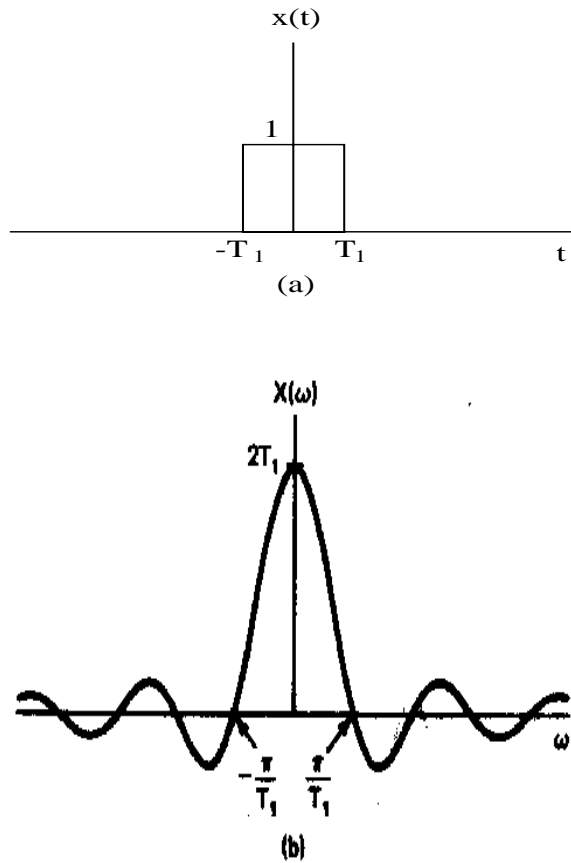
Παράδειγμα 4.4. Εστω

$$X(\omega) = \begin{cases} 1 & \text{if } |\omega| < W \\ 0 & \text{if } |\omega| > W \end{cases}$$

Τότε (βλέπε Σχ 4.4),

$$x(t) = \frac{1}{2\pi} \int_{-W}^W e^{j\omega t} d\omega = \frac{\sin(Wt)}{\pi t}$$

Σαν ένα τελευταίο σχόλιο σ' αυτό το σημείο, παρατηρούμε ότι μπορούμε να καταλάβουμε καλύτερα τη σχέση ανάμεσα στο χρόνο και στις συχνότητες από το προηγούμενο Σχ 4.4, το οποίο έχουμε ξαναζωγραφίσει για διάφορες τιμές του W στο Σχ 4.5. Από το σχήμα αυτό παρατηρούμε ότι όσο το W αυξάνει, το $X(\omega)$ γίνεται πιο φαρδύ ενώ ο κύριος λοβός του $x(t)$ στο $t = 0$ γίνεται πιο στενός και πιο ψηλός. Στην πραγματικότητα, στο όριο $W \rightarrow \infty$, $X(\omega) = 1 \quad \forall \omega$, και το $x(t)$ συγκλίνει σε μια συνάρτηση δέλτα (δ). Η συμπεριφορά αυτή (όπως απεικονίζεται στο Σχ 4.5) είναι ένα παράδειγμα της αντίστροφης σχέσης που υπάρχει μεταξύ χρόνου και συχνοτήτων (μια παρόμοια συμπεριφορά θα μπορούσε να δει κανείς στο Σχ 4.3).



Σχήμα 4.3: Ο τετραγωνικός παλμός και ο μετασχηματισμός Fourier αυτού (παράδειγμα 4.3).

4.4 Μετασχηματισμός Fourier Περιοδικών Σημάτων

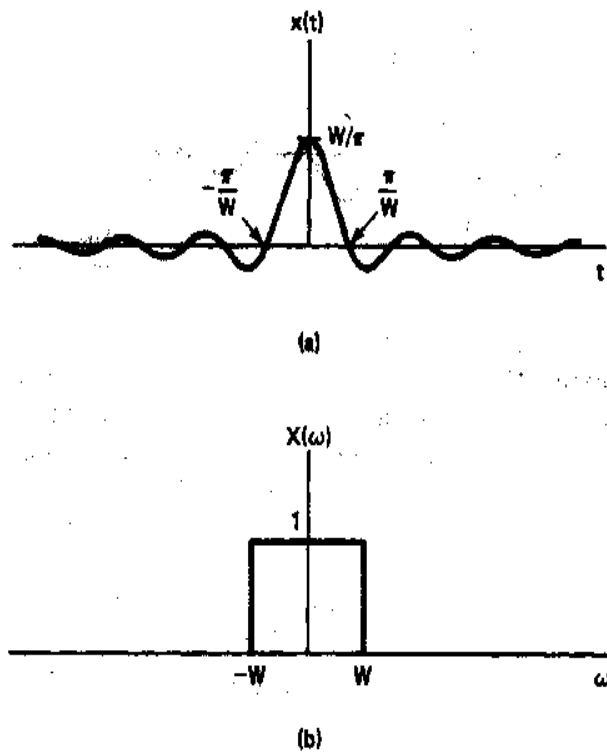
Ενα περιοδικό σήμα $x(t)$ μπορεί να αναπτυχθεί ως σειρά Fourier

$$x(t) = \sum_{k=-\infty}^{+\infty} a_k e^{j k \omega_0 t} \quad (4.8)$$

Στη περίπτωση αυτή, ο μετασχηματισμός Fourier του περιοδικού σήματος $x(t)$ (μπορεί να αποδειχθεί ότι) δίνεται ως

$$X(\omega) = \sum_{k=-\infty}^{+\infty} 2\pi a_k \delta(\omega - k\omega_0) \quad (\text{χωρίς derivation}) \quad (4.9)$$

Παρατηρούμε ότι σ' αυτή τη περίπτωση ο μετασχηματισμός Fourier είναι σειρά από πολύ στενούς παλμούς (impulses).



Σχήμα 4.4: Μετασχηματισμός Fourier (ζενγάρι) των παραδείγματος 4.4.

Παράδειγμα 4.5. Εστω το ημιτονικό σήμα $x(t) = \sin \omega_0 t$. Ξέρουμε ότι οι ουντελεστές της σειράς Fourier του $x(t)$ δίνονται ως

$$\begin{aligned} a_1 &= \frac{1}{2j} \\ a_{-1} &= -\frac{1}{2j} \end{aligned}$$

και $a_k = 0$ για $k \neq 1, k \neq -1$. Ο μετασχηματισμός Fourier του $x(t)$ απεικονίζεται στο Σχ 4.6.

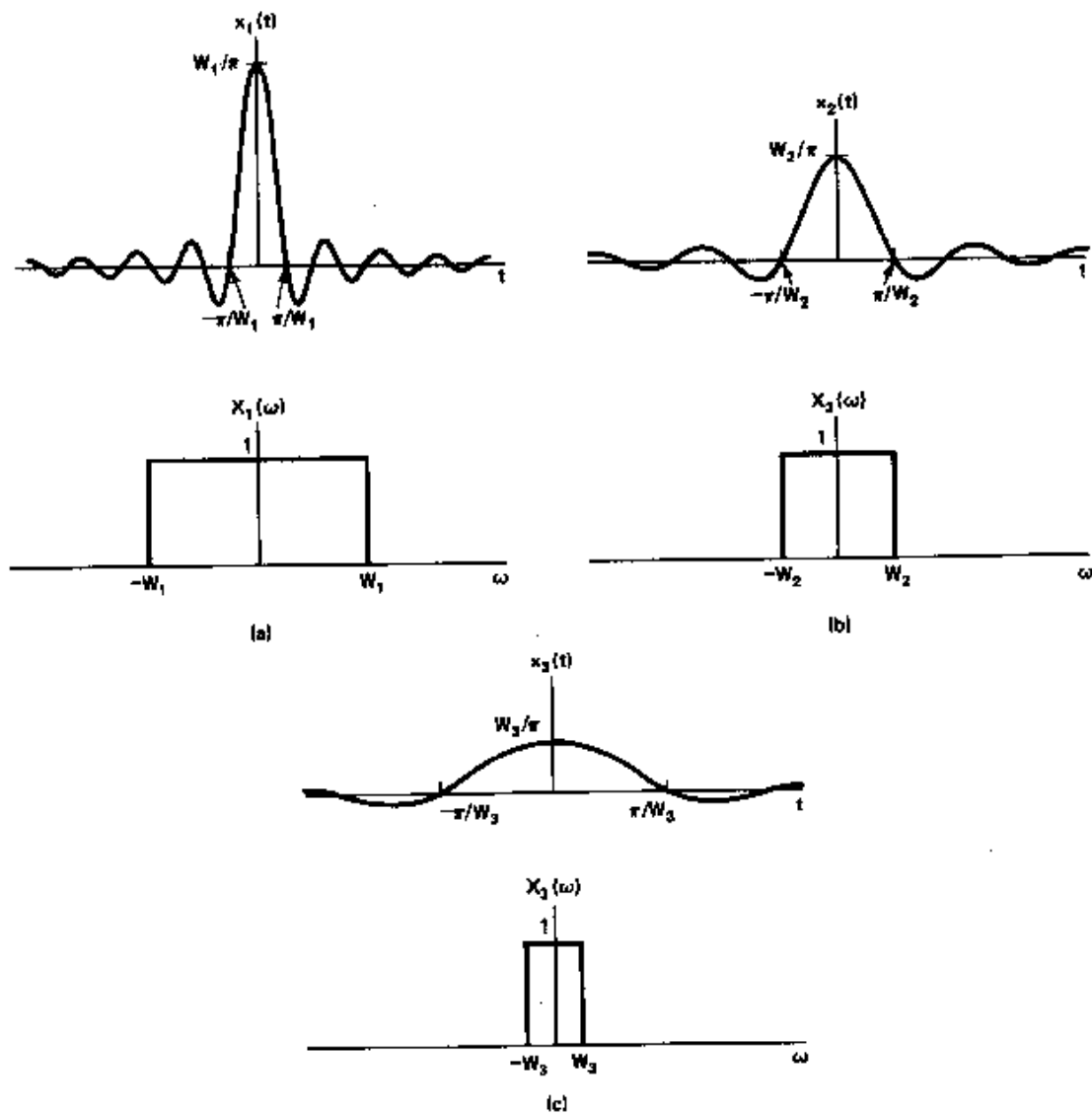
Παράδειγμα 4.6. Εστω το ουντελεστικό σήμα $x(t) = \cos \omega_0 t$. Ξέρουμε ότι οι ουντελεστές της σειράς Fourier του $x(t)$ δίνονται ως

$$a_1 = a_{-1} = \frac{1}{2}$$

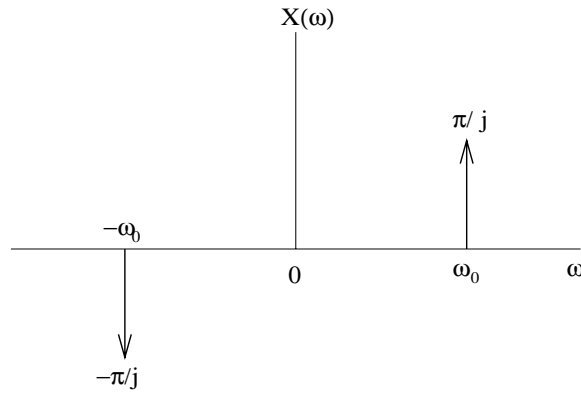
και $a_k = 0$ για $k \neq 1, k \neq -1$. Ο μετασχηματισμός Fourier του $x(t)$ απεικονίζεται στο Σχ 4.7.

Παράδειγμα 4.7. Εστω το σήμα $x(t)$ πού αποτελείται από ένα τρένο από παλμούς

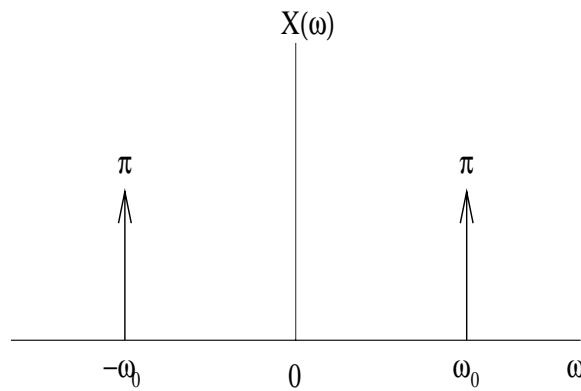
$$x(t) = \sum_{k=-\infty}^{+\infty} \delta(t - kT)$$



Σχήμα 4.5: Μετασχηματισμός Fourier (ζευγάρι) των παραδείγματος 4.4 για διάφορες τιμές του W .



Σχήμα 4.6: Μετασχηματισμός Fourier του $x(t) = \sin \omega_0 t$.



Σχήμα 4.7: Μετασχηματισμός Fourier του $x(t) = \cos \omega_0 t$.

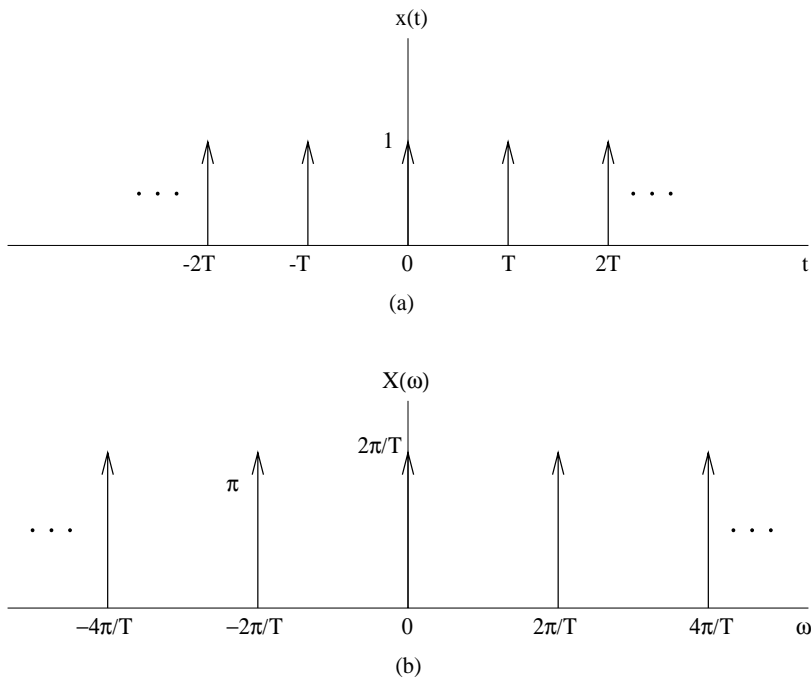
Οι συντελεστές της σειράς Fourier του $x(t)$ δίνονται ως

$$a_k = \frac{1}{T} \int_{-T/2}^{T/2} \delta(t) e^{-jk\omega_0 t} dt = \frac{1}{T}$$

οπότε ο μετασχηματισμός Fourier του $x(t)$ είναι (βλέπε και Σχ 4.8):

$$X(\omega) = \frac{2\pi}{T} \sum_{k=-\infty}^{+\infty} \delta(\omega - \frac{2\pi k}{T})$$

Παρατηρούμε ότι σ' αυτή τη περίπτωση τόσο το σήμα όσο και ο μετασχηματισμός του είναι η ίδια συνάρτηση (τρένο από παλμούς), με διαφορετικές βέβαια παραμέτρους.



Σχήμα 4.8: Μετασχηματισμός Fourier των τρένου από παλμούς (παράδειγμα 4.7).

4.5 Ιδιότητες Μετασχηματισμού Fourier Συνεχούς Χρόνου

Στη συνέχεια θα θετούμε το συμβολισμό για το μετασχηματισμό Fourier

$$x(t) \xleftrightarrow{\mathcal{F}} X(\omega) \quad (4.10)$$

δηλαδή, συμβολίζουμε ένα οποιοδήποτε σήμα με κάποιο “μικρό” λατινικό γράμμα και συμβολίζουμε το μετασχηματισμό του με το αντίστοιχο “κεφαλαίο” γράμμα.

Γραμμικότητα (Linearity):

$$ax_1(t) + bx_2(t) \xleftrightarrow{\mathcal{F}} aX_1(\omega) + bX_2(\omega) \quad (4.11)$$

Ιδιότητα Συμμετρίας: Αν $x(t)$ είναι πραγματικό (real) σήμα, τότε ισχύει

$$X(-\omega) = X^*(\omega) \quad (4.12)$$

* δηλώνει συνγή μιγαδικό. Για παράδειγμα, αν

$$x(t) = e^{-at}u(t)$$

θα έχουμε

$$X(\omega) = \frac{1}{a + j\omega}$$

$$\Rightarrow X(-\omega) = \frac{1}{a - j\omega} = X^*(\omega)$$

Ξέρουμε τώρα ότι κάθε πραγματική συνάρτηση μπορεί να γραφεί σαν άθροισμα μιας άρτιας (even) και μιας περιττής (odd) συνάρτησης:

$$x(t) \text{ real} \implies x(t) = x_e(t) + x_0(t) \quad (4.13)$$

όπου

$$x_e(t) = \mathcal{E}v\{x(t)\}, \quad \mathcal{E}v\{x(t)\} = \frac{1}{2}[x(t) + x(-t)]$$

$$x_0(t) = \mathcal{O}d\{x(t)\}, \quad \mathcal{O}d\{x(t)\} = \frac{1}{2}[x(t) - x(-t)]$$

Ισχύουν:

$$\begin{aligned} x(t) &\xleftrightarrow{\mathcal{F}} X(\omega) \\ \mathcal{E}v\{x(t)\} &\xleftrightarrow{\mathcal{F}} \Re e\{X(\omega)\} \\ \mathcal{O}d\{x(t)\} &\xleftrightarrow{\mathcal{F}} j\Im m\{X(\omega)\} \end{aligned}$$

Ολισθηση στο χρόνο (Time shifting): Η ολισθηση στο χρόνο αφήνει το πλάτος των μετασχηματισμών Fourier αναλογικό και εισάγει μια ολισθηση στη φάση η οποία είναι γραμμική συνάρτηση των ω .

$$x(t - t_0) \xleftrightarrow{\mathcal{F}} e^{-j\omega t_0} X(\omega) \quad (4.14)$$

Παραγώγιση/Ολοκλήρωση: Η παραγώγιση στο χρόνο αντικαθίσταται με πολλαπλασιασμό στις συνότητες

$$\frac{dx(t)}{dt} \xleftrightarrow{\mathcal{F}} j\omega X(\omega) \quad (4.15)$$

Αντίστοιχα, η ολοκλήρωση στο χρόνο εισάγει διαιρεση στις συνότητες καθώς και ένα όρο (παλμός) που αντιστοιχεί στη dc (μέση) τιμή που μπορεί να προκύψει από την ολοκλήρωση

$$\int_{-\infty}^t x(\tau) d\tau \xleftrightarrow{\mathcal{F}} \frac{1}{j\omega} X(\omega) + \pi X(0) \delta(\omega) \quad (4.16)$$

Πολλαπλασιασμός στο χρόνο/συχνότητα: Ο πολλαπλασιασμός στο χρόνο έχει ως αποτέλεσμα τον πολλαπλασιασμό στη συχνότητα με ένα αντίστροφο παράγοντα (και αντίστροφα)

$$x(at) \xleftrightarrow{\mathcal{F}} \frac{1}{|a|} X\left(\frac{\omega}{a}\right) \quad (4.17)$$

Δυϊσμός: Συγκρίνοντας τον ενθύ με τον αντίστροφο μετασχηματισμό Fourier παρατηρούμε ότι υπάρχει μια μεγάλη συμμετρία μεταξύ τους. Η συμμετρία αυτή έχει ως αποτέλεσμα μια ιδιότητα που λέγεται δυϊσμός (duality). Την ιδιότητα αυτή μπορούμε να τη δούμε αν θεωρήσουμε μια οχέση μεταξύ δύο συναρτήσεων f, g ως

$$f(u) = \int_{-\infty}^{+\infty} g(v) e^{-juv} dv \quad (4.18)$$

Θέτοντας $u = \omega, v = t$ παίρνουμε

$$f(\omega) = \mathcal{F}\{g(t)\} \quad (4.19)$$

Αντίστοιχα, θέτοντας $u = t, v = \omega$ παίρνουμε

$$g(-\omega) = \frac{1}{2\pi} \mathcal{F}\{f(t)\} \quad (4.20)$$

Βλέπουμε δηλαδή ότι στη γενική περίπτωση ισχύει ότι

$$\text{αν: } g(t) \xleftrightarrow{\mathcal{F}} f(\omega) \quad \text{τότε: } f(t) \xleftrightarrow{\mathcal{F}} 2\pi g(-\omega) \quad (4.21)$$

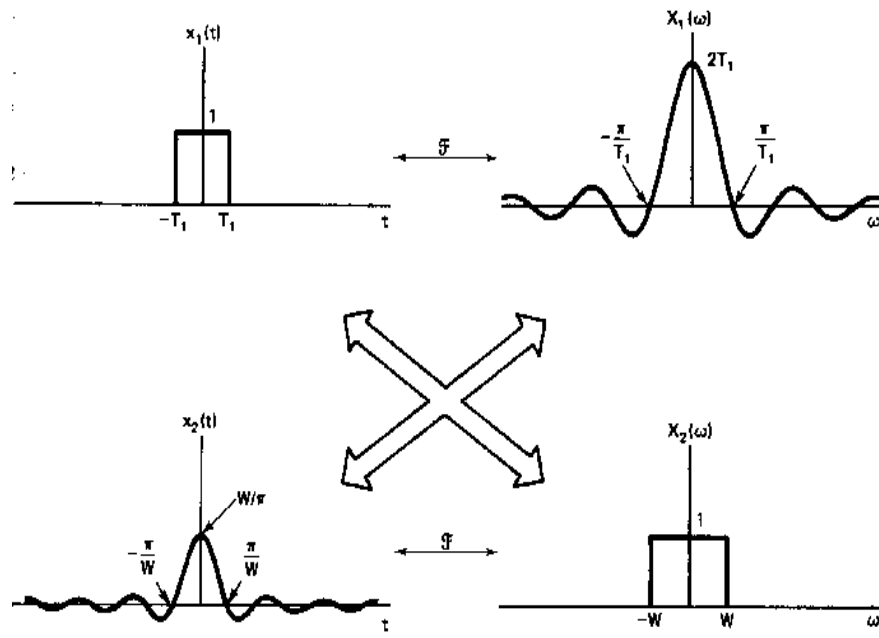
Παράδειγμα 4.8. Αναφερόμενοι στα σήματα που παρουσιάσθηκαν στα Σx 4.3, 4.4, μπορούμε να επιδείξουμε την ιδιότητα της συμμετρίας όπως φαίνεται στο Σx 4.9).

Σχέση Parseval: Η οχέση Parseval δίνει την ολική ενέργεια ενός σήματος ως

$$\int_{-\infty}^{+\infty} |x(t)|^2 dt = \frac{1}{2\pi} \int_{-\infty}^{+\infty} |X(\omega)|^2 d\omega \quad (4.22)$$

Πρακτικά, η οχέση αυτή δίνει τη δυνατότητα να υπολογίζουμε την ολική ενέργεια είτε στο χρόνο είτε στις συχνότητες. Στη περίπτωση περιοδικών σημάτων, η οχέση Parseval συνδέει την ενέργεια σε μια περίοδο με τους συντελεστές της σειράς Fourier

$$\frac{1}{T_0} \int_{T_0} |x(t)|^2 dt = \sum_{-\infty}^{+\infty} |a_k|^2 \quad a_k : \text{Fourier series coefficients} \quad (4.23)$$

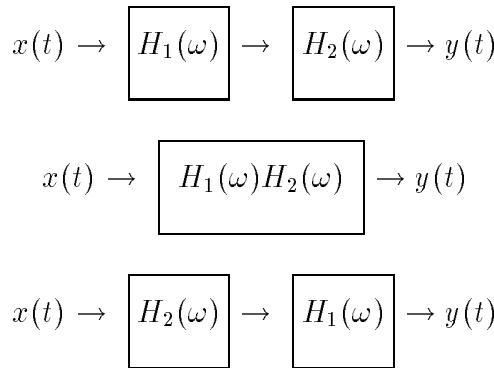


Σχήμα 4.9: Ιδιότητα δυϊούμονής του μετασχηματισμού Fourier.

Ιδιότητα Συγκερασμού: Μια πολύ βασική ιδιότητα σε οχέοι με τη χρήση του μετασχηματισμού Fourier σε LTI ουσοτίματα είναι η ιδιότητα του συγκερασμού (convolution property). Η ιδιότητα αντικαθιστά το συγκερασμό στο χρόνο με πολλαπλασιασμό στις ουσνότητες:

$$y(t) = h(t) \star x(t) \xleftrightarrow{\mathcal{F}} Y(\omega) = H(\omega) \cdot X(\omega) \quad (4.24)$$

Παράδειγμα 4.9.



Τα παραπάνω είναι ισοδύναμα ουσοτίματα.

Παράδειγμα 4.10. Εστω $x(t) = u(t)$, $h(t) = e^{-at}u(t)$. Ζητείται να υπολογιστεί το $y(t) = x(t) \star h(t)$.

Απάντηση:

$$\begin{aligned}
 Y(\omega) &= \mathcal{F}\{u(t)\} \dot{\mathcal{F}}\{e^{-at}u(t)\} \\
 &= \left[\pi\delta(\omega) + \frac{1}{j\omega} \right] \left[\frac{1}{a+j\omega} \right] = \frac{\pi}{a}\delta(\omega) + \frac{1}{j\omega(a+j\omega)} \\
 &= \frac{1}{a} \left[\pi\delta(\omega) + \frac{1}{j\omega} \right] - \frac{1}{a} \frac{1}{a+j\omega} \\
 \Rightarrow y(t) &= \mathcal{F}^{-1}\{Y(\omega)\} = \frac{1}{a}u(t) - \frac{1}{a}e^{-at}u(t) = \frac{1}{a}(1 - e^{-at})u(t)
 \end{aligned}$$

Παράδειγμα 4.11. Ο μετασχηματισμός Fourier του τριγωνικού σήματος μπορεί να βρεθεί θεωρώντας το τριγωνικό σήμα ως ουγκερασμό δύο τετραγωνικών σημάτων.

$$\Delta(t/\tau) = \frac{1}{\sqrt{\tau}} rect(t/\tau) * \frac{1}{\sqrt{\tau}} rect(t/\tau)$$

$$\mathcal{F}\{\Delta(t/\tau)\} = \left(\mathcal{F}\left\{ \frac{1}{\sqrt{\tau}} rect(t/\tau) \right\} \right)^2 = \tau \left(sinc\frac{\omega\tau}{2} \right)^2$$

Ιδιότητα Διαμόρφωσης: Η ιδιότητα διαμόρφωσης (modulation property) ουσιαστίζει το πολλαπλασιασμό (διαμόρφωση) στο χρόνο με το ουγκερασμό στις ουχνότητες (αντίστροφα από την ιδιότητα ουγκερασμού):

$$r(t) = s(t)p(t) \xleftrightarrow{\mathcal{F}} R(\omega) = \frac{1}{2\pi} [S(\omega) * P(\omega)] \quad (4.25)$$

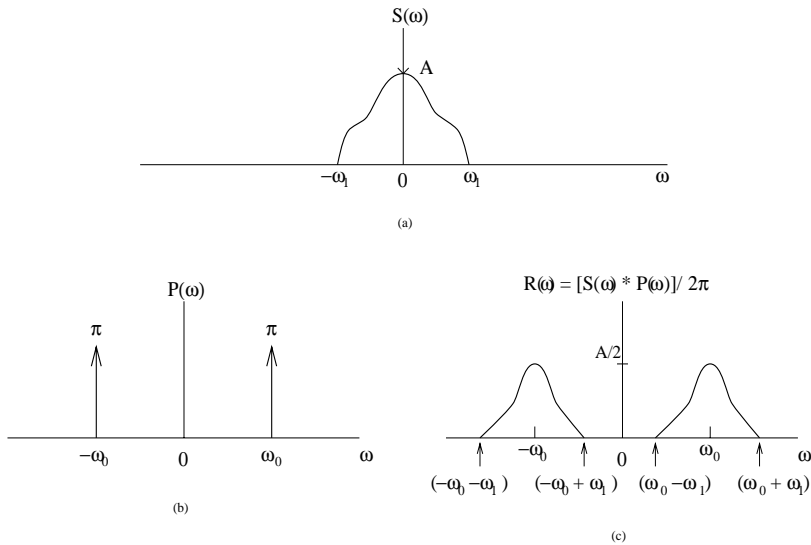
Παράδειγμα 4.12. Το φάσμα $S(\omega)$ ενός σήματος $s(t)$ είναι όπως φαίνεται στο Σχ 4.10a. Εστω ένα άλλο σήμα $p(t) = \cos \omega_0 t$, $P(\omega) = \pi\delta(\omega - \omega_0) + \pi\delta(\omega + \omega_0)$ (βλέπε Σχ 4.10b). Πολλαπλασιάζοντας το $s(t)$ με το $p(t)$ παίρνουμε το φάσμα

$$R(\omega) = \frac{1}{2\pi} S(\omega) * P(\omega) = \frac{1}{2} S((\omega - \omega_0)) + \frac{1}{2} S((\omega + \omega_0))$$

το οποίο φαίνεται στο Σχ 4.10c. Ξανα-πολλαπλασιάζοντας με το $p(t)$, παίρνουμε το $g(t) = r(t)p(t)$ με φάσμα $G(\omega)$ που φαίνεται στο Σχ 4.11.

Παράδειγμα 4.13. Εστω σήμα $s(t)$ με φάσμα $S(\omega)$ και $p(t)$ περιοδικό τρένο παλμών

$$\begin{aligned}
 p(t) &= \sum_{k=-\infty}^{+\infty} \delta(t - kT) \\
 P(\omega) &= \frac{2\pi}{T} \sum_{k=-\infty}^{+\infty} \delta\left(\omega - \frac{2\pi k}{T}\right)
 \end{aligned}$$



Σχήμα 4.10: Εφαρμογή της ιδιότητας διαμόρφωσης.

Εστω

$$r(t) = s(t)p(t) = \sum_{k=-\infty}^{+\infty} s(t) \cdot \delta(t - kT)$$

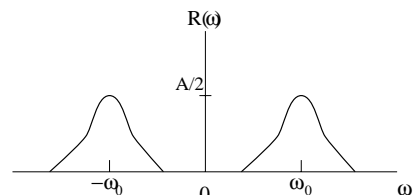
Για ένα τυχαίο $s(t)$, το $r(t)$ φαίνεται στο Σχ 4.12.

Το φάσμα $R(\omega)$ του $r(t)$ δίνεται ως

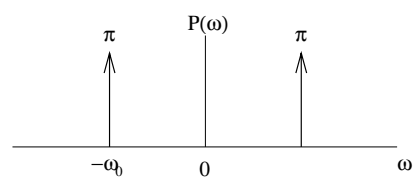
$$\begin{aligned} R(\omega) &= \frac{1}{2\pi} [S(\omega) \star P(\omega)] \\ &= \frac{1}{T} \sum_{k=-\infty}^{+\infty} S(\omega) \star \delta\left(\omega - \frac{2\pi k}{T}\right) \end{aligned} \quad (4.26)$$

$$= \frac{1}{T} \sum_{k=-\infty}^{+\infty} S\left(\omega - \frac{2\pi k}{T}\right) \quad (4.27)$$

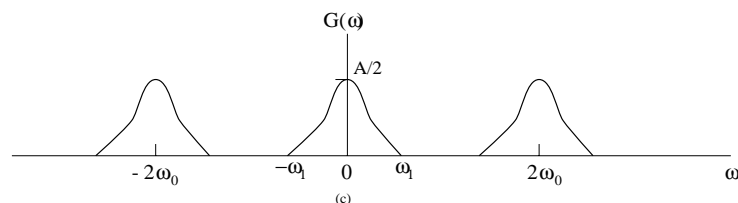
Το αποτέλεσμα στις ουχνότητες είναι η επανάληψη του $S(\omega)$ σε διαστήματα $\frac{2\pi}{T}$ (Σχ 4.13).



(a)

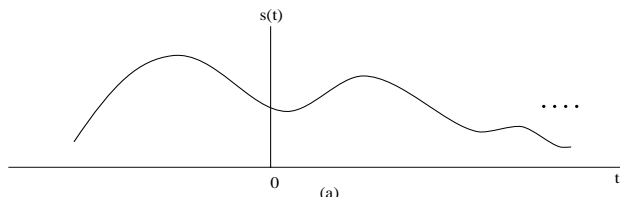


(b)

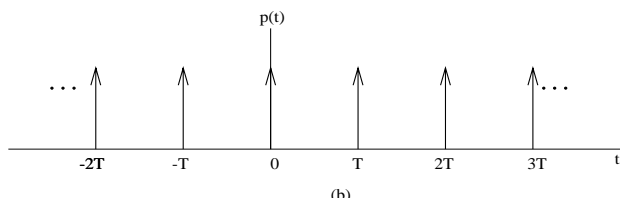


(c)

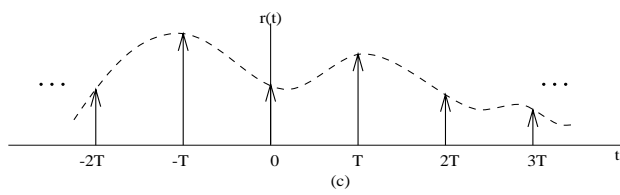
Σχήμα 4.11: Φάσιμα των οπιμάτων του παραδείγματος 4.12.



(a)

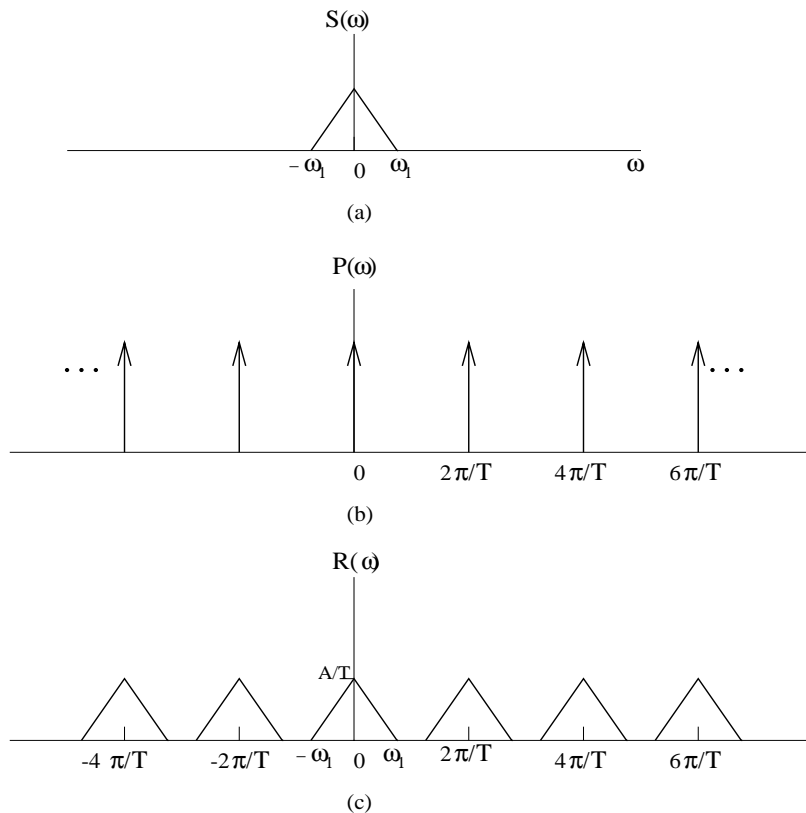


(b)



(c)

Σχήμα 4.12: Γιαύμενο του σήματος $s(t)$ με ένα περιοδικό τρένο παλμών.



Σχήμα 4.13: Το αποτέλεσμα στις συχνότητες από το πολλαπλασιασμό ενός σήματος με ένα περιοδικό τρένο παλμών.

4.6 Πίνακες Ιδιοτήτων – Βασικών Μετασχηματισμών

Πίνακας 4.1: Ιδιότητες των Σειρών Fourier Συνεχούς Χρόνου

Periodic signal	Fourier series coefficients
$x(t)$ $y(t)$	a_k b_k
$\left\{ \begin{array}{l} x(t) \\ y(t) \end{array} \right\}$ periodic with period T_0	
$Ax(t) + By(t)$	$Aa_k + Bb_k$
$x(t - t_0)$	$a_k e^{-jk(2\pi/T_0)t_0}$
$e^{jM(2\pi/T_0)t}x(t)$	a_{k-M}
$x^*(t)$	a_{-k}^*
$x(-t)$	a_{-k}
$x(at), a > 0$ (periodic with period $\frac{T_0}{a}$)	a_k
$\int_{T_0} x(\tau)y(t-\tau)d\tau$	$T_0 a_k b_k$
$x(t)y(t)$	$\sum_{t=-\infty}^{+\infty} a_t b_{k-t}$
$\frac{dx(t)}{dt}$	$j k \frac{2\pi}{T_0} a_k$
$\int_{-\infty}^t x(t)dt$ $\left(\begin{array}{l} \text{finite-valued and} \\ \text{periodic only if } a_0 = 0 \end{array} \right)$	$\left(\frac{1}{jk(2\pi/T_0)} \right) a_k$
$x(t)$ real	$\begin{cases} a_k = a_{-k}^* \\ \Re e\{a_k\} = \Re e\{a_{-k}\} \\ \Im m\{a_k\} = -\Im m\{a_{-k}\} \\ a_k = a_{-k} \\ \not\propto a_k = -\not\propto a_{-k} \end{cases}$
$x_e(t) = \mathcal{E}v\{x(t)\}$ [$x(t)$ real]	$\Re e\{a_k\}$
$x_o(t) = \mathcal{O}d\{x(t)\}$ [$x(t)$ real]	$j\Im m\{a_k\}$
Parseval's Relation for Periodic Signals	
$\frac{1}{T_0} \int_{T_0} x(t) ^2 dt = \sum_{k=-\infty}^{+\infty} a_k ^2$	

Πίνακας 4.2: Ιδιότητες των Μετασχηματισμού Fourier Συνεχούς Χρόνου

Aperiodic signal	Fourier transform
$x(t)$	$X(\omega)$
$y(t)$	$Y(\omega)$
$ax(t) + by(t)$	$aX(\omega) + bY(\omega)$
$x(t - t_0)$	$e^{-j\omega t_0} X(\omega)$
$e^{j\omega t_0} x(t)$	$X(\omega - \omega_0)$
$x^*(t)$	$X^*(-\omega)$
$x(-t)$	$X(-\omega)$
$x(at)$	$\frac{1}{ a } X\left(\frac{\omega}{a}\right)$
$x(t) * y(t)$	$X(\omega)Y(\omega)$
$x(t)y(t)$	$\frac{1}{2\pi} X(\omega) * Y(\omega)$
$\frac{d}{dt}x(t)$	$j\omega X(\omega)$
$\int_{-\infty}^t x(t)dt$	$\frac{1}{j\omega} X(\omega) + \pi X(0)\delta(\omega)$
$tx(t)$	$j \frac{d}{d\omega} X(\omega)$
$x(t) \quad \text{real}$	$\begin{cases} X(\omega) = X^*(-\omega) \\ \Re e\{X(\omega)\} = \Re e\{X(-\omega)\} \\ \Im m\{X(\omega)\} = -\Im m\{X(-\omega)\} \\ X(\omega) = X(-\omega) \\ \Im m X(\omega) = -\Im m X(-\omega) \end{cases}$
$x_e(t) = \mathcal{E}v\{x(t)\} \quad [x(t) \text{ real}]$	$\Re e\{X(\omega)\}$
$x_o(t) = \mathcal{O}d\{x(t)\} \quad [x(t) \text{ real}]$	$j \Im m\{X(\omega)\}$
Duality	
$f(u) = \int_{-\infty}^{\infty} g(v)e^{-juv}dv$	
$g(t) \xleftrightarrow{F} f(\omega)$	
$f(t) \xleftrightarrow{F} 2\pi g(-\omega)$	
Parseval's relation for Aperiodic Signals	
$\int_{-\infty}^{\infty} x(t) ^2 dt = \frac{1}{2\pi} \int_{-\infty}^{\infty} X(\omega) ^2 d\omega$	

Πίνακας 4.3: Βασικά Ζεύγη Μετασχηματισμών και Σειράς Fourier

Signal	Fourier transform	Fourier series coefficients (if periodic)
$\sum_{k=-\infty}^{+\infty} a_k e^{jk\omega_0 t}$	$2\pi \sum_{k=-\infty}^{+\infty} a_k \delta(\omega - k\omega_0)$	a_k
$e^{j\omega_0 t}$	$2\pi \delta(\omega - \omega_0)$	$a_1 = 1$ $a_k = 0, \text{otherwise}$
$\cos \omega_0 t$	$\pi[\delta(\omega - \omega_0) + \delta(\omega + \omega_0)]$	$a_1 = a_{-1} = \frac{1}{2}$ $a_k = 0, \text{otherwise}$
$\sin \omega_0 t$	$\frac{\pi}{j}[\delta(\omega - \omega_0) - \delta(\omega + \omega_0)]$	$a_1 = -a_{-1} = \frac{1}{2j}$ $a_k = 0, \text{otherwise}$
$x(t) = 1$	$2\pi \delta(\omega)$	$a_0 = 1, a_k = 0, k \neq 0$ has this Fourier series representation for any choice of $T_0 > 0$
Periodic square wave $x(t) = \begin{cases} 1, & t < T_1 \\ 0, & T_1 < t \leq \frac{T_0}{2} \end{cases}$ and $x(t+T_0)=x(t)$	$\sum_{k=-\infty}^{+\infty} \frac{2 \sin k\omega_0 T_1}{k} \delta(\omega - k\omega_0)$	$\frac{\omega_0 T_1}{\pi} \text{sinc}\left(\frac{k\omega_0 T_1}{\pi}\right) = \frac{\sin k\omega_0 T_1}{k\pi}$
$\sum_{k=-\infty}^{+\infty} \delta(t - kT)$	$\frac{2\pi}{T} \sum_{k=-\infty}^{+\infty} \delta(\omega - \frac{2\pi k}{T})$	$a_k = \frac{1}{T}$ for all k
$x(t) = \begin{cases} 1, & t < T_1 \\ 0, & t > T_1 \end{cases}$	$2T_1 \text{sinc}\left(\frac{\omega T_1}{\pi}\right) = \frac{2 \sin \omega T_1}{\omega}$	-
$\frac{W}{\pi} \text{sinc}\left(\frac{Wt}{\pi}\right) = \frac{\sin Wt}{\pi t}$	$x(\omega) = \begin{cases} 1, & \omega < W \\ 0, & \omega > W \end{cases}$	-
$\delta(t)$	1	-
$u(t)$	$\frac{1}{j\omega} + \pi \delta(\omega)$	-
$\delta(t - t_0)$	$e^{-j\omega t_0}$	-
$e^{-at} u(t), \Re\{a\} > 0$	$\frac{1}{a + j\omega}$	-
$t e^{-at} u(t), \Re\{a\} > 0$	$\frac{1}{(a + j\omega)^2}$	-
$\frac{t^{n-1}}{(n-1)!} e^{-jat} u(t), \Re\{a\} > 0$	$\frac{1}{(a + j\omega)^n}$	-

Παράδειγμα 4.14. Οι συντελεστές Fourier για ένα περιοδικό σήμα (περίοδος T) είναι

$$c_n = \begin{cases} 0, & n = 0 \\ (1 + e^{-\frac{jn\pi}{3}} - 2e^{-jn\pi}), & n \neq 0 \end{cases}$$

Είναι πραγματικό το σήμα; Από τη μορφή των συντελεστών c_n να βρεθεί το $x(t)$.

Απάντηση: Το σήμα είναι πραγματικό γιατί

$$c_{-n} = 1 + e^{jn\pi/3} - 2e^{jn\pi} = c_n^*$$

Οι c_n δίνονται από τη σχέση

$$c_n = \frac{1}{T} \int_T x(t) e^{-j n \omega t} dt$$

Ξέροντας τους c_n μπορούμε να “εξάγουμε” το $x(t)$ που “θα έδινε” αυτούς τους c_n . Εφόσον

$$\int_{-\infty}^{+\infty} e^{-j n \omega t} \delta(t - t_1) dt = e^{-j n \omega t_1}$$

ξέρουμε ότι το $x(t)$ θα έχει δ συναρτήσεις

$$x(t) = \delta(t) + \delta\left(t - \frac{T}{6}\right) - 2\delta\left(t - \frac{T}{2}\right)$$

Παράδειγμα 4.15. Εστω τα δύο σήματα που φαίνονται στο Σχ 4.14. Ποιά σχέση “συνδέει” τους συντελεστές Fourier των δύο αυτών σημάτων;

Απάντηση: Συμβολίζοντας τα δύο σήματα ως $x_a(t)$ και $x_b(t)$, παρατηρούμε ότι αυτά συνδέονται με τη σχέση

$$x_b(t) = 1 + x_a\left(2\left[t - \frac{\pi}{2}\right]\right)$$

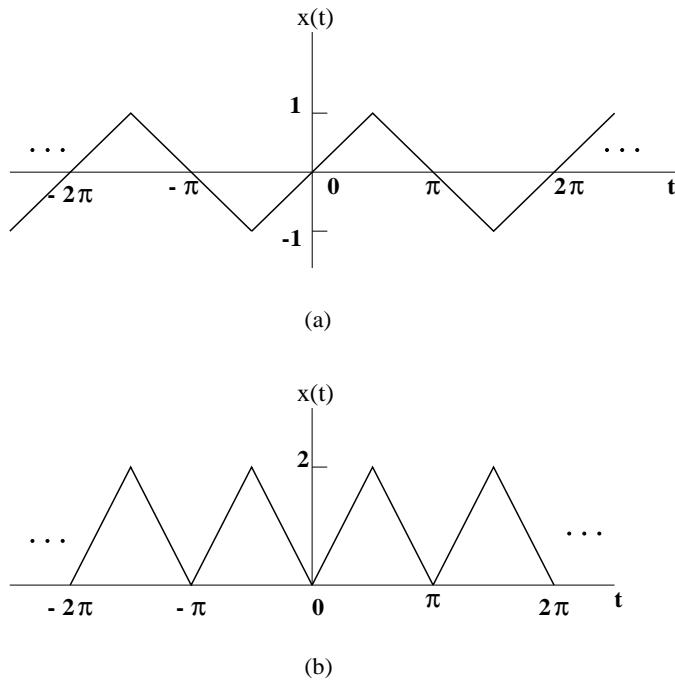
οπότε, βάσει των γνωστών ιδιοτήτων

$$x(t - t_0) \leftrightarrow a_k e^{-jk\left(\frac{2\pi}{T_0}\right)t_0}$$

$$x(at), a > 0 \leftrightarrow a_k$$

παίρνουμε για τους συντελεστές

$$\begin{aligned} \implies a_0^b &= 1 + a_0^a e^0 = 1 + a_0^a \\ \implies a_n^b &= a_n^a e^{-jn\pi/2} \end{aligned}$$



Σχήμα 4.14: Δύο “πριονωτά” σήματα.

Παράδειγμα 4.16. Να βρεθεί ο μετασχηματισμός Fourier του οίματος

$$x(t) = \operatorname{sinc} \frac{\omega_0 t}{2\pi} = S_a \frac{\omega_0 t}{2}$$

Απάντηση:

$$\mathcal{F} \left\{ S_a \frac{\omega_0 t}{2} \right\} = \int_{-\infty}^{+\infty} S_a \frac{\omega_0 t}{2} e^{-j\omega t} dt$$

Το παραπάνω όμως ολοκλήρωμα είναι πολύ δύσκολο να υπολογισθεί. Γνωρίζουμε όμως για το μετασχηματισμό Fourier του τετραγωνικού παλμού ότι

$$\operatorname{rect}(t/\tau) \leftrightarrow \tau \operatorname{sinc} \left(\frac{\omega \tau}{2\pi} \right) = \tau S_a \frac{\omega \tau}{2}$$

Βάσει της ιδιότητας δυϊομού

$$\begin{aligned} x(t) &\leftrightarrow X(\omega) \\ \Rightarrow X(t) &\leftrightarrow 2\pi x(-\omega) \end{aligned}$$

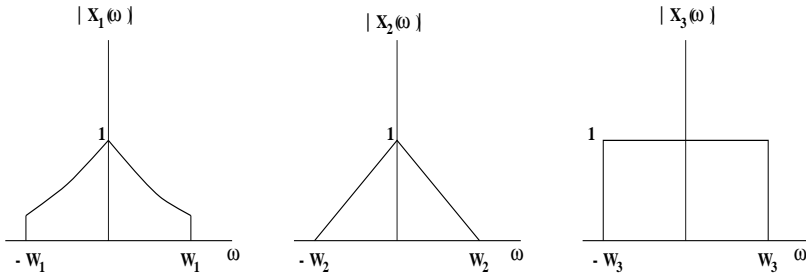
παίρνουμε

$$\mathcal{F} \left\{ S_a \frac{\omega_0 t}{2} \right\} = \frac{2\pi}{\omega_0} \operatorname{rect}(-\omega/\omega_0) = \frac{2\pi}{\omega_0} \operatorname{rect}(\omega/\omega_0) \quad (\text{άρτιο οίμπα})$$

Σημείωση: Το $X(\omega)$ είναι 0 έξω από το διάστημα $(-\omega_0/2, \omega_0/2)$. Δηλαδή, το σήμα είναι περιορισμένο στις ουχνότητες (band-limited), αλλά δεν είναι περιορισμένο στο χρόνο (time-limited).

Αυτό είναι απόρροια ενός γενικότερου κανόνα βάσει του οποίου ένα σήμα περιορισμένο στο χρόνο δεν είναι ποτέ περιορισμένο στις συχνότητες, ενώ ένα σήμα περιορισμένο στις συχνότητες δεν είναι ποτέ περιορισμένο στο χρόνο.

Παράδειγμα 4.17. Στο παράδειγμα αυτό θα μελετήσουμε τη τεχνική πολυπλεξίας με διαίρεση στις συχνότητες (Frequency Division Multiplexing – FDM). Εστω τα σήματα $x_1(t), x_2(t), x_3(t)$ με φάσματα $X_1(\omega), X_2(\omega), X_3(\omega)$ όπως φαίνονται στο Σχ 4.15.



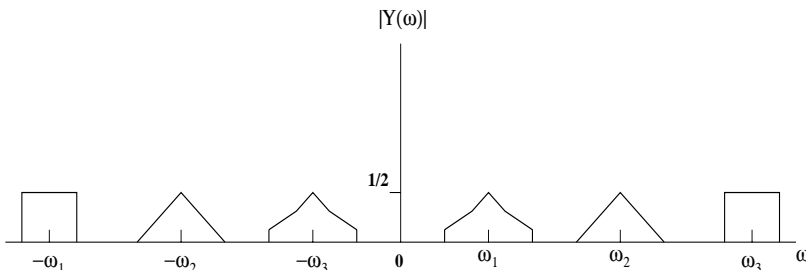
Σχήμα 4.15: Πλάτη των φασμάτων τριών σημάτων $x_1(t), x_2(t), x_3(t)$.

Εστω τώρα ότι πολλαπλασιάζουμε τα σήματα με συνημίτονα και αθροίζουμε οπότε παίρνουμε ένα σήμα $y(t)$ (το οποίο και μεταδίδουμε)

$$y(t) = x_1(t) \cos \omega_1 t + x_2(t) \cos \omega_2 t + x_3(t) \cos \omega_3 t$$

Το φάσμα του $y(t)$ είναι (βλέπε και Σχ 4.16)

$$\begin{aligned} Y(\omega) &= \frac{1}{2}[X_1(\omega - \omega_1) + X_1(\omega + \omega_1)] + \frac{1}{2}[X_2(\omega - \omega_2) + X_2(\omega + \omega_2)] + \\ &+ \frac{1}{2}[X_3(\omega - \omega_3) + X_3(\omega + \omega_3)] \end{aligned}$$

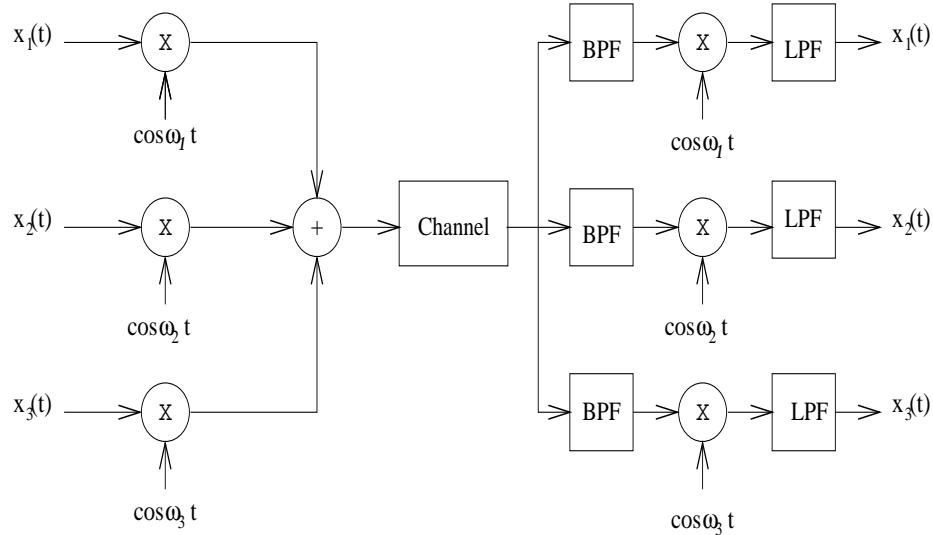


Σχήμα 4.16: Πλάτος του φασμάτος του σήματος $y(t)$.

Παρατηρούμε ότι τα επιμέρους φάσματα των σημάτων δεν επικαλύπτονται (και άρα μπορούμε να τα ξεχωρίσουμε) αν:

$$\begin{aligned} \omega_1 + W_1 &< \omega_2 - W_2 \\ \omega_2 + W_2 &< \omega_3 - W_3 \end{aligned}$$

Σε περίπτωση αμφιβολίας για το αν τα επιμέρους φάσματα επικαλύπτονται ή όχι, καλό είναι να περνάμε τα σήματα από ένα φίλτρο διέλευσης χαμηλών ουχνοτήτων πριν τη διαμόρφωση. Στο δέκτη χρησιμοποιούμε ζωνοπερατά (bandpass) φίλτρα για να ανακατασκευάσουμε τα σήματα. Ενα σύστημα FDM θα είναι λοιπόν όπως στο Σχ 4.17.



Σχήμα 4.17: Σύστημα πολυπλεξίας με διαίρεση στις ουχνότητες (FDM).

Παράδειγμα 4.18. Να βρεθεί ο μεταοχηματιομός Fourier των ομπάτων $x(-t)$, $x_e(t)$, $x_o(t)$, $x^*(t)$, $\Re\{x(t)\}$, $\Im\{x(t)\}$ σε σχέση με το $X(\omega)$, το μεταοχηματιομό του $x(t)$.

Απάντηση:

$$\begin{aligned}
 x(-t) &\longleftrightarrow X(-\omega) \\
 x_e(t) &= (x(t) + x(-t))/2 \longleftrightarrow (X(\omega) + X(-\omega))/2 \\
 x_o(t) &= (x(t) - x(-t))/2 \longleftrightarrow (X(\omega) - X(-\omega))/2 \\
 x^*(t) &\longleftrightarrow X^*(-\omega) \\
 \Re\{x(t)\} &= (x(t) + x^*(t))/2 \longleftrightarrow (X(\omega) + X^*(-\omega))/2 \\
 \Im\{x(t)\} &= (x(t) - x^*(t))/2j \longleftrightarrow (X(\omega) - X^*(-\omega))/2j
 \end{aligned}$$

Παράδειγμα 4.19. Να δειχθεί ότι το $X(\omega)$ μπορεί να γραφεί ως

$$X(\omega) = \sum_{n=0}^{+\infty} (-j)^n m_n \frac{\omega^n}{n!}, \quad m_n = \int_{-\infty}^{+\infty} t^n x(t) dt$$

Απάντηση:

$$\begin{aligned} X(\omega) &= \int_{-\infty}^{+\infty} x(t) e^{-j\omega t} dt \\ &= \int_{-\infty}^{+\infty} x(t) \sum_{n=0}^{+\infty} \frac{[-j\omega t]^n}{n!} dt \\ &= \sum_{n=0}^{+\infty} (-j)^n m_n \frac{\omega^n}{n!} \end{aligned}$$

Παράδειγμα 4.20. Να δειχθεί ότι το

$$\frac{1}{2\pi} \int_{-\infty}^{+\infty} e^{j\omega t} d\omega$$

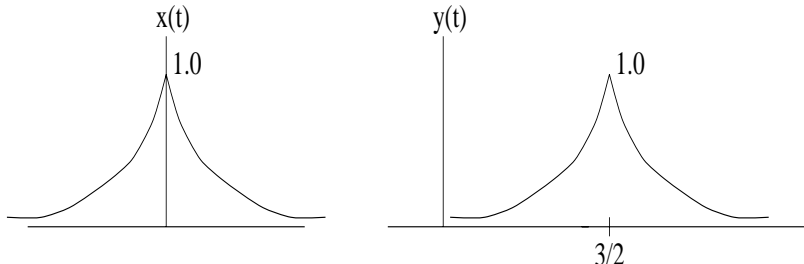
“ουμπεριφέρεται” σαν μοναδιαίος παλμός.

Απάντηση:

$$\begin{aligned} \int_{-\infty}^{+\infty} \left[\frac{1}{2\pi} \int_{-\infty}^{+\infty} e^{j\omega t} d\omega \right] g(t) dt &= \frac{1}{2\pi} \int_{-\infty}^{+\infty} \left[\int_{-\infty}^{+\infty} g(t) e^{j\omega t} dt \right] d\omega \\ &= \frac{1}{2\pi} \int_{-\infty}^{+\infty} G(-\omega) d\omega \\ &= \frac{1}{2\pi} \int_{-\infty}^{+\infty} G(\omega) d\omega = g(0) \end{aligned}$$

Παράδειγμα 4.21. Εστω τα σήματα $x(t) = e^{-2|t|}$ και $y(t) = x(2t - 3)$. Να οχεδιαστούν τα $x(t)$, $y(t)$ και να βρεθούν οι μεταοχηματιοί Fourier αυτών.

Απάντηση: Τα $x(t)$ και $y(t)$ φαίνονται στο Σχ 4.18. Οι μεταοχηματιοί των σημάτων δίνονται ως:



Σχήμα 4.18: Σήματα $x(t)$ και $y(t)$ των παραδείγματος 4.21.

$$\begin{aligned} X(\omega) &= \int_{-\infty}^0 e^{2t} e^{-j\omega t} dt + \int_0^{+\infty} e^{-2t} e^{-j\omega t} dt \\ &= \frac{1}{2 - j\omega} + \frac{1}{2 + j\omega} = \frac{4}{4 + \omega^2} \end{aligned}$$

Γενικά υποχέτευτη: $x(t) = e^{-a|t|} \longleftrightarrow \frac{2a}{a^2 + \omega^2}$

$$y(t) = x(2t - 3) = x\left(2\left(t - \frac{3}{2}\right)\right) \longleftrightarrow \frac{1}{2}X\left(\frac{\omega}{2}\right)e^{-j\frac{\omega}{2}\frac{3}{2}} =$$

$$\frac{1}{2} \frac{4}{4 + (\frac{\omega}{2})^2} e^{-j\frac{3}{4}\omega} = \frac{1}{2} \frac{4}{\frac{16}{4} + \frac{\omega^2}{4}} e^{-j\frac{3}{4}\omega} = \frac{8}{16 + \omega^2} e^{-j\frac{3}{4}\omega}$$

Κεφάλαιο 5

Σειρές Fourier Διακριτού Χρόνου

5.1 Εισαγωγή

Ανάλογα με την περίπτωση συνεχούς χρόνου, αναζητούμε να παραστήσουμε το περιοδικό σήμα $x[n]$ ($x[n] = x[n + N]$) σαν άθροισμα μιγαδικών εκθετικών συναρτήσεων. Το $e^{j(2\pi/N)n}$ είναι περιοδικό με περίοδο N . Η οικογένεια όλων των φανταστικών εκθετικών συναρτήσεων με περίοδο N δίνεται από τη σχέση

$$\Phi_k[n] = e^{jk(2\pi/N)n}, \quad k \in \mathbf{Z} \quad (5.1)$$

Ξέρουμε ότι υπάρχουν N μόνο τέτοια διαφορετικά σήματα.

$$\begin{aligned} \Phi_0[n] &= \Phi_N[n], \quad \Phi_1[n] = \Phi_{N+1}[n], \dots, \\ \Phi_k[n] &= \Phi_{k+rN}[n] \end{aligned}$$

Αναζητούμε αναπαράσταση της μορφής

$$x[n] = \sum_k a_k \Phi_k[n] = \sum_k a_k e^{jk(2\pi/N)n} \quad (5.2)$$

Πιο ουγκεκριμένα, το k πρέπει να κυριαρχεί μέσα σε μία περίοδο

$$x[n] = \sum_{k=\langle N \rangle} a_k \Phi_k[n] = \sum_{k=\langle N \rangle} a_k e^{jk(2\pi/N)n} \quad (5.3)$$

Πρέπει να υπολογίσουμε τους ουντελεστές a_k . Για το οκοπό αυτό θα δείξουμε πρώτα ότι:

$$\sum_{n=0}^{N-1} e^{jk(2\pi/N)n} = \begin{cases} N, & k = 0, \pm N \pm 2N, \dots \\ 0, & \text{διαφορετικά} \end{cases} \quad (5.4)$$

Το άθροισμα αυτό είναι της μορφής

$$\sum_{n=0}^{N-1} a^n, \quad a = e^{jk(2\pi/N)}$$

το οποίο υπολογίζεται ως

$$\sum_{n=0}^{N-1} a^n = \begin{cases} N, & a = 1 \\ \frac{1-a^N}{1-a}, & a \neq 1 \end{cases} \quad (5.5)$$

Ξέρουμε ότι $e^{jk(2\pi/N)} = 1$ μόνο όταν το k είναι πολλαπλάσιο του N , $k = 0, \pm N \pm 2N, \dots$, αρα

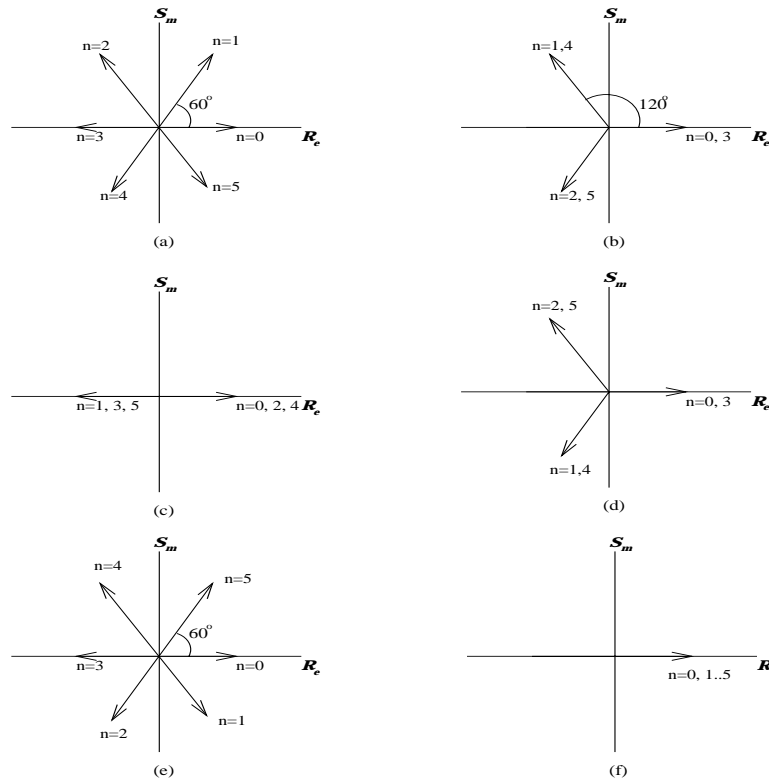
$$\sum_{n=0}^{N-1} e^{jk(2\pi/N)n} = \begin{cases} N, & k = 0, \pm N \pm 2N, \dots \\ \frac{1-e^{jk(2\pi/N)N}}{1-e^{jk(2\pi/N)}}, & διαφορετικά \end{cases} \quad (5.6)$$

Οπως ($e^{jk(2\pi/N)N} = e^{jk2\pi} = 1$) και αρα

$$\sum_{n=0}^{N-1} e^{jk(2\pi/N)n} = \begin{cases} N, & k = 0, \pm N \pm 2N, \dots \\ 0, & διαφορετικά \end{cases} \quad (5.7)$$

Ο. Ε. Δ.

Το παραπάνω αποτέλεσμα φαίνεται γραφικά στο Σχ 5.1.



Σχήμα 5.1: Η μιγαδική εκθετική ακολουθία $\Phi_k[n] = e^{jk(2\pi/6)n}$ σε μια περίοδο ($n = 0, 1, \dots, 5$) για διαφορετικές τιμές του k : (a) $k = 1$, (b) $k = 2$, (c) $k = 3$, (d) $k = 4$, (e) $k = 5$, (f) $k = 6$.

5.2 Αναπαράσταση με σειρά Fourier

Θεωρούμε την παράσταση του $x[n]$ ως σειρά

$$x[n] = \sum_{k=\langle N \rangle} a_k e^{jk(2\pi/N)n} \quad (5.8)$$

Πολλαπλασιάζουμε και τα δύο μέλη επί $e^{-jr(2\pi/N)n}$ και αθροίζουμε Ν όρους

$$\sum_{n=\langle N \rangle} x[n] e^{-jr(2\pi/N)n} = \sum_{n=\langle N \rangle} \sum_{k=\langle N \rangle} a_k e^{j(k-r)(2\pi/N)n} =$$

(αλλάζοντας τη σειρά των αθροισμάτων)

$$\sum_{k=\langle N \rangle} a_k \sum_{n=\langle N \rangle} e^{j(k-r)(2\pi/N)n} = N a_r \quad (5.9)$$

αφού $\sum_{n=\langle N \rangle} e^{j(k-r)(2\pi/N)n} = 0$ εκτός αν $k - r = mN$, $m = 0, \pm 1, \pm 2, \dots$. Αρα

$$a_r = \frac{1}{N} \sum_{n=\langle N \rangle} x[n] e^{-jr(2\pi/N)n} \quad (5.10)$$

Συνοψίζοντας έχουμε

$x[n] = \sum_{k=\langle N \rangle} a_k e^{jk(2\pi/N)n}$	εξισωση ουνθεσης
$a_k = \frac{1}{N} \sum_{n=\langle N \rangle} x[n] e^{-jk(2\pi/N)n}$	εξισωση ανάλυσης

(5.11)

Τα a_k λέγονται φασματικοί ουντελεστές (spectral coefficients).

Αν πάρουμε τώρα το $k = 0 \dots N - 1$ έχουμε

$$x[n] = a_0 \Phi_0[n] + a_1 \Phi_1[n] + \dots + a_{N-1} \Phi_{N-1}[n]$$

για $k = 1, \dots, N$

$$x[n] = a_1 \Phi_1[n] + a_2 \Phi_2[n] + \dots + a_N \Phi_N[n]$$

Ξέρουμε ότι $\Phi_N = \Phi_0 \Rightarrow a_0 = a_N$. Με παρόμοιο συλλογισμό καταλήγουμε στο ότι $a_k = a_{k+N} \forall k$. Η ακολουθία a_k ορίζεται για όλα τα k αλλά είναι **περιοδική** και παίρνει διαφορετικές τιμές μόνο για N ουνεχόμενες τιμές του k .

5.3 Παραδείγματα

Παράδειγμα 5.1. Να βρεθούν οι φασματικοί συντελεστές του $x[n] = \sin \Omega_0 n$

Απάντηση: Θεωρούμε τις περιπτώσεις $\frac{2\pi}{\Omega_0} = \begin{cases} \text{ακέραιος} = N & (1) \\ \text{ρητός} & (2) \\ \text{άρρητος} & (3) \end{cases}$

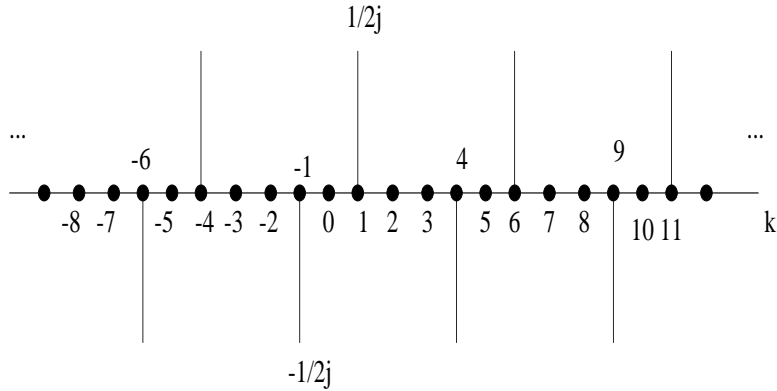
$$(1) \quad \Omega_0 = \frac{2\pi}{N}$$

$$x[n] = \frac{1}{2j} e^{j(2\pi/N)n} - \frac{1}{2j} e^{-j(2\pi/N)n}$$

άρα

$$a_1 = \frac{1}{2j}, \quad a_{-1} = -\frac{1}{2j}$$

για $N = 5$ οι συντελεστές φαίνονται στο Σχ 5.2.



Σχήμα 5.2: Φασματικοί συντελεστές του $x[n] = \sin(2\pi/5)n$.

$$(2) \quad \frac{\Omega_0}{2\pi} = \frac{m}{N} \Rightarrow \Omega_0 = \frac{2\pi m}{N}$$

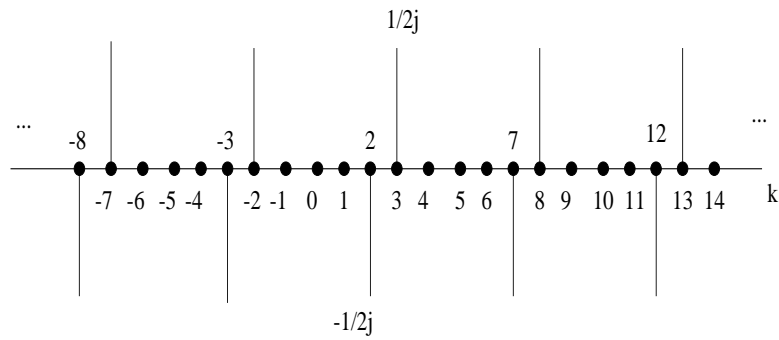
$$x[n] = \frac{1}{2j} e^{jm(2\pi/N)n} - \frac{1}{2j} e^{-jm(2\pi/N)n}$$

άρα

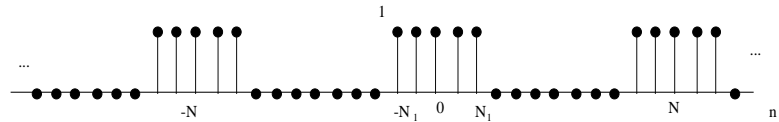
$$a_m = \frac{1}{2j}, \quad a_{-m} = -\frac{1}{2j}$$

για $m = 3, N = 5$ οι συντελεστές φαίνονται στο Σχ 5.3.

Παράδειγμα 5.2. Εστω ο περιοδικός τετραγωνικός παλμός διακριτού χρόνου που φαίνεται στο Σχ 5.4. Ζητείται να βρεθεί το ανάπτυγμά του σε σειρά Fourier.



Σχήμα 5.3: Φαοριατικοί συντελεστές του $x[n] = \sin 3(2\pi/5)n$.



Σχήμα 5.4: Περιοδικός τετραγωνικός παλιός διακριτό χρόνου.

Απάντηση:

$$a_k = \frac{1}{N} \sum_{n=-N_1}^{N_1} e^{-jk(2\pi/N)n}$$

κάνουμε την αντικατάσταση μεταβλητής $m = n + N_1$ οπότε

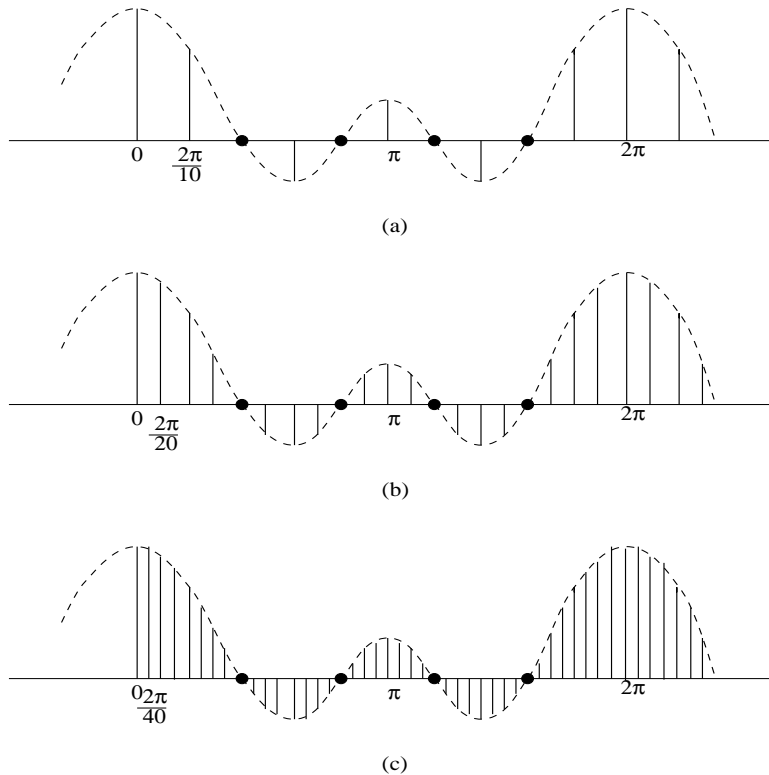
$$a_k = \frac{1}{N} \sum_{m=0}^{2N_1} e^{-jk(2\pi/N)(m-N_1)} \\ = \frac{1}{N} e^{jk(2\pi/N)N_1} \sum_{m=0}^{2N_1} e^{-jk(2\pi/N)m} \quad (5.12)$$

To $\sum_{m=0}^{2N_1} e^{-jk(2\pi/N)m}$ είναι άθροισμα των $2N_1 + 1$ πρώτων όρων γεωμετρικής σειράς, άρα

$$\begin{aligned}
 a_k &= \frac{1}{N} e^{jk(2\pi/N)N_1} \left(\frac{1 - e^{-jk2\pi(2N_1+1)/N}}{1 - e^{-jk(2\pi/N)}} \right) \\
 &= \frac{1}{N} \frac{e^{-jk(2\pi/2N)} [e^{jk2\pi(N_1+\frac{1}{2})/N} - e^{-jk2\pi(N_1+\frac{1}{2})/N}]}{e^{-jk(2\pi/2N)} [e^{jk(2\pi/2N)} - e^{-jk(2\pi/2N)}]} \\
 &= \begin{cases} \frac{1}{N} \frac{\sin[2\pi k(N_1+\frac{1}{2})/N]}{\sin(2\pi k/2N)}, & k \neq 0, \pm N \pm 2N, \dots \\ \frac{2N_1+1}{N}, & k = 0, \pm N \pm 2N, \dots \end{cases}
 \end{aligned}$$

ΣΥΝΕΠΩΤΟΣ

$$Na_k = \frac{\sin[(2N_1 + 1)\Omega/2]}{\sin(\Omega/2)} \quad | \quad \Omega = 2\pi k/N$$



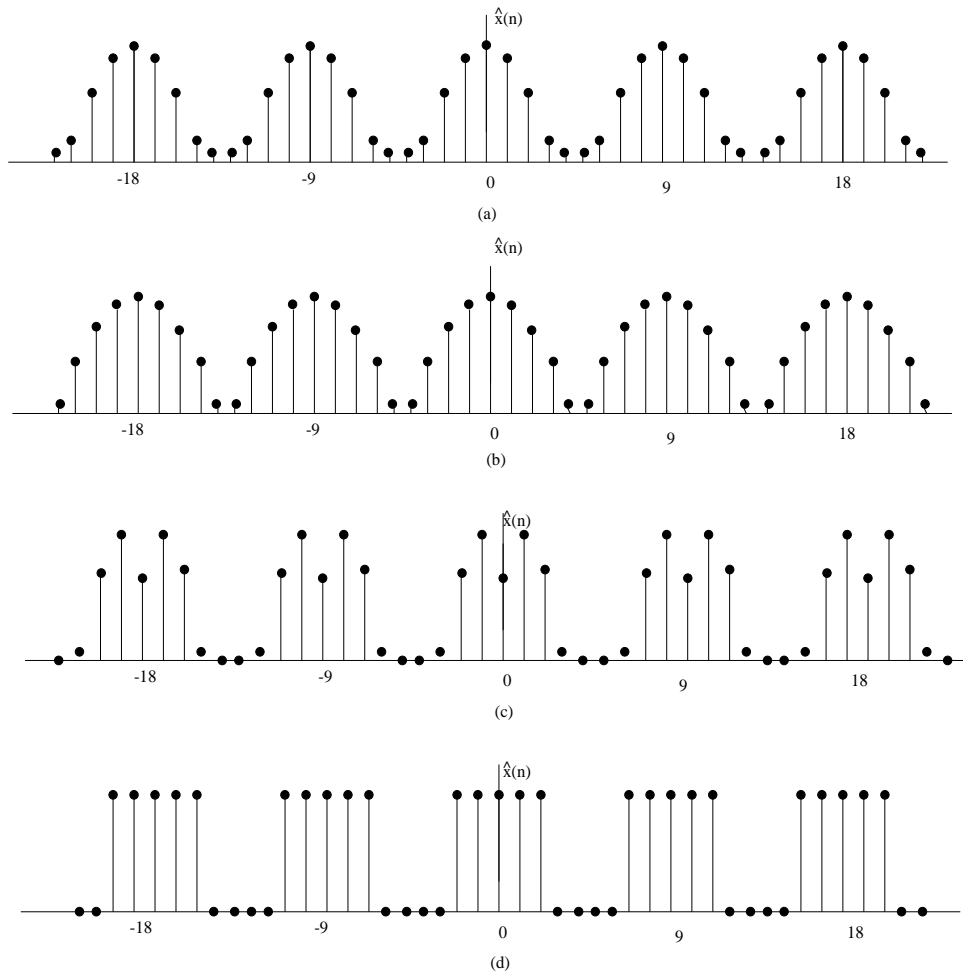
Σχήμα 5.5: Φαοριατικοί συντελεστές του περιοδικού τετραγωνικού παλμού του παραδείγματος 5.2. Στο σχήμα φαίνεται το $N\alpha_k$ για $2N_1 + 1 = 5$ και (a) $N = 10$, (b) $N = 20$, (γ) $N = 40$.

(βλέπε Σχ 5.5).

Σημείωση: Η μερική ανακατασκευή (partial reconstruction) του τετραγωνικού παλμού δίνεται ως

$$\hat{x}[n] = \sum_{n=-M}^M a_k e^{jk(2\pi/N)n}$$

Στο Σχ 5.6 φαίνεται η μερική ανακατασκευή του τετραγωνικού παλμού χρησιμοποιώντας όλο και περισσότερους συντελεστές. Στη περίπτωση αυτή, το άθροισμα δεν είναι άπειρο και συνεπώς δεν υπάρχει κάτι αντίστοιχο του φαινόμενον Gibbs (μπορούμε να έχουμε “πλήρη” ανακατασκευή του σήματος).



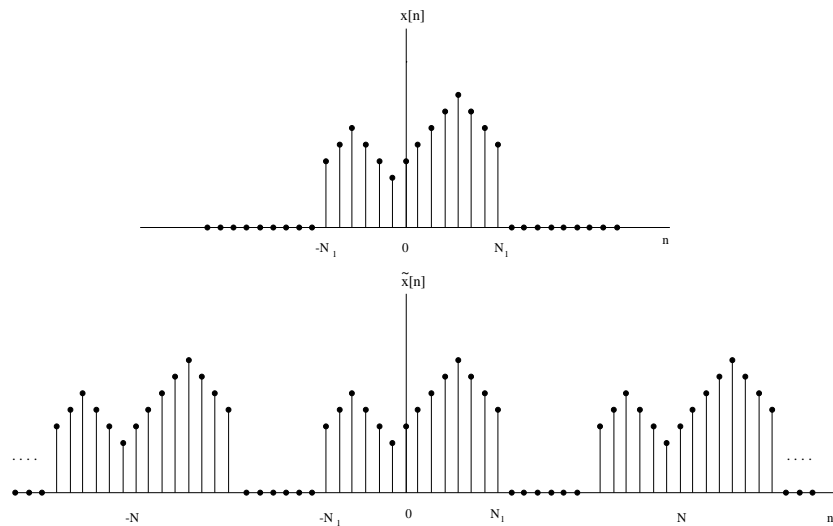
Σχήμα 5.6: Μερική ανακατασκευή του τετραγωνικού παλμού με $N = 9$ και $2N_1 + 1 = 5$. (a) $M = 1$, (b) $M = 2$, (γ) $M = 3$, (δ) $M = 4$.

Κεφάλαιο 6

Μετασχηματισμός Fourier Διακριτού Χρόνου

6.1 Αναπαράσταση μη-Περιοδικών Σημάτων

Ακολουθούμε παρόμοιους συλλογισμούς όπως και στην περίπτωση οημάτων συνεχούς χρόνου. Εστω λοιπόν σήμα $x[n]$ πεπερασμένης χρονικής διάρκειας και σήμα $\tilde{x}[n]$, περιοδικό, που κατακενάζεται από το $x[n]$ όπως φαίνεται στο Σχ 6.1.



Σχήμα 6.1: (α) Σήμα $x[n]$ πεπερασμένης χρονικής διάρκειας, (β) περιοδικό σήμα $\tilde{x}[n]$ κατακενασμένο ώστε να είναι ίσο με το $x[n]$ σε μια περίοδο.

Εφ' όσον το $\tilde{x}[n]$ είναι περιοδικό μπορεί να γραφεί ως οειδά Fourier

$$\tilde{x}[n] = \sum_{k=\langle N \rangle} a_k e^{jk(2\pi/N)n} \quad (6.1)$$

$$a_k = \frac{1}{N} \sum_{n=\langle N \rangle} \tilde{x}[n] e^{-jk(2\pi/N)n} \quad (6.2)$$

Στο διάστημα $[-N_1, N_1]$ το $\tilde{x}[n]$ μπορεί να αντικατασταθεί από το $x[n]$, οπότε

$$a_k = \frac{1}{N} \sum_{n=-N_1}^{N_1} x[n] e^{-jk(2\pi/N)n} = \frac{1}{N} \sum_{n=-\infty}^{+\infty} x[n] e^{-jk(2\pi/N)n} \quad (6.3)$$

Ορίζονταις το φάκελο (envelope) $X(\Omega)$ του Nak σαν

$$X(\Omega) = \sum_{n=-\infty}^{+\infty} x[n] e^{-j\Omega n} \quad (6.4)$$

έχουμε ότι

$$a_k = \frac{1}{N} X(k\Omega_0), \quad \Omega_0 = \frac{2\pi}{N} \quad (6.5)$$

Από τις παραπάνω εξισώσεις συνεπάγεται ότι

$$\tilde{x}[n] = \sum_{k=\langle N \rangle} \frac{1}{N} X(k\Omega_0) e^{jk\Omega_0 n} = \frac{1}{2\pi} \sum_{k=\langle N \rangle} \frac{1}{N} X(k\Omega_0) e^{jk\Omega_0 n} \Omega_0 \quad (6.6)$$

όταν $N \rightarrow \infty$ το $\tilde{x}[n]$ ισούται με το $x[n]$ για όλο και περιοστέρες (πεπερασμένες) τιμές του n και $\Omega_0 \rightarrow 0$. Ετοι στο όριο το άθροισμα τείνει σε ολοκλήρωμα

$x[n] = \frac{1}{2\pi} \int_{2\pi} X(\Omega) e^{j\Omega n} d\Omega$	εξισωση σύνθεσης
$X(\Omega) = \sum_{n=-\infty}^{+\infty} x[n] e^{-j\Omega n}$	εξισωση ανάλυσης

(6.7)

Οι παραπάνω τύποι αποτελούν το μεταοχηματιού Fourier διακριτού χρόνου. Το $X(\Omega)$ λέγεται φάσμα (spectrum) του $x[n]$.

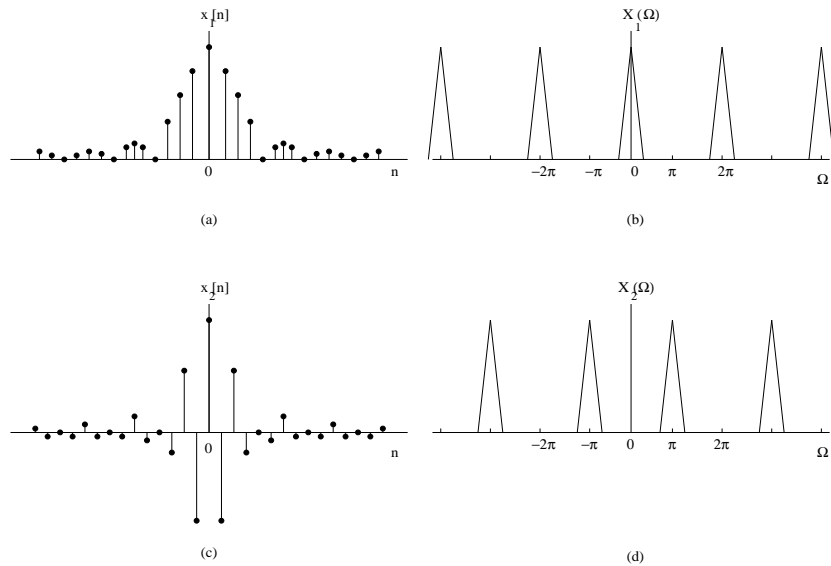
Αν και φτάσαμε στις παραπάνω εξισώσεις θεωρώντας $x[n]$ για πεπερασμένο n , αντές ισχύουν για μια πολύ μεγάλη κλάση σημάτων μη-πεπερασμένων στο χρόνο (όλα τα σήματα που μας ενδιαφέρουν πρακτικά).

6.1.1 Διαφορές μεταξύ Συνεχούς και Διακριτού Χρόνου

Οι μεταοχηματιοί Fourier ουνεχούς και διακριτού χρόνου έχουν πολλές ομοιότητες μεταξύ τους. Υπάρχουν όμως και δύο σημαντικές διαφορές:

- Το $X(\Omega)$ είναι περιοδικό ενώ το $X(\omega)$ δεν είναι.
- Το ολοκλήρωμα του αντίστροφου μεταοχηματιού είναι σε πεπερασμένο διάστημα $\left(\int_{2\pi}\right)$ στη περίπτωση του διακριτού χρόνου, ενώ είναι σε άπειρο διάστημα $\left(\int_{-\infty}^{\infty}\right)$ στη περίπτωση του ουνεχούς χρόνου.

Επίσης, όπως έχουμε δει, στη περίπτωση των διακριτού χρόνου το π δείχνει υψηλές συχνότητες. Αυτό φαίνεται στο Σχ 6.2.



Σχήμα 6.2: (a) Σήμα διακριτού χρόνου με (β) μετασχηματισμό Fourier γύρω από το $\Omega = 0, \pm 2\pi, \pm 4\pi, \dots$, (γ) σήμα διακριτού χρόνου με (δ) μετασχηματισμό Fourier γύρω από το $\Omega = \pm\pi, \pm 3\pi, \dots$

Παράδειγμα 6.1. Να βρεθεί ο μετασχηματισμός Fourier του $x[n] = a^n u[n]$, $|a| < 1$.

Απάντηση: Το $X(\Omega)$ (μέτρο και φάση) φαίνονται στο Σχ 6.3 για $a > 0$ και $a < 0$, και δίνεται ως

$$X(\Omega) = \sum_{n=-\infty}^{+\infty} a^n u[n] e^{-j\Omega n} = \sum_{n=0}^{+\infty} (ae^{-j\Omega})^n = \frac{1}{1 - ae^{-j\Omega}}$$

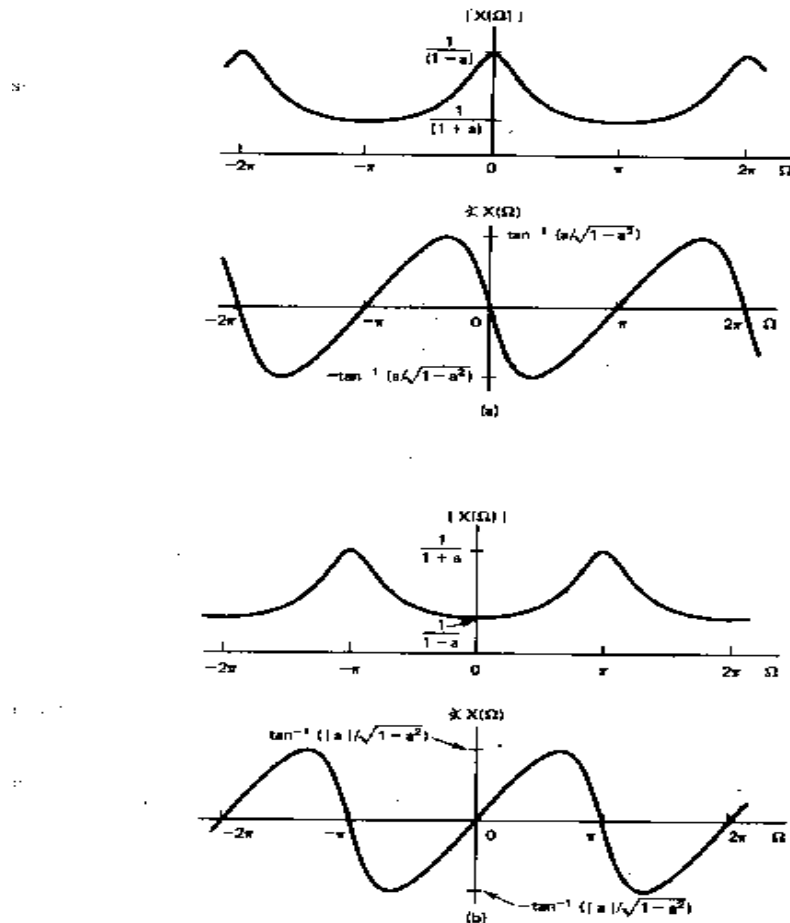
Παράδειγμα 6.2. Εστω

$$x[n] = \begin{cases} 1, & |n| \leq N_1 \\ 0, & |n| > N_1 \end{cases}$$

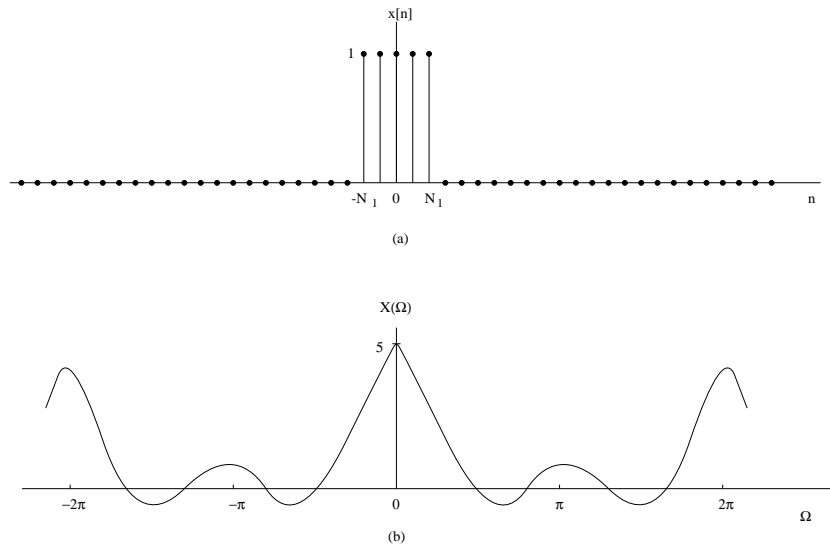
Ο μετασχηματισμός Fourier του $x[n]$ δίνεται ως (βλέπε Σχ 6.4).

$$X(\Omega) = \sum_{n=-N_1}^{N_1} e^{-j\Omega n} = \frac{\sin \Omega(N_1 + \frac{1}{2})}{\sin(\Omega/2)}$$

Εφ' όσον το διάστημα ολοκλήρωσης είναι πεπερασμένο για το μετασχηματισμό Fourier διακριτού χρόνου, δεν υπάρχουν προβλήματα ούγκλιος ο' αντί την περίπτωση. Αν λοιπόν προσε γγίσουμε



Σχήμα 6.3: Μέτρο και φάση του μεταοχηματικού Fourier του παραδείγματος 6.1. (a) $a > 0$, (b) $a < 0$.



Σχήμα 6.4: Σήμα και μετασχηματισμός Fourier του παραδείγματος 6.2.

τη $x[n]$ με ολοκλήρωμα στο διάστημα $|\Omega| \leq W$

$$\hat{x}[n] = \frac{1}{2\pi} \int_{-W}^W X(\Omega) e^{j\Omega n} d\Omega$$

τότε $\hat{x}[n] = x[n]$ για $W = \pi$. Συνεπώς δεν υπάρχει κάτι αντίστοιχο με το φαινόμενο Gibbs. Αυτό φαίνεται και στο επόμενο παράδειγμα.

Παράδειγμα 6.3. Για $x[n] = \delta[n]$ παίρνουμε $X(\Omega) = 1$. Αν υπολογίσουμε τον αντίστροφο μετασχηματισμό στο διάστημα $|\Omega| \leq W$, το $\hat{x}[n]$ έχει τη μορφή φθίνοντος ημιτόνου

$$\hat{x}[n] = \frac{1}{2\pi} \int_{-W}^W X(\Omega) e^{j\Omega n} d\Omega = \frac{\sin Wn}{\pi n}$$

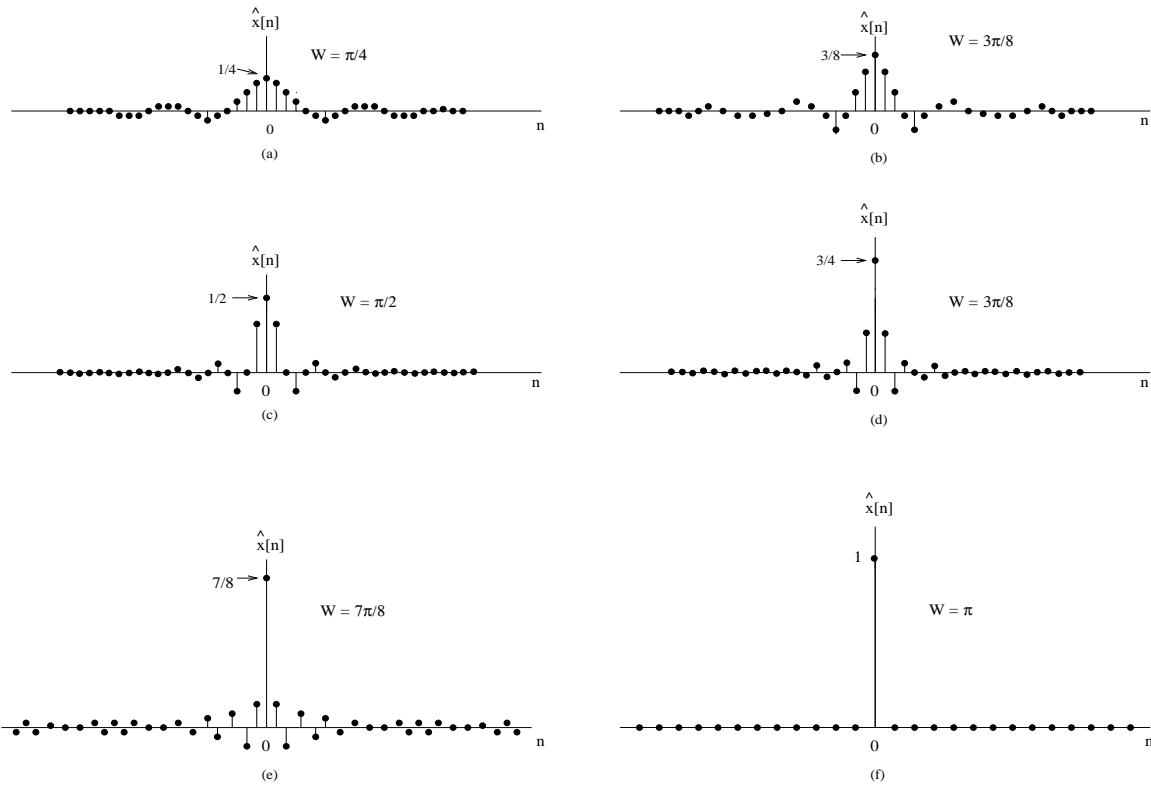
Αυτό φαίνεται στο Σχ 6.5. Καθώς το W μεγαλώνει (οε αντιδιαστολή με την περίπτωση συνεχούς χρόνου) το πλάτος των ταλαντώσεων μειώνεται οχετικά με την ταλάντωση του $\hat{x}[0]$. Τελικά, για $W = \pi$ οι ταλαντώσεις εξαφανίζονται και $\hat{x}[0] = 1$.

6.2 Μετασχηματισμός Fourier Περιοδικών Σημάτων

Αν το $x[n]$ είναι περιοδικό τότε μπορεί να γραφεί σαν σειρά Fourier

$$x[n] = \sum_{k=-N}^{N-1} a_k e^{jk(2\pi/N)n} \quad (6.8)$$

Επίσης, στη περίπτωση αυτή ο μετασχηματισμός Fourier του $x[n]$ δίνεται σαν ένα άπειρο άθροισμα από παλμούς δ :



Σχήμα 6.5: Διαδοχικές προοεγγίσεις του μοναδιαίου παλμού.

$$X(\Omega) = \sum_{k=-\infty}^{+\infty} 2\pi a_k \delta\left(\Omega - \frac{2\pi k}{N}\right) \quad \begin{array}{l} \text{μετασχηματισμός Fourier} \\ \text{περιοδικών οιμάτων} \end{array}$$

(6.9)

Παράδειγμα 6.4. Εστω

$$x[n] = \sum_{k=-\infty}^{+\infty} \delta[n - kN], \quad a_k = \frac{1}{N}$$

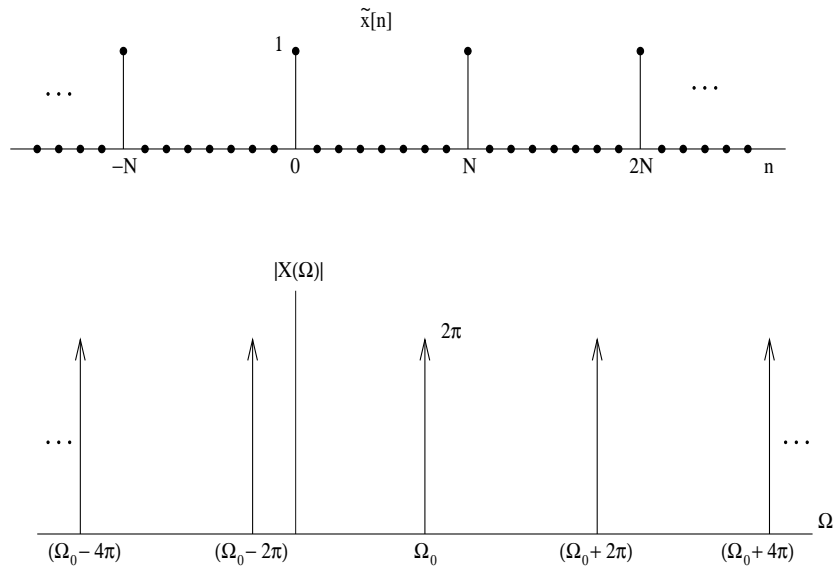
Τότε

$$X(\Omega) = \frac{2\pi}{N} \sum_{k=-\infty}^{+\infty} \delta\left(\Omega - \frac{2\pi k}{N}\right)$$

(βλέπε Σχ 6.6).

6.3 Ιδιότητες Μετασχηματισμού Fourier Διακριτού Χρόνου

Αντίστοιχα με τη περίπτωση των ουνεχούς χρόνου, νιοθετούμε το ουμβολιομό $x[n] \xleftrightarrow{\mathcal{F}} X(\Omega)$.



Σχήμα 6.6: Σήμα και μεταοχηματισμός Fourier του παραδείγματος 6.4.

Περιοδικότητα: Το $X(\Omega)$ είναι πάντα περιοδικό με περίοδο 2π .

Γραμμικότητα:

$$ax_1[n] + bx_2[n] \xleftrightarrow{\mathcal{F}} aX_1(\Omega) + bX_2(\Omega) \quad (6.10)$$

Ιδιότητα συμμετρίας: Για $x[n]$ πραγματικό ιωχέον

$$X(\Omega) = X^*(-\Omega) \quad (6.11)$$

$$\mathcal{E}v\{x[n]\} \xleftrightarrow{\mathcal{F}} \Re e\{X(\Omega)\} \quad (6.12)$$

$$\mathcal{O}d\{x[n]\} \xleftrightarrow{\mathcal{F}} j\Im m\{X(\Omega)\} \quad (6.13)$$

Ολισθηση στο χρόνο/συχνότητα:

$$x[n - n_0] \xleftrightarrow{\mathcal{F}} e^{-j\Omega n_0} X(\Omega) \quad (6.14)$$

$$e^{j\Omega_0 n} x[n] \xleftrightarrow{\mathcal{F}} X(\Omega - \Omega_0) \quad (6.15)$$

Διαφορά/Αθροιση:

$$x[n] - x[n - 1] \xleftrightarrow{\mathcal{F}} (1 - e^{-j\Omega}) X(\Omega) \quad (6.16)$$

$$\sum_{m=-\infty}^n x[m] \xleftrightarrow{\mathcal{F}} \frac{1}{1 - e^{-j\Omega}} X(\Omega) + \pi X(0) \sum_{k=-\infty}^{+\infty} \delta(\Omega - 2\pi k) \quad (6.17)$$

Πολλαπλασιασμός στο χρόνο / συχνότητα:

$$x_{(k)}[n] = \begin{cases} x[n/k], & \text{αν } n \text{ πολλαπλάσιο του } k \\ 0, & \text{διαφορετικά} \end{cases}$$

$$x_{(k)}[n] \xleftrightarrow{\mathcal{F}} X(k\Omega) \quad (6.18)$$

Διαφόριση στη συχνότητα:

$$nx[n] \xleftrightarrow{\mathcal{F}} j \frac{dX(\Omega)}{d\Omega} \quad (6.19)$$

Σχέση Parseval:

$$\sum_{n=-\infty}^{+\infty} |x[n]|^2 = \frac{1}{2\pi} \int_{2\pi} |X(\Omega)|^2 d\Omega \quad (6.20)$$

Ιδιότητα συγκερασμού: Αν $y[n] = x[n] * h[n]$, τότε

$$Y(\Omega) = X(\Omega)H(\Omega) \quad (6.21)$$

Πολλαπλασιαστική ιδιότητα: Αν $y[n] = x_1[n] \cdot x_2[n]$, τότε

$$Y(\Omega) = \frac{1}{2\pi} \int_{2\pi} X_1(\theta)X_2(\Omega - \theta) d\theta \quad (6.22)$$

Παράδειγμα 6.5. Εστω $h[n] = \delta[n - n_0]$. Για τυχαίο $x[n]$ να βρεθεί το $y[n] = x[n] * h[n]$.

Απάντηση: Το $H(\Omega)$ δίνεται ως

$$H(\Omega) = \sum_{n=-\infty}^{+\infty} \delta[n - n_0] e^{-j\Omega n} = e^{-j\Omega n_0}$$

Αρα

$$\begin{aligned} Y(\Omega) &= e^{-j\Omega n_0} X(\Omega) \\ \Rightarrow y[n] &= x[n - n_0] \end{aligned}$$

Παράδειγμα 6.6. Εστω $h[n] = a^n u[n]$ και $x[n] = b^n u[n]$. Να βρεθεί το $y[n] = x[n] * h[n]$.

Απάντηση: Τα $H(\Omega)$ και $X(\Omega)$ δίνονται ως

$$\begin{aligned} H(\Omega) &= \frac{1}{1 - ae^{-j\Omega}} \\ X(\Omega) &= \frac{1}{1 - be^{-j\Omega}} \end{aligned}$$

οπότε

$$Y(\Omega) = H(\Omega)X(\Omega) = \frac{1}{(1 - ae^{-j\Omega})(1 - be^{-j\Omega})}$$

με ανάλυση σε απλά κλάσματα (partial fraction expansion) η τελευταία σχέση γράφεται ως

$$Y(\Omega) = \frac{A}{1 - ae^{-j\Omega}} + \frac{B}{1 - be^{-j\Omega}}$$

όπου

$$A = \frac{a}{a - b} \quad \text{και} \quad B = -\frac{b}{a - b}$$

άρα

$$y[n] = \frac{a}{a - b}a^n u[n] - \frac{b}{a - b}b^n u[n] \quad , \quad a \neq b$$

6.4 Πίνακες Ιδιοτήτων – Βασικών Μετασχηματισμών

Πίνακας 6.1: Ιδιότητες των Σειρών Fourier Διακριτού Χρόνου

Periodic signal	Fourier series coefficiens
$x[n]$	periodic with
$y[n]$	period N
$Ax[n] + By[n]$	$A\alpha_k + Bb_k$
$x[n - n_0]$	$a_k e^{-jk(2\pi/N)n_0}$
$e^{jM(2\pi/N)n}x[n]$	a_{k-M}
$x^*[n]$	a_{-k}^*
$x[-n]$	a_{-k}
$x_{(m)}[n] = \begin{cases} x[n/m] & \text{if } n \text{ is a multiple of } m \\ 0 & \text{if } n \text{ is not a multiple of } m \end{cases}$ (periodic with period mN)	$\frac{1}{m}a_k \left(\begin{array}{l} \text{viewed as periodic} \\ \text{with period } mN \end{array} \right)$
$\sum_{r=<N>} x[r]y[n-r]$	$Na_k b_k$
$x[n]y[n]$	$\sum_{l=<N>} a_l b_{k-l}$
$x[n] - x[n-1]$	$(1 - e^{-jk(2\pi/N)})a_k$
$\sum_{k=-\infty}^n x[k] \left(\begin{array}{l} \text{finite-valued and periodic} \\ \text{only if } a_0 = 0 \end{array} \right)$	$\left(\frac{1}{1 - e^{-jk(2\pi/N)}} \right) a_k$
$x[n]$ real	$\begin{cases} a_k = a_{-k}^* \\ \Re\{a_k\} = \Re\{a_{-k}\} \\ \Im\{a_k\} = -\Im\{a_{-k}\} \\ a_k = a_{-k} \\ \Im a_k = -\Im a_{-k} \end{cases}$
$x_e[n] = \mathcal{E}u\{x[n]\}$ [$x[n]$ real]	$\Re\{a_k\}$
$x_o[n] = \mathcal{O}d\{x[n]\}$ [$x[n]$ real]	$j\Im\{a_k\}$
Parseval's Relation for Periodic Signals	
$\frac{1}{N} \sum_{n=<N>} x[n] ^2 = \sum_{k=<N>} a_k ^2$	

Πίνακας 6.2: Ιδιότητες των Μετασχηματισμών Fourier Διακριτού Χρόνου

Aperiodic signal	Fourier transform
$x[n]$	$X(\Omega)$
$y[n]$	$Y(\Omega)$
$ax[n] + by[n]$	$aX(\Omega) + bY(\Omega)$
$x[n - n_0]$	$e^{-j\Omega n_0} X(\Omega)$
$e^{j\Omega_0 n} x[n]$	$X(\Omega - \Omega_0)$
$x^*[n]$	$X^*(-\Omega)$
$x[-n]$	$X(-\Omega)$
$x_{(k)}[n] = \begin{cases} x[n/k], & \text{if } n \text{ is a multiple of } k \\ 0, & \text{if } n \text{ is not a multiple of } k \end{cases}$	$X(k\Omega)$
$x[n] \star y[n]$	$X(\Omega)Y(\Omega)$
$x[n]y[n]$	$\frac{1}{2\pi} \int_{2\pi} X(\theta)Y(\Omega - \theta)d\theta$
$x[n] - x[n - 1]$	$(1 - e^{-j\Omega}) X(\Omega)$
$\sum_{k=-\infty}^n x[k]$	$\frac{1}{1 - e^{-j\Omega}} X(\Omega) + \pi X(0) \sum_{k=-\infty}^{+\infty} \delta(\Omega - 2\pi k)$
$nx[n]$	$j \frac{dX(\Omega)}{d\Omega}$
$x[n]$ real	$\begin{cases} X(\Omega) = X^*(-\Omega) \\ \Re e\{X(\Omega)\} = \Re e\{X(-\Omega)\} \\ \Im m\{X(\Omega)\} = -\Im m\{X(-\Omega)\} \\ X(\Omega) = X(-\Omega) \\ \not X(\Omega) = -\not X(-\Omega) \end{cases}$
$x_e[n] = \mathcal{E}u\{x[n]\}$ [$x[n]$ real]	$\Re e\{X(\Omega)\}$
$x_o[n] = \mathcal{O}d\{x[n]\}$ [$x[n]$ real]	$j\Im m\{X(\Omega)\}$
Parseval's Relation for Aperiodic Signals	
$\sum_{n=-\infty}^{+\infty} x[n] ^2 = \frac{1}{2\pi} \int_{2\pi} X(\Omega) ^2 d\Omega$	

Πίνακας 6.3: Βασικοί Μετασχηματισμοί – Σειρές Fourier Διακριτού Χρόνου

Signal	Fourier transform	Fourier series coefficients (if periodic)
$\sum_{k < N} a_k e^{jk(\frac{2\pi}{N})n}$	$2\pi \sum_{k=-\infty}^{+\infty} a_k \delta\left(\Omega - \frac{2\pi k}{N}\right)$	a_k
$e^{j\Omega_0 N}$	$2\pi \sum_{l=-\infty}^{+\infty} \delta(\Omega - \Omega_0 - 2\pi l)$	(a) $\Omega_0 = \frac{2\pi m}{N}$ $a_k = \begin{cases} 1, & k = m, m \pm N, m \pm 2N, \dots \\ 0, & otherwise \end{cases}$ (b) $\frac{\Omega_0}{2\pi}$ irrational \Rightarrow the signal is aperiodic
$\cos \Omega_0 N$	$\pi \sum_{l=-\infty}^{+\infty} \{\delta(\Omega - \Omega_0 - 2\pi l) + \delta(\Omega + \Omega_0 - 2\pi l)\}$	(a) $\Omega_0 = \frac{2\pi m}{N}$ $a_k = \begin{cases} \frac{1}{2}, & k = \pm m, \pm m \pm N, \pm m \pm 2N, \dots \\ 0, & otherwise \end{cases}$ (b) $\frac{\Omega_0}{2\pi}$ irrational \Rightarrow the signal is aperiodic
$\sin \Omega_0 N$	$\frac{\pi}{j} \sum_{l=-\infty}^{+\infty} \{\delta(\Omega - \Omega_0 - 2\pi l) + \delta(\Omega + \Omega_0 - 2\pi l)\}$	(a) $\Omega_0 = \frac{2\pi r}{N}$ $a_k = \begin{cases} \frac{1}{2j}, & k = r, r \pm N, r \pm 2N, \dots \\ -\frac{1}{2j}, & k = -r, -r \pm N, -r \pm 2N, \dots \\ 0, & otherwise \end{cases}$ (b) $\frac{\Omega_0}{2\pi}$ irrational \Rightarrow the signal is aperiodic
$x[n] = 1$	$2\pi \sum_{l=-\infty}^{+\infty} \delta(\Omega - 2\pi l)$	$a_k = \begin{cases} 1, & k = 0, \pm N, \pm 2N, \dots \\ 0, & otherwise \end{cases}$
Periodic square wave $x[n] = \begin{cases} 1, n \leq N_1 \\ 0, N_1 < n \leq \frac{N}{2} \end{cases}$ and $x[n+N] = x[n]$	$2\pi \sum_{k=-\infty}^{+\infty} a_k \delta\left(\Omega - \frac{2\pi k}{N}\right)$	$a_k = \frac{\sin[(2\pi k/N)(N_1 + \frac{1}{2})]}{N \sin[2\pi k/2N]}, k \neq 0, \pm N, \pm 2N, \dots$ $a_k = \frac{2N_1 + 1}{N}, k = 0, \pm N, \pm 2N, \dots$
$\sum_{k=-\infty}^{+\infty} \delta(n - kN)$	$\frac{2\pi}{N} \sum_{k=-\infty}^{+\infty} \delta\left(\Omega - \frac{2\pi k}{N}\right)$	$a_k = \frac{1}{N}$ for all k
$a^n u[n], a < 1$	$\frac{1}{1 - ae^{-j\Omega}}$	-
$x[n] = \begin{cases} 1, & n \leq N_1 \\ 0, & n > N_1 \end{cases}$	$\frac{\sin[\Omega(N_1 + \frac{1}{2})]}{\sin(\Omega/2)}$	-
$\frac{\sin Wn}{\pi n} = \frac{W}{\pi} \text{sinc}\left(\frac{Wn}{\pi}\right)$ $0 < W < \pi$	$x(\Omega) = \begin{cases} 1, & 0 \leq \Omega \leq W \\ 0, & W < \Omega \leq \pi \end{cases}$ $x(\Omega)$ periodic with period 2π	-
$\delta[n]$	1	-
$u[n]$	$\frac{1}{1 - e^{-j\Omega}} + \sum_{k=-\infty}^{+\infty} \pi \delta(\Omega - 2\pi k)$	-
$\delta[n - n_0]$	$e^{-j\Omega n_0}$	-
$(n+1)a^n u[n], a < 1$	$\frac{1}{(1 - ae^{-j\Omega})^2}$	-
$\frac{(n+r-1)!}{n!(r-1)!} a^n u[n], a < 1$	$\frac{1}{(1 - ae^{-j\omega})^r}$	-

6.5 Μετασχηματισμός Fourier Μετά από Δειγματοληψία

Οπως είναι γνωστό, μπορούμε να πάρουμε ένα σήμα διακριτού χρόνου $x[n]$ με τη δειγματοληψία (sampling) ενός ουνεκούς $x(t)$:

$$x[n] = x_a(nT) \quad (6.23)$$

Σε υβριδικές (hybrid) εφαρμογές είναι προτιμότερο να μη θεωρούμε το σήμα μετά τη δειγματοληψία ως σήμα διακριτού χρόνου. Σ' αυτή τη περίπτωση το ουμβολίζουμε ως $x_s(t)$. Από τις εξιούσιες μετασχηματισμού Fourier ουνεκούς χρόνου έχουμε

$$x_a(t) = \frac{1}{2\pi} \int_{-\infty}^{+\infty} X_a(\omega) e^{j\omega t} d\omega \quad (6.24)$$

και

$$x[n] = x_a(nT) = \frac{1}{2\pi} \int_{-\infty}^{+\infty} X_a(\omega) e^{j\omega nT} d\omega \quad (6.25)$$

Το $x[n]$ μπορεί όμως να γραφεί και σύμφωνα με το μετασχηματισμό διακριτού χρόνου

$$x[n] = \frac{1}{2\pi} \int_{-\pi}^{+\pi} X(\Omega) e^{j\Omega n} d\Omega \quad (6.26)$$

Θέλουμε να βρούμε τώρα τη σχέση που ουνδέει τους δύο μετασχηματισμούς 6.25, και 6.25. Διαιρούμε τη περιοχή $-\infty < \omega < +\infty$ σε διαστήματα μήκους $2\pi/T$

$$x[n] = \frac{1}{2\pi} \sum_{r=-\infty}^{+\infty} \int_{(2r-1)\pi/T}^{(2r+1)\pi/T} X_a(\omega) e^{j\omega nT} d\omega \quad (6.27)$$

αντικαθιστούμε το ω με $\omega + 2\pi r/T$

$$x[n] = \frac{1}{2\pi} \sum_{r=-\infty}^{+\infty} \int_{-\pi/T}^{\pi/T} X_a\left(\omega + \frac{2\pi}{T}r\right) e^{j(\omega + \frac{2\pi r}{T})nT} d\omega \quad (6.28)$$

$$= \frac{1}{2\pi} \int_{-\pi/T}^{\pi/T} \left[\sum_{r=-\infty}^{+\infty} X_a\left(\omega + \frac{2\pi}{T}r\right) \right] e^{j\omega nT} d\omega \quad (6.29)$$

αντικαθιστούμε στη ουνέκεια το ω με Ω/T

$$x[n] = \frac{1}{2\pi} \int_{-\pi}^{\pi} \left[\frac{1}{T} \sum_{r=-\infty}^{+\infty} X_a\left(\frac{\Omega}{T} + \frac{2\pi}{T}r\right) \right] e^{j\Omega n} d\Omega \quad (6.30)$$

Συγκρίνοντας τη παραπάνω εξίσωση (6.30) με την (6.26) παίρνουμε

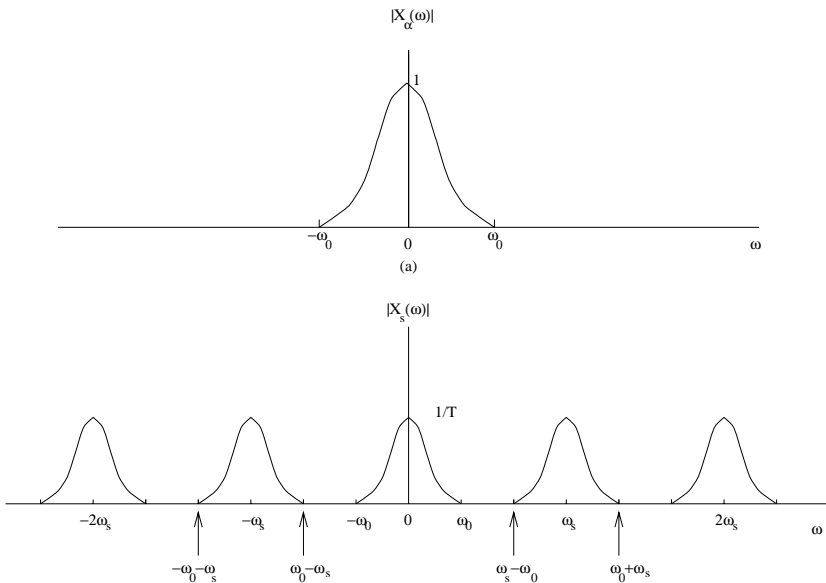
$$X(\Omega) = \frac{1}{T} \sum_{r=-\infty}^{+\infty} X_a \left(\frac{\Omega}{T} + \frac{2\pi}{T} r \right) \quad (6.31)$$

$$X_s(\omega) = X(\Omega)|_{\Omega=\omega T} \quad (6.32)$$

όπου η συχνότητα δειγματοληψίας είναι $\omega_s = 2\pi/T$. Άρα

$$X_s(\omega) = \frac{1}{T} \sum_{r=-\infty}^{+\infty} X_a(\omega + r\omega_s) \quad (6.33)$$

Από την παραπάνω εξίσωση (6.33) βλέπουμε ότι στο χώρο των συχνοτήτων η δειγματοληψία του σήματος έχει ως αποτέλεσμα την περιοδική επανάληψη του φάσματος. Αυτό φαίνεται στο Σχ 6.7 (Συγκρίνατε με πολλαπλασιασμό με τρένο δ).



Σχήμα 6.7: Φάσμα σήματος μετά από δειγματοληψία.

6.6 Δυϊομός

Εχουμε ήδη δει το δυϊομό που υπάρχει ανάμεσα στην εξίσωση ανάλυσης και σύνθεσης του μετασχηματισμού Fourier συνεχούς χρόνου. Στη περίπτωση διακριτού χρόνου δεν υπάρχει τέτοιος δυϊομός. Εντούτοις, υπάρχει δυϊομός στις εξισώσεις αναπτύγματος σε σειρά διακριτού χρόνου καθώς και μεταξύ του μετασχηματισμού Fourier διακριτού χρόνου και της σειράς Fourier συνεχούς χρόνου.

Σειρές Fourier διακριτού χρόνου. Εστω f, g περιοδικές με περίοδο N και έστω η συχέση που τις συνδέει

$$f[m] = \frac{1}{N} \sum_{r=\langle N \rangle} g[r] e^{-jr(2\pi/N)m} \quad (6.34)$$

Θέτοντας $m = k$, $r = n$ παίρνουμε

$$f[k] = \frac{1}{N} \sum_{n=\langle N \rangle} g[n] e^{-jk(2\pi/N)n} \quad (6.35)$$

Η παραπάνω εξίσωση δείχνει ότι οι $f[k]$ είναι οι συντελεστές της σειράς Fourier του $g[n]$, δηλαδή

$$g[n] \xleftrightarrow{\mathcal{F}} f[k] \quad (6.36)$$

Αν βάλουμε $m = n$, $r = -k$, τότε

$$f[n] = \sum_{k=\langle N \rangle} \frac{1}{N} g[-k] e^{jk(2\pi/N)n} \quad (6.37)$$

Η τελευταία εξίσωση δείχνει ότι οι $\frac{1}{N}g[-k]$ είναι οι συντελεστές της σειράς Fourier του $f[n]$, δηλαδή

$$f[n] \xleftrightarrow{\mathcal{F}} \frac{1}{N} g[-k] \quad (6.38)$$

Συμπερασματικά, μιας και οι συντελεστές α_k ενός περιοδικού σήματος $x[n]$ είναι και αυτοί μια περιοδική ακολουθία, μπορούμε να τους επεκτείνουμε σε σειρά Fourier. Οι καινούργιοι συντελεστές (των α_k) είναι η τιμές $\frac{1}{N}x[-n]$.

Παράδειγμα 6.7. Ζητείται να βρεθούν οι συντελεστές του σήματος

$$x[n] = \frac{1}{N} \frac{\sin \left[(2\pi n/N) \left(N_1 + \frac{1}{2} \right) \right]}{\sin (2\pi n/2N)}$$

Τα $x[n]$ είναι οι συντελεστές του περιοδικού τετραγωνικού παλμού διακριτού χρόνου. Αρα, οι συντελεστές του $x[n]$ θα είναι $1/N$ φορές ο περιοδικός τετραγωνικός παλμός αντεστραμμένος στο n (το τελευταίο δεν αλλάζει τίποτα γιατί ο περιοδικός τετραγωνικός παλμός είναι άρτιο σήμα).

Μετασχηματισμός Fourier Διακριτού Χρόνου και Σειρές Fourier Συνεχούς Χρόνου. Θυμίζουμε κατ' αρχήν τις εξισώσεις που ισχύουν για το μετασχηματισμό Fourier διακριτού χρόνου και για τις σειρές Fourier συνεχούς χρόνου:

$$x[n] = \frac{1}{2\pi} \int_{2\pi} X(\Omega) e^{j\Omega n} d\Omega \quad (6.39)$$

$$X(\Omega) = \sum_{n=-\infty}^{+\infty} x[n] e^{-j\Omega n} \quad (6.40)$$

$$x(t) = \sum_{k=-\infty}^{+\infty} \alpha_k e^{jk\omega_0 t} \quad (6.41)$$

$$\alpha_k = \frac{1}{T_0} \int_{T_0} x(t) e^{-jk\omega_0 t} dt \quad (6.42)$$

(6.43)

Θεωρούμε δύο συναρτήσεις $f(u)$ και $g[m]$, όπου $f(u)$ ουνεχής και περιοδική με περίοδο 2π , $g[m]$ διακριτή, και έστω ότι συνδέονται με τη σχέση

$$f(u) = \sum_{m=-\infty}^{+\infty} g[m] e^{-jum} \quad (6.44)$$

Θέτοντας $u = \Omega$, $m = n$, βλέπουμε ότι η $f(\Omega)$ είναι ο μεταοχηματιομός Fourier διακριτού χρόνου της $g[n]$. Αρα

$$g[n] \xleftrightarrow{\mathcal{F}} f(\Omega) \quad (6.45)$$

και ουνεπός

$$g[m] = \frac{1}{2\pi} \int_{-\pi}^{\pi} f(u) e^{jum} du \quad (6.46)$$

Θέτοντας $u = t$, $m = -k$, και επειδή η $f(t)$ είναι περιοδική με $T_0 = 2\pi$, $\omega_0 = 2\pi/T_0 = 1$, οι $g[-k]$ είναι οι ουντελεστές Fourier της $f(t)$. Αρα

$$f(t) \xleftrightarrow{\mathcal{F}} g[-k] \quad (6.47)$$

Δηλαδή, έστω $x[n]$ με μεταοχηματιομό Fourier $X(\Omega)$. Η $X(\Omega)$ είναι περιοδική οπότε μπορεί να αναπτυχθεί σε σειρά με $\omega_0 = 1$. Οι ουντελεστές του $X(\Omega)$ θα είναι το αρχικό σήμα αντεστραμένο στο n .

Στο παρακάτω πίνακα παρουσιάζονται ουνοπτικά οι σειρές και μεταοχηματιομοί Fourier στο ουνεχή και διακριτό χρόνο.

Πίνακας 6.4: Ανακεφαλάτοη των Εκφράσεων Μετασχηματισμού και Σειρών Fourier

	Continuous-time	Discrete-time		
	Time domain	Frequency domain		
Fourier Series	$x(t) = \sum_{k=-\infty}^{+\infty} a_k e^{j k \omega_0 t}$ <p>continuous time periodic in time</p>	$a_k = \frac{1}{T_0} \int_{T_0} x(t) e^{-j k \omega_0 t} dt$ <p>discrete frequency aperiodic in frequency</p>	$x[n] = \sum_{k=-N}^{+N} a_k e^{j k (2\pi/N)n}$ <p>discrete time periodic in time</p>	$a_k = \frac{1}{N} \sum_{n=-N}^{+N} x[n] e^{-j k (2\pi/N)n}$ <p>discrete frequency aperiodic in frequency</p>
Fourier Transform	$x(t) = \frac{1}{2\pi} \int_{-\infty}^{+\infty} X(\omega) e^{j\omega t} d\omega$ <p>continuous time aperiodic in time</p>	$X(\omega) = \int_{-\infty}^{+\infty} x(t) e^{-j\omega t} dt$ <p>continuous frequency</p>	$x[n] = \frac{1}{2\pi} \int_{-\infty}^{+\infty} X(\omega) e^{j\Omega n} d\Omega$ <p>discrete time aperiodic in time</p>	$X(\Omega) = \sum_{n=-\infty}^{+\infty} x[n] e^{-j\Omega n}$ <p>continuous frequency periodic in frequency</p>

duality

Παράδειγμα 6.8. Εστω οήλια $x(t)$ περιοδικό με περίοδο 2π . Οι συντελεστές Fourier του $x(t)$ δίνονται ως

$$\alpha_k = \begin{cases} 1, & |k| \leq N_1 \\ 0, & \text{διαφορετικά} \end{cases}$$

Οι α_k αποτελούν τον τετραγωνικό παλμό διακριτού χρόνου με μεταοχηματιοριό Fourier

$$X(\Omega) = \frac{\sin \Omega \left(N_1 + \frac{1}{2} \right)}{\sin (\Omega/2)}$$

Άρα, το $x(t)$ δίνεται ως

$$x(t) = \frac{\sin \left(N_1 + \frac{1}{2} \right) t}{\sin (t/2)}$$

Επίσης, έστω $X(\Omega)$ που ορίζεται στη περίοδο $-\pi \leq \Omega \leq \pi$ ως

$$X(\Omega) = \begin{cases} 1, & |\Omega| \leq W \\ 0, & W < |\Omega| \leq \pi \end{cases}$$

Αυτός είναι ο περιοδικός τετραγωνικός παλμός με συντελεστές

$$\alpha_k = \frac{\sin kW}{k\pi}$$

Συνεπώς, το οήλια $x[n]$ δίνεται ως

$$x[n] = \frac{\sin Wn}{\pi n} = \frac{W}{\pi} \operatorname{sinc} \left(\frac{Wn}{\pi} \right)$$

Παράδειγμα 6.9. (a) Εστω $x[n]$ περιοδικό με περίοδο N και συντελεστές σειράς Fourier a_k . Να βρεθούν οι συντελεστές b_k του $y[n]$ σαν συνάρτηση των a_k στις παρακάτω περιπτώσεις:

(a) $y[n] = (-1)^n x[n]$. Διακρίνονται δύο υποπεριπτώσεις, ανάλογα με το αν το N είναι άρτιο ή περιττό:

$$N \begin{cases} \text{άρτιο :} & y[n] \text{ περιοδικό με περίοδο } N \\ \text{περιττό :} & y[n] \text{ περιοδικό με περίοδο } 2N \end{cases}$$

N άρτιο:

$$b_k = \frac{1}{N} \sum_{n=-N}^{N} (-1)^n x[n] e^{-\frac{j k 2\pi}{N} n}$$

$$= \frac{1}{N} \sum_{n=-N}^{N} x[n] e^{j \pi n} e^{-\frac{j k 2\pi}{N} n}$$

$$= \frac{1}{N} \sum_{n=< N>} x[n] e^{-j(k - \frac{N}{2}) \frac{2\pi}{N} n} = a_{(k - \frac{N}{2})}$$

N περιπτώ:

$$\begin{aligned} b_k &= \frac{1}{2N} \sum_{n=0}^{2N-1} (-1)^n x[n] e^{-jk \frac{\pi}{N} n} \\ &= \frac{1}{2N} \left[\sum_{n=0}^{N-1} x[n] e^{-j(\frac{k-N}{2}) \frac{2\pi}{N} n} + \sum_{n=N}^{2N-1} x[n] e^{-j(\frac{k-N}{2}) \frac{2\pi}{N} n} \right] \\ &= \frac{1}{2} \left[a_{(\frac{k-N}{2})} + \frac{1}{N} \sum_{m=0}^{N-1} x[m+N] e^{-j(\frac{k-N}{2}) \frac{2\pi}{N} (m+N)} \right] \\ &= \frac{1}{2} \left[a_{(\frac{k-N}{2})} + e^{-j(k-N)\pi} a_{(\frac{k-N}{2})} \right] \end{aligned}$$

Αφού ο N είναι περιπτώς, το $(k - N)$ θα είναι περιπτώ για k άρτιο, ενώ θα είναι άρτιο για k περιπτώ. Συνεπώς

$$b_k = \begin{cases} a_{(\frac{k-N}{2})}, & k \text{ περιπτώ} \\ 0, & k \text{ άρτιο} \end{cases}$$

(β)

$$y[n] = \begin{cases} x[n], & n \text{ άρτιο} \\ 0, & n \text{ περιπτώ} \end{cases}$$

Το $y[n]$ μπορεί να γραφεί σ' αυτή τη περίπτωση ως

$$y[n] = \frac{1}{2}x[n] + \frac{1}{2}(-1)^n x[n]$$

Αρα οι ουντελεστές b_k δίνονται ως

$$b_k = \begin{cases} \frac{1}{2}a_k + \frac{1}{2}a_{(k - \frac{N}{2})}, & N \text{ άρτιο} \\ \frac{1}{2}a_k + \frac{1}{2}a_{(\frac{k-N}{2})}, & N \text{ περιπτώ, } k \text{ περιπτώ} \\ \frac{1}{2}a_k, & N \text{ περιπτώ, } k \text{ άρτιο} \end{cases}$$

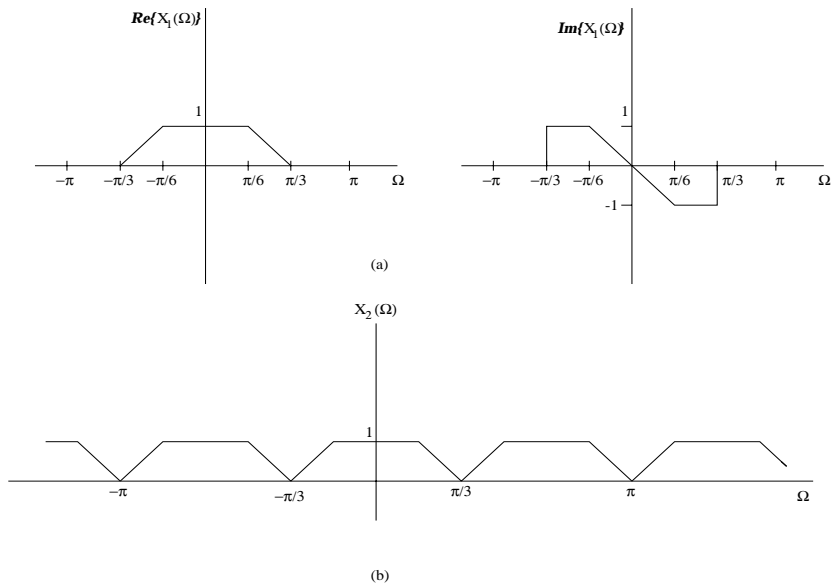
(γ)

$$y[n] = \begin{cases} x[n], & n \text{ περιπτώ} \\ 0, & n \text{ άρτιο} \end{cases}$$

$$y[n] = \frac{1}{2}x[n] - \frac{1}{2}(-1)^n x[n]$$

$$b_k = \begin{cases} \frac{1}{2}a_k - \frac{1}{2}a_{(k-\frac{N}{2})}, & N \text{ άρτιο} \\ \frac{1}{2}a_k - \frac{1}{2}a_{(\frac{k-N}{2})}, & N \text{ περιπτό, } k \text{ περιπτό} \\ \frac{1}{2}a_k, & N \text{ περιπτό, } k \text{ άρτιο} \end{cases}$$

Παράδειγμα 6.10. Εστω οίκια $x_1[n]$ του οποίου ο μεταοχηματιομός Fourier $X_1(\Omega)$ είναι όπως φαίνεται στο Σχ 6.8a. Θεωρούμε οίκια $x_2[n]$ με μεταοχηματιομό Fourier $X_2(\Omega)$ όπως φαίνεται στο Σχ 6.8b. Να εκφρασθεί το $x_2[n]$ σε σχέση με το $x_1[n]$.



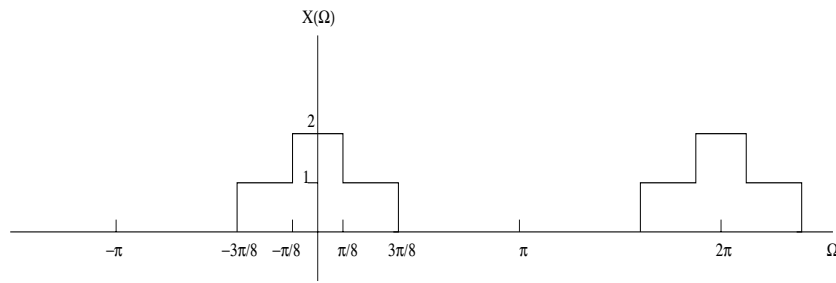
Σχήμα 6.8: Μεταοχηματιομοί Fourier δύο οικιάτων $x_1[n], x_2[n]$.

Απάντηση:

$$X_2(\Omega) = \operatorname{Re}[X_1(\Omega)] + \operatorname{Re}\left[X_1\left(\Omega - \frac{2\pi}{3}\right)\right] + \operatorname{Re}\left[X_1\left(\Omega + \frac{2\pi}{3}\right)\right]$$

$$\Rightarrow x_2[n] = \mathcal{E}v\{x_1[n]\} \left[1 + e^{j2\pi n/3} + e^{-j2\pi n/3}\right]$$

Παράδειγμα 6.11. Εστω οίκια $x[n]$ του οποίου ο μεταοχηματιομός Fourier $X(\Omega)$ είναι όπως φαίνεται στο Σχ 6.9. Να βρεθεί το $x[n]$.



Σχήμα 6.9: Μεταοχηματιομός Fourier ενός οίματος $x[n]$.

Απάντηση: Ο μεταοχηματιομός Fourier $X(\Omega)$ μπορεί να εκφρασθεί σαν άθροισμα δύο περιοδικών τετραγωνικών παλμών. Συνεπώς

$$x[n] = \frac{\sin(3\pi n/8)}{\pi n} + \frac{\sin(\pi n/8)}{\pi n}$$

Κεφάλαιο 7

Διακριτός Μετασχηματισμός Fourier

Πραγματικά περιοδικά σήματα εμφανίζονται πολύ οπάνια σε πρακτικές εφαρμογές. Μη-περιοδικά σήματα, σε κάποιο πεπερασμένο χρονικό διάστημα, εμφανίζονται πολύ πιο συχνά στη πράξη. Οπως έχουμε ήδη δει, ένα τέτοιο σήμα $x[n]$ έχει μετασχηματισμό Fourier $X(\Omega)$ που είναι συνεχής συνάρτηση στη μεταβλητή Ω . Το γεγονός αυτό κάνει δύοκολη την επεξεργασία με υπολογιστή τέτοιων σημάτων στο χώρο των συχνοτήτων. Είναι λοιπόν επιθυμητό να πάρουμε μια “διακριτή” έκφραση του μετασχηματισμού Fourier. Αυτό επιτυγχάνεται με το διακριτό μετασχηματισμό Fourier (discrete Fourier transform – DFT). Ο διακριτός μετασχηματισμός Fourier ενός σήματος $x[n]$, N ομιλείσιων ($0 \leq n \leq N - 1$), είναι μια ακολουθία $\tilde{X}[k]$, N ομιλείσιων στις συχνότητες, και δίνεται από το ζευγάρι εξισώσεων

$$\boxed{\begin{aligned} \tilde{X}[k] &= \sum_{n=0}^{N-1} x[n] e^{-jk(2\pi/N)n} , \quad k = 0, 1, \dots, N-1 && \text{εξίσωση ούνθεσης} \\ x[n] &= \frac{1}{N} \sum_{k=0}^{N-1} \tilde{X}[k] e^{jk(2\pi/N)n} && \text{εξίσωση ανάλυσης} \end{aligned}} \quad (7.1)$$

Στις παραπάνω εξισώσεις μπορούμε να καταλήξουμε εύκολα θεωρώντας μια περιοδική επέκταση $\tilde{x}[n]$ του $x[n]$. Δηλαδή, το $\tilde{x}[n]$ είναι περιοδικό με περίοδο N και μέσα σε κάθε περίοδο ισούται με το $x[n]$. Αναπτύσσοντας το $\tilde{x}[n]$ σε οειδές Fourier παίρνουμε για τους συντελεστές a_k

$$a_k = \frac{1}{N} \sum_{n=\langle N \rangle} \tilde{x}[n] e^{-jk(2\pi/N)n} \quad (7.2)$$

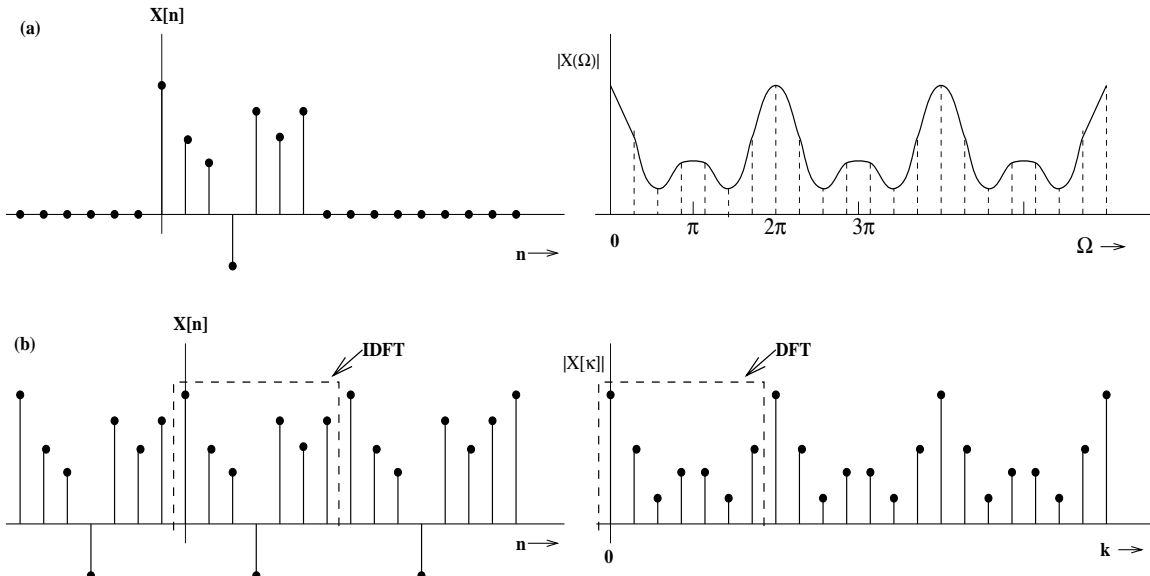
$$= \frac{1}{N} \sum_{n=0}^{N-1} x[n] e^{-jk(2\pi/N)n} \quad (7.3)$$

Στην τελευταία εξίσωση καταλήγουμε αφού το $\tilde{x}[n]$ είναι ίσο με το $x[n]$ μέσα σε μια περίοδο. Παρατηρούμε ότι οι συντελεστές Fourier του $\tilde{x}[n]$, πολλαπλασιασμένοι επί N^1 , είναι ο DFT του

¹Σημειώνεται ότι υπάρχουν διάφοροι ορισμοί του DFT στη βιβλιογραφία που διαφέρουν μεταξύ τους στο παράγοντα $\frac{1}{N}$ και ακόμη στο πρόσημο του εκθέτη. Παρόλα αυτά δεν υπάρχουν ουσιαστικές διαφορές μεταξύ αυτών των ορισμών.

$x[n]$. Ενα πολύ βασικό χαρακτηριστικό του DFT είναι ότι μετασχηματίζει ένα οήμα N οημείων στο χρόνο σε ακριβώς N τιμές στις ουχνότητες. Ετοι, το οήμα μπορεί ισοδύναμα να παρασταθεί από τις τιμές του για $0 \leq n \leq N - 1$ είτε από τις N τιμές του DFT. Αντό είναι απόρροια του θεωρήματος δειγματοληψίας στις ουχνότητες, σύμφωνα με το οποίο ένα οήμα περιορισμένης χρονικής διάρκειας T_0 secs μπορεί να παρασταθεί με δείγματα στις ουχνότητες που απέχουν μεταξύ τους το πολύ $1/T_0$ Hz. Εφ' όσον το οήμα αποτελείται από N οημεία, $T_0 = NT$, όπου T η απόσταση μεταξύ δύο δειγμάτων. Ετοι, το φάσμα μπορεί να παρασταθεί με δείγματα σε απόσταση $1/NT$ Hz ή $2\pi/NT$ rads/sec. Χρησιμοποιώντας τη οχέση $\Omega = \omega T$ παρατηρούμε ότι τα διαστήματα στο Ω είναι $2\pi/N$. Εφ' όσον το φάσμα είναι περιοδικό στο Ω , αρκεί να θεωρήσουμε τα δείγματα σε μία περίοδο, και ουνεπώς παρατηρούμε ότι χρειάζονται N δείγματα στις ουχνότητες για να παραστήσουμε το φάσμα. Ο DFT υλοποιεί ακριβώς αυτό, κάνοντας την οικονομικότερη δυνατή δειγματοληψία του $X(\Omega)$. Η δειγματοληψία αυτή φαίνεται οχηματικά στο Σχ 7.1.

Το Σχ 7.1a δείχνει ένα οήμα διακριτού χρόνου $x[n]$ και το φάσμα του $X(\Omega)$. Η περιοδική επανάληψη του οήματος $\hat{x}[n]$ μαζί με τους ουντελεστές της σειράς Fourier a_k φαίνεται στο Σχ 7.1b. Οπως φαίνεται στο οήμα, μία περίοδος των a_k είναι ο DFT του $x[n]$, ενώ ο αντίστροφος DFT (IDFT) ανακατασκευάζει μία περίοδο του $\hat{x}[n]$, δηλαδή το $x[n]$.



7.1 Γρήγορος Μετασχηματισμός Fourier (FFT)

Πρέπει κατ' αρχήν να σημειωθεί ότι δεν υπάρχει κάτι που να λέγεται “ο αλγόριθμος FFT”. Αντίθετα, υπάρχει μια οικογένεια αλγόριθμων για γρήγορη υλοποίηση του DFT. Οι περισσότεροι από αυτούς τους αλγόριθμους ανήκουν σε μια από τις δύο κατηγορίες:

- Αποδεκάτιον στο χρόνο (Decimation In Time – DIT)
- Αποδεκάτιον στη ουχνότητα (Decimation In Frequency – DIF)

Εμείς θα ασχοληθούμε μόνο με DIT αλγόριθμους.

Ο DFT “φαίνεται” να είναι πολυπλοκότητας $O(N^2)$ μιας και υλοποιεί την εξίσωση

$$\tilde{X}[k] = \sum_{n=0}^{N-1} x[n] W_N^{kn} \quad (7.4)$$

όπου

$$W_N = e^{-j2\pi/N} \quad (7.5)$$

Το άνυφμα $x[n]$ πολλαπλασιάζεται με τον πίνακα $W_N(k, n)$ του οποίου το (k, n) στοιχείο είναι ο W_N στη kn δύναμη. Αυτός ο πολλαπλασιασμός πίνακα απαιτεί N^2 πολλαπλασιασμούς (ουν κάποιες άλλες πράξεις) ήρα έχουμε πολυπλοκότητα $O(N^2)$. Θα δούμε όμως ένα τρόπο υπολογισμού του DFT σε $O(N \log_2 N)$!! [Η διαφορά μεταξύ $(N \log_2 N)$ και N^2 είναι τεράστια. Για $N = 10^6$ δίνει μια διαφορά 30sec και 2 εβδομάδων CPU χρόνο σε μια τυπική μηχανή].

Η ελάττωση στην πολυπλοκότητα οφείλεται στην παρατήρηση ότι ο DFT μήκους N μπορεί να υπολογιστεί σαν το άθροισμα δύο DFTs, κάθε ένας μήκους $N/2$. Ο ένας σχηματίζεται από τα άρτια σημεία του αρχικού N και ο άλλος από τα περιττά.

$$\begin{aligned} \tilde{X}[k] &= \sum_{n=0}^{N-1} x[n] W_N^{kn} \\ &= \sum_{n=0}^{N/2-1} x[2n] W_N^{2nk} + \sum_{n=0}^{N/2-1} x[2n+1] W_N^{(2n+1)k} \\ &= \sum_{n=0}^{N/2-1} x[2n] (W_N^2)^{kn} + W_N^k \sum_{n=0}^{N/2-1} x[2n+1] (W_N^2)^{kn} \end{aligned} \quad (7.6)$$

όπου

$$W_N^2 = e^{(-j2\pi/N)2} = e^{-j\frac{2\pi}{N/2}} = W_{N/2} \quad (7.7)$$

Άρα,

$$\begin{aligned} \tilde{X}[k] &= \sum_{n=0}^{N/2-1} x[2n] W_{N/2}^{kn} + W_N^k \sum_{n=0}^{N/2-1} x[2n+1] W_{N/2}^{kn} \\ &= X^e[k] + W_N^k X^o[k] \end{aligned} \quad (7.8)$$

Ετοι έχουμε εκφράσει τον αρχικό DFT N σημείων σαν άθροισμα δύο $N/2$ σημείων DFTs, $X^e[k]$ και $X^0[k]$. Ο $X^e[k]$ είναι ο μετασχηματισμός των άρτιων σημείων και ο $X^0[k]$ ο μετασχηματισμός των περιττών σημείων. Αυτό μπορεί να επαναληφθεί αναδρομικά: Κάθε $N/2$ μετασχηματισμός υπολογίζεται ως άθροισμα δύο $N/4$ μετασχηματισμών κ.ο.κ. Για παράδειγμα, $X^{ee}[k], X^{eo}[k]$ είναι οι DFTs των σημείων που είναι αντίστοιχα άρτια-άρτια και άρτια-περιττά.

Αν $N = 2^k$ τότε

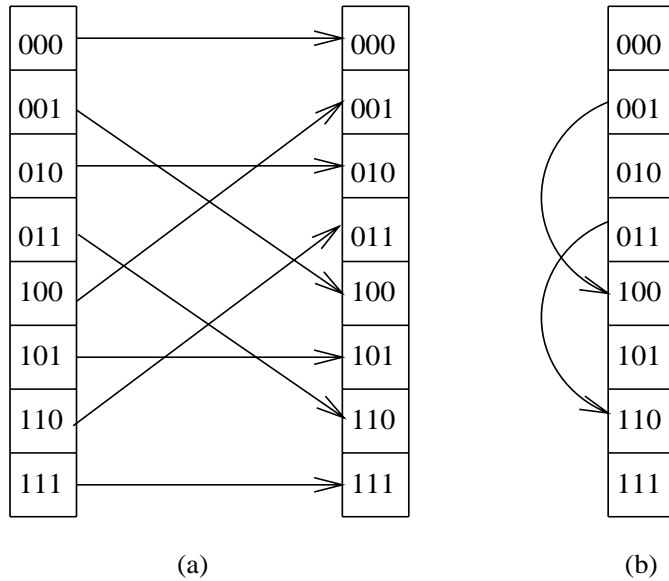
$$X^{eoee\cdots ee}[k] = x[n] \text{ για κάποιο } n$$

Το κόλπο είναι να βρούμε ποια τιμή του n αντιστοιχεί σε ποιο συνδυασμό ε και ο. Αυτό γίνεται με μια μέθοδο που λέγεται “αντιστροφή-bit” (bit reversal).

Αλγόριθμος bit-reversal

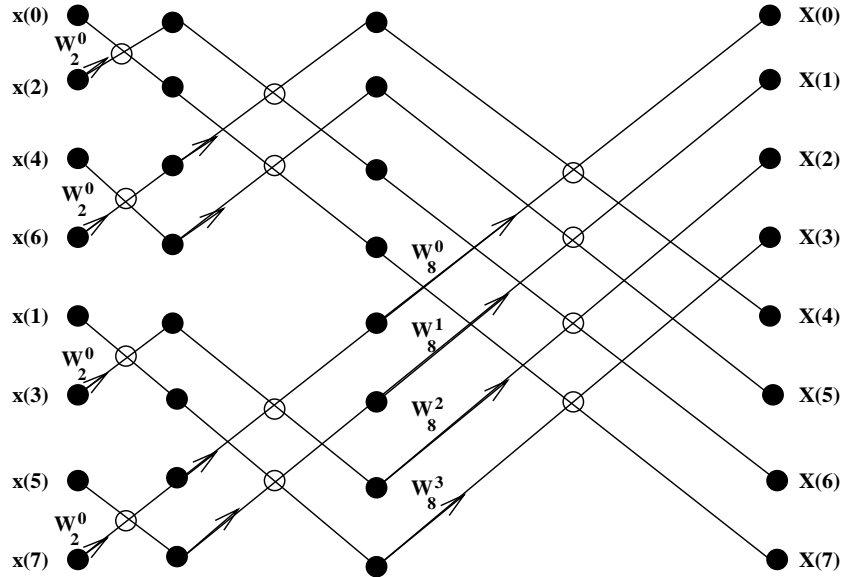
1. Αντέστρεψε τα ε και ο
2. Βάλε όπου $e = 0$ και όπου $o = 1$
3. ο δυαδικός που προκύπτει είναι ο n

Αυτό φαίνεται στο Σχ 7.2 για ένα πίνακα μήκους 8.



Σχήμα 7.2: Αναδιάταξη ενός πίνακα μήκους 8 με αντιστροφή-bit (a) με τη χρήση ενός δεύτερου πίνακα, (β) επί τόπου (in place).

Οπότε, ο FFT έχει δύο κύρια κομμάτια. Στο πρώτο γίνεται η αντιστροφή bit και στο δεύτερο υπάρχει ένα loop που γίνεται $\log_2 N$ φορές και υπολογίζονται στη σειρά μετασχηματισμοί $2, 4, 8, \dots, N$. Η δομή του δεύτερου κομματιού για ένα σήμα μήκους $N = 8$ φαίνεται στο Σχ 7.3.



Σχήμα 7.3: Δομή του DIT FFT μήκους 8.

Στα Σx 7.4,7.5 φαίνεται οχηματικά πως ο FFT μήκους 8 υπολογίζεται ως δύο DFT μήκους 4 και στη συνέχεια ο καθένας ως δύο DFT μήκους 2.

Στο Σx 7.6 δίνεται μια υλοποίηση σε \mathbf{C} του παραπάνω αλγόριθμου.

Παράδειγμα 7.1. Στο παράδειγμα αντό θα μελετήσουμε τον DIT FFT ος οίμια $x[n]$ μήκους 8.

$$\begin{aligned}\tilde{X} &= \tilde{X}^e + W_8^k \tilde{X}^o \\ &= \tilde{X}^{ee} + W_8^{2k} \tilde{X}^{eo} + W_8^k (\tilde{X}^{oe} + W_8^{2k} \tilde{X}^{oo}) \\ &= \tilde{X}^{eee} + W_8^{4k} \tilde{X}^{eeo} + W_8^{2k} (\tilde{X}^{eoe} + W_8^{4k} \tilde{X}^{eo}) + \\ &\quad + W_8^k [\tilde{X}^{oee} + W_8^{4k} \tilde{X}^{oeo} + W_8^{2k} (\tilde{X}^{ooe} + W_8^{4k} \tilde{X}^{ooo})] \Rightarrow\end{aligned}$$

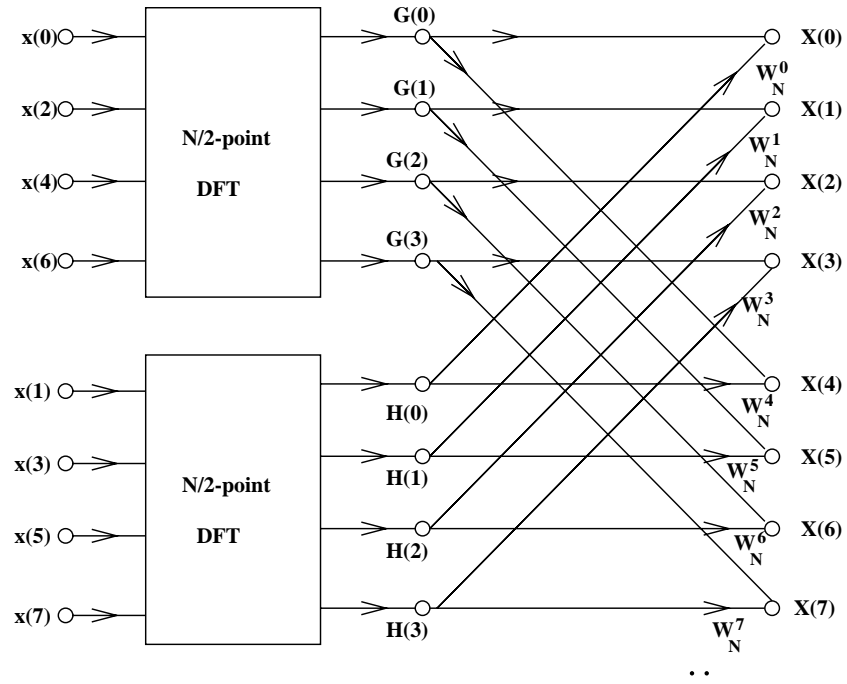
$$\begin{aligned}\tilde{X}[k] &= x[0] + W_8^{4k} x[4] + W_8^{2k} (x[2] + W_8^{4k} x[6]) + \\ &\quad + W_8^k [x[1] + W_8^{4k} x[5] + W_8^{2k} (x[3] + W_8^{4k} x[7])]\end{aligned}$$

όπου

$$W_8^k = e^{-\frac{j2\pi}{8}k}$$

$$W_8^{2k} = e^{-\frac{j2\pi}{8}2k} = e^{-\frac{j2\pi}{8/2}k} = e^{-\frac{j2\pi}{4}k} = W_4^k$$

$$W_8^{4k} = e^{-\frac{j2\pi}{8}4k} = e^{-\frac{j2\pi}{8/4}k} = e^{-\frac{j2\pi}{2}k} = W_2^k$$



Σχήμα 7.4: Υπολογισμός των FFT μήκους 8 ως δύο DFT μήκους 4 ο καθένας.

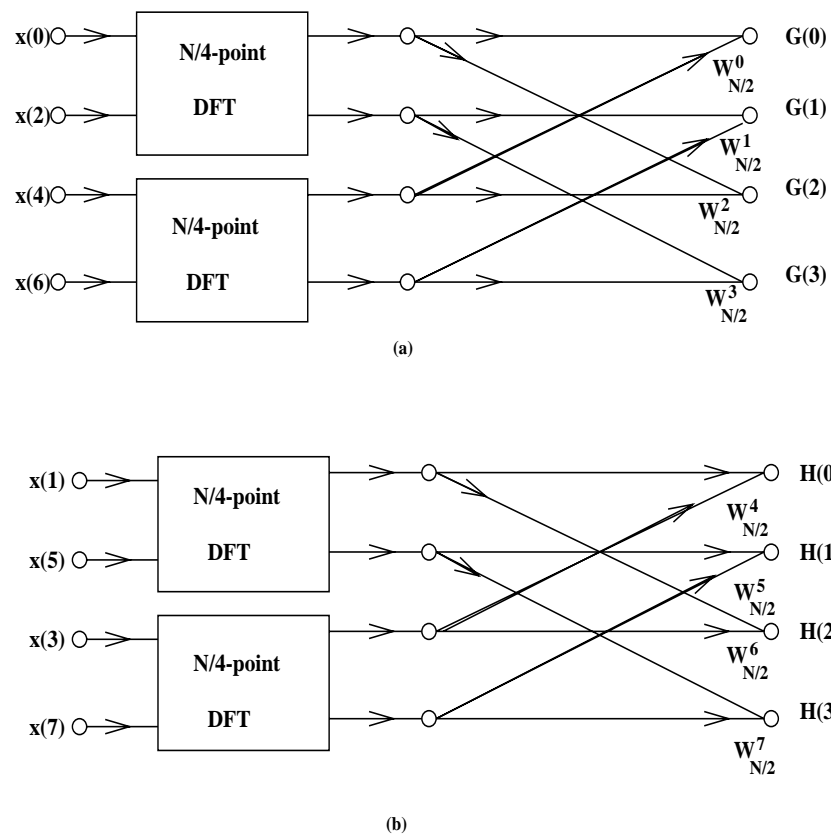
7.2 FFT σε δύο Διαστάσεις

Σε δύο διαστάσεις, ο DFT ορίζεται ως

$$H(n_1, n_2) = \sum_{k_2=0}^{N_2-1} \sum_{k_1=0}^{N_1-1} e^{-2\pi j k_2 n_2 / N_2} e^{-2\pi j k_1 n_1 / N_1} h(k_1, k_2) \quad (7.9)$$

Παρατηρούμε ότι οι δείκτες k_2 μπορούν να βγουν έξω από το άθροισμα ως προς k_1 ή αντίθετα, οπότε ο 2-διάστατος DFT μπορεί να υπολογιστεί παίρνοντας μονοδιάστατους FFT των ένα μετά τον άλλο σε κάθε δείκτη:

$$\begin{aligned} H(n_1, n_2) &= FFT-on-index - 1 (FFT-on-index - 2[h(k_1, k_2)]) \\ &= FFT-on-index - 2 (FFT-on-index - 1[h(k_1, k_2)]) \end{aligned}$$



Σχήμα 7.5: Υπολογισμός των FFT μήκους 4 ως δύο DFT μήκους 2 ο καθένας.

```

fft(data, nn, isign)
double data[];
unsigned long nn;
int isign;

{
    unsigned long n,mmax,m,j,istep,i;
    double wtemp,wr,wpr,wpi,wi,theta;
    double tempr,tempi;

    n=nn << 1;
    j=1;
    for (i=1; i<n; i+=2) {
        if (j > i) {
            SWAP (data[j-1],data[i-1]);
            SWAP (data[j],data[i]);
        }
        m=n >> 1;
        while (m >= 2 && j > m) {
            j -= m;
            m >>= 1;
        }
        j += m;
    }
    /* Here begins the Danielson-Lanczos section of the routine. */
    mmax = 2;
    while (n > mmax) {
        istep = mmax << 1;
        theta = isign*(6.28318530717959/mmax);
        wtemp = sin(0.5*theta);
        wpr = -2.0*wtemp*wtemp;
        wpi = sin(theta);
        wr = 1.0;
        wi = 0.0;
        for (m=1; m<mmax; m+=2) {
            for (i=m; i<=n; i+=istep) {
                j=i+mmax;
                tempr=wr*data[j-1]-wi*data[j];
                tempi=wr*data[j]+wi*data[j-1];
                data[j-1]=data[i-1]-tempr;
                data[j]=data[i]-tempi;
                data[i-1] += tempr;
                data[i] += tempi;
            }
            wr=(wtemp=wr)*wpr-wi*wpi+wr;
            wi=wi*wpr+wtemp*wpi+wi;
        }
        mmax=istep;
    }
}

```

Σχήμα 7.6: Υλοποίηση σε C του DIT FFT.

Κεφάλαιο 8

Μετασχηματισμός Laplace

Η ανάλυση Fourier είναι πολύ χρήσιμη για μελέτη οικαδών και LTI συστημάτων. Υπάρχουν όμως οικαδά που δεν έχουν μετασχηματισμό Fourier, όπως για παράδειγμα τα

$$\begin{aligned} e^{at}u(t), \quad a > 0, \quad -\infty < t < +\infty \\ e^{-at}, \quad -\infty < t < +\infty \\ tu(t) \end{aligned}$$

Η δυοκολία αυτή ξεπερνιέται με την επέκταση του μετασχηματισμού Fourier έτοι ώστε να εκφράζουμε το $x(t)$ σαν άθροισμα e^{st} , $s = \sigma + j\omega$ (ισοδύναμο με το να πολλαπλασιάζουμε το οικαδά με ένα εκθετικό παράγοντα “ονόγκλισης”), αντί να πολλαπλασιάζουμε με $e^{j\omega t}$. Για παράδειγμα το

$$e^{-\sigma t}e^{at}u(t)$$

ικανοποιεί τις ουνθήκες Dirichlet για $\sigma > a$ και θα πρέπει να έχει ένα “γενικευμένο” μετασχηματισμό Fourier (ο οποίος φέρει το όνομα “μετασχηματισμός Laplace”).

8.1 Δίπλευρος Μετασχηματισμός Laplace

Ο δίπλευρος μετασχηματισμός Laplace (bilateral Laplace transform) ορίζεται ως

$$X_B(s) = \int_{-\infty}^{+\infty} x(t)e^{-st}dt \quad (8.1)$$

όπου $s = \sigma + j\omega$. Αν $\sigma = 0, s = j\omega$ και συνεπώς ο μετασχηματισμός Laplace ταυτίζεται με το μετασχηματισμό Fourier. Για $\sigma \neq 0$ ο μετασχηματισμός Laplace είναι ο μετασχηματισμός Fourier του $x(t)e^{-\sigma t}$. Ο συμβόλιομός που θα χρησιμοποιούμε για το δίπλευρο μετασχηματισμό Laplace ενός οικαδά $x(t)$ είναι ο $\mathcal{L}_B\{x(t)\}$. Επίοτες, η αντιστοιχία ενός οικαδά και του μετασχηματισμού του θα εκφράζεται με το γνωστό συμβόλιο

$$x(t) \leftrightarrow X_B(s)$$

Παράδειγμα 8.1. Ζητείται να βρεθεί ο διπλευρος μεταοχηματισμός Laplace του $x(t) = e^{-at}u(t)$.

Απάντηση:

$$X_B(s) = \int_{-\infty}^{+\infty} e^{-at} e^{-st} u(t) dt = \int_0^{+\infty} e^{-(s+a)t} dt = \frac{1}{s+a}$$

Εχουμε ήδη δει ότι ο διπλευρος μεταοχηματισμός Laplace του $x(t) = e^{-at}u(t)$ είναι ο μεταοχηματισμός Fourier του $e^{-at}e^{-\sigma t}u(t)$. Ο τελευταίος υπάρχει αν $\sigma > -a$. Συνεπώς, ο $X_B(s)$ υπάρχει μόνο για $\Re\{s\} > -a$. Για $a = 0$, $x(t) = u(t)$ και $X_B(s) = \frac{1}{s}$, $\Re\{s\} > 0$. ■

Στη γενική περίπτωση ο διπλευρος μεταοχηματισμός Laplace συγκλίνει για κάποιες τιμές του $\Re\{s\}$. Οι τιμές αντές ορίζονται μια “περιοχή σύγκλισης” (Region Of Convergence) ROC. Στην περίπτωση που

$$X_B(s) = \frac{N(s)}{D(s)} \quad (8.2)$$

ο $X_B(s)$ δεν συγκλίνει στις ρίζες του $D(s)$ και συνεπώς οι πόλοι του $X_B(s)$ αποκλείονται από το ROC.

Παράδειγμα 8.2. Εστω

$$x(t) = -e^{-at}u(-t)$$

Τότε

$$\begin{aligned} X_B(s) &= - \int_{-\infty}^{+\infty} e^{-(s+a)t} u(-t) dt = \int_{-\infty}^0 e^{-(s+a)t} dt \\ &= \frac{1}{s+a} \end{aligned}$$

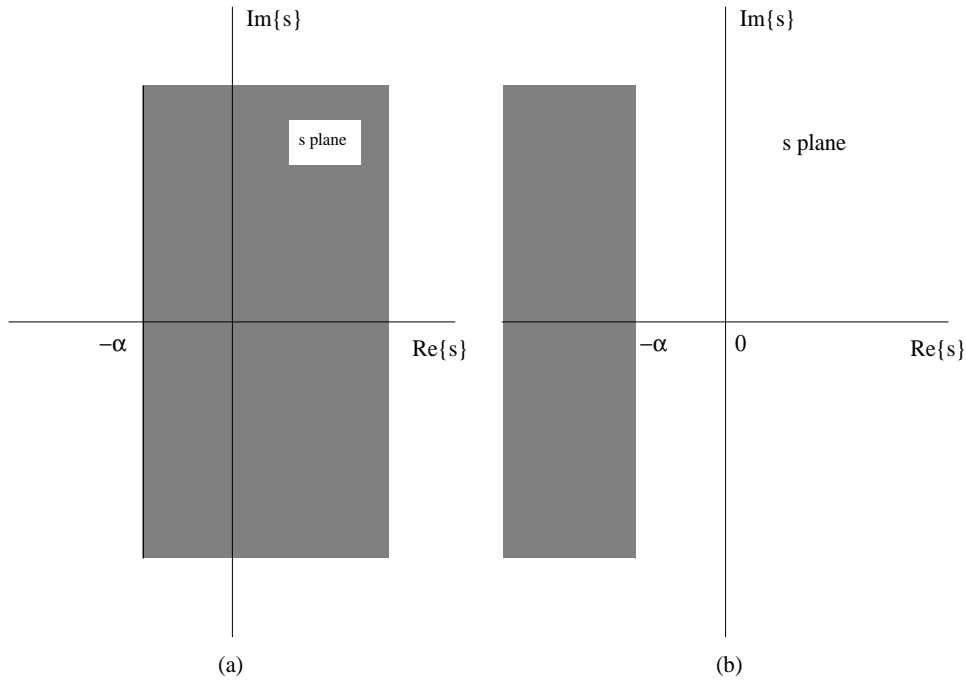
Για να υπολογίσουμε το ROC παρατηρούμε ότι πρέπει $\Re\{s + a\} < 0$ ή $\Re\{s\} < -a$. ■

Τα δύο προηγούμενα παραδείγματα δείχνουν ίδια αναλυτική έκφραση του $X_B(s)$ (για δύο διαφορετικά σήματα) αλλά διαφορετικά ROCs. Αρα για να καθοριστεί πλήρως ο διπλευρος μεταοχηματισμός Laplace απαιτείται η αναλυτική του έκφραση και το ROC.

Το ROC είναι πάντα μια περιοχή στο φανταστικό χώρο s . Ο τρόπος παράστασής του που ακολουθείται είναι με τη γραμμοοκίαση της αντίστοιχης περιοχής όπως απεικονίζεται στο Σχ 8.1.

Παράδειγμα 8.3. Εστω σήμα $x(t)$ που δίνεται ως άθροισμα 2 εκθετικών συναρτήσεων

$$x(t) = 3e^{-2t}u(t) + 4e^tu(-t)$$



Σχήμα 8.1: Παράσταση των ROC για το διπλευρό μετασχηματισμό Laplace.

Ο διπλευρος μετασχηματισμός Laplace του $x(t)$ δίνεται ως

$$X_B(s) = \int_0^{+\infty} 3e^{-(s+2)t} dt + \int_{-\infty}^0 4e^{-(s-1)t} dt$$

Το πρώτο ολοκλήρωμα συγκλίνει για $\text{Re}\{s\} > -2$ και το δεύτερο για $\text{Re}\{s\} < 1$. Οπότε

$$X_B(s) = \frac{3}{s+2} - \frac{4}{s-1} = \frac{-s-11}{(s+2)(s-1)} , \quad -2 < \text{Re}\{s\} < 1$$

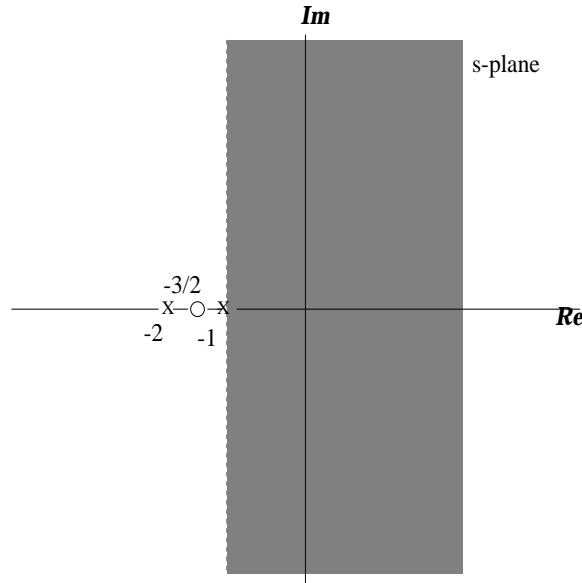
■

Για $X_B(s) = \frac{N(s)}{D(s)}$ είναι βολτικό να χαρακτηρίζουμε το $X_B(s)$ με τις τιμές του s στις οποίες μηδενίζεται (θα τις ονομάζουμε “μηδέν”), τις τιμές του s στις οποίες μηδενίζεται ο παρονομαστής (θα τις ονομάζουμε “πόλονς”), καθώς και το ROC. Αυτό λέγεται pole-zero plot. Το pole-zero plot μαζί με το ROC χαρακτηρίζει τελείως το $X_B(s)$ εκτός από ένα συντελεστή κλίμακας.

Παράδειγμα 8.4. Στο παράδειγμα αυτό μελετούμε ένα απλό σήμα για να παρουσιάσουμε το pole-zero plot.

$$\begin{aligned} x(t) &= e^{-t}u(t) + e^{-2t}u(t) \leftrightarrow X_B(s) = \frac{1}{s+1} + \frac{1}{s+2} , \quad \text{Re}\{s\} > -1 \\ \Rightarrow X_B(s) &= \frac{2s+3}{s^2+3s+2} , \quad \text{Re}\{s\} > -1 \end{aligned}$$

To pole-zero plot φαίνεται στο Σχ 8.2.



Σχήμα 8.2: Pole-zero plot για το παράδειγμα 8.4. “Ο” υποδηλώνουν τα μηδέν ενώ “X” υποδηλώνουν τους πόλους. Η γραμμοκιασμένη περιοχή υποδηλώνει το ROC.

Παράδειγμα 8.5. (Οπως και στο προηγούμενο παράδειγμα).

$$x(t) = \delta(t) - \frac{4}{3}e^{-t}u(t) + \frac{1}{3}e^{2t}u(t) \leftrightarrow X_B(s) = 1 - \frac{4}{3}\frac{1}{s+1} + \frac{1}{3}\frac{1}{s-2}, \quad \Re\{s\} > 2$$

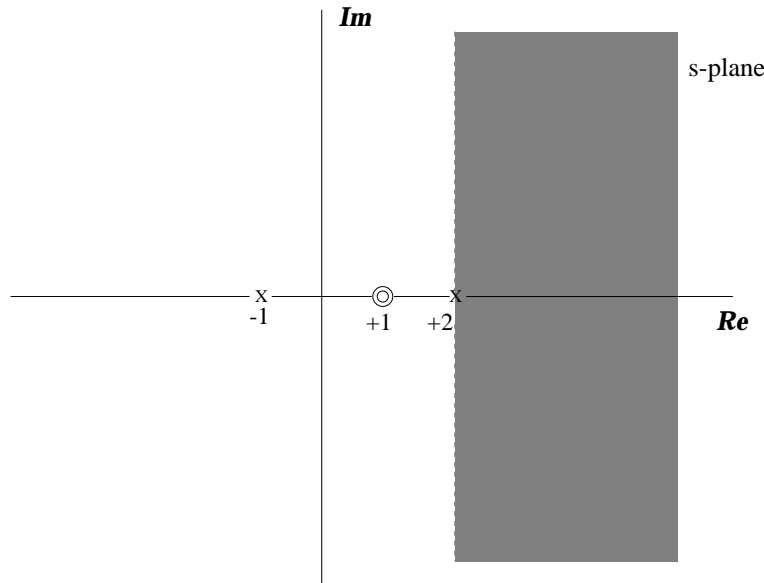
$$\Rightarrow X_B(s) = \frac{(s-1)^2}{(s+1)(s-2)}, \quad \Re\{s\} > 2$$

To pole-zero plot φαίνεται στο Σχ 8.3.

8.2 ROC Μετασχηματισμού Laplace

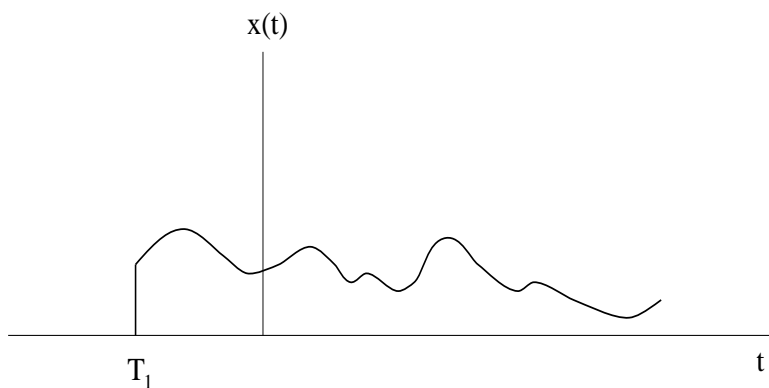
Το ROC δεν μπορεί να είναι μια οποιαδήποτε περιοχή στον s-χώρο, αλλά υπακούει σε οριομένες ιδιότητες οι οποίες συνοψίζονται στην αντίτιτη παράγραφο:

1. Το ROC αποτελείται από “ζώνες” παράλληλες στον $j\omega$ άξονα στον s-χώρο. (Το ROC αποτελείται από εκείνες τις τιμές που ο μετασχηματισμός Fourier του $x(t)e^{-\sigma t}$ συγκλίνει και άρα εξαρτάται μόνο από το πραγματικό μέρος του s).
2. Για $X_B(s) = \frac{N(s)}{D(s)}$, το ROC δεν περιέχει πόλους.



Σχήμα 8.3: Pole-zero plot για το παράδειγμα 8.5.

3. Αν $x(t)$ πεπερασμένο στο χρόνο και το ROC περιέχει τουλάχιστο 1 τιμή, τότε το ROC θα είναι όλος ο s-χώρος.
 4. Αν $x(t)$ δεξιόπλευρο (right-sided) και $\Re\{s\} = \sigma_0 \in ROC \Rightarrow$ όλα τα $s : \Re\{s\} > \sigma_0$ ανήκουν στο ROC.
- Στο Σχ 8.4 φαίνεται ένα δεξιόπλευρο σήμα. Σε αναφορά με αυτό το σήμα έχουμε



Σχήμα 8.4: Ένα δεξιόπλευρο σήμα.

$$\int_{-\infty}^{+\infty} |x(t)| e^{-\sigma_0 t} dt < \infty \quad (8.3)$$

$$\Rightarrow \int_{T_1}^{+\infty} |x(t)| e^{-\sigma_0 t} dt < \infty \quad (8.4)$$

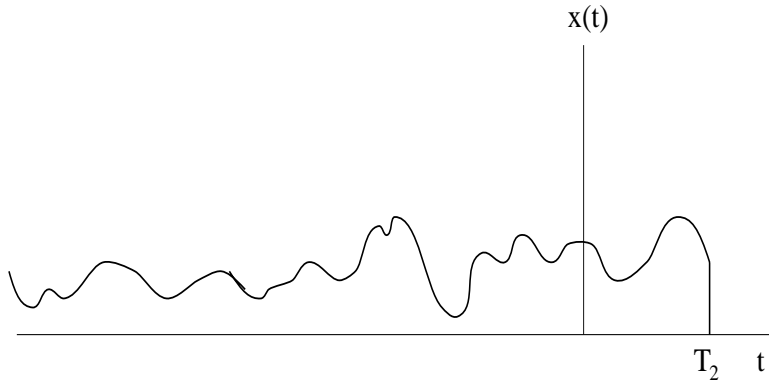
Για $\sigma_1 > \sigma_0$

$$\begin{aligned} \int_{T_1}^{+\infty} |x(t)| e^{-\sigma_1 t} dt &= \int_{T_1}^{+\infty} |x(t)| e^{-\sigma_0 t} e^{-(\sigma_1 - \sigma_0)t} dt \\ &\leq e^{-(\sigma_1 - \sigma_0)T_1} \int_{T_1}^{+\infty} |x(t)| e^{-\sigma_0 t} dt \leq \infty \end{aligned} \quad (8.5)$$

αφού το $e^{-(\sigma_1 - \sigma_0)T_1}$ είναι σταθερό και το $\int_{T_1}^{+\infty} |x(t)| e^{-\sigma_0 t} dt < \infty$

Αυτό που μας λένε διαισθητικά οι παραπάνω εξιώσεις είναι ότι αφού το $e^{-\sigma_1 t}$ φθίνει πιο γρήγορα από το $e^{-\sigma_0 t}$ και το ολοκλήρωμα με το $e^{-\sigma_0 t}$ συγκλίνει, άρα και το ολοκλήρωμα με το $e^{-\sigma_1 t}$ θα συγκλίνει.

5. Αν $x(t)$ αριστερόπλευρο (left-sided) (βλέπε Σχ 8.5) και $\Re\{s\} = \sigma_0 \in ROC \Rightarrow$ όλα τα $s : \Re\{s\} < \sigma_0$ ανήκουν στο ROC (Η απόδειξη είναι παρόμοια με πριν).



Σχήμα 8.5: Ενα αριστερόπλευρο σήμα.

6. Αν $x(t)$ διπλευρο (two-sided) και $\Re\{s\} = \sigma_0 \in ROC$ τότε το ROC είναι μια ζώνη στον s-χώρο που περιέχει τη γραμμή $\Re\{s\} = \sigma_0$ (βλέπε Σχ 8.6).

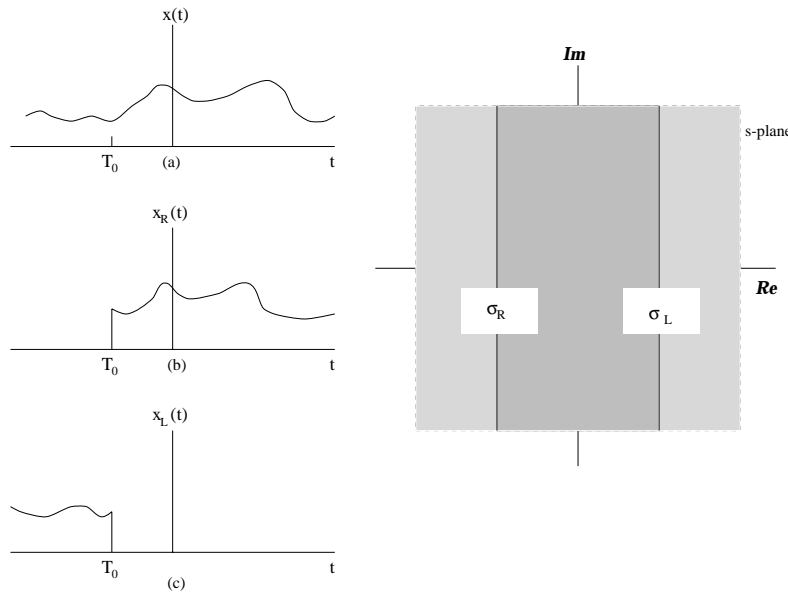
Παράδειγμα 8.6. Εστω το σήμα

$$x(t) = \begin{cases} e^{-at}, & 0 < t < T \\ 0, & \text{διαφορετικά} \end{cases}$$

Είναι

$$X_B(s) = \int_0^T e^{-at} e^{-st} dt = \frac{1}{s+a} [1 - e^{-(s+a)T}]$$

Οπως έχουμε ήδη δει, όταν το $x(t)$ είναι πεπερασμένο στο χρόνο τότε το ROC είναι όλος ο s-χώρος. Ομως, στο παράδειγμα αυτό φαίνεται καθαρά ότι υπάρχει πόλος στο $s = -a$ γεγονός που αντικρούεται με την παραπήρηση ιδιότητα αυτή. Εξετάζοντας όμως καλύτερα τη παραπάνω



Σχήμα 8.6: Αριστερά: Ενα διπλευρο σήμα χωρισμένο ως το άθροισμα ενός αριστερόπλευρου και ενός δεξιόπλευρου. Δεξιά: ROC's των δύο (υπο)σημάτων και η κοινή περιοχή όπου αυτά επικαλύπτονται.

οχέοι για το $X_B(s)$ παρατηρούμε ότι υπάρχει και μηδέν στο $s = -a$. Οπότε, χρησιμοποιώντας το κανόνα του L'Hopital

$$\lim_{s \rightarrow -a} X_B(s) = \lim_{s \rightarrow -a} \left[\frac{\frac{d}{ds}(1 - e^{-(s+a)T})}{\frac{d}{ds}(s + a)} \right] = \lim_{s \rightarrow -a} T e^{-aT} e^{-sT} = T$$

Από την παραπάνω οχέοι προκύπτει ότι το $x(t)$ δεν έχει πόλονς. Ο πόλος στο $s = -a$ εξινδετερώνεται από το μηδέν στο ίδιο σημείο. Το $x(t)$ έχει μηδέν στα σημεία όπου

$$1 - e^{-(s+a)T} = 0$$

ή το δύναμα

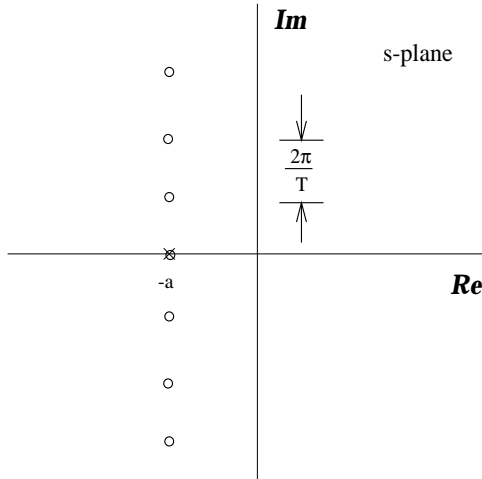
$$e^{-(s+a)T} = 1 = e^{-j2\pi k}, \quad k \text{ ακέραιος} \Rightarrow$$

$$(s + a)T = j2\pi k \Rightarrow$$

$$s = -a + j\frac{2\pi k}{T}, \quad k = 0, \pm 1, \pm 2, \dots$$

(βλέπε Σχ 8.7).

Παράδειγμα 8.7. Εστω το σήμα $x(t) = e^{-b|t|}$ που απεικονίζεται γραφικά στο Σχ 8.8.



Σχήμα 8.7: Pole-zero plot για το παράδειγμα 8.6. Οπως φαίνεται, ο πόλος στο $s = -a$ εξισυνδέτερθενται από το μηδέν στο οημείο αυτό.

$$e^{-bt}u(t) \xleftrightarrow{\mathcal{L}} \frac{1}{s+b}, \quad \Re\{s\} > -b$$

$$e^{+bt}u(-t) \xleftrightarrow{\mathcal{L}} \frac{-1}{s-b}, \quad \Re\{s\} < +b$$

$a : b < 0, ROC = \emptyset$ (δεν υπάρχει κοινή περιοχή σύγκλισης)

$b : b > 0, ROC = \{-b < \Re\{s\} < +b\}$

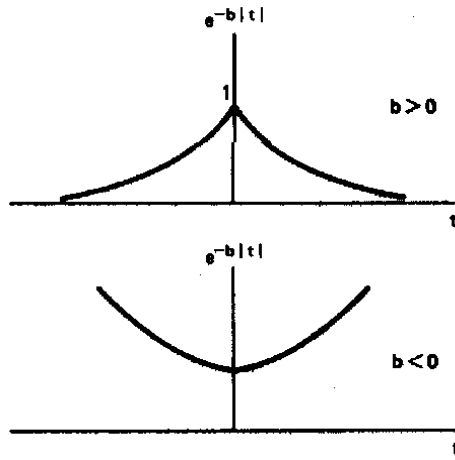
$$e^{-b|t|} \xleftrightarrow{\mathcal{L}} \frac{1}{s+b} - \frac{1}{s-b} = \frac{2b}{s^2 - b^2}, \quad -b < \Re\{s\} < +b$$

To pole-zero plot φαίνεται στο Σχ 8.9. ■

Συνοψίζοντας, κάθε σήμα $x(t)$ ή δεν έχει μετασχηματισμό Laplace ή το ROC του μετασχηματισμού του είναι ένα από τα παρακάτω:

- όλος ο s-χώρος.
- ένας αριστερός ημιχώρος.
- ένας δεξιός ημιχώρος.
- μια ζώνη στον s-χώρο.

Στον παρακάτω πίνακα 8.1 παρατίθενται οι διπλευροί μετασχηματισμοί Laplace ορισμένων βασικών οημάτων.



Σχήμα 8.8: Σήμα $x(t) = e^{-b|t|}$ για $b > 0$ και $b < 0$.

8.3 Μονόπλευρος Μετασχηματισμός Laplace

Στην πράξη όλα τα σήματα είναι αιτιατά (causal), δηλαδή “ξεκινούν” κάποια συγκεκριμένη χρονική στιγμή (συνήθως $t = 0$). Επιπλέον, αν περιοριστούμε σε αιτιατά σήματα εισόδου και ουσιώδημα, τότε και οι έξοδοι που παίρνουμε είναι αιτιατοί. Ο διπλευρος μετασχηματισμός Laplace ενός αιτιατού σήματος λέγεται μονόπλευρος μετασχηματισμός Laplace (unilateral Laplace transform):

$$X_U(s) = \int_{0^-}^{+\infty} x(t)e^{-st}dt \quad (8.6)$$

Οριομένες φορές, αντί για το 0^- ως κάτω όριο στο ολοκλήρωμα χρησιμοποιείται το 0^+ ή το 0. Εντούτοις, όλα αυτά είναι ισοδύναμα αν η συνάρτηση $x(t)$ δεν είναι “ιδιάζουσα” στο 0.

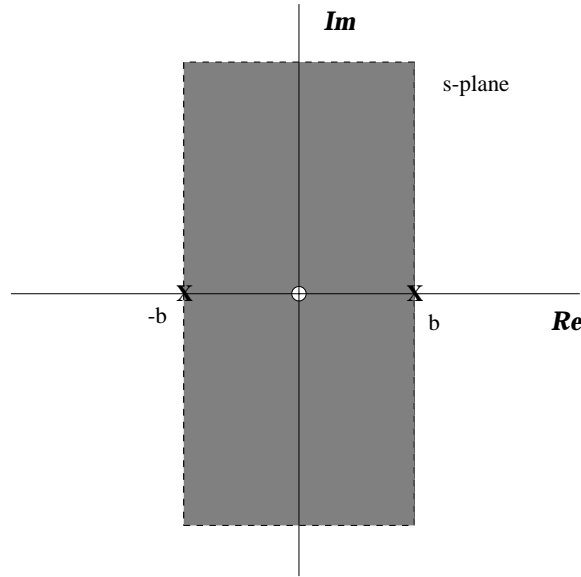
Ενώ στο διπλευρο μετασχηματισμό Laplace η αντιστοιχία μεταξύ $x(t)$ και $X_B(s)$ δεν είναι μονοσήμαντη παρά μόνο αν ορίσουμε το ROC, αυτό δεν ισχύει στο μονόπλευρο. Στο μονόπλευρο μετασχηματισμό Laplace, για κάθε $X_U(s)$ υπάρχει μόνο ένα $x(t)$.

Παράδειγμα 8.8. π.χ. (Soliman ex.5.3.1, p.233) Εστω $x_1(t) = A$, $x_2(t) = \delta(t)$, $x_3(t) = e^{j2t}$, $x_4(t) = \cos 2t$, $x_5(t) = \sin 2t$. Ζητείται να υπολογιστούν οι μονόπλευροι μετασχηματισμοί Laplace αυτών των σημάτων.

Απάντηση:

$$X_{U_1}(s) = \int_{0^-}^{+\infty} A e^{-st} dt = \frac{A}{s}, \quad \Re\{s\} > 0$$

$$X_{U_2}(s) = \int_{0^-}^{+\infty} \delta(t) e^{-st} dt = 1, \quad \forall s$$



Σχήμα 8.9: Pole-zero plot και ROC του παραδείγματος 8.7.

$$X_{U_3}(s) = \int_{0-}^{+\infty} e^{j2t} e^{-st} dt = \frac{1}{s - j2} = \frac{s}{s^2 + 4} + j \frac{2}{s^2 + 4}, \quad \Re\{s\} > 0$$

$$\cos 2t = \Re\{e^{j2t}\} \Rightarrow X_{U_4}(s) = \Re\left\{\frac{1}{s - j2}\right\} = \frac{s}{s^2 + 4}, \quad \Re\{s\} > 0$$

$$\sin 2t = \Im\{e^{j2t}\} \Rightarrow X_{U_5}(s) = \Im\left\{\frac{1}{s - j2}\right\} = \frac{2}{s^2 + 4}, \quad \Re\{s\} > 0$$

■

Στον παρακάτω πίνακα 8.2 φαίνονται οι μονόπλευροι μετασχηματισμοί Laplace οριομένων βασικών σημάτων.

8.3.1 Δίπλευρος Μετασχηματισμός Laplace με Χρήση του Μονόπλευρου Μετασχηματισμού Laplace

Ο δίπλευρος μετασχηματισμός μπορεί να υπολογιστεί με χρήση των μονόπλευρων αν εκφράσουμε το $x(t)$ σαν άθροισμα δύο σημάτων

$$x(t) = x_+(t)u(t) + x_-(t)u(-t) \quad (8.7)$$

Πίνακας 8.1: Διπλευροί Μετασχηματισμοί Laplace Βασικών Σημάτων

Transform pair	Signal	Transform	ROC
1.	$\delta(t)$	1	All s
2.	$u(t)$	$\frac{1}{s}$	$\Re e\{s\} > 0$
3.	$-u(-t)$	$\frac{1}{s}$	$\Re e\{s\} < 0$
4.	$\frac{t^{n-1}}{(n-1)!}u(t)$	$\frac{1}{s^n}$	$\Re e\{s\} > 0$
5.	$-\frac{t^{n-1}}{(n-1)!}u(-t)$	$\frac{1}{s^n}$	$\Re e\{s\} < 0$
6.	$e^{-\alpha t}u(t)$	$\frac{1}{s+\alpha}$	$\Re e\{s\} > -\alpha$
7.	$-e^{-\alpha t}u(-t)$	$\frac{1}{s+\alpha}$	$\Re e\{s\} < -\alpha$
8.	$\frac{t^{n-1}}{(n-1)!}e^{-\alpha t}u(t)$	$\frac{1}{(s+\alpha)^n}$	$\Re e\{s\} > -\alpha$
9.	$-\frac{t^{n-1}}{(n-1)!}e^{-\alpha t}u(-t)$	$\frac{1}{(s+\alpha)^n}$	$\Re e\{s\} < -\alpha$
10.	$\delta(t-T)$	e^{-sT}	All s
11.	$[\cos \omega_0 t]u(t)$	$\frac{s}{s^2 + \omega_0^2}$	$\Re e\{s\} > 0$
12.	$[\sin \omega_0 t]u(t)$	$\frac{\omega_0}{s^2 + \omega_0^2}$	$\Re e\{s\} > 0$
13.	$[e^{-\alpha t} \cos \omega_0 t]u(t)$	$\frac{s + \alpha}{(s + \alpha)^2 + \omega_0^2}$	$\Re e\{s\} > -\alpha$
14.	$[e^{-\alpha t} \sin \omega_0 t]u(t)$	$\frac{\omega_0}{(s + \alpha)^2 + \omega_0^2}$	$\Re e\{s\} > -\alpha$

Παίρνοντας διπλευρού μετασχηματισμό και από τα δύο μέρη

$$X_B(s) = X_{U+}(s) + \int_{-\infty}^{0^-} x_-(t)e^{-st}dt \quad (8.8)$$

και κάνοντας την αντικατάσταση μεταβλητής $t = -\tau$

$$\begin{aligned} X_B(s) &= X_{U+}(s) + \int_{0^+}^{\infty} x_-(-\tau)e^{s\tau}d\tau \\ &= X_{U+}(s) + \mathcal{L}\{x_-(t)u(t)\}_{s \rightarrow -s} \end{aligned} \quad (8.9)$$

Σημειώνεται ότι αν $x_-(t)u(t)$ έχει ως ROC το $\Re e\{s\} > \sigma$, τότε το $x_-(t)u(-t)$ έχει ως ROC το $\Re e\{s\} < -\sigma$.

Πίνακας 8.2: Μονόπλευροι Μετασχηματισμοί Laplace Βασικών Σημάτων

Signal	Transform	ROC
1. $u(t)$	$\frac{1}{s}$	$\Re\{s\} > 0$
2. $u(t) - u(t-a)$	$\frac{1 - e^{-as}}{s}$	$\Re\{s\} > 0$
3. $\delta(t)$	1	All s
4. $\delta(t-a)$	e^{-as}	All s
5. $t^n u(t)$	$\frac{n!}{s^{n+1}}, \quad n = 1, 2, \dots$	$\Re\{s\} > 0$
6. $\exp[-at]u(t)$	$\frac{1}{s+a}$	$\Re\{s\} > -a$
7. $t^n \exp[-at]u(t)$	$\frac{n!}{(s+a)^{n+1}}$	$\Re\{s\} > -a$
8. $\cos \omega t u(t)$	$\frac{s}{s^2 + \omega^2}$	$\Re\{s\} > 0$
9. $\sin \omega t u(t)$	$\frac{\omega}{s^2 + \omega^2}$	$\Re\{s\} > 0$
10. $\cos^2 \omega t u(t)$	$\frac{s^2 + 2\omega^2}{s(s^2 + 4\omega^2)}$	$\Re\{s\} > 0$
11. $\sin^2 \omega t u(t)$	$\frac{2\omega^2}{s(s^2 + 4\omega^2)}$	$\Re\{s\} > 0$
12. $\exp[-at] \cos \omega t u(t)$	$\frac{s+a}{(s+a)^2 + \omega^2}$	$\Re\{s\} > 0$
13. $\exp[-at] \sin \omega t u(t)$	$\frac{\omega}{(s+a)^2 + \omega^2}$	$\Re\{s\} > 0$
14. $t \cos \omega t u(t)$	$\frac{s^2 - \omega^2}{(s^2 + \omega^2)^2}$	$\Re\{s\} > 0$
15. $t \sin \omega t u(t)$	$\frac{2\omega s}{(s^2 + \omega^2)^2}$	$\Re\{s\} > 0$

Παράδειγμα 8.9. Εστω το σήμα $x(t) = e^{at}u(-t)$, $a > 0$. Είναι

$$X_B(s) = \mathcal{L}\{e^{-at}u(t)\}_{s \rightarrow -s} = \left(\frac{1}{s+a}\right)_{s \rightarrow -s} = \frac{-1}{s-a}, \quad \Re\{s\} < a$$

Σημείωση: Ο μονόπλευρος μετασχηματισμός Laplace του $x(t)$ είναι μηδέν.

Παράδειγμα 8.10. Εστω το σήμα

$$x(t) = Ae^{-at}u(t) + Bt^2e^{-bt}u(-t), \quad a, b > 0$$

Είναι

$$\begin{aligned} X_B(s) &= \frac{A}{s+a} + \mathcal{L}\{B(-t)^2e^{bt}u(t)\}_{s \rightarrow -s} \\ &= \frac{A}{s+a} + \left(B\frac{2!}{(s-b)^3}\right)_{s \rightarrow -s}, \quad (\Re\{s\} > -a) \cap (\Re\{s\} < -b) \\ &= \frac{A}{s+a} - \frac{2B}{(s+b)^3}, \quad -a < \Re\{s\} < -b \end{aligned}$$

Παράδειγμα 8.11. Εστω το περιοδικό εκθετικό σήμα $x(t) = e^{j\omega_0 t}$. Είναι

$$\begin{aligned} X_B(s) &= \int_{-\infty}^{+\infty} e^{-(s-j\omega_0)t} dt \\ &= \int_{-\infty}^0 e^{-(s-j\omega_0)t} dt + \int_0^{+\infty} e^{-(s-j\omega_0)t} dt \end{aligned}$$

Το πρώτο ολοκλήρωμα ουγκλίνει για $\Re\{s\} < 0$ ενώ το δεύτερο ουγκλίνει για $\Re\{s\} > 0$. Συνεπώς, ο μετασχηματισμός δεν ουγκλίνει για καμιά τιμή του s .

8.4 Ιδιότητες Μετασχηματισμού Laplace

Στην παρακάτω ανάπτυξη των ιδιοτήτων, όπου δεν αναφέρεται ουγκεκριμένα το είδος του μετασχηματισμού, η ιδιότητα ισχύει και για το δίπλευρο και για το μονόπλευρο μετασχηματισμό. Επίσης για $x(t) \longleftrightarrow X(s)$ θεωρείται $ROC = R$.

Γραμμικότητα:

$$x_1(t) \longleftrightarrow X_1(s), \quad ROC = R_1$$

$$x_2(t) \longleftrightarrow X_2(s), \quad ROC = R_2$$

$$ax_1(t) + bx_2(t) \longleftrightarrow aX_1(s) + bX_2(s), \quad ROC \text{ περιέχει } R_1 \cap R_2 \quad (8.10)$$

Παράδειγμα 8.12. Το παράδειγμα αυτό αφορά δίπλευρους μετασχηματισμούς. Εστω

$$\begin{aligned} X_1(s) &= \frac{1}{s+1}, \quad \Re\{s\} > -1 \\ X_2(s) &= \frac{1}{(s+1)(s+2)}, \quad \Re\{s\} > -1 \end{aligned}$$

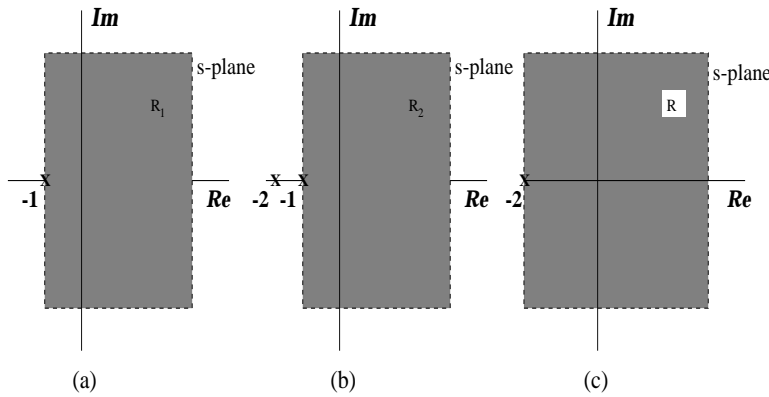
και έστω

$$x(t) = x_1(t) - x_2(t)$$

Τότε, ο μετασχηματισμός του $x(t)$ δίνεται ως

$$X(s) = X_1(s) - X_2(s) = \frac{1}{s+1} - \frac{1}{(s+1)(s+2)} = \frac{s+1}{(s+1)(s+2)} = \frac{1}{s+2}, \quad \Re\{s\} > -2$$

(Βλέπε Σχήμα 8.10).



Σχήμα 8.10: Pole-zero plots και ROCs για το παράδειγμα 8.12.

Ολισθηση στον Χρόνο: Η ολίσθηση στο χρόνο έχει ως αποτέλεσμα μια διαφορά φάσης στο μετασχηματισμό.

$$x(t - t_0) \longleftrightarrow e^{-st_0} X(s), \quad \text{ιδιο ROC}, \quad t_0 > 0 \quad (8.11)$$

Παράδειγμα 8.13. Εστω ο τετραγωνικός παλμός

$$x(t) = rect\left(\frac{t-a}{2a}\right) = u(t) - u(t-2a)$$

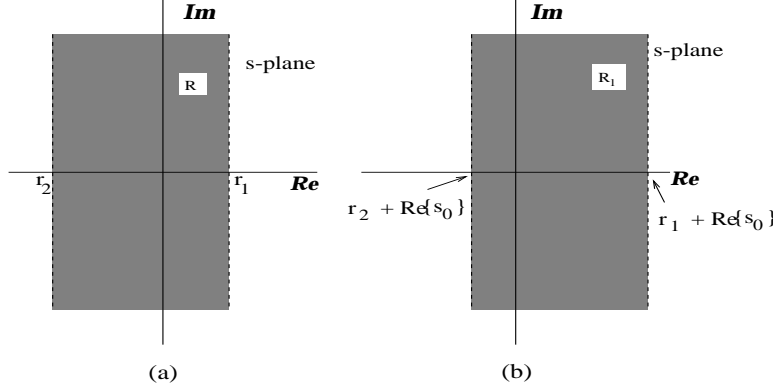
Ο μονόπλευρος μετασχηματισμός του μπορεί να βρεθεί ως

$$X(s) = \frac{1}{s} - e^{-2as} \frac{1}{s} = \frac{1 - e^{-2as}}{s}, \quad \Re\{s\} > 0$$

Ολιοθηση στον s-Χώρο:

$$e^{s_0 t} x(t) \longleftrightarrow X(s - s_0) , \quad ROC \quad R_s = R + \Re\{s_0\} \quad (8.12)$$

Δηλαδή το ROC είναι το ROC του $X(s)$ μεταποιημένο κατά $\Re\{s_0\}$ (βλέπε Σχ 8.11).



Σχήμα 8.11: Αλλαγή του ROC σαν αποτέλεσμα της ολιοθησης στον s-χώρο.

Πολλαπλασιασμός στο Χρόνο: Ο πολλαπλασιασμός στο χρόνο επιφέρει διαιρεση στη μεταβλητή s .

Διπλευρος: (βλέπε Σχ 8.12).

$$x(at) \longleftrightarrow \frac{1}{|a|} X\left(\frac{s}{a}\right) , \quad ROC \quad R_t = \frac{R}{a} \quad (8.13)$$

Μονόπλευρος:

$$x(at) \longleftrightarrow \frac{1}{a} X\left(\frac{s}{a}\right) , \quad a > 0 , \quad \Re\{s\} > a\sigma_1 \quad (8.14)$$

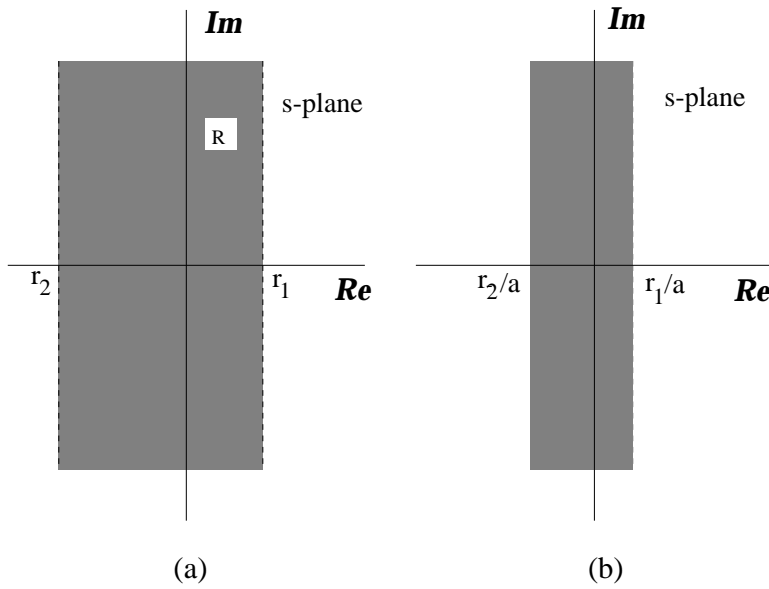
Παραγώγιση στο Χρόνο: Η παραγώγιση στο χρόνο έχει ως αποτέλεσμα τον πολλαπλασιασμό στον s-χώρο.

Διπλευρος:

$$\frac{dx(t)}{dt} \longleftrightarrow sX(s) , \quad ROC \text{ περιέχει } R \quad (8.15)$$

Μονόπλευρος:

$$\frac{dx(t)}{dt} \longleftrightarrow sX(s) - x(0^-) \quad (8.16)$$



Σχήμα 8.12: Αλλαγή των ROC σαν αποτέλεσμα του πολλαπλασιασμού στο χρόνο.

$$\frac{d^n x(t)}{dt^n} \longleftrightarrow s^n X(s) - s^{n-1} x(0^-) - \cdots - s x^{(n-2)}(0^-) - x^{(n-1)}(0^-) \quad (8.17)$$

Η παραπάνω ιδιότητα είναι πολύ οπονδαία και χρήσιμη στην επίλυση διαφορικών εξισώσεων γιατί μετατρέπει τις διαφορικές εξισώσεις σε αλγεβρικές εξισώσεις.

Παράδειγμα 8.14. Ζητείται να βρεθεί ο μεταοχηματιομός του $x(t) = \sin^2 \omega t \cdot u(t)$, $x(0^-) = 0$.

Απάντηση: Υπολογίζουμε το μεταοχηματιομό της παραγώγου του $x(t)$ και βάσει της ιδιότητας υπολογίζουμε το μεταοχηματιομό του $x(t)$.

$$x'(t) = 2\omega \cdot \sin \omega t \cdot \cos \omega t \cdot u(t) = \omega \cdot \sin 2\omega t \cdot u(t)$$

$$\mathcal{L}\{\omega \sin 2\omega t u(t)\} = \frac{2\omega^2}{s^2 + 4\omega^2}$$

Συνεπός

$$\mathcal{L}\{\sin^2 \omega t u(t)\} = \frac{2\omega^2}{s(s^2 + 4\omega^2)}$$

Παράδειγμα 8.15. Να λυθεί η διαφορική εξισώση

$$y''(t) + 3y'(t) + 2y(t) = 0, \quad y(0^-) = 3, \quad y'(0^-) = 1$$

$$\mathcal{L}\{y'(t)\} = sY(s) - y(0^-) = sY(s) - 3$$

$$\mathcal{L}\{y''(t)\} = s^2Y(s) - sy(0^-) - y'(0^-) = s^2Y(s) - 3s - 1$$

Παίρνουμε μετασχηματισμό Laplace και από τις δύο πλευρές της διαφορικής εξίσωσης:

$$s^2Y(s) + 3sY(s) + 2Y(s) = 3s + 10$$

$$\begin{aligned} Y(s) &= \frac{3s + 10}{(s+1)(s+2)} = \frac{7}{s+1} - \frac{4}{s+2} \\ \Rightarrow y(t) &= 7e^{-t}u(t) - 4e^{-2t}u(t) \end{aligned}$$

Παραγώγιση στον s-Χώρο: Η παραγώγιση στον s-χώρο έχει ως αποτέλεσμα το πολλαπλασιασμό στο χρόνο.

$$-tx(t) \longleftrightarrow \frac{dX(s)}{ds} , \text{ iδιο ROC} \quad (8.18)$$

και γενικότερα

$$(-t)^n x(t) \longleftrightarrow \frac{d^n X(s)}{ds^n} \quad (8.19)$$

Παράδειγμα 8.16. Ζητείται να βρεθεί ο μετασχηματισμός του $x(t) = te^{-at}u(t)$.

Απάντηση: Ξέρουμε ότι

$$e^{-at} \cdot u(t) \longleftrightarrow \frac{1}{s+a} , \text{ } \Re e\{s\} > -a$$

και συνεπός

$$te^{-at}u(t) \longleftrightarrow -\frac{d}{ds} \left[\frac{1}{s+a} \right] = \frac{1}{(s+a)^2} , \text{ } \Re e\{s\} > -a$$

Γενικότερα, με επαναληπτική εφαρμογή παίρνουμε

$$\frac{t^{(n-1)}}{(n-1)!} e^{-at}u(t) \longleftrightarrow \frac{1}{(s+a)^n} , \text{ } \Re e\{s\} > -a$$

Ολοκλήρωση στο Χρόνο: Η ολοκλήρωση στο χρόνο έχει ως αποτέλεσμα τη διαιρεση στον s-χώρο.

Διπλευρος:

$$\int_{-\infty}^t x(\tau)d\tau \longleftrightarrow \frac{1}{s}X(s) , \text{ ROC περιέχει } R \cap \Re e\{s\} > 0 \quad (8.20)$$

Μονόπλευρος:

$$\int_{0-}^t x(\tau)d\tau \longleftrightarrow \frac{1}{s}X(s) \quad (8.21)$$

όπου το ολοκλήρωμα του $x(t)$ δεν μεγαλώνει γρηγορότερα κάποιο εκθετικό της μορφής Ae^{-at} .

Πολλαπλασιαστική Ιδιότητα: Μελετούμε αυτή την ιδιότητα μόνο για το μονόπλευρο και μόνο για συναρτήσεις διαμόρφωσης \cos και \sin .

$$x(t) \cos \omega t \longleftrightarrow \frac{1}{2} [X(s + j\omega) + X(s - j\omega)] \quad (8.22)$$

$$x(t) \sin \omega t \longleftrightarrow \frac{j}{2} [X(s + j\omega) - X(s - j\omega)] \quad (8.23)$$

Παράδειγμα 8.17. Ο μετασχηματισμός του $\cos \omega t \cdot u(t)$ μπορεί να εξαχθεί από τον μετασχηματισμό του $u(t)$

$$\mathcal{L}\{\cos \omega t \cdot u(t)\} = \frac{1}{2} \left(\frac{1}{s + j\omega} + \frac{1}{s - j\omega} \right) = \frac{s}{s^2 + \omega^2}$$

Παρόμοια για το $e^{-at} \cdot \sin \omega t \cdot u(t)$

$$\mathcal{L}\{e^{-at} \cdot \sin \omega t \cdot u(t)\} = \frac{j}{2} \left(\frac{1}{s + j\omega + a} - \frac{1}{s - j\omega + a} \right) = \frac{\omega}{(s + a)^2 + \omega^2}$$

Ιδιότητα Συγκερασμού: Ο συγκερασμός στο χρόνο έχει ως αποτέλεσμα το πολλαπλασιασμό του s-χώρου.

$$x_1(t) \star x_2(t) \longleftrightarrow X_1(s)X_2(s) \text{ , ROC περιέχει } R_1 \cap R_2 \quad (8.24)$$

Παράδειγμα 8.18. Μπορούμε να αποδείξουμε την ιδιότητα ολοκλήρωσης από την ιδιότητα συγκερασμού

$$\int_{-\infty}^t x(\tau) d\tau = x(t) \star u(t) \longleftrightarrow X(s) \cdot \frac{1}{s}$$

8.4.1 Θεωρήματα Αρχικής και Τελικής Τιμής

Τα θεωρήματα αρχικής και τελικής τιμής (Initial and Final Value Theorems) είναι πολύ σημαντικά για τη μελέτη της “αρχικής” και “τελικής” (μετά από άπειρο χρόνο) συμπεριφοράς των συστημάτων.

Θεώρημα Αρχικής Τιμής:

$$x(0^+) = \lim_{s \rightarrow \infty} sX(s) \quad (8.25)$$

Γενικότερα, αν $x^{(n)}(0^+) = 0$ για $n < N$ τότε

$$x^{(N)}(0^+) = \lim_{s \rightarrow \infty} s^{N+1} X(s) \quad (8.26)$$

Παρατήρηση: Το δεξιό μέλος μπορεί και να υπάρχει ακόμη και σε περιπτώσεις που το αριστερό δεν υπάρχει. Για το λόγο αυτό, πρέπει να ελέγχουμε την όπαρξη του $x(0^+)$ πριν την εφαρμογή των θεωρημάτων.

Παράδειγμα 8.19. Η αρχική τιμή ενός σήματος μπορεί να βρεθεί από το μετασχηματισμό του. Εστω

$$X(s) = \frac{cs + d}{(s - a)(s - b)}, \quad a \neq b$$

Βάσει των θεωρημάτων παίρνουμε

$$x(0^+) = \lim_{s \rightarrow \infty} s \frac{cs + d}{(s - a)(s - b)} = c$$

Θεώρημα Τελικής Τιμής:

$$\lim_{t \rightarrow \infty} x(t) = \lim_{s \rightarrow 0} s X(s) \quad (8.27)$$

Η παραπάνω σχέση είναι πολύ βασική γιατί μας επιτρέπει να βρίσκουμε τη τελική τιμή (τιμή σε σταθερή κατάσταση) της εξόδου ενός συστήματος.

Οπως στη περίπτωση του θεωρήματος Αρχικής Τιμής, έτοι και στο θεώρημα Τελικής Τιμής ισχύει η παρατήρηση ότι το δεξιό όριο μπορεί να υπάρχει ακόμη και στη περίπτωση που το αριστερό δεν υπάρχει. Ετοι, πρέπει πρώτα να ελέγχουμε την όπαρξη του $\lim_{t \rightarrow +\infty} x(t)$ πριν την εφαρμογή των θεωρημάτων. Αυτό μπορούμε να το δούμε εύκολα αν θεωρήσουμε το $X(s) = \frac{s}{s^2 + \omega^2}$. Ετοι έχουμε

$$X(s) = \frac{s}{s^2 + \omega^2} \Rightarrow \lim_{s \rightarrow 0} s X(s) = \frac{s^2}{s^2 + \omega^2} = 0 \quad (8.28)$$

Ισχύει όμως ότι $x(t) = \cos \omega t$ το οποίο δεν έχει όριο για $t \rightarrow +\infty$. Η διαφορά οφείλεται στο ότι το $s = 0$ πρέπει να είναι στο ROC για την εφαρμογή των θεωρημάτων Τελικής Τιμής, άρα όλοι οι πόλοι του $X(s)$ πρέπει να είναι στον αριστερό ημιχώρο.

Παράδειγμα 8.20. Εστω ότι το σήμα $x(t) = A \cdot u(t)$ εφαρμόζεται ως είσοδος στο σύστημα

$$H(s) = \frac{c}{s(s + b) + c}$$

Τότε η έξοδος σε σταθερή κατάσταση από το σύστημα μπορεί να βρεθεί ως

$$\begin{aligned} \lim_{t \rightarrow \infty} y(t) &= \lim_{s \rightarrow 0} s Y(s) = \lim_{s \rightarrow 0} s X(s) H(s) \\ &= \lim_{s \rightarrow 0} s \frac{A}{s(s + b) + c} = A \end{aligned}$$

(θεωρώντας ότι τα μηδενικά της $s^2 + sb + c$ είναι οτον αριστερό ημιχώρο). Το ούτοιμα αυτό μετά από “κάποιο” χρονικό διάστημα “ακολουθεί” (tracks) την είσοδο. ■

Στους παρακάτω δύο πίνακες 8.3,8.4 ουνοψίζονται οι ιδιότητες του Διπλευρού και του μονόπλευρον μετασχηματισμού Laplace, αντίστοιχα.

Πίνακας 8.3: Ιδιότητες Διπλευρού Μετασχηματισμού Laplace

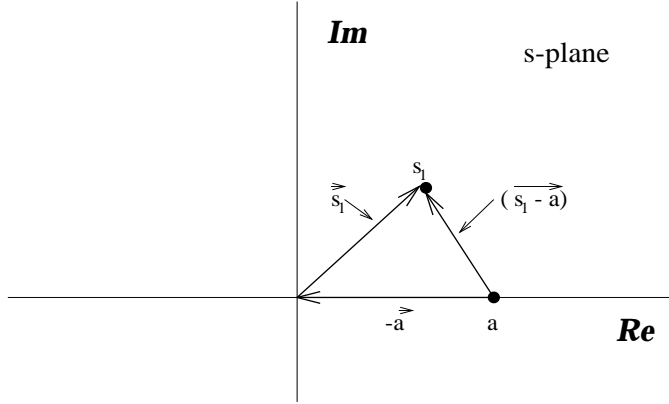
Property	Signal	Transform	ROC
	$x(t)$	$X(s)$	R
	$x_1(t)$	$X_1(s)$	R_1
	$x_2(t)$	$X_2(s)$	R_2
1.	$ax_1(t) + bx_2(t)$	$aX_1(s) + bX_2(s)$	At least $R_1 \cap R_2$
2.	$x(t - t_0)$	$e^{-st_0}X(s)$	R
3.	$e^{s_0 t}x(t)$	$X(s - s_0)$	Shifted version of R [i.e., s is in the ROC if $(s - s_0)$ is in R]
4.	$x(\alpha t)$	$\frac{1}{ \alpha }X\left(\frac{s}{\alpha}\right)$	“Scaled” ROC [i.e., s is in the ROC if (s/α) is in the ROC of X(s)]
5.	$x_1(t) \star x_2(t)$	$X_1(s)X_2(s)$	At least $R_1 \cap R_2$
6.	$\frac{d}{dt}x(t)$	$sX(s)$	At least R
7.	$-tx(t)$	$\frac{d}{ds}X(s)$	R
8.	$\int_{-\infty}^t x(\tau)d\tau$	$\frac{1}{s}X(s)$	At least $R_1 \cap R_2$

Πίνακας 8.4: Ιδιότητες Μονόπλευρου Μετασχηματισμού Laplace

	Signal	Transform
1.	$x(t)$	$X(s)$
2.	$\sum_{n=1}^N a_n x_n(t)$	$\sum_{n=1}^N a_n X_n(s)$
3.	$x(t - t_0)$	$X(s) e^{-t_0 s}$
4.	$e^{s_0 t} x(t)$	$X(s - s_0)$
5.	$x(\alpha t), \alpha > 0$	$\frac{1}{\alpha} X\left(\frac{s}{\alpha}\right)$
6.	$\frac{dx(t)}{dt}$	$s X(s) - x(0^-)$
7.	$\int_{0^-}^t x(\tau) d\tau$	$\frac{1}{s} X(s)$
8.	$t x(t)$	$-\frac{dX(s)}{ds}$
9.	$x(t) \cos \omega_0 t$	$\frac{1}{2} [X(s - j\omega_0) + X(s + j\omega_0)]$
10.	$x(t) \sin \omega_0 t$	$\frac{1}{2j} [X(s - j\omega_0) - X(s + j\omega_0)]$
11.	$x(t) * h(t)$	$X(s) H(s)$
12.	$x(0^+)$	$\lim_{s \rightarrow \infty} s X(s)$
13.	$\lim_{t \rightarrow \infty} x(t)$	$\lim_{s \rightarrow 0} s X(s)$

8.5 Γεωμετρικός Υπολογισμός του Μετασχηματισμού Fourier

Για την απλή περίπτωση που $X(s) = (s - a)$ μπορούμε να υπολογίσουμε το $X(s)$ σε κάποιο σημείο s_1 σαν άνυδρα (Σx 8.13).



Σχήμα 8.13: Αναπαράσταση των ανυδράτων s_1 , a και $s_1 - a$ στο μιγαδικό χώρο.

Το $X(s_1)$ έχει μέτρο ίσο με το μέτρο του $(\overrightarrow{s_1 - a})$ και φάση ίση με την γωνία του ανύδρατος με τον άξονα των πραγματικών. Αν $X(s) = \frac{1}{\overrightarrow{s-a}}$ τότε το μέτρο του $X(s_1)$ θα είναι το αντίστροφο του μέτρου των ανύδρατος $(\overrightarrow{s_1 - a})$ και η φάση θα είναι το αρνητικό της γωνίας του ανύδρατος με τον άξονα των πραγματικών. Πιο γενικότερα αν,

$$X(s) = M \frac{\prod_{i=1}^R (s - \beta_i)}{\prod_{j=1}^P (s - \alpha_j)} \quad (8.29)$$

το μέτρο του $X(s_1)$ στο s_1 θα είναι το μέτρο των M , επί το γινόμενο των μηκών των “zero-ανυδράτων” (ανύδρατα από τα μηδενικά β_i στο s_1), δια το γινόμενο των μηκών των “pole-ανυδράτων” (ανύδρατα από τους πόλους α_j στο s_1). Η φάση είναι το άθροισμα των γωνιών των zero-ανυδράτων μείον το άθροισμα των γωνιών των pole-ανυδράτων. Αν $M < 0$, τότε προστιθέται στη φάση η γωνία π . Αν υπάρχει πολλαπλή ρίζα ή πόλος, τότε τα αντίστοιχα μήκη/γωνίες υπολογίζονται τόσες φορές όση η τάξη της ρίζας ή του πόλου. Αν οι παραπάνω υπολογισμοί γίνουν στον $j\omega$ άξονα τότε παίρνουμε τον μετασχηματισμό Fourier.

Παράδειγμα 8.21.

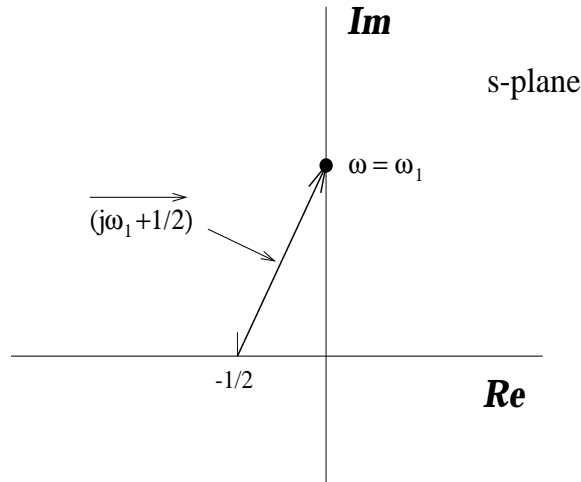
$$X(s) = \frac{1}{s + \frac{1}{2}} \quad , \quad \Re\{s\} > -\frac{1}{2}$$

Ο μετασχηματισμός Fourier δίνεται ως

$$X(j\omega) = \frac{1}{j\omega + \frac{1}{2}}$$

το pole-zero plot φαίνεται στο Σχ 8.14.

$$\begin{aligned}|X(j\omega_1)|^2 &= \frac{1}{\omega_1^2 + (\frac{1}{2})^2} \\ \angle X(j\omega) &= -\tan^{-1} 2\omega_1\end{aligned}$$



Σχήμα 8.14: Pole-zero plot του παραδειγματος 8.21.

8.6 Αντίστροφος Μετασχηματισμός Laplace

Για $s = \sigma + j\omega$, $\Re\{s\} \in ROC$, ο μετασχηματισμός Laplace του $x(t)$ ερμηνεύεται ως ο μετασχηματισμός Fourier του $x(t)e^{-\sigma t}$.

$$X(\sigma + j\omega) = \int_{-\infty}^{+\infty} x(t)e^{-\sigma t}e^{-j\omega t}dt \quad (8.30)$$

παίρνοντας αντίστροφο μετασχηματισμό Fourier

$$x(t)e^{-\sigma t} = \frac{1}{2\pi} \int_{-\infty}^{+\infty} X(\sigma + j\omega)e^{j\omega t}d\omega \quad (8.31)$$

και πολλαπλασιάζοντας στη συνέχεια με $e^{\sigma t}$ καταλήγοντες στη σχέση

$$x(t) = \frac{1}{2\pi} \int_{-\infty}^{+\infty} X(\sigma + j\omega)e^{(\sigma+j\omega)t}d\omega \quad (s = \sigma + j\omega) \quad (8.32)$$

Η τελευταία σχέση μας δίνει το σήμα $x(t)$ από τον μετασχηματισμό του $X(s)$ και αναφέρεται ως ο αντίστροφος μετασχηματισμός Laplace.

$$\boxed{x(t) = \frac{1}{2\pi j} \int_{\sigma-j\infty}^{\sigma+j\infty} X(s)e^{st}ds \quad (\text{Αντίστροφος μετασχηματισμός Laplace})} \quad (8.33)$$

Παραπούμε ότι στη προηγούμενη σχέση έχουμε ολοκλήρωση κατά μήκος της ενθείας $\sigma + j\omega$. Αυτό είναι πολύ δύσκολο να γίνει αναλυτικά. Στις περισσότερες περιπτώσεις

$$X(s) = \frac{N(s)}{D(s)} \quad (8.34)$$

όπου $N(s)$ και $D(s)$ είναι πολυώνυμα ως προς s και $D(s)$ είναι μεγαλύτερον βαθμού από το $N(s)$. Χρησιμοποιώντας ανάλυση σε απλά κλάσματα (partial fraction expansion) μπορούμε να υπολογίσουμε τον αντίστροφο μετασχηματισμό Laplace.

Παράδειγμα 8.22. Ζητείται να υπολογιστεί ο αντίστροφος μετασχηματισμός Laplace του

$$X(s) = \frac{1}{(s+1)(s+2)} , \quad \Re e\{s\} > -1$$

Εφαρμόζουμε ανάλυση σε απλά κλάσματα

$$X(s) = \frac{A}{s+1} + \frac{B}{s+2} , \quad A = 1 , \quad B = -1$$

και καταλήγουμε εύκολα στη σχέση

$$X(s) = \frac{1}{s+1} - \frac{1}{s+2}$$

Μεσω των πινάκων μπορούμε εύκολα να αντιστρέψουμε τη παραπάνω παίρνοντας

$$\begin{aligned} e^{-t}u(t) &\longleftrightarrow \frac{1}{s+1} , \quad \Re e\{s\} > -1 \\ e^{-2t}u(t) &\longleftrightarrow \frac{1}{s+2} , \quad \Re e\{s\} > -2 \end{aligned}$$

και συνεπώς

$$[e^{-t} - e^{-2t}] u(t) \longleftrightarrow \frac{1}{(s+1)(s+2)} , \quad \Re e\{s\} > -1$$

Παράδειγμα 8.23.

$$X(s) = \frac{2s^2 - 3s}{s^3 - 4s^2 + 5s - 2} , \quad D(s) = (s-2)(s-1)^2$$

$$X(s) = \frac{B}{s-2} + \frac{A_2}{(s-1)^2} + \frac{A_1}{s-1}$$

Μετά την ανάλυση σε απλά κλάσματα βρίσκουμε $B = 2$, $A_2 = 1$, $A_1 = 0$, άρα

$$X(s) = \frac{2}{s-2} + \frac{1}{(s-1)^2}$$

και συνεπώς

$$x(t) = 2e^{2t}u(t) + te^tu(t)$$

Κεφάλαιο 9

Μετασχηματισμός Z

Ο μετασχηματισμός Z είναι το αντίστοιχο του μετασχηματισμού Laplace στο διακριτό χρόνο. Εποι, όπως ο μετασχηματισμός Laplace αποτελεί μια επέκταση του μετασχηματισμού Fourier συνεχούς χρόνου, έποι και ο μετασχηματισμός Z αποτελεί μια επέκταση του μετασχηματισμού Fourier διακριτού χρόνου. Κατ' απόλυτη αντιστοιχία είναι χρήσιμος για περιπτώσεις οημάτων διακριτού χρόνου που δεν έχουν μετασχηματισμό Fourier.

9.1 Διπλευρος Μετασχηματισμός Z

Ο διπλευρος μετασχηματισμός Z ορίζεται ως

$$X_B(z) = \sum_{n=-\infty}^{+\infty} x[n]z^{-n}, \quad z \in \mathcal{C} \quad (9.1)$$

Ο συμβολισμός που υιοθετούμε για ένα σήμα και το μετασχηματισμό του είναι ο $x[n] \longleftrightarrow X_B(z)$. Αν εκφράσουμε το $z = re^{j\Omega}$, τότε

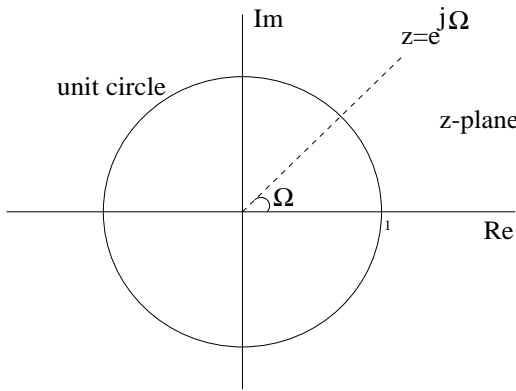
$$\begin{aligned} X_B(re^{j\Omega}) &= \sum_{n=-\infty}^{+\infty} x[n](re^{j\Omega})^{-n} \\ &= \sum_{n=-\infty}^{+\infty} \{x[n]r^{-n}\}e^{-j\Omega n} \end{aligned} \quad (9.2)$$

το οποίο μπορεί να γραφεί ως

$$X_B(re^{j\Omega}) = \mathcal{F}\{x[n]r^{-n}\} \quad (9.3)$$

Η τελευταία σχέση υποδηλώνει ότι ο μετασχηματισμός Z είναι ο μετασχηματισμός Fourier του $x[n]$ πολλαπλασιασμένου επί r^{-n} , το οποίο μπορεί να φθίνει ή να αυξάνει ανάλογα με το αν $r > 1$ ή $r < 1$. Στην ειδική περίπτωση που $r = 1$ (ή ιωδύναμα $|z| = 1$), ο μετασχηματισμός Z μεταπίπτει στο μετασχηματισμό Fourier (βλέπε Σχ 9.1):

$$X_B(z)|_{z=e^{j\Omega}} = \mathcal{F}\{x[n]\} \quad (9.4)$$



Σχήμα 9.1: Μιγαδικός z-χώρος. Ο μεταοχηματισμός Ζ μεταπίπτει στο μεταοχηματισμό Fourier για τιμές του z στο μοναδιαίο κύκλο.

Βλέπουμε δηλαδή ότι υπάρχει μια προφανής αντιστοιχία μεταξύ των μεταοχηματισμών Ζ και Laplace. Η αντιστοιχία αυτή ουνοψίζεται ως:

$$\begin{aligned} \text{Μεταοχηματισμός Laplace} &= \text{μεταοχηματισμός Fourier στο φανταστικό άξονα} \\ \text{Μεταοχηματισμός Ζ} &= \text{μεταοχηματισμός Fourier στο μοναδιαίο κύκλο} \end{aligned}$$

Εφόσον $X_B(z) = \mathcal{F}\{x[n]r^{-n}\}$, η ουγκλιση του μεταοχηματισμού Ζ είναι ισοδύναμη με τη ουγκλιση του μεταοχηματισμού Fourier της ακολουθίας $x[n]r^{-n}$. Οπως και στην περίπτωση των μεταοχηματισμών Laplace, για κάθε $x[n]$ θα υπάρχει μια “περιοχή ουγκλισης” (Region Of Convergence – ROC) όπου ο μεταοχηματισμός Ζ θα ουγκλίνει (πιθανόν το ROC να είναι κενό, οπότε ο μεταοχηματισμός Ζ δε ουγκλίνει για καμιά τιμή z). Αν το ROC περιλαμβάνει το μοναδιαίο κύκλο, τότε και ο μεταοχηματισμός Fourier θα ουγκλίνει.

Παράδειγμα 9.1. Εστω το σήμα $x[n] = a^n u[n]$. Τότε, ο διπλευρος μεταοχηματισμός του Ζ δίνεται ως

$$X_B(z) = \sum_{n=-\infty}^{+\infty} a^n u[n] z^{-n} = \sum_{n=0}^{+\infty} (az^{-1})^n$$

Για να ουγκλίνει ο $X_B(z)$ πρέπει $\sum_{n=0}^{+\infty} |az^{-1}|^n < \infty$. Ετοι το ROC είναι οι τιμές για τις οποίες $|az^{-1}| < 1 \Rightarrow |z| > |a|$. Συνεπώς,

$$X_B(z) = \sum_{n=0}^{+\infty} (az^{-1})^n = \frac{1}{1 - az^{-1}} = \frac{z}{z - a}, \quad |z| > |a|$$

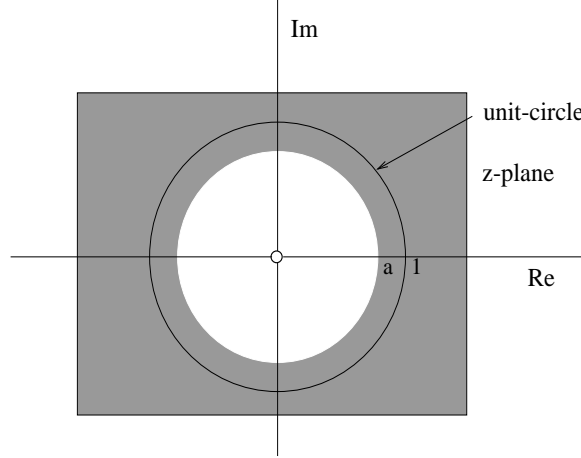
Παρατηρούμε ότι ο μεταοχηματισμός Ζ ουγκλίνει για κάθε πεπερασμένη τιμή του a , ενώ ο μεταοχηματισμός Fourier ουγκλίνει μόνο για $|a| < 1$. Για $a = 1$, $x[n] = u[n]$ με μεταοχηματισμό Ζ

$$u[n] \longleftrightarrow X_B(z) = \frac{1}{1 - z^{-1}}, \quad |z| > 1$$

Παρατηρούμε ότι σ' αυτή την περίπτωση ο μετασχηματισμός Z είναι της μορφής

$$X_B(z) = \frac{N(z)}{D(z)}$$

άρα μπορεί, όπως και στην περίπτωση του μετασχηματισμού Laplace, να χαρακτηρισθεί από τα μηδέν και τους πόλους, δηλαδή από το pole-zero plot (βλέπε Σχ 9.2).



Σχήμα 9.2: Pole-zero plot και ROC για το παράδειγμα 9.1.

Παράδειγμα 9.2. Εστω το σήμα $x[n] = -a^n u[-n-1]$. Ο μετασχηματισμός του δίνεται ως

$$\begin{aligned} X_B(z) &= -\sum_{n=-\infty}^{+\infty} a^n u[-n-1] z^{-n} = -\sum_{n=-\infty}^{-1} a^n z^{-n} \\ &= -\sum_{n=1}^{+\infty} a^{-n} z^n = 1 - \sum_{n=0}^{+\infty} (a^{-1} z)^n \end{aligned}$$

Το παραπάνω άθροισμα συγκλίνει για

$$|a^{-1}z| < 1 \Rightarrow |z| < |a|$$

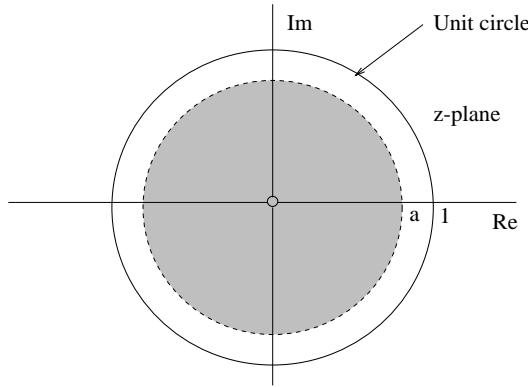
και συνεπώς

$$X_B(z) = 1 - \frac{1}{1 - a^{-1}z} = \frac{1}{1 - az^{-1}} = \frac{z}{z - a}, \quad |z| < |a|$$

Παρατηρούμε ότι καταλήξαμε στην ίδια αλγεβρική έκφραση όπως στο προηγούμενο παράδειγμα, αλλά με διαφορετικό ROC, το οποίο απεικονίζεται στο Σχ 9.3.

Παράδειγμα 9.3. Εστω το σήμα

$$x[n] = \left(\frac{1}{2}\right)^n u[n] + \left(\frac{1}{3}\right)^n u[n]$$



Σχήμα 9.3: Pole-zero plot και ROC για το παράδειγμα 9.2.

Τότε

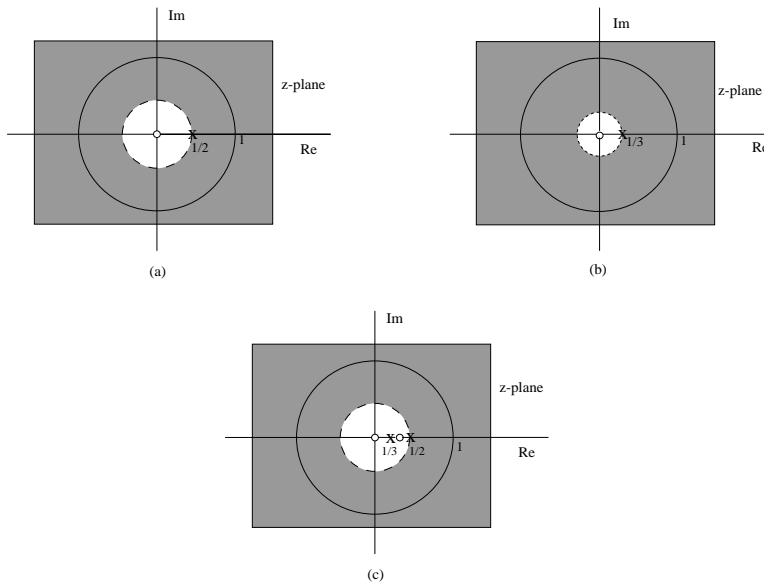
$$\begin{aligned}
 X_B(z) &= \sum_{n=-\infty}^{+\infty} \left\{ \left(\frac{1}{2}\right)^n u[n] + \left(\frac{1}{3}\right)^n u[n] \right\} z^{-n} \\
 &= \sum_{n=-\infty}^{+\infty} \left(\frac{1}{2}\right)^n u[n] z^{-n} + \sum_{n=-\infty}^{+\infty} \left(\frac{1}{3}\right)^n u[n] z^{-n} \\
 &= \sum_{n=0}^{+\infty} \left(\frac{1}{2}z^{-1}\right)^n + \sum_{n=0}^{+\infty} \left(\frac{1}{3}z^{-1}\right)^n \\
 &= \frac{1}{1 - \frac{1}{2}z^{-1}} + \frac{1}{1 - \frac{1}{3}z^{-1}} = \frac{2 - \frac{5}{6}z^{-1}}{(1 - \frac{1}{2}z^{-1})(1 - \frac{1}{3}z^{-1})} = \frac{z(2z - \frac{5}{6})}{(z - \frac{1}{2})(z - \frac{1}{3})}
 \end{aligned}$$

Εφ' όσον και οι δύο όροι του παραπάνω αθροίσματος πρέπει να συγκλίνουν, $|z| > \frac{1}{2}$ και $|z| > \frac{1}{3}$, και συνεπώς το ROC είναι $|z| > \frac{1}{2}$. Το παραπάνω αποτέλεσμα θα μπορούσα με να το είχαμε πάρει χρησιμοποιώντας τα αποτελέσματα των προηγούμενων παραδειγμάτων και τη γραμμικότητα του μετασχηματισμού Z (βλέπε παρακάτω ιδιότητες). Στο Σχ 9.4 απεικονίζονται τα pole-zero plots και τα ROCs των ξεχωριστών όρων καθώς και του αθροίσματος.

9.2 ROC Μετασχηματισμού Ζ

Οι ιδιότητες του ROC για την περίπτωση του μετασχηματισμού Ζ είναι αντίστοιχες με αυτές του μετασχηματισμού Laplace. Αυτές ουνοψίζονται σ' αυτή τη παράγραφο:

1. Το ROC αποτελείται από ένα δακτύλιο (ring) στο z-χώρο με κέντρο την αρχή ($z = 0$), όπως φαίνεται στο Σχ 9.5. Αυτό είναι πολύ εύκολο να το δούμε γιατί το ROC αποτελείται από εκείνες τις τιμές που ο μετασχηματισμός Fourier του $x[n]r^{-n}$, $z = re^{j\Omega}$, συγκλίνει, άρα εξαρτάται μόνο από το μέτρο του z .
2. Το ROC δεν περιέχει πόλους του $X_B(z)$.



Σχήμα 9.4: Pole-zero plots και ROCs για το παράδειγμα 9.3.

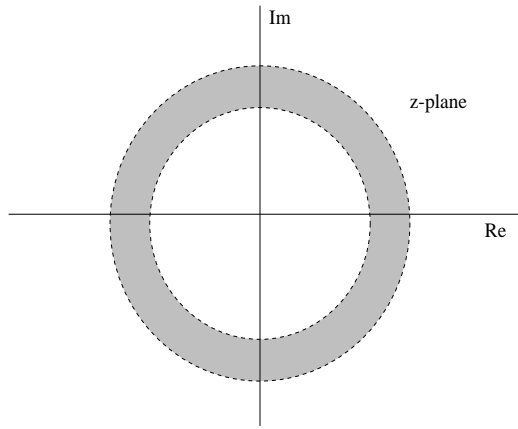
3. Αν το $x[n]$ είναι πεπερασμένο στο χρόνο, τότε το ROC είναι όλος ο z -χώρος με πιθανές εξαιρέσεις $z = 0$ και/ή $z = \infty$.
4. Αν το $x[n]$ είναι δεξιόπλευρο και αν ο κύκλος $|z| = r_0$ ανήκει στο ROC, τότε κάθε πεπερασμένη τιμή του z με $|z| > r_0$ θα ανήκει στο ROC. Η διαισθητική εξίγηση αυτού έχει ως εξής: για $r_1 > r_0$ το $x[n]r_1^{-n}$ φθίνει γρηγορότερα από το $x[n]r_0^{-n}$. Άρα το άθροισμα θα συγκλίνει (βλέπε Σχ 9.6).
5. Αν το $x[n]$ είναι αριστερόπλευρο και αν ο κύκλος $|z| = r_0$ ανήκει στο ROC, τότε όλες οι τιμές του z με $0 < |z| < r_0$ θα ανήκουν στο ROC. (εξίγηση παρόμοια με την εξίγηση της ιδιότητας 4).
6. Αν το $x[n]$ είναι δίπλευρο και αν ο κύκλος $|z| = r_0$ ανήκει στο ROC, τότε το ROC θα είναι ένας δακτύλιος που περιέχει τον κύκλο $|z| = r_0$. (αποδεικνύεται εκφράζοντας το $x[n]$ σαν το άθροισμα ενός δεξιόπλευρου και ενός αριστερόπλευρου σήματος, Σχ 9.7).

Παράδειγμα 9.4. Εστω το σήμα

$$x[n] = \begin{cases} 3^n, & n < 0 \\ \left(\frac{1}{3}\right)^n, & n = 0, 2, 4, \dots \\ \left(\frac{1}{2}\right)^n, & n = 1, 3, 5, \dots \end{cases}$$

Ο δίπλευρος μεταοχηματιορός Z του $x[n]$ δίνεται ως

$$X_B(z) = \sum_{n=-\infty}^{-1} 3^n z^{-n} + \sum_{\substack{n=0 \\ n \text{ άρτιος}}}^{+\infty} \left(\frac{1}{3}\right)^n z^{-n} + \sum_{\substack{n=0 \\ n \text{ περιττός}}}^{+\infty} \left(\frac{1}{2}\right)^n z^{-n}$$



Σχήμα 9.5: Το ROC είναι πάντα ένας δακτύλιος στο z-χώρο. Σε οριομένες περιπτώσεις το εσωτερικό του δακτυλίου μπορεί να προεκταθεί μέχρι την αρχή οπότε το ROC γίνεται διόκος. Σε άλλες πάλι περιπτώσεις, το εξωτερικό του δακτυλίου μπορεί να προεκταθεί μέχρι το άπειρο.

Κάνουμε τις εξής αντικαταστάσεις μεταβλητών:

στον 1^o όρο των αθροίσματος: $n := -m$

στον 2^o όρο των αθροίσματος: $n := 2m$

στον 3^o όρο των αθροίσματος: $n := 2m + 1$

οπότε έχουμε

$$\begin{aligned} X_B(z) &= \sum_{m=1}^{+\infty} \left(\frac{1}{3}z\right)^m + \sum_{m=0}^{+\infty} \left(\frac{1}{9}z^{-2}\right)^m + \frac{z^{-1}}{2} \sum_{m=0}^{+\infty} \left(\frac{1}{4}z^{-2}\right)^m \\ &= \frac{\frac{1}{3}z}{1 - \frac{1}{3}z} + \frac{1}{1 - \frac{1}{9}z^{-2}} + \frac{\frac{1}{2}z^{-1}}{1 - \frac{1}{4}z^{-2}} \\ &= -\frac{z}{z - 3} + \frac{z^2}{z^2 - \frac{1}{9}} + \frac{z/2}{z^2 - \frac{1}{4}} \end{aligned}$$

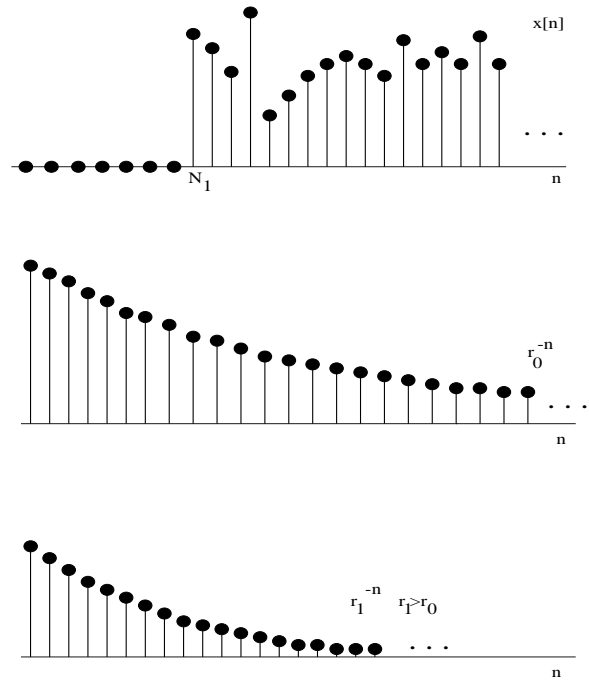
Πόλους έχουμε στα $z = 3, \frac{1}{3}, -\frac{1}{3}, \frac{1}{2}, -\frac{1}{2}$. Αρα, το ROC ορίζεται από τη οχέον $\frac{1}{2} < |z| < 3$, όπως απεικονίζεται στο Σχ 9.8.

Παράδειγμα 9.5. Εστω το σήμα

$$x[n] = \begin{cases} a^n, & 0 \leq n \leq N-1, a > 0 \\ 0, & \text{διαφορετικά} \end{cases}$$

$$X_B(z) = \sum_{n=0}^{N-1} a^n z^{-n} = \sum_{n=0}^{N-1} (az^{-1})^n = \frac{1 - (az^{-1})^N}{1 - az^{-1}} = \frac{1}{z^{N-1}} \frac{z^N - a^N}{z - a}$$

Εφόσον το $x[n]$ είναι πεπερασμένο στο χρόνο, το ROC θα είναι όλος ο z-χώρος με πιθανές εξαιρέσεις την αρχή και/ή το άπειρο. Επιπλέον, αφού υπάρχει ένας πόλος $N-1$ στο



Σχήμα 9.6: Για $r_1 > r_0$ το $x[n]r_1^{-n}$ φθίνει γρηγορότερα από το $x[n]r_0^{-n}$. Αρα, αν το $x[n]r_0^{-n}$ ουγκλίνει και το $x[n]r_1^{-n}$ θα ουγκλίνει.

$z = 0$ η αρχή αποκλείεται από το ROC. Οι ρίζες των αριθμητή είναι τα

$$z_k = ae^{j(2\pi k/N)}, \quad k = 0, 1, 2, \dots, N-1$$

Η ρίζα για $k = 0$ εξουδετερώνει τον πόλο στο $z = a$. Οπότε, οι μόνοι πόλοι είναι στην αρχή. Τα μηδέν βρίσκονται στα

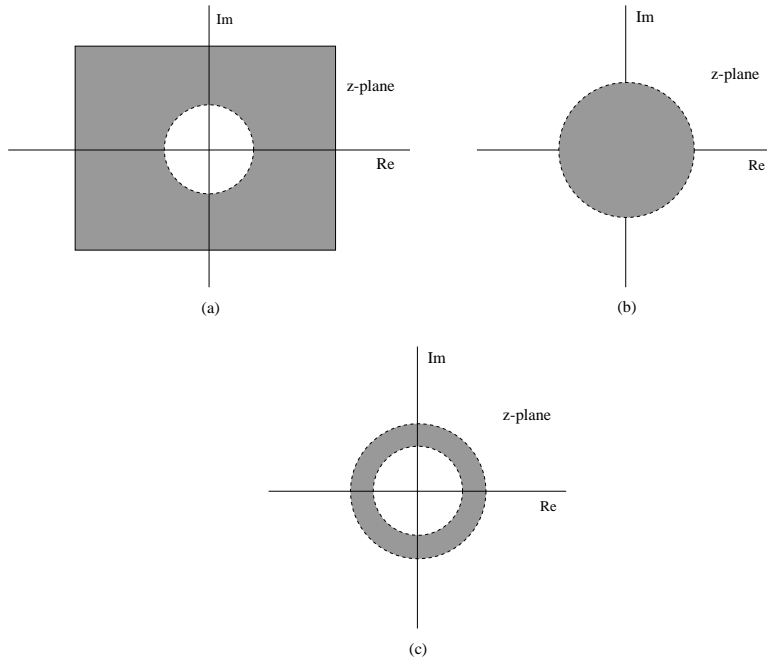
$$z_k = ae^{j(2\pi k/N)}, \quad k = 1, 2, \dots, N-1$$

To pole-zero plot φαίνεται στο Σχ 9.9.

Παράδειγμα 9.6. Εστω το οήπα $x[n] = b^{|n|}$, $b > 0$. Το $x[n]$ απεικονίζεται στο Σχ 9.10 για $b < 1$ και $b > 1$.

$$x[n] = b^n u[n] + b^{-n} u[-n-1]$$

$$\begin{aligned} b^n u[n] &\longleftrightarrow \frac{1}{1 - bz^{-1}}, \quad |z| > b \\ b^{-n} u[-n-1] &\longleftrightarrow \frac{-1}{1 - b^{-1}z^{-1}}, \quad |z| < \frac{1}{b} \end{aligned}$$



Σχήμα 9.7: (a) ROC για μια δεξιόπλευρη ακολουθία, (β) ROC για μια αριστερόπλευρη ακολουθία, (γ) ROC για μια διπλευρη ακολουθία άθροισμα μιας δεξιόπλευρης και μιας αριστερόπλευρης ακολουθίας).

Τα ROCs και pole-zero plots απεικονίζονται στο Σχ 9.11. Παρατηρούμε ότι για $b > 1$ δεν υπάρχει κοινό ROC και ουνεπώς ο μετασχηματισμός Ζ δεν ουγκλίνει.

$$X_B(z) = \frac{1}{1 - bz^{-1}} - \frac{1}{1 - b^{-1}z^{-1}}, \quad b < |z| < \frac{1}{b} \text{ και } b < 1$$

9.3 Μονόπλευρος Μετασχηματισμός Ζ

Οπως και στην περίπτωση του μετασχηματισμού Laplace, για αιτιατά σήματα ο μετασχηματισμός Ζ γίνεται

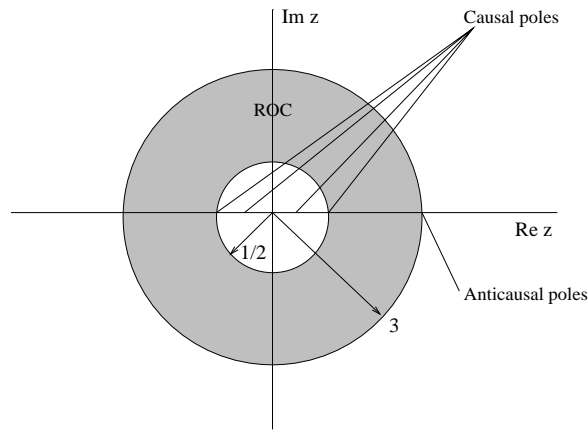
$$X_U(z) = \sum_{n=0}^{+\infty} x[n]z^{-n}$$

(9.5)

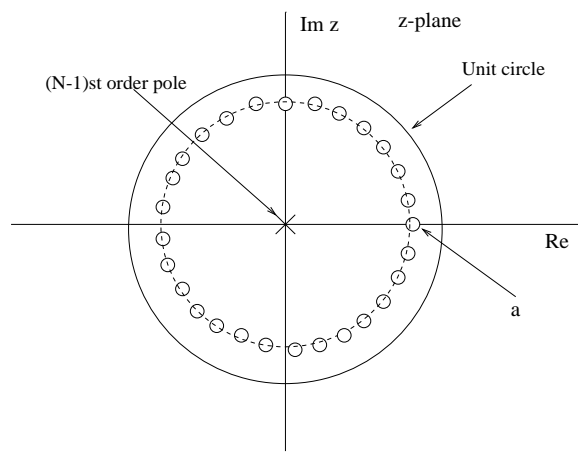
Αυτός ο οριομέτρος ονομάζεται *Μονόπλευρος Μετασχηματισμός Ζ* (unilateral Z-transform).

Παράδειγμα 9.7. Εστω τα σήματα $x[n] = \delta[n]$, $x[n] = \cos \Omega_0 n$, $x[n] = \sin \Omega_0 n$. Οι μονόπλευροι μετασχηματισμοί Ζ αυτών δίνονται ως:

$$x[n] = \delta[n] \longleftrightarrow 1 \cdot z^0 = 1$$



Σχήμα 9.8: Πόλοι και ROC για το παράδειγμα 9.4.



Σχήμα 9.9: Pole-zero plot για το παράδειγμα 9.5.

$$x[n] = \cos \Omega_0 n = \frac{1}{2} [e^{j\Omega_0 n} + e^{-j\Omega_0 n}]$$

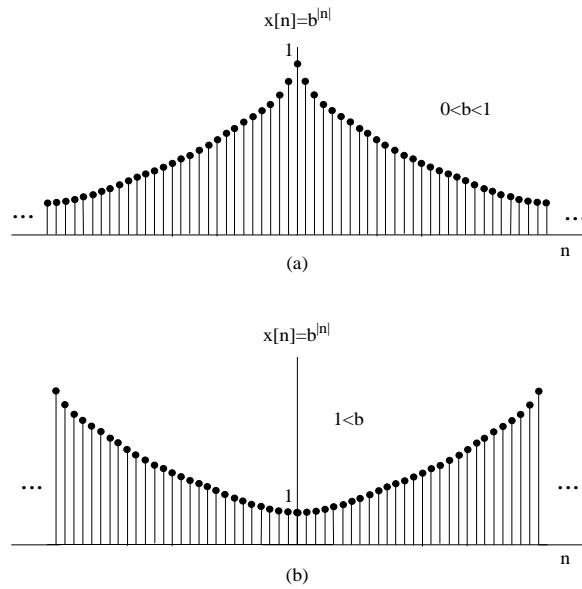
$$\Rightarrow X_U(z) = \frac{1}{z} \frac{z}{z - e^{j\Omega_0}} + \frac{1}{z} \frac{z}{z - e^{-j\Omega_0}} = \frac{z(z - \cos \Omega_0)}{z^2 - 2z \cos \Omega_0 + 1}, \quad |z| > 1$$

παρόμοια για το $x[n] = \sin \Omega_0 n$

$$X_U(z) = \frac{z \sin \Omega_0}{z^2 - 2z \cos \Omega_0 + 1}, \quad |z| > 1$$

9.4 Ιδιότητες Μετασχηματισμού Ζ

Στην παρακάτω ανάπτυξη των ιδιοτήτων, όπου δεν αναφέρεται συγκεκριμένα το είδος των μετασχηματισμού, η ιδιότητα ισχύει και για το διπλευρο και για το μονόπλευρο μετασχηματισμό. Επίσης για $x(t) \longleftrightarrow X(z)$ θεωρείται $\text{ROC} = R$.



Σχήμα 9.10: Ακολουθία $x[n]$ των παραδείγματος 9.6. (a) $|b| < 1$, (b) $|b| > 1$.

Γραμμικότητα:

$$\begin{aligned} x_1(t) &\longleftrightarrow X_1(z), \quad ROC = R_1 \\ x_2(t) &\longleftrightarrow X_2(z), \quad ROC = R_2 \end{aligned}$$

$$ax_1(t) + bx_2(t) \longleftrightarrow aX_1(z) + bX_2(z) \quad ROC \text{ περιέχει } R_1 \cap R_2 \quad (9.6)$$

Παράδειγμα 9.8.

$$\left. \begin{array}{l} x_1[n] = a^n u[n] \\ x_2[n] = a^n u[n-1] \end{array} \right\} \text{ και οι δύο έχουν ROC } |z| > |a|$$

Η διαφορά των $x_1[n], x_2[n]$ έχει μεταοχηματισμό Ζ

$$a^n u[n] - a^n u[n-1] = \delta[n] \longleftrightarrow 1, \quad ROC \text{ όλος ο z-χώρος}$$

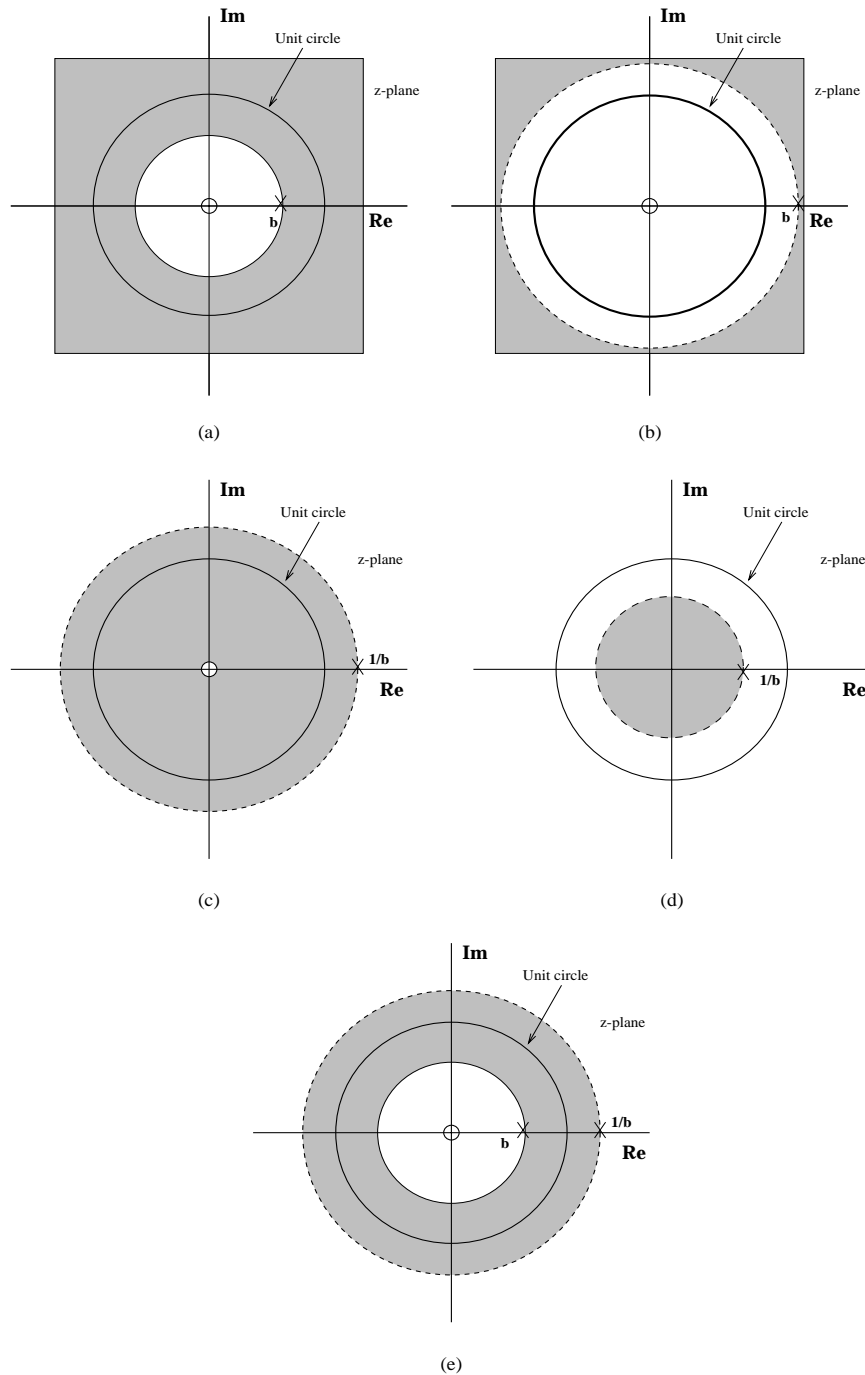
Ολισθηση στο Χρόνο: Διακρίνουμε δύο περιπτώσεις:

Διπλευρος:

$$x[n - n_0] \longleftrightarrow z^{-n_0} X_B(z), \quad \begin{array}{l} \text{ROC=R με την πιθανή προσθήκη} \\ \text{ή εξαίρεση της αρχής ή των άπειρων} \end{array} \quad (9.7)$$

Μονόπλευρος: ($n_0 > 0$)

$$x[n - n_0] \longleftrightarrow z^{-n_0} \left[X_u(z) + \sum_{m=-n_0}^{-1} x[m] z^{-m} \right] \quad (9.8)$$



Σχήμα 9.11: Pole-zero plots και ROCs του παραδείγματος 9.6. Για $|b| > 1$ ο μεταοχηματισμός Ζ δεν ουγκλίζει για καμπιά τιμή του z.

$$x[n + n_0] \longleftrightarrow z^{n_0} \left[X_u(z) - \sum_{m=0}^{n_0-1} x[m]z^{-m} \right] \quad (9.9)$$

Αντή η ιδιότητα εφαρμόζεται πολύ στη λύση εξισώσεων διαφοράς.

Παράδειγμα 9.9. Να λυθεί η εξισώση διαφοράς

$$y[n] - \frac{1}{2}y[n-1] = \delta[n]$$

με αρχική συνθήκη $y[-1] = 3$.

Απάντηση: Παίρνουμε μονόπλευρο μεταοχηματιορά Z και από τις δύο πλευρές της εξισώσης

$$Y_u(z) - \frac{1}{2}z^{-1}[Y_u(z) + y[-1]z] = 1$$

και συνεπώς

$$Y_u(z) = \frac{\frac{5}{2}}{1 - \frac{1}{2}z^{-1}} = \frac{5}{2} \frac{z}{z - \frac{1}{2}} \Rightarrow y[n] = \frac{5}{2} \left(\frac{1}{2}\right)^n, \quad n \geq 0$$

Παράδειγμα 9.10. Να λυθεί η εξισώση διαφοράς

$$y[n+2] - y[n+1] + \frac{2}{9}y[n] = u[n], \quad y[1] = -1, \quad y[0] = 1$$

Απάντηση: Παίρνουμε μονόπλευρο μεταοχηματιορά Z και από τις δύο πλευρές της εξισώσης

$$z^2[Y_u(z) - y[0] - y[1]z^{-1}] - z[Y_u(z) - y[0]] + \frac{2}{9}Y_u(z) = X_u(z) = \frac{z}{z-1}$$

$$\Rightarrow Y_u(z) = z \frac{z^2 - z + 1}{(z-1)(z-\frac{1}{3})(z-\frac{2}{3})} = z \left[\frac{\frac{9}{2}}{z-1} + \frac{\frac{7}{2}}{z-\frac{1}{3}} - \frac{7}{z-\frac{2}{3}} \right] = \frac{\frac{9}{2}z}{z-1} + \frac{\frac{7}{2}z}{z-\frac{1}{3}} - \frac{7z}{z-\frac{2}{3}}$$

$$\Rightarrow y[n] = \frac{9}{2}u[n] + \frac{7}{2} \left(\frac{1}{3}\right)^n u[n] - 7 \left(\frac{2}{3}\right)^n u[n]$$

Ολιοθηση στη συχνότητα:

$$e^{j\Omega_0 n} x[n] \longleftrightarrow X(e^{-j\Omega_0} z), \quad ROC = R \quad (9.10)$$

Πολλαπλασιασμός στη συχνότητα:

$$z_0^n x[n] \longleftrightarrow X\left(\frac{z}{z_0}\right), \quad ROC = z_0 R \quad (9.11)$$

Παράδειγμα 9.11. Εστω το σήμα $y[n] = a^n \cdot \cos \Omega_0 n \cdot u[n]$. Ο μεταοχηματιοράς του μπορεί να υπολογιστεί ως

$$Y(z) = \frac{a^{-1}z(a^{-1}z - \cos \Omega_0)}{a^{-2}z^2 - 2a^{-1}z \cos \Omega_0 + 1}$$

Αντιστροφή στο Χρόνο: Μόνο για το δίπλευρο μετασχηματισμού Ζ

$$x[-n] \longleftrightarrow X\left(\frac{1}{z}\right), \quad \text{ROC} = \frac{1}{R} = R' \text{ δηλαδή αν } z_0 \text{ στο } R \text{ τότε } \frac{1}{z_0} \text{ στο } R' \quad (9.12)$$

Παραγώγιση στον z-χώρο:

$$nx[n] \longleftrightarrow -z \frac{dX(z)}{dz} \quad (9.13)$$

και γενικότερα

$$n^k x[n] \longleftrightarrow (-z)^k \frac{d^k X(z)}{dz^k} \quad (9.14)$$

Παράδειγμα 9.12. Εστω ο μετασχηματισμός Ζ

$$X_B(z) = \log(1 + az^{-1}), \quad |z| > |a|$$

χρησιμοποιώντας την ιδιότητα της παραγώγισης στο z-χώρο

$$nx[n] \longleftrightarrow -z \frac{dX(z)}{dz} = \frac{az^{-1}}{1 + az^{-1}}$$

Ξέρουμε ότι $a(-a)^n u[n] \longleftrightarrow \frac{a}{1+az^{-1}}$ και χρησιμοποιώντας την ιδιότητα ολίσθησης στον χρόνο

$$a(-a)^{n-1} u[n-1] \longleftrightarrow \frac{az^{-1}}{1 + az^{-1}}, \quad |z| > |a|$$

$$\Rightarrow x[n] = \frac{-(-a)^n}{n} u[n-1]$$

Συγκερασμός:

$$x_1[n] * x_2[n] \longleftrightarrow X_1(z)X_2(z), \quad \text{ROC περιέχει } R_1 \cap R_2 \quad (9.15)$$

9.4.1 Θεωρήματα Αρχικής και Τελικής Τιμής

Οπως στο μετασχηματισμό Laplace, έτοι και στο μετασχηματισμό Ζ ισχύουν ανάλογα θεωρήματα αρχικής και τελικής τιμής.

Θεώρημα Αρχικής Τιμής:

$$x[0] = \lim_{z \rightarrow \infty} X(z) \quad (9.16)$$

Πίνακας 9.1: Ιδιότητες Διπλευρού Μετασχηματισμού Ζ

Sequence	Transform	ROC
$x[n]$	$X(z)$	R_x
$x_1[n]$	$X_1(z)$	R_1
$x_2[n]$	$X_2(z)$	R_2
$ax_1[n] + bx_2[n]$	$aX_1(z) + bX_2(z)$	At least the intersection of R_1 and R_2
$x[n - n_0]$	$z^{-n_0} X(z)$	R_x except for the possible addition or deletion of the origin
$e^{j\Omega_0 n} x[n]$	$X(e^{-j\Omega_0} z)$	R_x
$z_0^n x[n]$	$X(\frac{z}{z_0})$	$z_0 R_x$
$a^n x[n]$	$X(a^{-1} z)$	Scaled version of R_x (i.e., $ a \cdot R_x$ = the set of points $\{ a z\}$ for z in R_x)
$x[-n]$	$X(z^{-1})$	Inverted R_x (i.e., R_x^{-1} = the set of points z^{-1} where z is in R_x) $R_x^{1/k}$ (i.e., the set of points $z^{1/k}$ where z is in R_x)
$w[n] = \begin{cases} x[r], & n = rk \\ 0, & n \neq rk \end{cases} \text{ for some } r$	$X(z^k)$	
$x_1[n] \star x_2[n]$	$X_1(z)X_2(z)$	At least the intersection of R_1 and R_2
$nx[n]$	$-z \frac{dX(z)}{dz}$	R_x except for the possible addition or deletion of the origin
$\sum_{k=-\infty}^n x[k]$	$\frac{1}{1 - z^{-1}} X(z)$	At least the intersection of R_x and $ z > 1$

Πίνακας 9.2: Ιδιότητες Μονόπλευρου Μετασχηματισμού Z

Sequence	Transform
$a_1x_1(n) + a_2x_2(n)$	$a_1X_1(z) + a_2X_2(z)$
$x(n - n_0)$	$z^{-n_0} \left[X(z) + \sum_{m=-n_0}^{-1} x(m)z^{-m} \right]$
$x(n + n_0)$	$z^{n_0} \left[X(z) - \sum_{m=0}^{n_0-1} x(m)z^{-m} \right]$
$a^n x(n)$	$X(a^{-1}z)$
$nx(n)$	$-z \frac{d}{dz} X(z)$
$n^k x(k)$	$\left(-z \frac{d}{dz} \right)^k X(z)$
$x_1(n) \star x_2(n)$	$X_1(z)X_2(z)$

Θεώρημα Τελικής Τιμής:

$$x[N]_{N \rightarrow \infty} = \lim_{z \rightarrow 1} \left(1 - z^{-1} \right) X_u(z) \quad (9.17)$$

Στους επόμενους δύο πίνακες 9.1,9.2 φαίνονται οι ιδιότητες για το διπλευρο και το μονόπλευρο μετασχηματισμό Z, αντίστοιχα.

Στους παρακάτω δύο πίνακες 9.3,9.4 παρατίθενται οι διπλευροι και μονόπλευροι μετασχηματισμοί z οριομένων βασικών οικάδων, αντίστοιχα.

9.5 Γεωμετρικός Υπολογισμός του Μετασχηματισμού Fourier

Εστω

$$X(z) = Gz^{(N-M)} \frac{\prod_{i=1}^M (z - z_i)}{\prod_{i=1}^N (z - p_i)} \quad \begin{array}{ll} z_i = zeros & \\ p_i = poles & \end{array} \quad (9.18)$$

Πίνακας 9.3: Διπλευροί Μετασχηματισμοί Ζ Βασικών Σημάτων

	Transform pair Signal	Transform	ROC
1.	$\delta[n]$	1	All z
2.	$u[n]$	$\frac{1}{1 - z^{-1}}$	$ z > 1$
3.	$u[-n - 1]$	$\frac{1}{1 - z^{-1}}$	$ z < 1$
4.	$\delta[n - m]$	z^{-m}	All z except 0 (if $m > 0$) or ∞ (if $m < 0$)
5.	$\alpha^n u[n]$	$\frac{1}{1 - \alpha z^{-1}}$	$ z > \alpha $
6.	$-\alpha^n u[-n - 1]$	$\frac{1}{1 - \alpha z^{-1}}$	$ z < \alpha $
7.	$n\alpha^n u[n]$	$\frac{\alpha z^{-1}}{(1 - \alpha z^{-1})^2}$	$ z > \alpha $
8.	$-n\alpha^n u[-n - 1]$	$\frac{\alpha z^{-1}}{(1 - \alpha z^{-1})^2}$	$ z < \alpha $
9.	$[\cos \Omega_0 n]u[n]$	$\frac{1 - [\cos \Omega_0]z^{-1}}{1 - [2 \cos \Omega_0]z^{-1} + z^{-2}}$	$ z > 1$
10.	$[\sin \Omega_0 n]u[n]$	$\frac{[\sin \Omega_0]z^{-1}}{1 - [2 \cos \Omega_0]z^{-1} + z^{-2}}$	$ z > 1$
11.	$[r^n \cos \Omega_0 n]u[n]$	$\frac{1 - [r \cos \Omega_0]z^{-1}}{1 - [2r \cos \Omega_0]z^{-1} + r^2 z^{-2}}$	$ z > r$
12.	$[r^n \sin \Omega_0 n]u[n]$	$\frac{1 - [r \sin \Omega_0]z^{-1}}{1 - [2r \cos \Omega_0]z^{-1} + r^2 z^{-2}}$	$ z > r$

Πίνακας 9.4: Μονόπλευροι Μετασχηματισμοί Z Βασικών Σημάτων

			Radius of convergence
$x[n]$ for $n \geq 0$		$X(z)$	$ z > R$
1.	$\delta[n]$	1	0
2.	$\delta[n - m]$	z^{-m}	0
3.	$u[n]$	$\frac{z}{z-1}$	1
4.	n	$\frac{z}{(z-1)^2}$	1
5.	n^2	$\frac{z(z+1)}{(z-1)^3}$	1
6.	α^n	$\frac{z}{z-\alpha}$	$ \alpha $
7.	$n\alpha^n$	$\frac{\alpha z}{(z-\alpha)^2}$	$ \alpha $
8.	$(n + 1)\alpha^n$	$\frac{z^2}{(z-\alpha)^2}$	$ \alpha $
9.	$\frac{(n+1)(n+2)\cdots(n+m)\alpha^n}{m!}$	$\frac{z^{m+1}}{(z-\alpha)^{m+1}}$	$ \alpha $
10.	$\cos \Omega_0 n$	$\frac{z(z - \cos \Omega_0)}{z^2 - 2z \cos \Omega_0 + 1}$	1
11.	$\sin \Omega_0 n$	$\frac{z \sin \Omega_0}{z^2 - 2z \cos \Omega_0 + 1}$	1
12.	$\alpha^n \cos \Omega_0 n$	$\frac{z(z - \alpha \cos \Omega_0)}{z^2 - 2z \alpha \cos \Omega_0 + \alpha^2}$	$ \alpha $
13.	$\alpha^n \sin \Omega_0 n$	$\frac{z \alpha \sin \Omega_0}{z^2 - 2z \alpha \cos \Omega_0 + \alpha^2}$	$ \alpha $
14.	$e^{-\alpha n T}$	$\frac{z}{z - e^{-\alpha T}}$	$ e^{-\alpha T} $
15.	nT	$\frac{Tz}{(z-1)^2}$	1
16.	$nT e^{-\alpha n T}$	$\frac{T e^{-\alpha T}}{[z - e^{-\alpha T}]^2}$	$ e^{-\alpha T} $
17.	$\cos n\omega_0 T$	$\frac{z(z - \cos \omega_0 T)}{z^2 - 2z \cos \omega_0 T + 1}$	1
18.	$\sin n\omega_0 T$	$\frac{z \sin \omega_0 T}{z^2 - 2z \cos \omega_0 T + 1}$	1
19.	$e^{-\alpha n T} \cos n\omega_0 T$	$\frac{z[z - e^{-\alpha T} \cos \omega_0 T]}{z^2 - 2ze^{-\alpha T} \cos \omega_0 T + e^{-2\alpha T}}$	$ e^{-\alpha T} $
20.	$e^{-\alpha n T} \sin n\omega_0 T$	$\frac{z[z - e^{-\alpha T} \sin \omega_0 T]}{z^2 - 2ze^{-\alpha T} \cos \omega_0 T + e^{-2\alpha T}}$	$ e^{-\alpha T} $

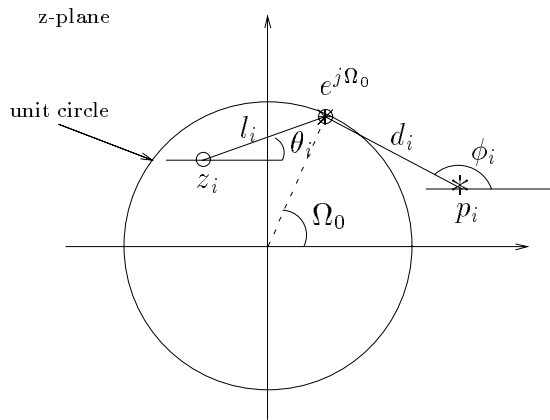
Θέτοντας $z = e^{j\Omega}$

$$X(\Omega) = G e^{j(N-M)\Omega} \frac{\prod_{i=1}^M (e^{j\Omega} - z_i)}{\prod_{i=1}^N (e^{j\Omega} - p_i)} \quad (9.19)$$

οπότε παίρνουμε για το μέτρο και τη φάση του $X(\Omega)$ (βλέπε Σχ 9.12).

$$|X(\Omega)| = |G| \frac{\prod_{i=1}^M |e^{j\Omega} - z_i|}{\prod_{i=1}^N |e^{j\Omega} - p_i|} \quad (9.20)$$

$$\begin{aligned} \angle X(\Omega) &= (N - M)\Omega + \sum_{i=1}^M \angle(e^{j\Omega} - z_i) - \sum_{i=1}^N \angle(e^{j\Omega} - p_i) \\ &= (N - M)\Omega + \sum_{i=1}^M \theta_i - \sum_{i=1}^N \phi_i \end{aligned} \quad (9.21)$$



Σχήμα 9.12: Αναπαράσταση του μέτρου και της φάσης του $X(\Omega)$ καθώς το Ω διαγράφει το μοναδιαίο κύκλο.

Καθώς το Ω καλύπτει τον μοναδιαίο κύκλο από το 0 ως το 2π , στο $\Omega = \Omega_0$, για τα $|X(\Omega)|$ και $\angle X(\Omega)$ έχουμε

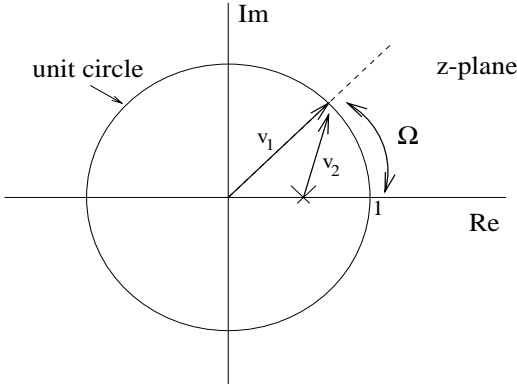
- το $|X(\Omega)|$ μπορεί να υπολογιστεί από τα l_i και d_i
- η $\angle X(\Omega)$ μπορεί να υπολογιστεί από τις γωνίες θ_i και ϕ_i

Σημείωση: Καθώς το Ω πλησιάζει ένα μηδενικό z_i , η αντίστοιχη απόσταση l_i γίνεται μικρή και δημιουργεί ένα “βύθιομα” στο $|X(\Omega)|$. Καθώς το Ω πλησιάζει ένα πόλο p_i η αντίστοιχη απόσταση d_i γίνεται μικρή και δημιουργεί μια κορυφή στο $|X(\Omega)|$. Εποι με την παρατήρηση του pole-zero plot μπορούμε να πάρουμε προσεγγιστικά τα $|X(\Omega)|$ και $\angle X(\Omega)$ σε σχέση με τα “βύθιομα” και τις “κορυφές”.

Παράδειγμα 9.13. Εστω το σήμα $h[n] = a^n u[n]$ με μεταοχηματισμό Ζ

$$H(z) = \frac{1}{1 - az^{-1}} , \quad |z| > a$$

Τα zero και pole ανόματα για το γεωμετρικό υπόλογιο του μεταοχηματισμού Fourier φαίνονται στο Σχ 9.13. Τα $|X(\Omega)|$ (λογαριθμικό) και $\angle X(\Omega)$ φαίνονται στο Σχ 9.14.



Σχήμα 9.13: Zero και pole ανόματα για το γεωμετρικό υπόλογιο του μεταοχηματισμού Fourier για το παράδειγμα 9.13.

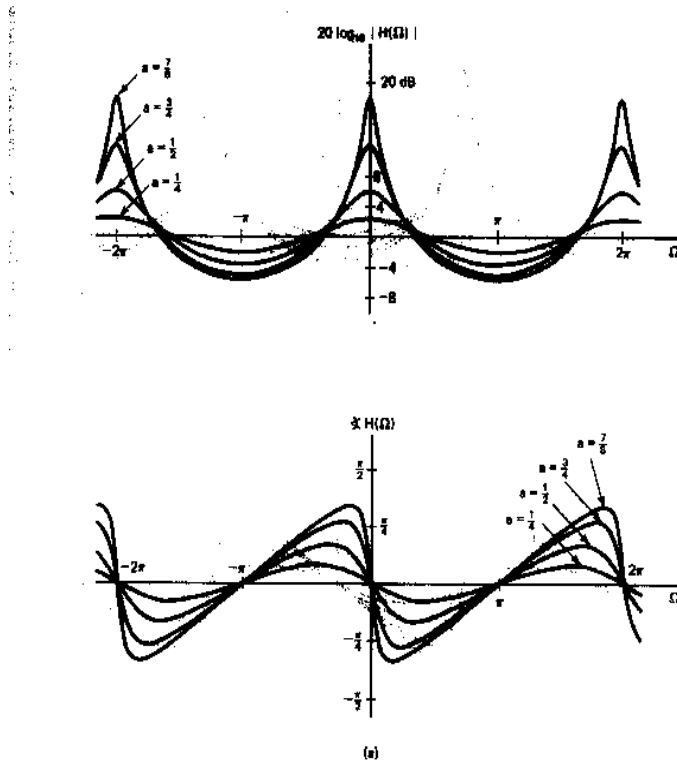
9.6 Αντίστροφος Μετασχηματισμός Ζ

Ο αντίστροφος μεταοχηματισμός Ζ μπορεί να υπολογισθεί θεωρώντας το μεταοχηματισμό Ζ σαν τον μεταοχηματισμό Fourier του $x[n]r^{-n}$

$$X(re^{j\Omega}) = \mathcal{F}\{x[n]r^{-n}\} \quad (9.22)$$

παίρνοντας αντίστροφους μεταοχηματισμούς Fourier

$$\begin{aligned} x[n]r^{-n} &= \mathcal{F}^{-1}\{X(re^{j\Omega})\} \Rightarrow \\ x[n] &= r^n \mathcal{F}^{-1}\{X(re^{j\Omega})\} \\ &= r^n \frac{1}{2\pi} \int_{2\pi} X(re^{j\Omega}) e^{j\Omega n} d\Omega \\ &= \frac{1}{2\pi} \int_{2\pi} X(re^{j\Omega}) (re^{j\Omega})^n d\Omega \end{aligned} \quad (9.23)$$



Σχήμα 9.14: Μέτρο και φάση του μεταοχηματιού Fourier για το παράδειγμα 9.13.

Στη παραπάνω σχέση θέλουμε να αλλάξουμε τη μεταβλητή ολοκλήρωσης ώστε να ολοκληρώνουμε ως προς z . Ισχύει $z = re^{j\Omega}$, r σταθερό, οπότε $dz = jre^{j\Omega}d\Omega = jz d\Omega$ ή $d\Omega = (\frac{1}{j})z^{-1}dz$. Εφόσον η ολοκλήρωση ως προς Ω είναι σε διάστημα 2π , στο z θα αντιστοιχεί σε μια περιοτροφή γύρω από τον κύκλο $|z| = r$. Συνεπώς

$$x[n] = \frac{1}{2\pi j} \oint X(z) z^{n-1} dz \quad (9.24)$$

όπου το \oint συμβολίζει την ολοκλήρωση κατά μήκος κλειστής κυκλικής διαδρομής με κέντρο την αρχή των αξόνων και φορά αντίθετη της κίνησης των δεικτών του ρολογιού. Στην πράξη, ουνήθως δεν υπολογίζουμε το κλειστό ολοκλήρωμα αλλά υπολογίζουμε τον αντίστροφο μεταοχηματιού χρησιμοποιώντας ανάλυση σε απλά κλάσματα και τους πίνακες μεταοχηματιού.

Παράδειγμα 9.14. Ζητείται να βρεθεί ο αντίστροφος μεταοχηματιούς Ζ του

$$X(z) = \frac{z}{z - 0.1} \quad , \quad |z| > 0.1$$

Με διαίρεση πολυωνύμων (αριθμητικής διά παρονομαστής) παίρνουμε
Αρα

$$X(z) = 1 + 0.1z^{-1} + (0.1)^2 z^{-2} + (0.1)^3 z^{-3} + \dots$$

απ' όπου προκύπτει $x[0] = 1$, $x[1] = 0.1$, $x[2] = (0.1)^2$, $x[3] = (0.1)^3, \dots$ και ουνεπός $x[n] = (0.1)^n u[n]$.

Παράδειγμα 9.15. Ζητείται να βρεθεί ο αντίστροφος μετασχηματισμός Ζ του

$$X(z) = \frac{z^3 - z^2 + z - \frac{1}{16}}{z^3 - \frac{5}{4}z^2 + \frac{1}{2}z - \frac{1}{16}}, \quad |z| > \frac{1}{2}$$

Γράφουμε το $X(z)$ ως

$$\begin{aligned} X(z) &= 1 + \frac{\frac{1}{4}z^2 + \frac{1}{2}z}{z^3 - \frac{5}{4}z^2 + \frac{1}{2}z - \frac{1}{16}} \\ &= 1 + \frac{\frac{1}{4}z(z+2)}{\left(z - \frac{1}{2}\right)^2 \left(z - \frac{1}{4}\right)} \\ &= 1 + z \left[\frac{-9}{z - \frac{1}{2}} + \frac{\frac{5}{2}}{(z - \frac{1}{2})^2} + \frac{9}{z - \frac{1}{4}} \right] \\ &= 1 - 9 \frac{z}{z - \frac{1}{2}} + 5 \frac{z/2}{(z - \frac{1}{2})^2} + 9 \frac{z}{z - \frac{1}{4}} \Rightarrow \end{aligned}$$

Από τη τελευταία σχέση καταλήγουμε εύκολα στην έκφραση του $x[n]$

$$x[n] = \delta[n] - 9 \left(\frac{1}{2}\right)^n u[n] + 5n \left(\frac{1}{2}\right)^n u[n] + 9 \left(\frac{1}{4}\right)^n u[n]$$

Παράδειγμα 9.16. Να λυθεί η εξίσωση διαφοράς

$$y[n] + 3y[n-1] = u[n], \quad y[-1] = 1$$

Παίρνοντας μονόπλευρους μετασχηματισμούς Ζ και από τα δύο μέλη της εξίσωσης έχουμε

$$Y(z) + 3 + 3z^{-1}Y(z) = \frac{1}{1-z^{-1}} \Rightarrow$$

$$\begin{aligned} Y(z) &= -\frac{3}{1+3z^{-1}} + \frac{1}{(1+3z^{-1})(1-z^{-1})} \\ &= -\frac{\frac{9}{4}}{1+3z^{-1}} + \frac{\frac{1}{4}}{1-z^{-1}} = -\frac{9}{4} \frac{1}{1-(-3)z^{-1}} + \frac{1}{4} \frac{1}{1-z^{-1}} \Rightarrow \end{aligned}$$

$$y[n] = -\frac{9}{4}(-3)^n u[n] + \frac{1}{4}u[n] = \left[\frac{1}{4} - \frac{9}{4}(-3)^n\right] u[n]$$

9.7 Σχέση Μεταξύ Μετασχηματισμών Ζ και Laplace

Θεωρώντας τη δειγματοληψία ενός αναλογικού σήματος $x_a(t)$, ως έξοδος από τον δειγματολήπτη μπορεί να θεωρηθεί είτε το σήμα συνεχούς χρόνου $x_s(t)$ είτε το σήμα διακριτού χρόνου $x[n]$, όπου

$$x_s(t) = \sum_{n=-\infty}^{+\infty} x_a(nT) \delta(t - nT) \quad (9.25)$$

και

$$x[n] = x_a(nT) \quad (9.26)$$

Παίρνοντας το μετασχηματισμό Laplace της πρώτης εξίσωσης έχουμε

$$X_s(s) = \sum_{n=-\infty}^{+\infty} x_a(nT) e^{-nTs} \quad (9.27)$$

Θέτουμε $z = e^{Ts}$, οπότε

$$X_s(s)|_{z=e^{Ts}} = \sum_{n=-\infty}^{+\infty} x_a(nT) z^{-n} \quad (9.28)$$

Παρατηρούμε ότι το δεξί μέλος είναι ο μετασχηματισμός Ζ του $x[n]$. Εποι, ο μετασχηματισμός Ζ μπορεί να θεωρηθεί ως ο μετασχηματισμός Laplace του $x_s(t)$ (σήμα που προέρχεται από τη δειγματοληψία) με την αλλαγή στη μεταβλητή $z = e^{Ts}$. Η τελευταία εξίσωση ορίζει μια απεικόνιση του s-χώρου στο z-χώρο. Εστι $s = \sigma + j\omega$ έτσι ώστε $z = e^{\sigma T} e^{j\omega T}$. Εφόσον $|z| = e^{\sigma T}$, είναι φανερό ότι αν $\sigma < 0$, $|z| < 1$. Εποι, κάθε οημείο στον αριστερό ημιχώρο του s-χώρου απεικονίζεται σε κάποιο οημείο εσωτερικά του μοναδιαίου κύκλου στο z-χώρο. Παρόμοια, για $\sigma > 0$, $|z| > 1$ έτσι ώστε κάθε οημείο στο δεξιό ημιχώρο του s-χώρου απεικονίζεται σε κάποιο οημείο εξωτερικά του μοναδιαίου κύκλου στο z-χώρο. Για $\sigma = 0$, $|z| = 1$ έτσι ώστε ο $j\omega$ -άξονας στον s-χώρο απεικονίζεται στο μοναδιαίο κύκλο στο z-χώρο. Η αρχή του s-χώρου αντιστοιχεί στο $z = 1$.

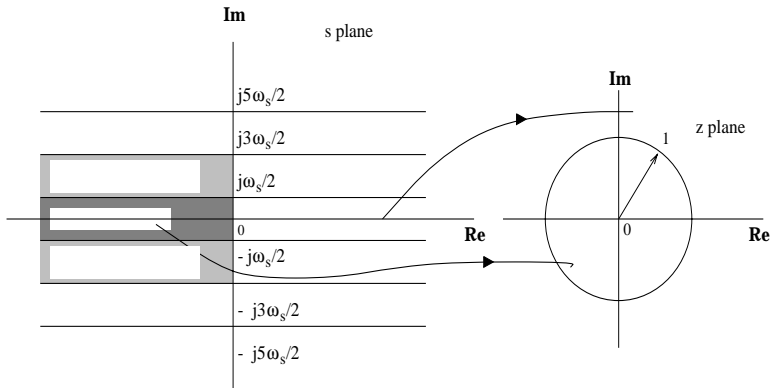
Επιπλέον ας θεωρήσουμε το σύνολο των οημείων s_k που απέχουν κάθετα από κάποιο οημείο s^* ένα πολλαπλάσιο της συχνότητας δειγματοληψίας $\omega_s = \frac{2\pi}{T}$.

$$s_k = s^* + jk\omega_s \quad , \quad k = 0, \pm 1, \pm 2, \dots \quad (9.29)$$

Τότε παίρνουμε

$$z_k = e^{Ts_k} = e^{T(s^* + jk\omega_s)} = e^{Ts^*} = z^* \quad (9.30)$$

Αρα, τα οημεία s_k απεικονίζονται στο ίδιο $z^* = e^{Ts^*}$ στο z-χώρο. Μπορούμε λοιπόν να χωρίσουμε τον s-χώρο σε οριζόντιες ζώνες, κάθε μία πλάτους ω_s . Κάθε μία από αυτές τις ζώνες απεικονίζεται σε ολόκληρο το z-χώρο. Τα παραπάνω συνοψίζονται στο Σχ 9.15 το οποίο δείχνει



Σχήμα 9.15: Απεικόνιση των s-χώρου στο z-χώρο με το μετασχηματισμό $z = e^{Ts}$.

την απεικόνιση των s-χώρου στο z-χώρο.

Σημείωση: Το γεγονός ότι η απεικόνιση των s-χώρου στο z-χώρο δεν είναι αμφιμονοσήμαντη (το ίδιο οημείο στον z-χώρο αντιστοιχεί σε πολλά οημεία στον s-χώρο) είναι απόρροια των γεγονότος ότι μπορούμε να συναντήσουμε περισσότερα των ενός αναλογικά σήματα σε ένα δομένο σύνολο από τιμές δειγματοληψίας.

9.8 Σχέση Μεταξύ Μετασχηματισμών Ζ και DFT

Για μια ακολουθία N οημείων

$$x[n], \quad n = 0, 1, \dots, N-1 \quad (9.31)$$

οι μετασχηματισμοί DFT και Z δίνονται αντίστοιχα ως

$$\text{DFT: } \tilde{X}[k] = \sum_{n=0}^{N-1} x[n] e^{-jk(2\pi/N)n} \quad (9.32)$$

$$\text{Z: } X(z) = \sum_{n=-\infty}^{+\infty} x[n] z^{-n} \quad (9.33)$$

Από τις παραπάνω δύο οχέοις εύκολα καταλήγουμε στη

$$\tilde{X}[k] = X(z) \Big|_{z=e^{jk(2\pi/N)}} \quad (9.34)$$

Δηλαδή, ο DFT είναι ο μετασχηματισμός Z υπολογισμένος σε N ιοαπέχοντα οημεία πάνω στο μοναδιαίο κύκλο στο z-χώρο.

Βιβλιογραφία

- [1] N. Καλονπτοίδης, “Σήματα, Συστήματα και Αλγόριθμοι,” Διανλος, Αθήνα 1993.
- [2] A.V. Oppenheim, A.S. Willsky and I.T. Young, “Signals and Systems,” Prentice-Hall, Englewood Cliffs N.J., 1983.
- [3] S.S. Soliman and M.D. Srinath, “Continuous and Discrete Signals and Systems,” Prentice-Hall, Englewood Cliffs N.J., 1990.
- [4] S.B. Maurer and A. Ralston, “Discrete Algorithmic Mathematics,” Addison-Wesley, Reading MA, 1991.
- [5] P.A. Lynn and W.Fuerst, “Introductory Digital Signal Processing with Computer Applications,” J. Wiley, Great Britain, 1989.
- [6] O.E. Brigham, “The Fast Fourier Transform and its Applications,” Prentice-Hall, Englewood Cliffs N.J., 1988.
- [7] A.D. Poularikas and S. Seely, “Signals and Systems,” 2nd Ed., PWS-KENT Publ., Boston MA, 1990.
- [8] A.V. Oppenheim and R.W. Schafer, “Discrete-Time Signal Processing,” Prentice-Hall, Englewood Cliffs N.J., 1989.
- [9] A. Papoulis, “The Fourier Integral and its Applications,” McGraw-Hill, New York, 1962.
- [10] A.K. Jain, “Fundamentals of Digital Image Processing,” Prentice-Hall, Englewood Cliffs N.J., 1989.
- [11] R.C. Gonzalez and R.E. Woods, “Digital Image Processing,” Addison-Wesley, Reading MA, 1992.